オクトレオスキャン静注用セット

CTD第2部

2.7 臨床概要

2.7.1 生物薬剤学及び関連する分析法

富士フイルムRIファーマ株式会社

(空白ページ)

2.7.1 目次

化合物一覧	.4
2.7.1.1 背景及び概観	. 5
2.7.1.1.1 製剤開発の経緯	. 5
2.7.1.1.2 生物薬剤学試験	. 5
2.7.1.1.3 分析法の概観	.5
2.7.1.2 個々の試験結果の要約	.6
2.7.1.3 全試験を通しての結果の比較と解析	.6
2.7.1.4 付録	.6

化合物一覧

16 170	· 見·	
化合物名	構造式	化学名又は説明
ペンテト		JAN: (-)-N-[2-[[2-[bis
レオチド		(carboxymethyl)amino]et
	H ₂ _,cн ,, -соон	hyl](carboxymethyl)amin
	С [—] N Сн ₂ -соон ş———— ş	o]ethyl]-N-(carboxymeth
	N-CH ₂ COOH NH ₂	yl)glycyl-D-phenylalanyl-
	CH ₂ -N CH ₂ -COOH CH ₂ H CH ₂ H OH CH ₂ H OH CH ₂ H OH	L-cysteinyl-L-phenylalan
	CH ₂ C-N C	yl-D-tryptophyl-L-lysyl-L
	H ₃ C OH	-threonyl-N-[(1R,2R)-2-h
		ydroxy-1-(hydroxymethyl
)propyl]-L-cysteinamide,
		cyclic(3-8)-disulfide
	(-6, 6, 6, -2)	CAS: L-Cysteinamide,
	(略式表記) Thr(ol) ── Cys─ Th r	N-[2-[[2-[bis(carboxymet
		hyl)amino]ethyl](carboxy
	S Lys	methyl)amino]ethyl]-N-(c
	C O ₂ H	arboxymethyl)glycyl-D-p
	HO ₂ C N N N D-Phe—Cys—Phe	henylalanyl-L-cysteinyl-L
]	-phenylalanyl-D-tryptoph
	HO_2C HO_2C	yl-L-lysyl-L-threonyl-N-[
		(1R,2R)-2-hydroxy-1-(hy
		droxymethyl)propyl]-,
インジウ		cyclic(3-8)-disulfide ペンテトレオチドとイ
ムペンテ		ンジウム (¹¹¹ In) が1:1
トレオチ	_	フラウム (III) が1.1 で配位結合した錯体 ;
ド (¹¹¹ In)		有効成分
ソマトス		14 //4/4/\/
タチン	HO-Cys-Ser-Thr-Phe-Thr	
	S Lys	
	l I S Tm	_
	H-Ala-Gly-Cys-Lys-Asn-Phe-Phe	

2.7.1 生物薬剤学及び関連する分析法

2.7.1.1 背景及び概観

2.7.1.1.1 製剤開発の経緯

インジウムペンテトレオチド(111 In)注射液は、ソマトスタチンアナログであるペンテトレオチドを放射性インジウム 111 (111 In)で標識した放射性薬剤であり、ソマトスタチン受容体を有する神経内分泌腫瘍の画像診断薬として開発された。ペンテトレオチドは、ソマトスタチン受容体への選択的な結合性とキレート形成能を併せ持った構造を有し、キレート結合によりガンマカメラによる撮像に適した 111 Inで容易に標識され、インジウムペンテトレオチド(111 In)となる。インジウムペンテトレオチド(111 In)注射液は、米国Mallinckrodt Medical Inc. (現Mallinckrodt Pharmaceuticals)により、塩化インジウム(111 In)液及びペンテトレオチドを用時混和する簡便な操作で速やかに調製でき、且つ安定的に高い標識率が得られる用時調製用のセット製剤として開発された。 2015 年3月現在、米国(1994 年承認)、英国(1995 年承認)、仏国(1995 年承認)を含む世界30箇国以上で販売され(販売名OctreoScan 8)、剤型及び処方は同一である。

国内外で実施された臨床試験(表 2.7.1-1)で使用した製剤及び本邦で申請する製剤は、Mallinckrodt Pharmaceuticals から供給され、海外で市販されている製剤と同一のものである。

試験名 治験期間 実施場所 国内 内分泌試験(第 I 相臨床試験) 1993.4~1993.7 薬物体内動態試験 (第 I 相臨床試験) 1993.6~1993.8 第Ⅲ相臨床試験 1994.12~1995.3 追加第Ⅲ相臨床試験 2000.11~2002.1 海外 海外第Ⅲ相臨床試験(91-132 試験、91-133 試験、91-134 試 19 ~19 験、91-136 試験、91-137 試験、91-148 試験、91-149 試験、 91-150 試験、91-151 試験、91-139 試験、91-140 試験、91-142 試験、91-146 試験、91-166 試験、91-170 試験)

表 2.7.1-1 臨床試験一覧

2.7.1.1.2 生物薬剤学試験

インジウムペンテトレオチド(¹¹¹In) 注射液は静脈内投与製剤であるため、バイオアベイラビリティ及び生物学的同等性は検討していない。

2.7.1.1.3 分析法の概観

国内臨床試験(薬物体内動態試験(第 I 相臨床試験)) における試料中の放射能の測定方法を以下に示す。

(1) 血液及び血漿中の放射能濃度

各時点において採取した血液及び血漿の放射能量は、ガンマカウンターにより測定した。

投与放射能量に対する血漿又は血液 1 mL 当たりの放射能 (%dose/mL) を算出した。

(2) 尿中の放射能

蓄尿した尿中の放射能量は、蓄尿時間ごとに尿量を測定し、採取した尿 1 mL についてガンマカウンターにより測定した。蓄尿時間ごとに投与放射能量に対する尿中排泄量(%dose)を算出した。

(3) 尿中代謝物の検討

蓄尿時間ごとの尿について、シリカゲル薄層クロマトグラフィーにより、放射能量に対する未変化体の割合を算出した。

2.7.1.2 個々の試験結果の要約

該当なし。

2.7.1.3 全試験を通しての結果の比較と解析

該当なし。

2.7.1.4 付録

該当なし。

(最終ページ)

オクトレオスキャン静注用セット

CTD第2部

- 2.7 臨床概要
- 2.7.2 臨床薬理試験

富士フイルムRIファーマ株式会社

(空白ページ)

2.7.2 目次

略号一覧	4
専門用語一覧	
化合物一覧	5
2.7.2 臨床薬理試験	6
2.7.2.1 背景及び概観	6
2.7.2.1.1 ヒト生体試料を用いた試験	6
2.7.2.1.2 臨床薬理試験	6
2.7.2.2 個々の試験結果の要約	7
2.7.2.2.1 ヒト生体試料を用いたin vitro試験	7
2.7.2.2.2 臨床薬理試験	7
2.7.2.2.2.1 内分泌試験(国内第 I 相臨床試験)	7
2.7.2.2.2.2 薬物体内動態試験(国内第 I 相臨床試験)	11
2.7.2.2.2.3 91-139臨床薬理試験(海外第Ⅲ相臨床試験)	16
2.7.2.3 全試験を通しての結果の比較と解析	20
2.7.2.3.1 ヒト生体試料を用いたin vitro試験(血漿中たん白結合率)	20
2.7.2.3.2 内分泌機能への影響	21
2.7.2.3.3 薬物動態	21
2.7.2.3.4 被曝線量	21
2.7.2.4 特別な試験	21
2.7.2.5 付録	22

略号一覧

略号	省略していない表現		
哈万	英語	日本語	
ACTH	adrenocorticotropic hormone	副腎皮質刺激ホルモン	
NET	neuroendocrine tumor	神経内分泌腫瘍	
SPECT	single photon emission computed tomography	単一光子放射形コンピュータ断層撮影	
SD	standard deviation 標準偏差		
t _{1/2}	half-life	血液(血漿)中濃度半減期	
$t_{1/2\alpha}$	half-life, alpha phase	2相性の消失における分布相(α相)のt _{1/2}	
$t_{1/2\beta}$	half-life, beta phase	2相性の消失における消失相 (β相) のt _{1/2}	
TSH	thyroid stimulating hormone	甲状腺刺激ホルモン	
$V_{d\beta}$	volume of distribution, beta phase	2相性の消失における消失相 (β相) から算	
		出した分布容積	

専門用語一覧

専門用語	説明
MP-1727	インジウムペンテトレオチド (¹¹¹ In) の治験薬コード。
吸収線量	物質の単位質量 (kg) あたりに吸収された放射線のエネルギーを表す量。単位
	はグレイ(Gy)。
実効線量	放射線被曝による全身の健康影響を評価する指標。放射線に対する組織・臓器
	ごとの感受性を考慮して、全身が均等に被曝した場合と同一尺度で被曝の影響
	を表す量。単位はシーベルト (Sv)。
実効線量当量	平成12年の法令改正以前の「実効線量」の呼称。
MIRD法	Medical Internal Radiation Dose method
	米国核医学会Medical Internal Radiation Dose委員会より提唱された放射性医薬
	品投与による放射線吸収線量を推定する方法。
Bq	放射能の単位(ベクレル)。
	1秒間に1個の原子核が崩壊して放射線を放つ放射能が1ベクレル。
	1 MBq (メガベクレル) =1,000,000 Bq。
Gy	吸収線量の単位(グレイ)。
	放射線によって物質1キログラム当たり1ジュールのエネルギーが吸収された
	ときの吸収線量が1グレイ。
Sv	実効線量及び実効線量当量の単位(シーベルト)。
	生体が放射線を受けたとき、その影響の度合いを測る物差しとして使われる単
	位で、吸収線量から放射線の種類や性質、器官・組織の種類を考慮して算出さ
	れる。
%dose	%投与量
	投与された全放射能に対する放射能分布率。
%dose/L	%投与量/リットル
	単位容積あたりの%dose。

専門用語	説明
	ガンマカメラで放射性薬剤から放出されるガンマ線を平面的に計測し、放射能分布を平面的に表示した画像。全身像及びスポット像は、プラナー像に分類される。
SPECT像	ガンマカメラを患者の体軸を中心に回転させ、多方向からデータを収集し、コンピュータにより画像を再構成して作成される断層像。

化合物一覧

化合物名	構造式	化学名又は説明
ペンテト レオチド	H ₂ C CH ₂ -COOH CH ₂ COOH H ₂ C CH ₂ -COOH H ₂ C CH ₂ -COOH H ₂ C CH ₂ -COOH CH ₂ -CH ₃ -COOH CH ₂ -CH ₃ -COOH CH ₂ -COOH C	JAN: (-)-N-[2-[[2-[bis (carboxymethyl)amino]ethyl] (carboxymethyl)amino]ethyl]-N-(carboxymethyl)glycyl-D-phenylalanyl-L-cysteinyl-L-phenylalanyl-D-tryptophyl-L-lysyl-L-threonyl-N-[(1R, 2R)-2-hydroxy-1-(hydroxymethyl)propyl]-L-cysteinamide, cyclic(3-8)-disulfide
	(略式表記) Thr(ol)—Cys—Thr S Lys CO ₂ H H S D-Trp HO ₂ C HO ₂ C HO ₂ C CO ₂ H N D-Phe—Cys—Phe	CAS: L-Cysteinamide, N-[2-[[2-[bis(carboxymethyl))amino]ethyl](carboxymethyl) l)amino]ethyl]-N-(carboxymethyl)glycyl-D-phenylalanyl-L-cysteinyl-L-phenylalanyl-D-tryptophyl-L-lysyl-L-threonyl-N-[(1R,2R)-2-hydroxyl-(hydroxymethyl)propyl]-, cyclic(3-8)-disulfide
インジウ ムペンテ トレオチ ド (¹¹¹ In)	_	ペンテトレオチドとイン ジウム (¹¹¹ In) が1:1で配 位結合した錯体;有効成 分
ソマトス タチン	HO-Cys-Ser-Thr-Phe-Thr S Lys S Tmp H-Ala-Gly-Cys-Lys-Asn-Phe-Phe	_
オクトレオチド	Thr(ol)—Cys—Thr S Lys S DTrp H—D-Phe—Cys—Phe	L-Cysteinamide,D-phenylala nyl-L-cysteinyl-L-phenylala nyl-D-tryptophyl-L-lysyl-L-t hreonyl-N-[(1R,2R)-2-hydro xy-1-(hydroxymethyl)propyl]-, cyclic(2-7)-disulfide

2.7.2 臨床薬理試験

2.7.2.1 背景及び概観

2.7.2.1.1 ヒト生体試料を用いた試験

ヒト生体試料を用いた試験は、血漿中たん白結合率をin vitroで検討した1試験のみである(表2.7.2-1)。

表2.7.2-1 ヒト生体試料を用いた試験一覧

試験番号	試験項目	被験物質	添付資料番号 資料区分
32-021	血漿中たん白結合率:In vitro	インジウムペンテトレオチド(¹¹¹ In)	4.2.2.1.1 評価

2.7.2.1.2 臨床薬理試験

臨床薬理試験として、国内で2つの第 I 相臨床試験を実施した。インジウムペンテトレオチド (111 In) は、インスリン、ガストリン、グルカゴン等の内分泌ホルモンの分泌抑制作用を示すソマトスタチンアナログの放射性インジウム (111 In) 標識体であることから、健康成人を対象に、非標識のペンテトレオチドを投与し、内分泌機能への影響を評価する内分泌試験を実施した。また、健康成人を対象に、インジウムペンテトレオチド (111 In) の薬物体内動態及び被曝線量を評価する薬物体内動態試験を実施した。内分泌試験でのペンテトレオチドの投与量は5~20 μ gであり、最大用量の20 μ gは、インジウムペンテトレオチド (111 In) の最大申請用量222 MBgに含まれるペンテトレオチドの量に相当する。

国内第 I 相臨床試験の他に、神経内分泌腫瘍(NET)患者を対象とした海外第Ⅲ相臨床試験である91-139試験では、一部の被験者でインジウムペンテトレオチド(¹¹¹In)の内分泌機能への影響を検討した。

臨床薬理試験の一覧を表2.7.2-2に示す。

表2.7.2-2 臨床薬理試験一覧

試験名 [実施計画書No.]	実施国 治験期間	目的	デザイン	対象 被験者数	被験薬 投与量 投与方法	添付資料番号資料区分
内分泌試験/第 I 相臨床試験	日本	安全性 内分泌機能への	単盲検	健康成人	ペンテトレオチド	5.3.3.1.1 参考
1 作品/木武映 [1727-1-4]	1993.4~ 1993.7	影響	クロスオー バー	7名	5、10、20 μg 静脈内単回	少 芍
薬物体内動態試	日本	安全性	オープン	健康成人	インジウムペンテ	5.3.3.1.2
験/第I相臨床	1993.6~	薬物体内動態		4名	トレオチド(¹¹¹ In)	参考
試験	1993.8	被曝線量			111 MBq	
[MP-1727-02]					静脈内単回	
91-139臨床薬理	スイス	内分泌機能への	オープン	神経内分泌	インジウムペンテ	5.3.4.2.1
試験 (海外第Ⅲ	19	影響		腫瘍	トレオチド(¹¹¹ In)	参考
相臨床試験)*	19			8名	111 MBq	
[91-139]					静脈内単回	

^{*91-139}臨床薬理試験は、第Ⅲ相臨床試験の一部として実施された。

2.7.2.2 個々の試験結果の要約

2.7.2.2.1 ヒト生体試料を用いたin vitro試験

(1) 血漿中たん白結合率

...... 添付資料4.2.2.1.1

インジウムペンテトレオチド (111 In) の血漿中たん白結合率を限外ろ過法により測定した。インジウムペンテトレオチド (111 In) (ペンテトレオチドとして1~300 ng/mL) を添加した時のヒト血漿へのたん白結合率は23.19~26.40%であり、ラット (20.90~23.60%) 及びイヌ (20.95~25.38%) との間で明らかな差は認められなかった。ヒト血清アルブミンへのたん白結合率はヒト血漿より低く ($^{16.46}$ ~19.31%)、ヒト $^{16.46}$ で糖たん白質には結合しなかった。

2.7.2.2.2 臨床薬理試験

2.7.2.2.2.1 内分泌試験(国内第 I 相臨床試験)

...... 添付資料5.3.3.1.1

内分泌試験の試験デザインの概要を表2.7.2-3に示す。

健康成人男性6名にペンテトレオチド(5 µg、10 µg、20 µg)又はプラセボ(生理食塩液)を3ステップからなるクロスオーバーにて静脈内投与し、安全性及び内分泌機能に対する影響について検討した。1stステップの投与後に1名が中止となったため、当該被験者の替わりとして1名を追加登録し、中止となった症例は解析から除外した。

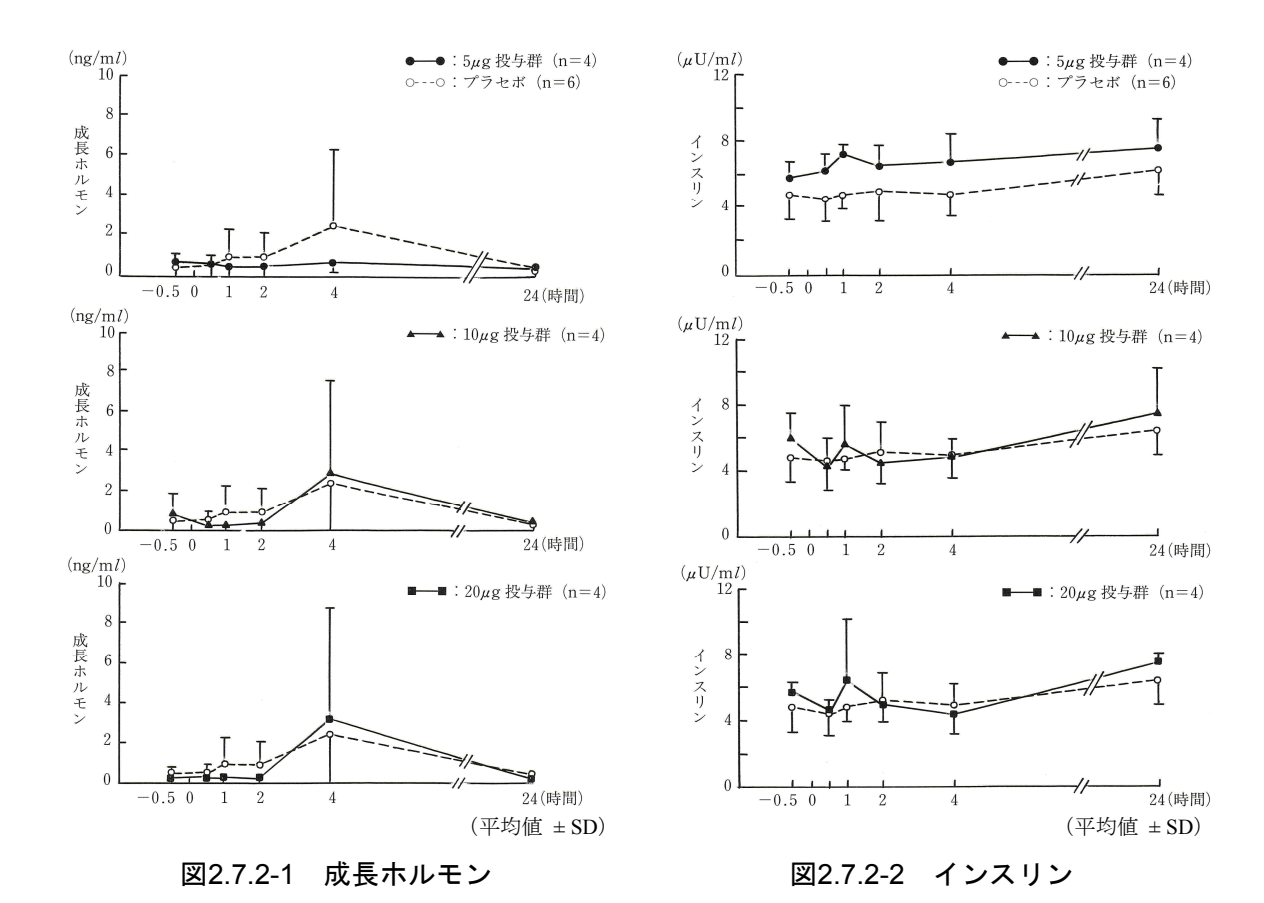
内分泌検査については、投与前、投与後30分、1、2、4、24時間に採血し、8項目(成長ホルモン、インスリン、グルカゴン、ガストリン、血糖、甲状腺刺激ホルモン(TSH)、副腎皮質刺激ホルモン(ACTH)及びコルチゾール)について評価した。測定値は、平均値及び標準偏差(SD)で示し、各時点での投与前値からの変動値及び変動率について分散分析法を用い解析した。有意水準は5%とした。

表2.7.2-3 内分泌試験の試験デザインの概要

治験の標題	MP-1727 臨床			
TOWN VOICE	(治験実施計画書番号:1727-1-4)			
	1993年(平成5年)4月 ~ 1993年(平成5年)7月			
目的			<u>- (- // // // // // // // // // // // // /</u>	みが内分泌機能に対
H H J	する影響の検診		1 6 4 7 1 47 英王压/	X O F 1/1 (12/1)X HE (12/1)
試験デザイン		ュ 食、クロスオーバー		
対象	健康成人男性	R. J L MA J		
主な選択基準		言論於木に 上 N 色ん	*所見に異常のないこ	- レが体羽それを樹
土は医外卒中	・ 医師による事 康成人男性	野川快宜により分下	平川 兄に共吊りない、	
	- ・年齢:20~4	Λ / E		
 主な除外基準			る者及びアレルギー般	た 串の 段 い な え 孝
土は防外基準		,	る臨床試験を受けた	,,
			物を服用した者及び	
	療法を必要と		物を服用した有及し	一种
		, - ,	の採血をされた者	
		7名、完了(解析家 7名、完了(解析家		
投与量及び投与方法			<u>30 μg</u>)又はプラセ:	ボ (生理食垢液) た
(X) 全里及(V) (X) 子/J (G)			一にて静脈内投与し	
		なるシロススーク、 も盲検法で投与した		た。作機来は、ハノ
		七目仮伝で及子した	<u> </u>	
	 被験者No		投与量	
		1stステップ	2ndステップ	3rdステップ
	1	5 μg	10 μg	プラセボ
	2	5 μg	10 μg	プラセボ
	3*	5 μg	_	_
	4	5 μg	プラセボ	20 μg
	5	プラセボ	10 μg	20 μg
	6	プラセボ	10 μg	20 μg
	7	5 μg	プラセボ	20 μg
	* 1stステップ終 ⁻	了(5 μg投与)後、ス	本人からの申し入れに。	より被験薬とは関係な
	い理由で2ndス	テップ以降の試験参	加を中止したため、解	析から除外した。
評価項目	<内分泌検査>			No. of the last of
			ブルカゴン、ガスト!	リン、血糖、TSH、
	ACTH、コル	チソール		
	<安全性>	/BB = \ m+ L = \ \		
	・医師の診察(問診、聴打診)			
	・バイタルサイン(体温、血圧、心拍数、呼吸数)			
) a			
	・心電図	\\\\\\\\\\\\\\\\\\\\\\\\\\\\\\\\\\\\\\	÷ // . // . \\	↓ ~\
			返生化学検査、尿検3 5	至)

内分泌検査8項目の測定値の推移を図2.7.2-1~図2.7.2-8に示す。血糖において、5 μg投与群の投与前から投与後24時間の変動幅が、プラセボ投与群と比較して有意な低値を示した。しかし、この変動の幅はわずかであり、用量依存性は認められなかった。その他の7項目では、いずれの被験薬投与群及び測定時点においてもプラセボ投与群と比較して有意な変動は認められなかった。

ペンテトレオチドは、内分泌検査8項目に対して少なくとも投与後24時間までは影響を及ぼさないものと考えられた。



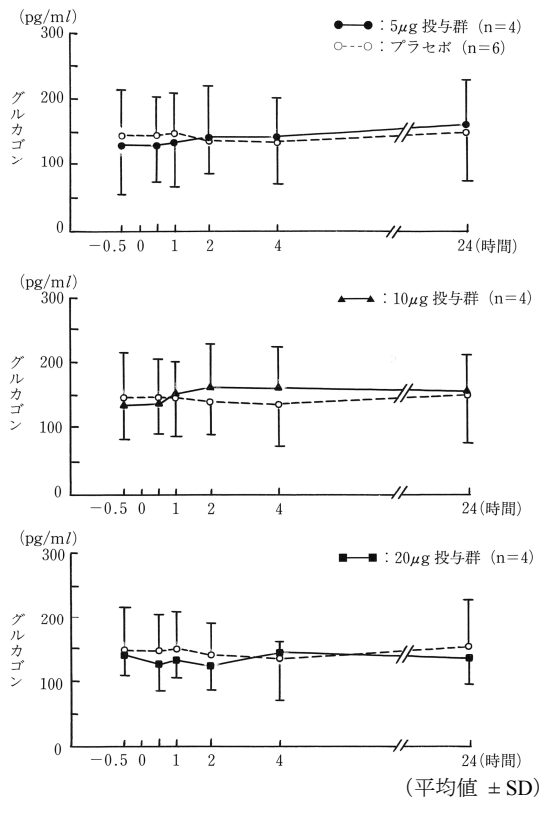


図2.7.2-3 グルカゴン

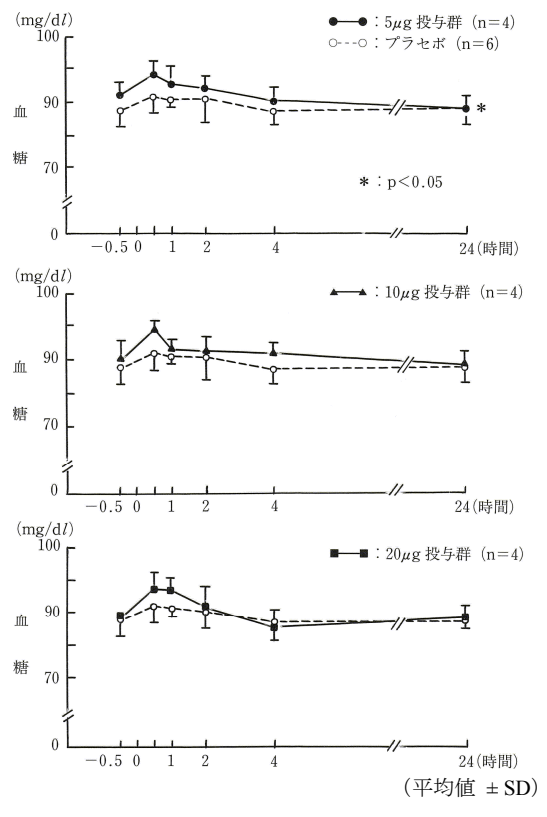


図2.7.2-5 血糖

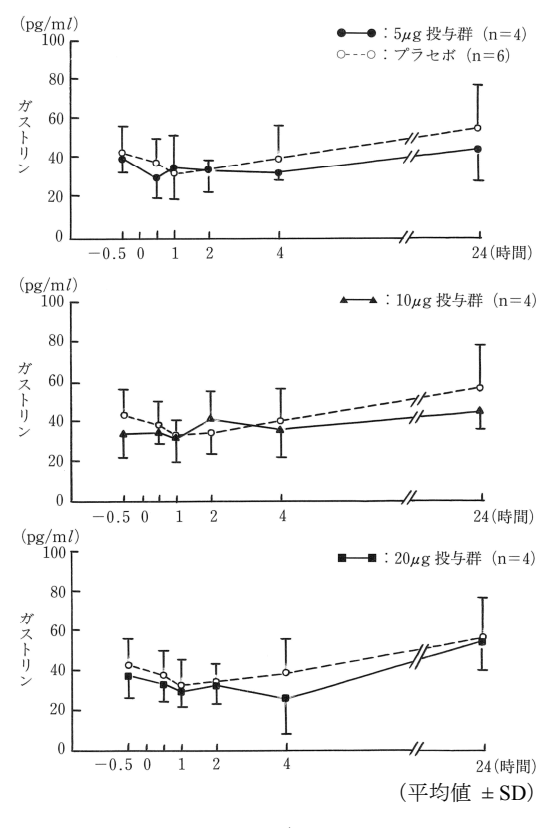


図2.7.2-4 ガストリン

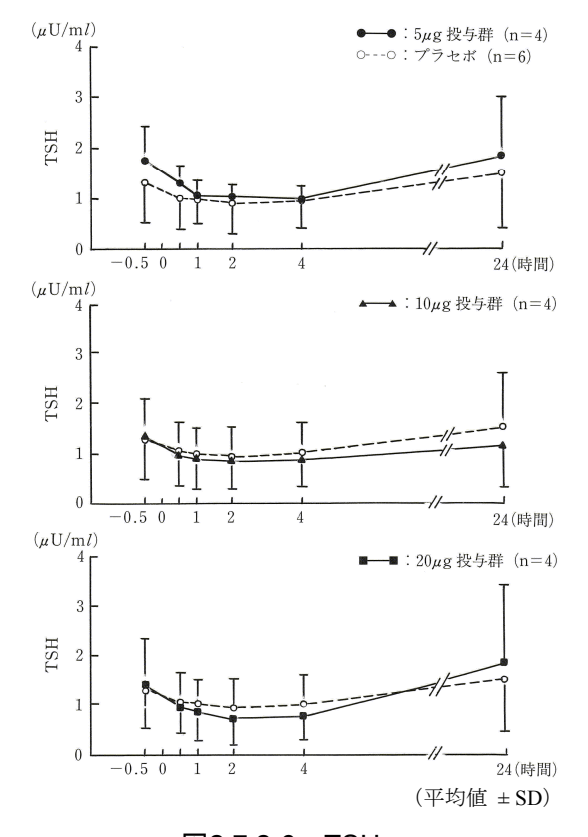
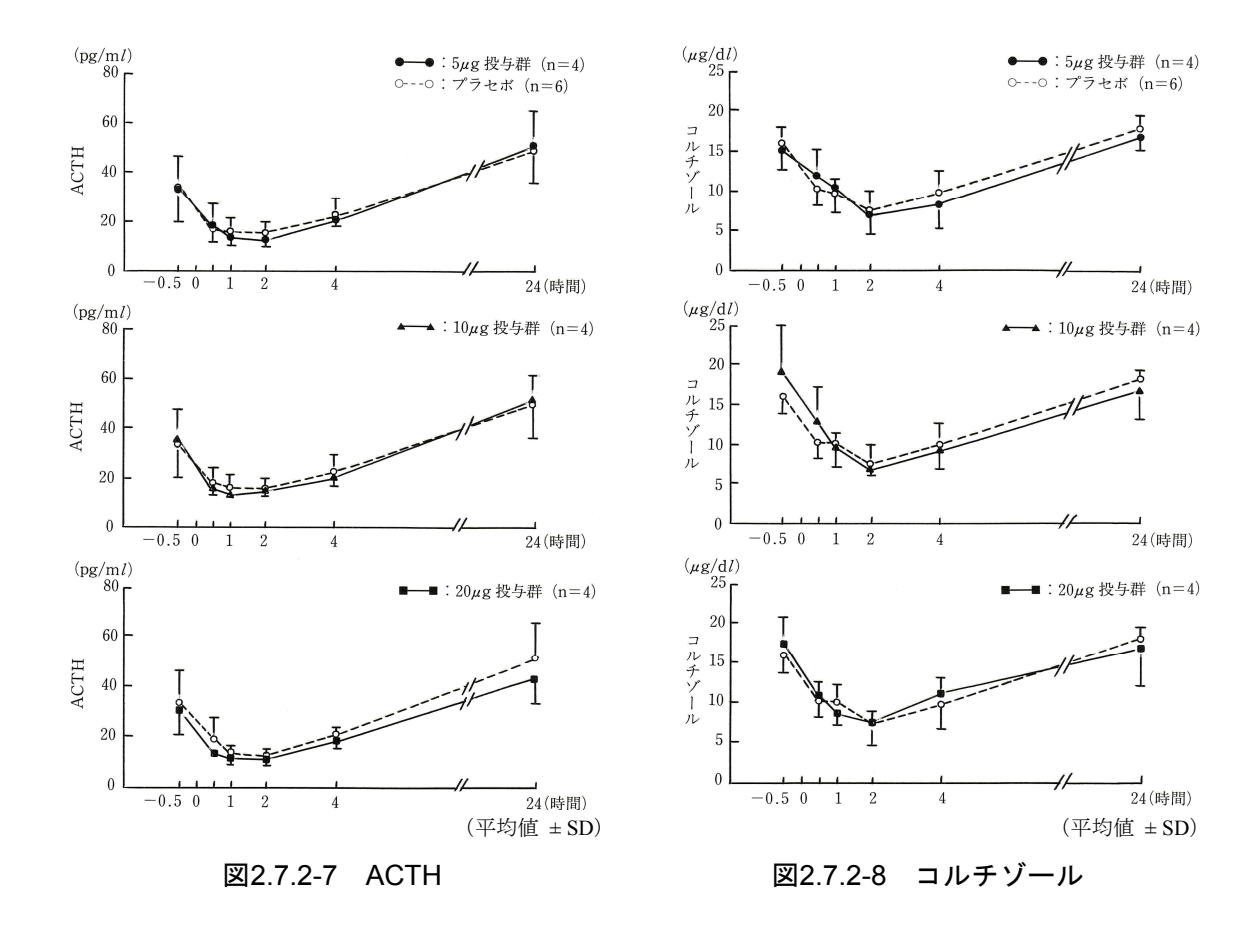


図2.7.2-6 TSH



2.7.2.2.2. 薬物体内動態試験 (国内第 I 相臨床試験)

...... 添付資料5.3.3.1.2

薬物体内動態試験の試験デザインの概要を表2.7.2-4に示す。

健康成人男性4名にインジウムペンテトレオチド (¹¹¹In) 111 MBqを静脈内に単回投与し、 安全性及び薬物体内動態 (血中放射能濃度、尿中排泄、血漿及び尿中代謝物、体内分布及び 被曝線量) について評価した。

表2.7.2-4 薬物体内動態試験の試験デザインの概要

治験の標題	MP-1727 臨床第 I 相試験 薬物体内動態試験		
	(治験実施計画書番号: MP-1727-02)		
試験期間	1993年(平成5年)6月 ~ 1993年(平成5年)8月		
目的	健康成人におけるMP-1727の安全性及び薬物体内動態の検討		
試験デザイン	単施設、オープン		
対象	健康成人男性		
主な選択基準	・医師による事前検査により身体所見に異常のないことが確認された		
	健康成人男性		
	・年齢:20~40歳		
主な除外基準	・アレルギー疾患の既往歴のある者、アレルギー疾患の疑いある者		
	・過去6箇月以内に他の薬剤による臨床試験を受けた者		
	・試験前3箇月以内に継続して薬物を服用した者及び試験期間中に薬物		
	療法を必要とする者		
	・試験前3箇月以内に200 mL以上の採血をされた者		
被験者数	登録4名、投与4名、完了(解析対象)4名		
投与量及び投与方法	インジウムペンテトレオチド (¹¹¹ In) 111 MBqを静脈内単回投与		
撮像方法	プラナー像		
	全身像:投与後30分、1、2、4、6、24及び48時間		
	胸部及び腹部像:投与後4、24及び48時間		
	SPECT像:投与後4及び24時間		
評価項目	<薬物体内動態>		
	・血中放射能濃度(血漿、全血)		
	・尿中排泄		
	・血漿及び尿中代謝物		
	体内分布(全身撮像)		
	・被曝線量(MIRD法)		
	<安全性>		
	・医師の診察(問診、聴打診)		
	・臨床検査(血液学的検査、血液生化学検査、尿検査)		
	・バイタルサイン(体温、血圧、心拍数、呼吸数)		
	・副作用(自他覚症状)		

(1) 血中放射能濃度

血漿中放射能濃度は二相性の消失を示し(図2.7.2-9)、分布半減期($t_{1/2\alpha}$)及び消失半減期 ($t_{1/2\beta}$)は、それぞれ 9.2 ± 8.0 分及び 2.2 ± 0.4 時間であった。分布容積($V_{d\beta}$)は 0.25 ± 0.05 L/kg であり、細胞外液量にほぼ一致した。血球中への移行は時間の経過にかかわらず、ほとんど 認められなかった。

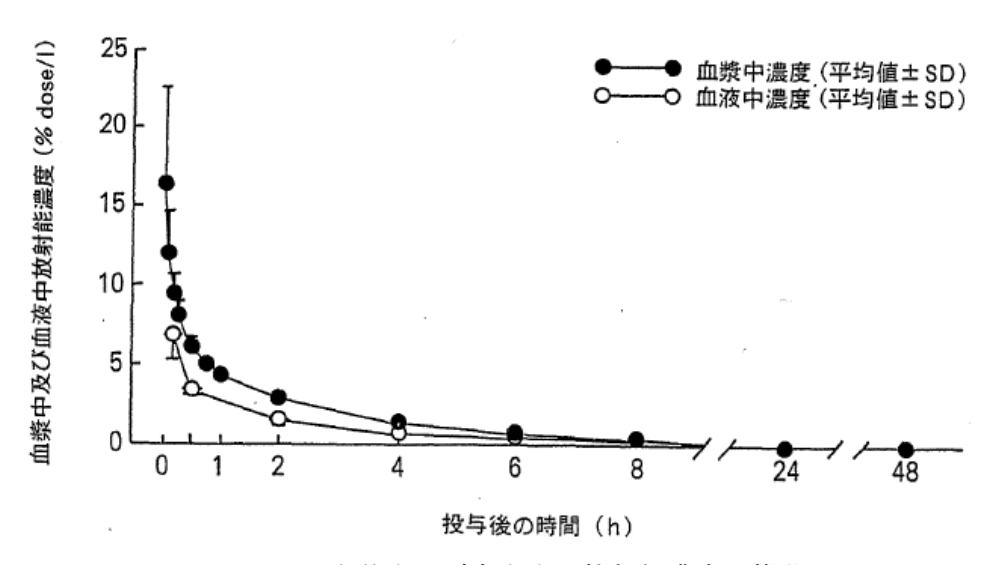
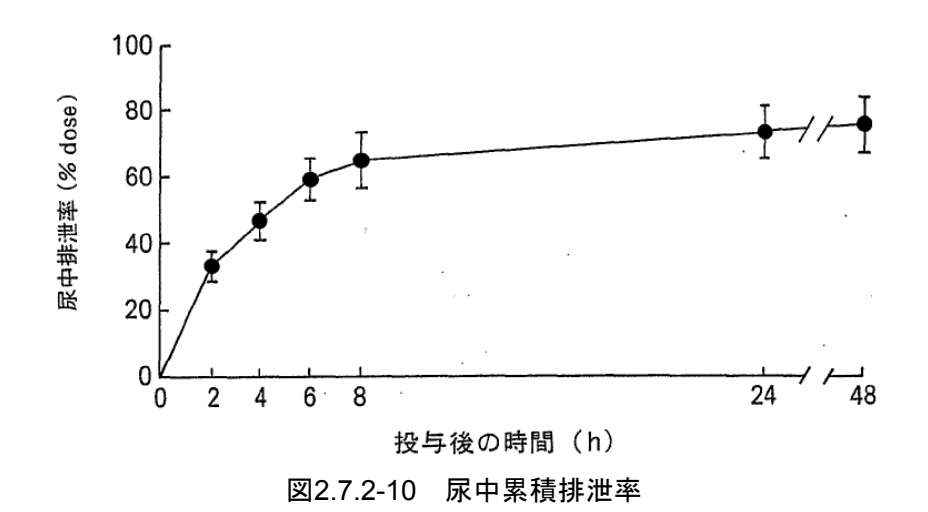


図2.7.2-9 血漿中及び全血中の放射能濃度の推移

(2) 尿中排泄

投与後6時間及び24時間までの放射能としての尿中累積排泄率は、それぞれ59.1 ± 6.5%dose 及び73.0 ± 8.3%doseであり、急速な尿中への排泄が確認された(図2.7.2-10)。腎クリアランス(92 ± 24 mL/min)は全身クリアランス(82 ± 12 mL/min)とほぼ等しく、腎からの排泄が主要排泄経路であることが示された。



(3) 血漿及び尿中代謝物

血漿中の代謝物は、放射能濃度が非常に低かったため検討できなかった。

尿中の代謝物は、表2.7.2-5に示すように、投与後6時間までは各分画中の総放射能の90%以上が未変化体であった。その後は、未変化体の割合は徐々に低下した。

表2.7.2-5 尿中代謝物 (未変化体の割合)

分画	未変化体の割合 (%)
0 ~ 2 時間	96.2 ± 0.8
2 ~ 4 時間	94.3 ± 1.4
4 ~ 6 時間	90.8 ± 5.1
6 ~ 8 時間	76.0 ± 7.1
8 ~ 24 時間	60.7 ± 10.6

平均值 ±SD

(4) 体内分布

各撮像時点の全身プラナー像を図2.7.2-11に示す。投与後30分には心血液プール像が見られ、同時に腎臓、肝臓、脾臓への集積が認められた。その後、心血液プール像は速やかに消失したが、腎臓、肝臓、脾臓への集積は時間経過とともにより明瞭となった。投与後6時間までは結腸は描出されなかったが、投与後24及び48時間では結腸への排泄像が明らかとなった。投与後30分の放射能を100%とした場合、全身放射能は投与後4時間で47.1±3.5%dose、24時間で18.5±2.4%doseであった。

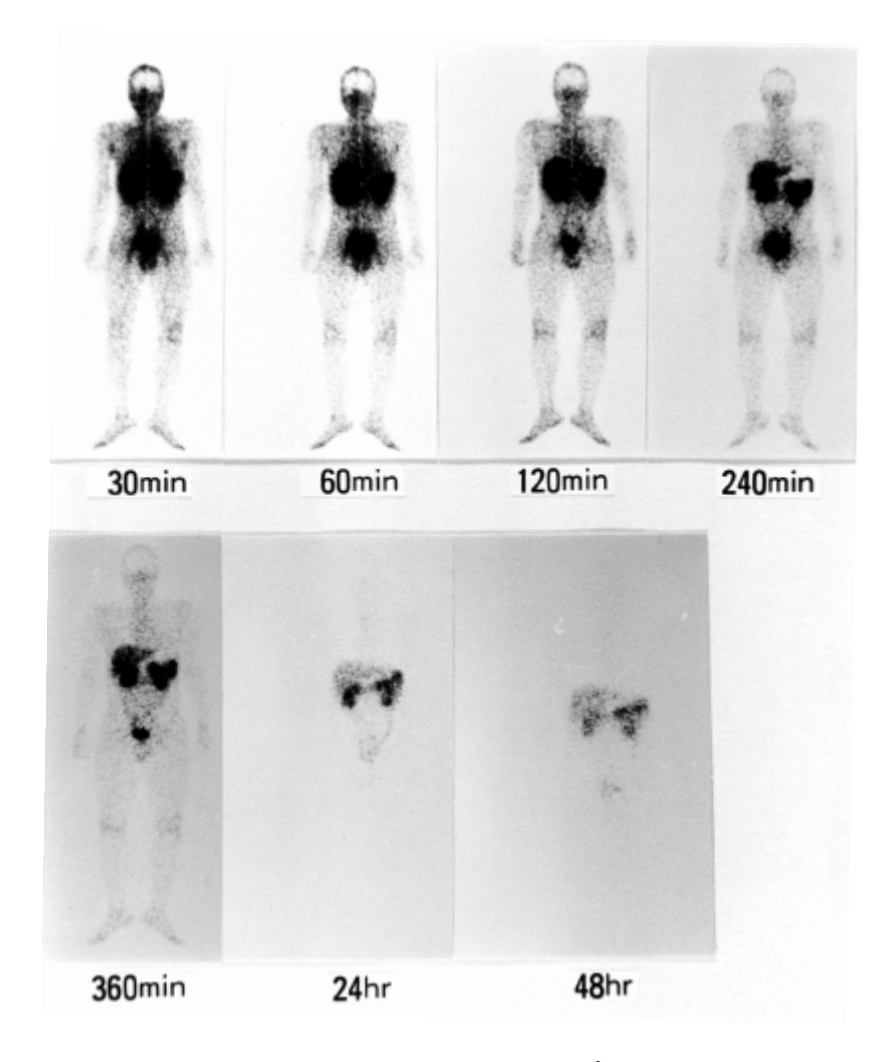


図2.7.2-11 各撮像時点の全身プラナー像

(5) 被曝線量

インジウムペンテトレオチド (¹¹¹In) の申請用量 (111~222 MBq) 投与時の吸収線量及び実効線量当量を表2.7.2-6に示す。インジウムペンテトレオチド (¹¹¹In) の吸収線量は、臓器別では膀胱が最も高く、以下、腎臓、脾臓、大腸下部及び肝臓の順であった。最大申請用量 (222 MBq) 投与時の吸収線量を本邦で市販されているインジウム (¹¹¹In) 標識注射剤 (塩化インジウム (¹¹¹In) 注及びゼヴァリンインジウム (¹¹¹In) 静注用セット) の最大承認用量投与時の吸収線量と比較した場合、2製剤よりも高値を示した臓器は膀胱のみであった。また、インジウムペンテトレオチド (¹¹¹In) の腎臓及び脾臓の吸収線量は、ゼヴァリンインジウム (¹¹¹In) 静注用セットに比べ高値であったものの、塩化インジウム (¹¹¹In) 注の半分以下であった。それ以外の臓器では、2製剤よりも低い値を示した。

表2.7.2-6 被曝線量

	吸収線量					
臓器	インシ゛ウムヘ゜ンテトレオチト゛(¹¹¹ In)		塩化インジウム(¹¹¹ In)注*1	t゙ヴァリンインジウム(¹¹¹ In) 静注用セット ^{*2}		
	(mGy/111 MBq)	(mGy/222 MBq)	(mGy/111 MBq)	(mGy/130 MBq)		
副腎	3.57	7.14	_	29.9		
脳	2.04	4.08	_	13.0		
胸部	1.89	3.78	_	14.3		
胆嚢	5.31	10.6	_	35.1		
大腸下部	8.82	17.6	_	44.2		
小腸	4.71	9.42	_	37.7		
胃	4.26	8.52	_	24.7		
大腸上部	5.76	11.5	_	44.2		
心臓	3.36	6.72	_	40.3		
腎臓	33.0	66.0	159.9	44.2		
肝臓	7.47	14.9	180.6	65.0		
肺	3.00	6.00	15.0	39.0		
筋肉	3.09	6.18	_	18.2		
卵巣	5.19	10.4	15.3	33.8		
膵臓	6.33	12.7	27.0	29.9		
骨髄	3.39	6.78	108.6	31.2		
骨	4.35	8.70	16.5	35.1		
皮膚	1.83	3.66	_	10.4		
脾臓	32.1	64.2	169.8	45.5		
精巣	3.27	6.54	105.0	39.0		
胸腺	2.58	5.16	_	20.8		
甲状腺	2.46	4.92	_	15.6		
膀胱	38.1	76.2	33.0	24.7		
子宮	6.75	13.5	_	28.6		
全身			18.0	20.8		
実効線量当量	9.78 (mSv/111 MBq)	19.6 (mSv/222 MBq)	_	_		

 $^{^{*1}}$ 塩化インジウム(111 In)注(日本メジフィジックス株式会社)添付文書

2.7.2.2.2.3 91-139臨床薬理試験 (海外第Ⅲ相臨床試験)

...... 添付資料5.3.4.2.1

91-139臨床薬理試験の試験デザインの概要を表2.7.2-7に示す。

本臨床薬理試験は、第Ⅲ相臨床試験の一部として実施されたものであり、NET患者20名のうち8名において、インジウムペンテトレオチド (111 In) の内分泌機能への影響を検討した。本試験では、インジウムペンテトレオチド (111 In) (ペンテトレオチドとして10 μ g) を静脈内に単回投与し、投与前5分、投与後5、10、15、30、60、120分及び24時間に採血し、血清中ホルモン12種 (ガストリン、膵ポリペプチド、ニューロテンシン、血管作動性腸管ペプチド、

^{*2} ゼヴァリンインジウム (¹¹¹In) 静注用セット (スペクトラム・ファーマシューティカルズ合同会社) 添付文書

ガストリン放出ペプチド、ソマトスタチン、サブスタンスP、成長ホルモン放出因子、ニューロキニンA、ペプチドチロシンチロシン、クロモグラニンB関連ペプチド、グルカゴン)を測定した。

表2.7.2-7 91-139臨床薬理試験(海外第Ⅲ相臨床試験)の試験デザインの概要

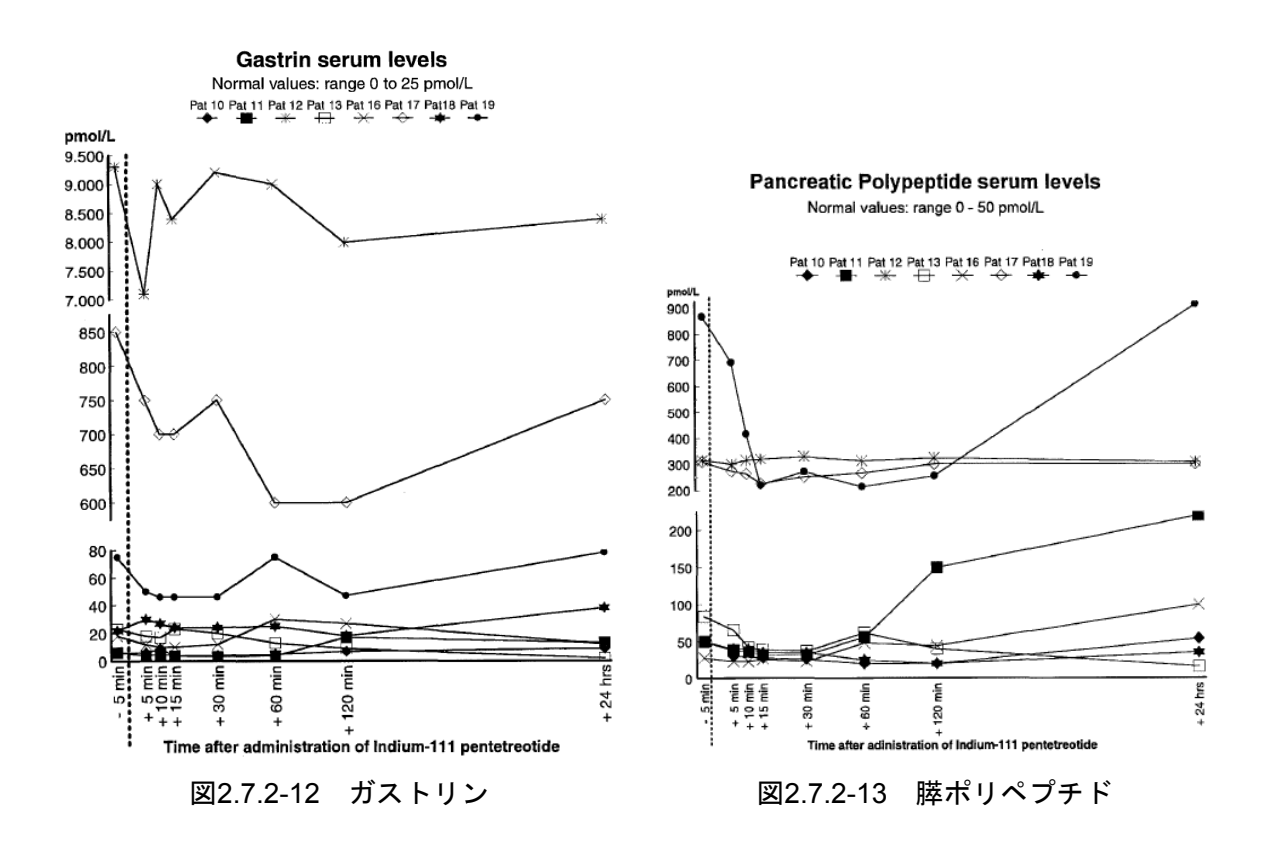
治験の標題	Human pharmacology study. Influence of the administration of small doses of Pentetreotide				
	on serum hormone levels.				
試験期間	19 年 月 ~ 19 年 月				
目的	診断用量のペンテトレオチドが血清中ホルモン値に与える影響を検討する。				
試験デザイン	単施設、オープン				
	(海外第Ⅲ相臨床試験 [A phase 3, open label, study to determine the safety and efficacy				
	of OctreoScan® 111 in the scintigraphic localization of primary and metastatic				
	gastro-entero-pancreatic endocrine (GEP) tumours]の一部として実施された。)				
対象疾患	神経内分泌腫瘍				
実施国	スイス				
主な選択基準	1. 下記の条件の少なくとも1つを満たす患者。				
	(1) 胃腸膵NETの臨床診断が陽性である。内分泌活性が証明されているが、最新				
	の局在診断法でも腫瘍の場所が明らかではない。				
	(2) 内分泌活性を示さないが、胃腸膵の内分泌腺を起源とする腫瘍の場所が明ら				
	かで、組織学的診断が陽性である。腫瘍の種類は転移を起こすことが知られ				
	ている。				
	(3) 内分泌学的に活性な胃腸膵領域の腫瘍の臨床診断が陽性である。内分泌活性				
	が証明されており、腫瘍の種類は転移を起こすことが知られている。				
	(4) 異所性の胃腸膵ホルモン産生腫瘍(気管支、喉頭、卵巣、縦隔又はリンパ節				
	のカルチノイド)の臨床診断が陽性である。				
	2. 年齢、性別及び妊娠の有無は問わない。				
主な除外基準	1. 確定的な局在診断が得られない(外科的診査又は生検が行われない)可能性が高				
	い患者。				
	2. 本検査に耐えられないと考えられる患者。				
	3. 臨床情報が十分でないため、臨床診断を下すことができない患者。				
被験者数	第Ⅲ相臨床試験に参加した20名のうちの8名				
	インジウムペンテトレオチド (¹¹¹ In) をペンテトレオチドとして10 μg静脈内単回投				
与方法	与				
併用療法	オクトレオチド酢酸塩はインジウムペンテトレオチド (¹¹¹ In) 投与3日前より休薬				
評価項目	<内分泌検査>				
	・ガストリン、膵ポリペプチド、ニューロテンシン、血管作動性腸管ペプチド、ガ				
	ストリン放出ペプチド、ソマトスタチン、サブスタンスP、成長ホルモン放出因				
	子、ニューロキニンA、ペプチドチロシンチロシン、クロモグラニンB関連ペプ				
	チド、グルカゴン				

各ホルモンの測定値の推移を図2.7.2-12~図2.7.2-23に示す。

治験薬投与後に、一部の被験者でホルモン値の低下が見られた。明らかな低下を示したの

はガストリンであり、8名中3名で低下が見られた。この低下は、食事の影響も否定できないが、治験薬投与後速やかに認められたことから、治験薬の投与が関連していると考えられた。この他、膵ポリペプチド、ニューロテンシン、ニューロキニンA及びクロモグラニンB関連ペプチドでは、偶発的と思われる低下が見られた。これ以外のホルモンでは、変動は見られなかったか、あっても不明瞭であった。

治験薬投与前のホルモン値が生理的範囲内であった被験者では、投与後のホルモン値の変動は生理的範囲内に留まり、臨床的に問題と思われる低下は見られなかった。治験薬投与前のホルモン値が異常高値であった被験者では、投与後のホルモン値の低下幅はより大きかったが、低下していた期間は限定的であり、治験薬投与後24時間には投与前の値に回復した。



Neurotensin serum levels

Normal values: range 0 - 50 pmol/L

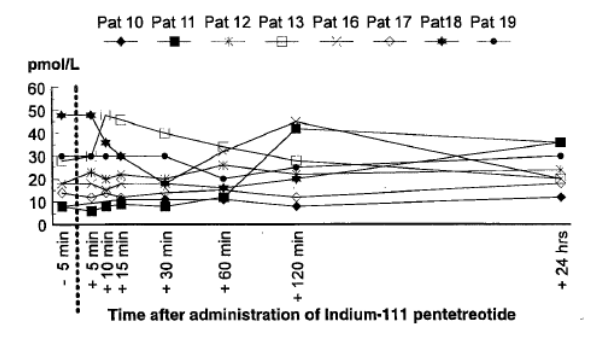


図2.7.2-14 ニューロテンシン

Vasoactive Intestinal Peptide serum levels

Normal values: range 0 - 25 pmol/L

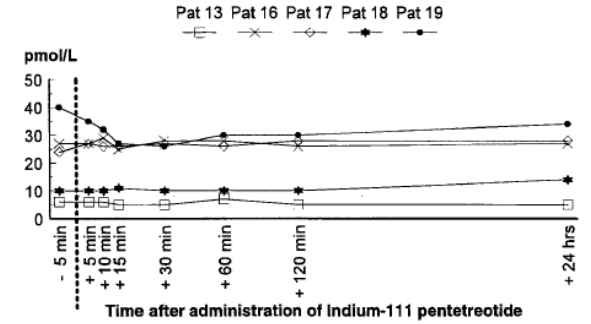


図2.7.2-15 血管作動性腸管ペプチド

Bombesin serum levels

Normal values: range 0 - 50 pmol/L

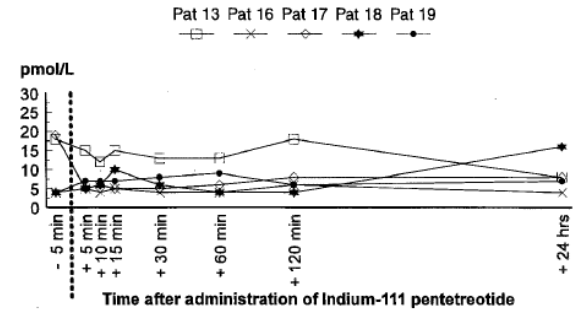
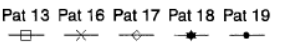


図2.7.2-16 ガストリン放出ペプチド

Somatostatin serum levels

Normal values: range 0 - 50 pmol/L



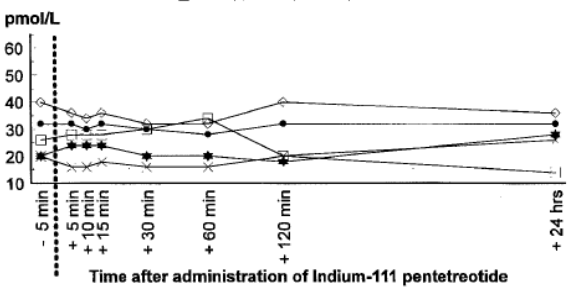


図2.7.2-17 ソマトスタチン

Substance P serum levels

Normal values: range 0 - 50 pmol/L

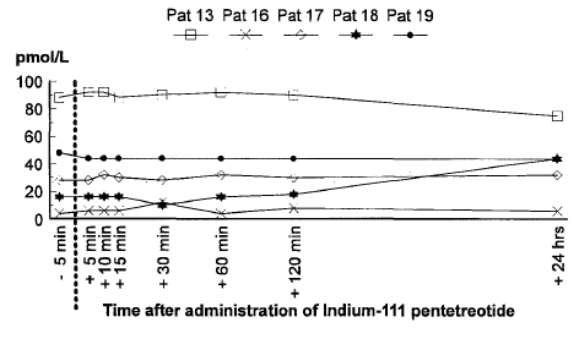


図2.7.2-18 サブスタンスP

Growth Hormone Release Factor serum levels

Normal values: range 0 - 75 pmol/L

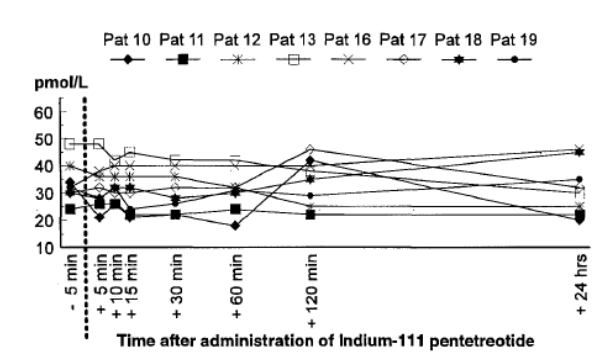


図2.7.2-19 成長ホルモン放出因子

Neurokinin A serum levels

Normal values: range 0 - 75 pmol/L

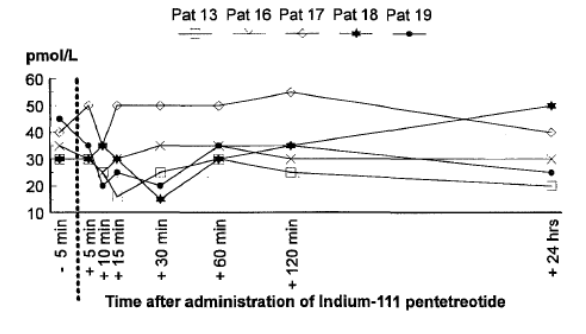


図2.7.2-20 ニューロキニンA

Peptide Tyr-Tyr serum levels

Normal values: range 0 - 50 pmol/L

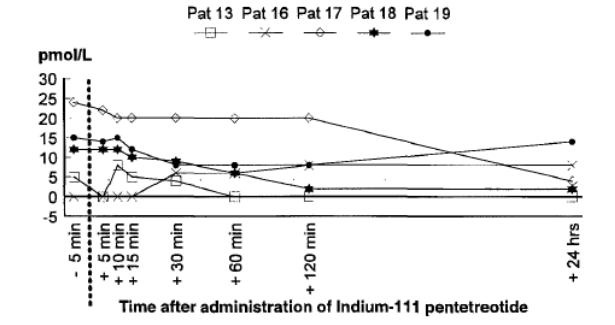


図2.7.2-21 ペプチドチロシンチロシン

Chromogranin-b sequence serum levels

Normal values: range 0 - 150 pmol/L

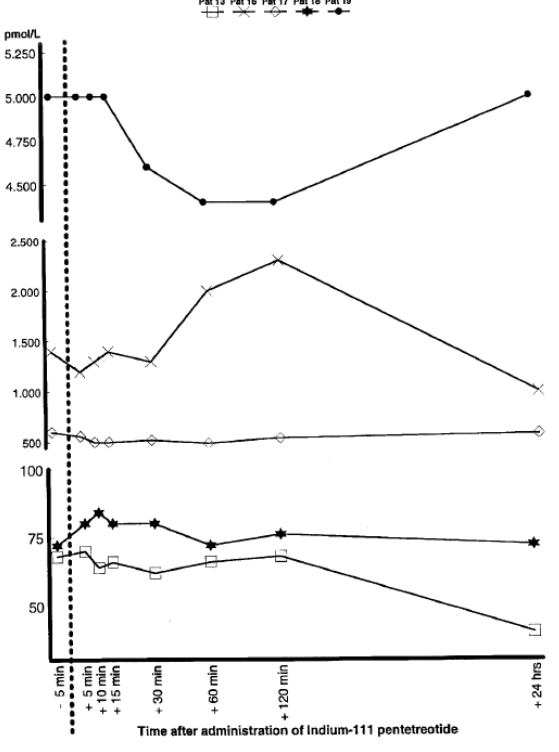


図2.7.2-22 クロモグラニンB関連ペプチド

Glucagon serum levels

Normal values: range 0 - 50 pmol/L

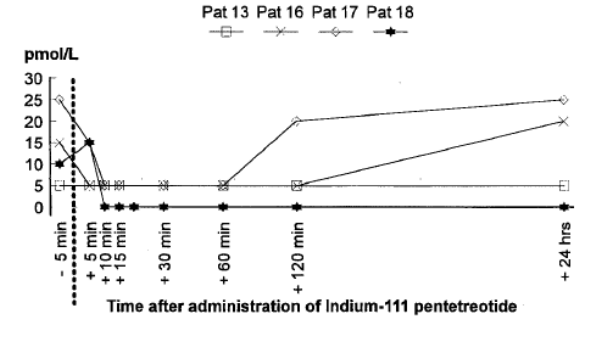


図2.7.2-23 グルカゴン

2.7.2.3 全試験を通しての結果の比較と解析

2.7.2.3.1 ヒト生体試料を用いたin vitro試験(血漿中たん白結合率)

インジウムペンテトレオチド (111 In) (ペンテトレオチドとして1~300 ng/mL) を添加した時のヒト血漿へのたん白結合率は23.19~26.40%であり、ラット及びイヌとの間で明らかな差は認められなかった。

2.7.2.3.2 内分泌機能への影響

健康成人を対象とした国内内分泌試験で、ペンテトレオチドは5~20 μgの用量では成長ホルモン、インスリン、グルカゴン、ガストリン、血糖、TSH、ACTH及びコルチゾールに影響しないことが確認された。NET患者を対象とした海外91-139臨床薬理試験では、インジウムペンテトレオチド (111 In) (ペンテトレオチドとして10 μg) 投与後に一部の被験者でホルモン値の低下が見られたが、その程度及び持続時間は限定的であった。インジウムペンテトレオチド (111 In) の最大申請用量222 MBqに含まれるペンテトレオチド20 μgは、消化管ホルモン産生腫瘍、消化管NET及び先端巨大症・下垂体性巨人症の治療薬として承認されているオクトレオチド酢酸塩の最小1日投与量100 μgのわずか1/5である上、ペンテトレオチドのラット脳下垂体前葉細胞における成長ホルモン分泌抑制作用は、オクトレオチドのわずか1/10であると報告されている (「2.6.2.3.1 成長ホルモン分泌抑制作用」参照)。インジウムペンテトレオチド (111 In) 222 MBq (ペンテトレオチドとして20 μg) までの単回投与は、臨床的に問題と思われるホルモン分泌抑制作用を引き起こす可能性は低いと考えた。

2.7.2.3.3 薬物動態

国内の健康成人にインジウムペンテトレオチド(¹¹¹In) 111 MBqを静脈内に単回投与した時、血漿中放射能濃度は二相性の消失を示し、血中から急速に消失した。腎臓が主要排泄経路で、尿中への排泄は速やかであった。投与後6時間までは尿中放射能の90%以上が未変化体であり、その後未変化体の割合は徐々に低下した。

投与後30分の全身プラナー像では、心血液プール像が見られ、同時に腎臓、肝臓及び脾臓への集積が認められた。その後、心血液プール像は速やかに消失したが、腎臓、肝臓及び脾臓への集積は時間経過とともにより明瞭となった。投与後6時間までは結腸は描出されなかったが、24及び48時間像では結腸への排泄像が明らかとなった。

2.7.2.3.4 被曝線量

国内の健康成人にインジウムペンテトレオチド(¹¹¹In)を投与した時の吸収線量は、膀胱が最も高く、以下、腎臓、脾臓、大腸下部及び肝臓の順であった。インジウムペンテトレオチド(¹¹¹In)の申請用量(111~222 MBq)投与時の吸収線量は、本邦で市販されているインジウム(¹¹¹In)標識注射剤の吸収線量との比較においても、臨床上特に問題となる値を示さなかった。インジウムペンテトレオチド(¹¹¹In)の吸収線量及び全身への実効線量当量は、核医学検査の被曝線量として問題ないことが確認された。

2.7.2.4 特別な試験

該当なし。

2.7.2.5 付録

該当なし。

(最終ページ)

オクトレオスキャン静注用セット

CTD第2部

- 2.7 臨床概要
- 2.7.3 臨床的有効性

富士フイルムRIファーマ株式会社

(空白ページ)

2.7.3 目次

略号一覧		5
専門用語一覧		5
化合物一覧		6
2.7.3 臨床的有效 2.7.3	b性	7
	· び概観	
2.7.3.1.1 有	効性評価に用いた臨床試験	7
	末試験のデザイン	
2.7.3.1.2.1	国内第Ⅲ相臨床試験(参考資料)	10
2.7.3.1.2.2	国内追加第Ⅲ相臨床試験(評価資料)	12
2.7.3.1.2.3	海外第Ⅲ相臨床試験(参考資料)	15
2.7.3.1.2.4	有効性評価項目(症例毎及び部位毎の診断能)	18
2.7.3.2 個々の	試験結果の要約	20
2.7.3.2.1 臨	末試験	20
2.7.3.2.1.1	国内第Ⅲ相臨床試験(参考資料)	20
2.7.3.2.1.2	国内追加第Ⅲ相臨床試験(評価資料)	22
2.7.3.2.1.3	海外第Ⅲ相臨床試験(参考資料)	28
2.7.3.2.2 個	人輸入の使用実態(参考資料)	30
2.7.3.2.2.1	個人輸入使用実態調査	31
2.7.3.2.2.2	個人輸入症例に関する公表論文	34
2.7.3.2.3 有	効性を支持する資料(参考資料)	35
2.7.3.2.3.1	学会又は組織等の診療ガイドライン	35
2.7.3.2.3.2	国際的に標準とされる教科書	36
2.7.3.2.3.3	Peer-reviewed journalに掲載された総説、メタ・アナリシス等	37
2.7.3.2.3.4	臨床試験等の公表論文	38
2.7.3.3 全試験	を通しての結果の比較と解析	47
2.7.3.3.1 試	験対象集団	47
2.7.3.3.2 全	有効性試験の結果の比較検討	49
2.7.3.3.2.1	患者単位の感度(既存の画像診断法との一致性)	49
2.7.3.3.2.2	治療方針の決定への影響	50
2.7.3.3.3 部分	分集団における結果の比較	51
2.7.3.3.3.1	組織診断で診断が確定された症例における有効性	
2.7.3.3.3.2	ソマトスタチン受容体を発現している症例における有効性	
2.7.3.3.3.3	疾患別の有効性(既存の画像診断法との一致性)	
2.7.3.3.3.4	既存の画像診断法で病巣が確認されていない症例における有効性	54
273335	インジウムペンテトレオチド (¹¹¹ In) の有効性に対するオクトレオチ	· ド酢

酸塩の影響	55
2.7.3.4 推奨用法・用量に関する臨床情報の解析	56
2.7.3.4.1 投与量	56
2.7.3.4.2 撮像時期及び方法	58
2.7.3.5 効果の持続、耐薬性	58
2.7.3.6 付録	58

略号一覧

FL 7	dame 1 2 2 2 +- TI				
略号	省略していない表現				
	英語	日本語			
ACR	American College of Radiology	米国放射線科医学会			
ACTH	adrenocorticotropic hormone	副腎皮質刺激ホルモン			
CT	computed tomography	コンピュータ断層撮影			
EANM	European Association of Nuclear Medicine	欧州核医学会			
ENETS	European Neuroendocrine Tumor Society	欧州神経内分泌腫瘍学会			
ESMO	European Society of Medical Oncology	欧州臨床腫瘍学会			
FDA	Food and Drug Administration	米国食品医薬品局			
FN	false negative	偽陰性			
FP	false positive	偽陽性			
MEN1	multiple endocrine neoplasia type 1	多発性内分泌腫瘍症1型			
MRI	magnetic resonance imaging	核磁気共鳴断層撮影			
NANETS	North American Neuroendocrine Tumor	北米神経内分泌腫瘍学会			
	Society				
NCCN	National Comprehensive Cancer Network	米国国立総合癌センターネットワーク			
NCI-PDQ	National Cancer Institute Physician Data	米国国立がん研究所PDQ			
	Query				
NET	neuroendocrine tumor	神経内分泌腫瘍			
PRRT	peptide receptor radionuclide therapy	放射性核種標識ペプチド治療			
SD	standard deviation	標準偏差			
SNMMI	Society of Nuclear Medicine and Molecular	米国核医学会			
	Imaging				
SPECT	single photon emission computed	単一光子放射形コンピュータ断層撮影			
	tomography				
SPR	Society of Pediatric Radiology	米国小児放射線医学会			
TN	true negative	真陰性			
TP	true positive	真陽性			
US	ultrasonography	超音波検査			
VIP	vasoactive intestinal polypeptide	血管作動性腸管ペプチド			
ZES	Zollinger-Ellison syndrome	ゾリンジャー・エリソン症候群			
95% CI	95% confidence interval	95%信頼区間			

専門用語一覧

専門用語	説明		
MP-1727	インジウムペンテトレオチド (¹¹¹ In) の治験薬コード。		
Bq	放射能の単位(ベクレル)。		
	1秒間に1個の原子核が崩壊して放射線を放つ放射能が1ベクレル。		
	1 MBq (メガベクレル) =1,000,000 Bq₀		

専門用語	説明
プラナー像(全身	ガンマカメラで放射性薬剤から放出されるガンマ線を平面的に計測し、放射能
像、スポット像) 	分布を平面的に表示した画像。全身像及びスポット像は、プラナー像に分類されて
	れる。
SPECT像	ガンマカメラを患者の体軸を中心に回転させ、多方向からデータを収集し、コ
	ンピュータにより画像を再構成して作成される断層像。

化合物一覧

化合物名	構造式	化学名又は説明
ペンテトレオチド	H ₂ C CH ₂ -COOH CH ₂ COOH N-CH ₂ COOH H ₂ C CH ₂ -COOH H ₂ C CH ₂ -COOH CH ₂ ₂ -	JAN: (-)-N-[2-[[2-[bis (carboxymethyl)amino]ethyl](carboxymethyl)amino]ethyl]]-N-(carboxymethyl)glycyl-D-phenylalanyl-L-cysteinyl-L-phenylalanyl-D-tryptophyl-L-lysyl-L-threonyl-N-[(1R, 2R)-2-hydroxy-1-(hydroxymethyl)propyl]-L-cysteinamide, cyclic(3-8)-disulfide
	(略式表記) Thr(ol)—Cys—Thr S Lys S DTrp HO ₂ C N N D-Phe—Cys—Phe	CAS: L-Cysteinamide, N-[2-[[2-[bis(carboxymethyl)amino]ethyl](carboxymethyl)amino]ethyl]-N-(carboxymethyl)glycyl-D-phenylalanyl-L-cysteinyl-L-phenylalanyl-D-tryptophyl-L-lysyl-L-threonyl-N-[(1R,2R)-2-hydroxyl-(hydroxymethyl)propyl]-, cyclic(3-8)-disulfide
インジウ ムペンテ トレオチ ド (¹¹¹ In)	_	ペンテトレオチドとイン ジウム (¹¹¹ In) が1:1で配 位結合した錯体;有効成 分
ソマトス タチン	HO-Cys-Ser-Thr-Phe-Thr S Lys S Trp H-Ala-Gly-Cys-Lys-Asn-Phe-Phe	_
オクトレオチド	Thr(ol)—Cys—Thr S Lys S DTrp H—D-Phe—Cys—Phe	L-Cysteinamide,D-phenylala nyl-L-cysteinyl-L-phenylala nyl-D-tryptophyl-L-lysyl-L-t hreonyl-N-[(1R,2R)-2-hydro xy-1-(hydroxymethyl)propyl]-, cyclic(2-7)-disulfide

2.7.3 臨床的有効性

2.7.3.1 背景及び概観

2.7.3.1.1 有効性評価に用いた臨床試験

インジウムペンテトレオチド (111In) の神経内分泌腫瘍 (NET) の画像診断における有効性は、国内で消化管ホルモン産生腫瘍を対象に実施した第Ⅲ相臨床試験及び追加第Ⅲ相臨床試験がびに欧州でNETを対象に実施した海外第Ⅲ相臨床試験により評価し、国内追加第Ⅲ相臨床試験を評価資料、国内第Ⅲ相臨床試験及び海外第Ⅲ相臨床試験を参考資料とした。なお、海外第Ⅲ相臨床試験については、全15個の単施設試験のうち、同一プロトコールで実施され、米国での新薬申請の際に米国食品医薬品局 (FDA) によりピボタル試験と判断された9試験 (91-132、91-133、91-134、91-136、91-137、91-148、91-149、91-150、91-151試験) を統合した結果を評価に用いた。

また、インジウムペンテトレオチド (¹¹¹In) は海外で既に承認され、広く使用されていることから、学会又は組織等の診療ガイドライン、国際的に標準とされる教科書、peer-reviewed journalに掲載された総説及び臨床試験等の公表論文を有効性を支持する資料とし、参考資料として追加した。さらに、国内では海外市販品(OctreoScan®)を医師が個人輸入して使用している実態があることから、個人輸入の使用実態調査の結果を参考資料とした。

有効性評価に用いた臨床試験及び有効性を支持するその他資料の一覧をそれぞれ表2.7.3-1 及び表2.7.3-2に示す。

表2.7.3-1 有効性評価に用いた臨床試験

試験名 [実施計画書No.]	実施国 治験期間	目的	デザイン	対象 被験者数	被験薬 投与量 投与方法	添付資料番号 資料区分
第Ⅲ相臨床試験 [MP-1727-03]	日本 1994.12~ 1995.3	有効性 安全性 有用性	多施設共 同、オー プン	消化管ホルモ ン産生腫瘍 23名	インジ ウムペ ンテトレオチト (111In) 74 MBq又は111 MBq 静脈内単回	5.3.5.2.1 参考
追加第Ⅲ相臨床試 験 [MP-1727-04]	日本 2000.11~ 2002.1	有効性 安全性 有用性	多施設共 同、オー プン	消化管ホルモ ン産生腫瘍 40名	インシ゛ウムペ ンテトレオチト゛(****In) 111 MBq 静脈内単回	5.3.5.2.2 評価
海外第Ⅲ相臨床試 験* [91-132, 91-133, 91-134, 91-136, 91-137, 91-148, 91-149, 91-150, 91-151]	欧州 19 1 ~ 19 1 ~	有効性 安全性	オープン、被験者内比較	神経内分泌腫 瘍 365名	インジ [*] ウムヘ [*] ンテトレオチト [*] (¹¹¹ In) 111 MBq又は222 MBq 静脈内単回	5.3.5.3.1 [5.3.5.2.3~ 5.3.5.2.11] 参考

^{*}海外第Ⅲ相臨床試験は、欧州で実施された全15個の単施設試験のうち、同一プロトコールで実施され、米国での新薬申請の際にFDAによりピボタル試験と判断された9試験の統合結果を有効性評価に用いた。

表2.7.3-2 有効性評価に用いた臨床試験以外の資料

添付資料番号 資料区分
5.3.5.4.1 参考
5.3.5.4.2

- (1) 大西久司ら. 胆と膵 1996;17(10):1059-66.
- (2) 東中川光ら. Acth Related Peptides 1999;10:301-7.
- (3) 土井賢ら. 日本内分泌学会雑誌 2001;77(Suppl.):41-3.
- (4) Ichijo T et al. J Hepatobiliary Pancreat Surg 2001;8(5):473-8.
- (5) 土井賢ら. Acth Related Peptides 2002;12:147-53.
- (6) Doi M et al. Endocr J 2003;50(2):135-43.
- (7) Kishida K et al. Intern Med 2003:42(10):996-1005.
- (8) 古家美幸ら. 日本内分泌学会雑誌 2005;81(Suppl.):104-7.
- (9) Izumiyama H et al. Intern Med 2006;45(8):519-24.
- (10) 多久和輝尚ら. 肺癌 2006;46(4):375-8.
- (11) 南勲ら. 日本内分泌学会雑誌 2006;82(Suppl.):92-5.
- (12) Hosoya Y et al. Gastric Cancer 2008;11(2):123-6.
- (13) 高橋真ら. 臨床神経学 2008;48(2):120-4.
- (14) Nakayama S et al. Endocrine 2009;35(2):143-6.
- (15) 矢嶋由紀ら. ホルモンと臨床 2009;57(冬季増刊):207-13.
- (16) Sugiyama M et al. Endocr J 2010;57(11):959-64.
- (17) Sugiyama T et al. Intern Med 2010;49(15):1573-9.
- (18) Tani Y et al. Endocr J 2010;57(8):679-86.
- (19) 小松弥郷ら. Therapeutic Research 2010;31(12):1683-5.
- (20) Doi M et al. Endocr J 2010;57(12):1061-9.
- (21) 亀田 亘 et al. 内分泌・糖尿病・代謝内科 2012;34(3):285-6.
- (22) 川瀬貴嗣ら. 核医学 2014;51(2):47-53.
- (23) Kubota K et al. Ann Nucl Med 2014;28(10):1004-10.

有効性を支持する資料

学会又は組織等の診療ガイドライン

5.3.5.4.3

- (1) National Comprehensive Cancer Network Clinical Practice Guidelines in Oncology (NCCNガ 参考 イドライン)
- (2) National Cancer Institute Physician Data Query (NCI-PDQ)
- (3) European Society of Medical Oncology (ESMO) の診療ガイドライン
- (4) European Neuroendocrine Tumor Society (ENETS) の診療ガイドライン及び画像診断ガ イドライン
- (5) North American Neuroendocrine Tumor Society (NANETS) の診療ガイドライン
- (6) Society of Nuclear Medicine and Molecular Imaging (SNMMI) の画像診断ガイドライン
- (7) European Association of Nuclear Medicine (EANM) の画像診断ガイドライン
- (8) American College of Radiology (ACR) 及びSociety of Pediatric Radiology (SPR) の画像診 断ガイドライン

(page 1 of 2)

表2.7.3-2 有効性評価に用いた臨床試験以外の資料 (続き)

資料名	添付資料番号 資料区分
有効性を支持する資料	
国際的に標準とされる教科書	5.3.5.4.4
(1) DeVita, Hellman, and Rosenberg's Cancer: Principles & Practice of Oncology	参考
(2) Holland-Frei Cancer Medicine	
(3) Williams Textbook of Endocrinology	
(4) Cecil Medicine	
Peer-reviewed journal に掲載された総説、メタ・アナリシス等	5.3.5.4.5
(1) Bombardieri E et al. Q J Nucl Med Mol Imaging 2010;54(1):3-15.	参考
(2) Carrasquillo JA et al. Semin Oncol 2010;37(6):662-79.	
(3) Kwekkeboom DJ et al. Endocr Relat Cancer 2010;17(1):R53-73.	
(4) Scarpa M et al. J Surg Oncol 2010;102(7):877-88.	
(5) Oberg K et al. Cancer Metastasis Rev 2011;30 Suppl 1:3-7.	
(6) Teunissen JJ et al. Endocr Relat Cancer 2011;18 Suppl 1:S27-51.	
(7) Sundin A. Best Pract Res Clin Gastroenterol 2012;26(6):803-18.	
(8) van Essen M et al. Nat Rev Endocrinol 2014;10(2):102-14.	
臨床試験等の公表論文	5.3.5.4.6
(1) de Kerviler E et al. Eur J Nucl Med 1994;21(11):1191-7.	参考
(2) Jamar F et al. J Nucl Med 1995;36(4):542-9.	
(3) Gibril F et al. Ann Intern Med 1996;125(1):26-34.	
(4) Krenning EP et al. Digestion 1996;57 Suppl 1:57-61.	
(5) Cadiot G et al. Gut 1997;41(1):107-14.	
(6) Kisker O et al. J Am Coll Surg 1997;184(5):487-92.	
(7) Lebtahi R et al. J Nucl Med 1997;38(6):853-8.	
(8) Alexander HR et al. Ann Surg 1998;228(2):228-38.	
(9) Chiti A et al. Eur J Nucl Med 1998;25(10):1396-403.	
(10) Gibril F et al. J Nucl Med 1999;40(4):539-53.	
(11) Raderer M et al. J Clin Oncol 2000;18(6):1331-6.	
(12) Zimmer T et al. Digestion 2000;62 Suppl 1:45-50.	
(13) Briganti V et al. Cancer Biother Radiopharm 2001;16(6):515-24.	
(14) Lebtahi R et al. J Nucl Med 2002;43(7):889-95.	
(15) Cimitan M et al. Ann Oncol 2003;14(7):1135-41.	
(16) Panzuto F et al. Ann Oncol 2003;14(4):586-91.	

(18) Dromain C et al. J Clin Oncol 2005;23(1):70-8.

 $(19)\ Quigley\ AM\ et\ al.\ Neuroendocrinology\ 2005; 82(3-4): 215-20.$

(17) Dimitroulopoulos D et al. World J Gastroenterol 2004;10(24):3628-33.

(20) Perri M et al. Q J Nucl Med Mol Imaging 2008;52(4):323-33.(21) Stokkel MP et al. Nucl Med Commun 2011;32(8):731-7.

(22) Stokker Mr. et al. Mac Med Comman 2011,32(0).731

(22) Volante M et al. Mod Pathol 2007;20(11):1172-82.

(23) Asnacios A et al. J Clin Oncol 2008;26(6):963-70.

(24) Sclafani F et al. Tumori 2011;97(5):620-8.

(page 2 of 2)

2.7.3.1.2 臨床試験のデザイン

2.7.3.1.2.1 国内第Ⅲ相臨床試験(参考資料)

国内第Ⅲ相臨床試験は、消化管ホルモン産生腫瘍患者を対象にインジウムペンテトレオチド(¹¹¹In)の腫瘍の局在診断における投与量及び撮像方法について検討し、有効性、安全性及び有用性を評価する目的で、1994年12月から1995年3月にかけて国内20施設で実施した。試験デザインの概要を表2.7.3-3に示す。

組み入れの対象は、消化管ホルモン産生腫瘍(カルチノイド、インスリノーマ、ガストリノーマ、グルカゴノーマ、VIPオーマ、ソマトスタチノーマ)を有し、CT、MRI、血管造影等の事前の画像診断法により腫瘍の局在部位が確認されている患者とした。年齢は20歳から65歳までとした。

安全性を確認するために最初の4名にインジウムペンテトレオチド (¹¹¹In) 74 MBqを、以降の被験者に111 MBqを静脈内に単回投与した。投与後4、24及び48時間にプラナー像として全身像 (前面及び後面像) 及びスポット像 (少なくとも前面ないし後面像) を撮像し、投与後4~48時間の適当な時期にSPECT像を少なくとも1回撮像した。投与量は、海外での臨床試験成績等から臨床での使用が予想される用量として、74~111 MBqを設定した。

主な有効性の評価項目として、症例毎の診断能、部位毎の診断能及び治療方針に及ぼす影響を設定した。症例毎及び部位毎の診断能は、インジウムペンテトレオチド(¹¹¹In)によるシンチグラフィ(以下、本検査)及び本検査前の画像診断の結果を比較して評価した。症例毎の診断能では、本検査で少なくとも1箇所の真陽性部位が検出された場合を「有効」と判定した。部位毎の診断能では、病巣部位毎に本検査の結果を真陽性、偽陽性、偽陰性、真陰性又は未確認陽性に分類し、本検査と他の画像診断との一致性を判定した。

表2.7.3-3 国内第Ⅲ相臨床試験の試験デザインの概要

治験の標題	MP-1727の消化管ホルモン産生腫瘍を対象とした第Ⅲ相臨床試験
THINK	(実施計画書番号: MP-1727-03)
	(天旭川四首街 7 . MF-1/2/-03)
試験期間	1994年12月 ~ 1995年3月
目的	消化管ホルモン産生腫瘍患者を対象として、MP-1727の腫瘍の局在診断における
	投与量及び撮像方法について検討し、有効性、安全性及び有用性を評価する。
試験デザイン	多施設共同オープン
対象疾患	消化管ホルモン産生腫瘍(カルチノイド、インスリノーマ、ガストリノーマ、グ
	ルカゴノーマ、VIPオーマ及びソマトスタチノーマ)
目標症例数	20~30名
	設定根拠:消化管ホルモン産生腫瘍の推定患者数が非常に少ないことを勘案し、
	有効性(陽性率)の推定が可能な被験者数として20~30名と設定した。
参加施設数	国内20施設

(page 1 of 3)

表2.7.3-3 国内第Ⅲ相臨床試験の試験デザインの概要 (続き)

主な選択基準	1. 消化管ホルモン産生腫瘍の患者で、CT、MRI、血管造影等の画像診断法により						
	腫瘍の局在部位が確認されている患者。ただし、気管支カルチノイドは除く。						
	2. 年齢: 20~65歳である。						
主な除外基準	1. 妊婦、妊娠している可能性のある患者及び授乳中の患者。						
	2. 感染症等の重篤な合併症を有する患者。						
	3. 肝臓又は腎臓に高度な機能障害を有する患者。						
	4. 一般状態(Performance Status)がgrade 4(身の回りのこともできず、常に介助						
	がいり、終日就寝を必要としている)の患者。						
	5. 薬物等に対する重篤な過敏症のある患者。						
投与量	74 MBq [*] 又は 111 MBq(ペンテトレオチドとして最大10 μg)						
	(*最初の4名)						
投与方法	静脈内単回						
撮像方法	・プラナー撮像:治験薬投与後4、24及び48時間に全身像(前面及び後面像)を撮						
	像した。本検査前の画像診断で腫瘍が確認された部位及び全身像での陽性部位						
	についてはスポット像(少なくとも前面ないし後面像)を撮像した。						
	・ SPECT撮像:全身像で陽性部位が認められた場合及び診断確定のためにSPECT						
	像が必要と判断された場合には、治験薬投与後4~48時間の適当な時期にSPECT						
	像を少なくとも1回撮像した。						
併用療法	オクトレオチド酢酸塩の投与を受けている場合は、可能であれば、治験薬投与の						
	72時間前より休薬するのが望ましいとした。						
有効性	症例毎及び部位毎の診断能の評価は、非盲検下で施設担当医が実施した他に、読						
評価項目	影委員会でも実施した。読影委員会では、患者情報の盲検下で判定した後に、非						
	盲検下で再度判定した。読影委員会による非盲検下での評価が施設担当医と一致						
	しなかった症例については、読影委員会後に施設担当医に再評価を依頼した。施						
	設担当医の再評価結果が読影委員会の評価と一致しなかった場合には、読影委員						
	会は施設担当医から提供された新たな情報を加えて再読影した。最終的な診断能						
	の評価は、症例記録に記載された、読影委員会の評価も踏まえた施設担当医の評						
	価とした。						
	1. 画質:投与後4、24及び48時間に撮像したプラナー像及びSPECT像の画質を「1.						
	優良 2.良 3.不良」の3段階で判定した。						
	2. 投与量:画質、撮像に要した時間等を総合して「1.多すぎる 2.適量である 3.						
	少なすぎる」の3段階で判定した。						
	3. 撮像時期:画質、放射能の体内分布の推移、撮像に要した時間等を総合して投						
	与後4、24及び48時間の各撮像時期のうちから最適と思われる撮像時期(1時点						
	又は2時点以上の組み合わせ)を判定した。						
	4. 症例毎及び部位毎の診断能						
	(1)部位毎の診断能:本検査及び本検査前の画像診断の結果を比較し、「真陽						
	性」、「偽陽性」、「偽陰性」、「真陰性」、「未確認陽性」に分類した。						
	(2)症例毎の診断能:(1)の結果から、少なくとも1箇所の真陽性部位があった症						
	例を「有効」、偽陰性及び偽陽性のみの症例を「無効」と判定した。偽陰性、						
	偽陽性の部位と未確認陽性の部位のみであった場合は「判定不能」とした。						

(page 2 of 3)

表273-3	国内第Ⅲ相臨床試勵	全の試験デザイ かんりょう かんりょう かんしょう かんしょう かんしょ かんしょ かんしょ かんしょ かんしょう かんしょう かんしょう かんしょう かんしょう かんしょう かんしょう かんしょう しゅうしゅう しゅうしゅう かんしょう かんしょう しゅうしゅう しゅう	′ンの概要	(続き)
182.1.0-0		スレノロハ河ス ノーノー	ノの派女	\ /IVL C /

有効性	5. 治療方法の変更・追加:本検査を実施した結果として治療方法の変更又は追加
評価項目	を行った場合は変更内容を記録した(手術の実施又は中止、オクトレオチド酢
	酸塩の投与開始等)。
	6. 有効性の総合評価:本検査の画質、症例毎及び部位毎の診断能、治療方法の変
	更・追加を総合して、本剤の腫瘍の局在診断における有効性を「1.極めて有効
	な情報が得られた 2.有効な情報が得られた 3.有効な情報が得られなかった
	4.判定不能」の4段階で判定した。
有効性	治験薬が投与され、治験実施計画書に適合した集団とした。治験実施計画書に適
評価対象	合した集団から除外する被験者は、選択・除外基準、本検査の撮像方法等に関わ
	る逸脱内容を勘案し、症例検討幹事会で決定した。

(page 3 of 3)

2.7.3.1.2.2 国内追加第Ⅲ相臨床試験(評価資料)

国内追加第Ⅲ相臨床試験は、消化管ホルモン産生腫瘍の疑いのある患者を対象にインジウムペンテトレオチド(¹¹¹In)の腫瘍の診断における有効性、安全性及び有用性を検討する目的で、2000年11月から2002年1月にかけて国内15施設で実施した。試験デザインの概要を表2.7.3-4に示す。

組み入れの対象は、内分泌活性があり、直近1箇月以内のCT及び他の画像診断法のいずれかで腫瘍病巣の存在が確認され、消化管ホルモン産生腫瘍が疑われる患者(A群;腫瘍のソマトスタチン受容体の存在診断が主たる目的)と、内分泌活性があり、消化管ホルモン産生腫瘍の存在が疑われるが、直近1箇月以内のCT及び他の画像診断法で腫瘍病巣の存在・局在が確認できないか、確定できない患者(B群;腫瘍の局在診断が主たる目的)とした。年齢は20~75歳とした。

インジウムペンテトレオチド (¹¹¹In) 111 MBqを静脈内に単回投与し、投与後4及び24時間にプラナー像として全身像(前面及び後面像)及びスポット像(少なくとも前面ないし後面像)を撮像した。投与後48時間の撮像はできる限り実施した。SPECT像は、投与後4~48時間までの適当な時期に少なくとも1回撮像した。

主な有効性の評価項目として、本検査及び本検査前の画像診断の結果の比較による症例毎及び部位毎の診断能を設定した。症例毎の診断能では、本検査で少なくとも1箇所の真陽性部位が検出された場合を「陽性」と判定した。部位毎の診断能では、病巣部位毎に本検査の異常集積部位と本検査前の画像診断の一致性を判定した後、本検査の結果を真陽性、偽陽性、偽陰性又は真陰性に分類した。

他の画像診断との比較に加えて、本検査の有効性及び臨床的有用性を評価する目的で、本 検査の結果を本検査後のオクトレオチド負荷試験及び組織診断の結果と比較し、評価した。 オクトレオチド負荷試験に関しては、対象となるホルモン値の変動からソマトスタチン受容 体の有無を判定し、本検査の結果との関係を評価した。摘出病巣の組織診断に関しては、免 疫組織化学的染色が陽性であった病巣を消化管ホルモン産生腫瘍であると判定し、本検査の 陽性部位と比較した。 有効性の評価は、施設担当医の他に、施設担当医と独立した効果安全性評価委員会(以下、委員会)が盲検化し無作為化された画像を読影し、行った。本試験における有効性の評価は、委員会の判定を最終結果とした。

表2.7.3-4 国内追加第Ⅲ相臨床試験の試験デザインの概要

	the state of the s
治験の標題	MP-1727第Ⅲ相追加臨床試験
	ソマトスタチン受容体の存在を指標とする消化管ホルモン産生腫瘍の画像診断
	(実施計画書番号: MP-1727-04)
試験期間	2000年11月~2002年1月
目的	消化管ホルモン産生腫瘍の疑いのある患者を対象として、MP-1727の腫瘍の診断に
	おける有効性、安全性及び有用性(ソマトスタチン受容体の有無と局在診断)を検
	討する。
試験デザイン	多施設共同オープン
対象疾患	消化管ホルモン産生腫瘍(カルチノイド、インスリノーマ、ガストリノーマ、グル
	カゴノーマ、VIPオーマ、ソマトスタチノーマ等)
目標症例数	35名(A群15名、B群20名)
	設定根拠:消化管ホルモン産生腫瘍の日本における推定患者数を勘案し、有効性、
	安全性及び有用性の推定が可能な被験者数として35名(A群15名、B群20名)と設
	定した。B群の目標被験者数は、患者登録時、病巣の位置及び存在が未確定である
	ため、本検査での病巣の位置及び存在確定率を登録被験者全数に対して50%と推定
	して算出した。
参加施設数	国内15施設
主な選択基準	1. 被験者は、下記のA群、B群の2群に分けて組み入れる。
	A群:内分泌活性があり、且つ直近1箇月以内におけるCT及び他の画像診断(単
	純X線撮影、US、MRI、血管造影、核医学検査等)のいずれかで腫瘍病巣の存在
	が確認され、消化管ホルモン産生腫瘍が疑われる患者(検査目的: (1) ソマト
	スタチン受容体の存在診断、(2)新たな病巣の存在・局在診断)。
	B群:内分泌活性があり、消化管ホルモン産生腫瘍の存在が疑われるが、直近1
	箇月以内におけるCT及び他の画像診断(単純X線撮影、US、MRI、血管造影、
	核医学検査等)で腫瘍病巣の存在・局在が確認できないか、あるいは確定できな
	い患者(検査目的:新たな病巣及び未確定病巣の存在・局在診断)。
	2. CTを必須とし、他に施設担当医が最も有用と考える画像診断法で、CTと合わせ
	て少なくとも合計2方法が実施されていること。
	3. 内分泌活性確認の基準として、血中あるいは尿中ホルモン値が異常値を示してい
	ること。
	4. 年齢: 20~75歳である。

(page 1 of 3)

表 2.7.3-4 国内追加第Ⅲ相臨床試験の試験デザインの概要 (続き)

主な除外基準	1. 妊娠又は妊娠している可能性のある患者。
	2. 授乳中の患者。
	3. 重篤な感染症等の重篤な合併症を有する患者。
	4. 一般状態(Performance Status)がgrade 4(身の回りのこともできず、常に介助が
	いり、終日就寝を必要としている)の患者。
	5. 肝臓又は腎臓に高度な機能障害を有する患者。
	6. 重篤なアレルギーを有する患者。
投与量	111 MBq(ペンテトレオチドとして最大10 μg)
投与方法	静脈内単回
撮像方法	・プラナー撮像:治験薬投与後4及び24時間に全身像(前面及び後面像)を撮像し
	た。投与後48時間の撮像はできる限り実施した。本検査前の画像診断で腫瘍を確
	認した部位及び全身像での陽性部位についてはスポット像(少なくとも前面ない
	し後面像)を撮像した。
	・SPECT撮像:全身像で陽性部位が認められた場合及び診断確定のためにSPECT
	像が必要と判断された場合には、治験薬投与後4~48時間の適当な時期にSPECT
	像を少なくとも1回撮像した。
併用療法	オクトレオチド酢酸塩処方中の被験者は、3日間の休薬後、本検査を実施すること
	とした。
有効性	有効性の評価は、施設担当医及び効果安全性評価委員会(以下、委員会)がそれぞ
評価項目	れ行った。委員会による画像読影には、被験者の臨床症状を伏せ、盲検化し無作為
	化された画像を用いた。有効性の評価は、委員会の判定を最終結果とした。
	<施設担当医評価>
	1. 画像診断
	(1)画質判定:投与後4、24及び48時間の全身像、スポット像及びSPECT像の画質
	を「1.極めて鮮明 2.鮮明 3.やや鮮明 4.不鮮明 5.判定不能」の5段階で判
	定した。
	(2)部位毎の診断能
	① 集積の強さ:異常集積の強さをバックグラウンドと比較し「1.極めて明瞭
	2.明瞭 3.やや明瞭 4.不明瞭 5.判定不能」の5段階で判定した。
	② 本検査前の画像診断との一致性:本検査の異常集積部位と本検査前の画像
	診断の病変部位との一致性を判定した。
	③ 陽性、陰性の判定:②の結果に基づき、本検査の結果を「真陽性」、「偽
	陽性」、「偽陰性」又は「真陰性」に分類した。
	(3)症例毎の診断能:部位毎の陽性、陰性の判定結果から、本検査で少なくとも1
	つの真陽性が認められた症例を「陽性」、真陽性部位が全くなかった症例を
	「陰性」と判定した。
	 2.明瞭 3.やや明瞭 4.不明瞭 5.判定不能」の5段階で判定した。 ② 本検査前の画像診断との一致性:本検査の異常集積部位と本検査前の画像診断の病変部位との一致性を判定した。 ③ 陽性、陰性の判定:②の結果に基づき、本検査の結果を「真陽性」、「偽陽性」、「偽陰性」又は「真陰性」に分類した。 (3)症例毎の診断能:部位毎の陽性、陰性の判定結果から、本検査で少なくとも1つの真陽性が認められた症例を「陽性」、真陽性部位が全くなかった症例を

(page 2 of 3)

表2.7.3-4 国内追加第Ⅲ相臨床試験の試験デザインの概要 (続き)

有効性 評価項目

2. 臨床追跡調査

- (1)オクトレオチド負荷試験:オクトレオチド酢酸塩投与前後のホルモン値の変動から「陽性」、「陰性」又は「判定不能」に分類した。「陽性」の場合をソマトスタチン受容体ありとした。
- (2)組織診断(免疫組織化学的染色):採取した組織を染色し、その結果を「陽性」、「陰性」又は「判定不能」に分類した。「陽性」の場合を消化管ホルモン産生腫瘍であるとした。
- 3. 症例毎の有効性評価
 - (1)オクトレオチド負荷試験実施症例の有効性評価:本検査で陽性部位があり負荷試験が陽性又は本検査で陽性部位がなく負荷試験が陰性であった場合を「有効」と判定した。
 - (2)組織診断実施症例の有効性評価:本検査及び組織診断の結果が共に陽性の部位を「真陽性」、共に陰性の部位を「真陰性」、本検査が陽性で組織診断が陰性の部位を「偽陽性」及びその逆を「偽陰性」とし、少なくとも1つの真陽性があった、又は真陰性のみであった場合を「有効」と判定した。
- 4. 治療方針の決定への有益な情報提供の有無:本検査の結果が治療方針の決定に有益な情報を提供した場合を「有」と判定し、「有」の場合は、その内容を記録した(手術の適否、手術内容の変更又はオクトレオチド酢酸塩の処方に関する情報等)。

<委員会評価>

- 1. 画像診断(評価基準は施設担当医と同様)
 - (1)部位毎の診断能
 - ① 集積の強さ
 - ② 本検査前の画像診断との一致性
 - ③ 陽性、陰性の判定
 - (2) 症例毎の診断能
- 2. シンチグラフィ情報の有益性:部位毎の陽性、陰性の判定結果から、少なくとも 1つのシンチグラフィ陽性部位があるものを真陽性、偽陽性を問わず「有益」、 陽性部位がないものを「無益」と判定した。
- 3. 症例毎の有効性評価 (評価基準は施設担当医と同様)
 - (1)オクトレオチド負荷試験実施症例の有効性評価
 - (2)組織診断実施症例の有効性評価

有効性 評価対象

治験薬が投与され、治験実施計画書に適合した集団とした。治験実施計画書に適合した集団から除外する被験者は、選択・除外基準、登録手順、本検査の撮像方法等に関わる逸脱内容を勘案し、効果安全性評価委員会で検討し、その結果を踏まえて治験依頼者が決定した。

(page 3 of 3)

2.7.3.1.2.3 海外第Ⅲ相臨床試験(参考資料)

海外第Ⅲ相臨床試験は、NET患者を対象に、インジウムペンテトレオチド(¹¹¹In)を用いた シンチグラフィによる腫瘍の検出及び局在診断における安全性及び有効性を検討する目的で、 19 年 月から19 年 月にかけて欧州で15個の単施設試験が実施された。そのうち、同一プロトコールで実施され、米国での新薬申請の際にFDAによりピボタル試験と判断された9試験の統合結果により有効性を評価した。試験デザインの概要を表2.7.3-5に示す。

対象は、NETが証明された又は臨床的に強く疑われる患者とした。年齢制限はなかった。 プラナー像のみを撮像する場合はインジウムペンテトレオチド (¹¹¹In) 111 MBqを、SPECT 像を撮像する場合は222 MBqを静脈内に単回投与した。投与後4及び24時間、必要に応じて48 時間にプラナー像(前面及び後面像は必須)を撮像し、施設担当医の裁量によりSPECT像の 撮像を追加した。

主な有効性の評価項目として、本検査及び本検査前の従来の局在診断法の結果の比較による症例毎及び部位毎の診断能並びに治療方針に及ぼす影響を設定した。各評価は施設担当医が行った。症例毎の診断能では、本検査及び従来の局在診断法に少なくとも1つの共通陽性部位がある場合、あるいは共に陰性の場合を「有効」と判定した。部位毎の診断能では、病巣部位毎に本検査の結果を真陽性、偽陽性、偽陰性、真陰性又は未確認陽性に分類し、従来の局在診断法との一致性を判定した。治療方針に及ぼす影響については、質問票に基づき、本検査で新たに得られた知見及びそれにより変更された治療方針に関する情報を収集した。

表2.7.3-5 海外第皿相臨床試験の試験デザインの概要

治験の標題	A phase 3, open label, study to determine the safety and efficacy of OctreoScan® 111 in the				
	scintigraphic localization of primary and metastatic gastro-entero-pancreatic en	docrine			
	(GEP) tumours.				
試験期間	19 年 月~19 年 月				
目的	胃腸膵のNETが確定された又は臨床的に強く疑われる患者を対象として	こ、インジウ			
	ムペンテトレオチド(¹¹¹ In)を用いたシンチグラフィでの腫瘍の検出及	び局在診断			
	における安全性と有効性を検討する。				
試験デザイン	オープン、被験者内比較				
	(欧州で同一プロトコールにて実施された9つの単施設試験の統合結果)				
対象疾患	神経内分泌腫瘍				
試験番号、	91-132. (ドイツ)	39名			
実施施設及び	91-133. (ベルギー)	38名			
実施被験者数	91-134. (ドイツ)	80名			
	91-136. (ドイツ)	72名			
	91-137. (フランス)	23名			
	91-148. (イギリス)	30名			
	91-149. (ドイツ)	12名			
	91-150. (イスラエル)	30名			
	91-151. (スウェーデン)	41名			
		合計365名			

(page 1 of 2)

表2.7.3-5 海外第Ⅲ相臨床試験の試験デザインの概要 (続き)

主か選択其準	1. 下記の条件の少なくとも1つを満たす患者。
工"。这队坐车	(1) 胃腸膵NETの臨床診断が陽性である。内分泌活性が証明されているが、最新
	の局在診断法でも腫瘍の場所が明らかではない。
	(2) 内分泌活性を示さないが、胃腸膵の内分泌腺を起源とする腫瘍の場所が明ら
	かで、組織学的診断が陽性である。腫瘍の種類は転移を起こすことが知られ
	ている。
	(3) 内分泌学的に活性な胃腸膵領域の腫瘍の臨床診断が陽性である。内分泌活性
	が証明されており、腫瘍の種類は転移を起こすことが知られている。
	(4) 異所性の胃腸膵ホルモン産生腫瘍(気管支、喉頭、卵巣、縦隔又はリンパ節
	のカルチノイド)の臨床診断が陽性である。
	2. 年齢、性別及び妊娠の有無は問わない。
主か除外其淮	1. 確定的な局在診断が得られない(外科的診査又は生検が行われない)可能性が高
工。你们还平	い患者。
	2. 本検査に耐えられないと考えられる患者。
	3. 臨床情報が十分でないため、臨床診断を下すことができない患者。
投与量	・プラナー撮像単独の場合:111 MBq
****	・ SPECT撮像予定の場合 : 222 MBq(ペンテトレオチドとして最大20 μg)
投与方法	静脈内単同
撮像方法	治験薬投与後4及び24時間にプラナー像(前面及び後面像、必要に応じて側面像)
37703434	を撮像した。投与後4時間の画像には、少なくとも最も重要な関心領域を含めた。
	投与後24時間の画像には、頭頸部から大腿中部領域までの全身を含めた。投与後24
	時間の画像に基づき、投与後48時間の撮像の必要性を決定した。SPECT像の撮像は、
	医師の裁量により追加した。
併用療法	オクトレオチド酢酸塩は、可能な限り、治験薬投与3日前より休薬することとした。
	臨床的に3日間の休薬が不可能な場合は、12時間前より休薬することとした。
有効性	有効性の評価は全て施設担当医が行った。本検査の画像読影は、本検査前に実施さ
評価項目	れた従来の局在診断結果を盲検化した状態で、治験実施施設の核医学医が行った。
	1. 画質:本検査の画質(診断に適する、診断に適さない)を判定した。
	2. 症例毎の診断能:本検査の結果を本検査前の従来の局在診断法(CT、US、MRI、
	血管造影、選択的静脈サンプリング、手術、生検)の結果と比較し、少なくとも
	1つの共通部位に腫瘍が検出された場合、又は両者でいかなる部位にも腫瘍が検
	出されなかった場合を「有効」とした。
	3. 部位毎の診断能:病巣部位毎に本検査の結果を本検査前の従来の局在診断法の
	結果と比較し、「真陽性」、「偽陽性」、「偽陰性」、「真陰性」、「未確認陽
	性」に分類した。
	4. 治療方針に及ぼす影響:質問票を配布し、本検査により新たに得られた知見(新
	規腫瘍の検出、NETであることの確認、ソマトスタチン受容体の有無)及び治療
	方針の変更(手術の実施又は中止、オクトレオチド療法の開始又は用量変更)に
	ついて情報を収集した。

(page 2 of 2)

2.7.3.1.2.4 有効性評価項目(症例毎及び部位毎の診断能)

国内の第Ⅲ相臨床試験及び追加第Ⅲ相臨床試験並びに海外第Ⅲ相臨床試験は、消化管ホルモン産生腫瘍又はNET患者を対象に、既存の画像診断法又は局在診断法との比較で、本検査の診断能を部位毎及び症例毎に評価した。各試験における判定基準を表2.7.3-6に示した。

表2.7.3-6 国内外第Ⅲ相臨床試験における診断能の判定基準の比較

	\		国内第	Ⅲ相臨	床試験	国内追加第Ⅲ相臨床試験				海外第Ⅲ相臨床試験					
対	+	消化管ホ				消化管ホルモン産生腫瘍				分泌腫瘍					
対象疾患			腫瘍の局在部位	(内分泌活性があり、既存の画像診断 法で腫瘍の局在部位が明らか又は未											
患	りた。 が確認されている) 患。		.0)		確定であ		HINTY V	1911 7(10)	7,7,0,1,0	400)					
評	Ē.					本検査前の画像診断 (直近1箇月以内						引在診断法(CT、			
価 方	Î	管造影等)の結果との比較			のCT等)	の結果	:との比輔	交				、選択的静脈サン /又は生検)の結			
法										果との		N X O	/ 又は生快)の結		
		本検査前	の画像	診断、	本検査とも陽性	本検査前の画像診断、本検査とも陽				-	折法と	本検査の双方で病			
	_				前の画像診断が								。又は、本検査で		
	TI				、追跡調査で病				生で、追跡訓 バ確認できた				変について生検で		
-1 417		巣が確認できた場合。			登時の画 場合。	1家砂凼	で何果が	14年齢できた	上一作証が	得られ7	亡物 □				
部位		本検査前	の画像	診断が	ば陰性、本検査が		の画像	診断が腎	食性、本検査	本検査	で新たり	こ検出	された病変が生検		
毎の	FP	1341-		査で病	巣が確実に否定	1341-		.,			された場	易合。			
診断		された場	合。			病巣の存 合。	在が確	笙認でき	なかった場	7					
能の	-	本検査前	の画像	診断が	ぶ陽性、本検査が		の画像	診断が関	易性、本検査	従来の	局在診園	折法で	 病変が検出された		
判定	FN	陰性の場		17111	133/124 / 1542211	が陰性の		12111	, , <u>, , , , , , , , , , , , , , , , , </u>				いれなかった場合。		
判定基準	IN		の画像	診断、	本検査とも陰性	本検査前	の画像	診断、本	×検査とも陰				本検査の双方で		
1 '		の場合。	1/2	⇒A the 3	0 m	性の場合					証拠がた				
	未確	本検査前の画像診断が陰性、本検査が陽性で、追跡調査が未実施あるいは追						本検査で新たに検出された病変の生検による追跡情報が得られていない場							
	認							合。							
	性														
		本検査前の					I	.,	本検査前						
					本検査前の画像診断			本検査				査前の の局在診断			
				陽性 陰性						陽性	陰性			陽性	
			1/E 1/H-		未確認陽性、		1/E 1/H-		FP又は		17日 小日		未確認陽性、		
		本検査	陽性	TP	TP*1又はFP*2	本検査	陽性	TP	TP*3	本検査		TP	TP*4又はFP*5		
		*1 \4 04-30	陰性		TN	*3 > 6 8 4 3 10	陰性	FN	TN	*4	陰性	FN	TN		
					認できた場合 催実に否定され				*4 本検査で新たに検出された病変が生 検で確証が得られた場合						
		た場合		1 7 17	正大に口足で40				., .	横で確証が待られた場合**5 本検査で新たに検出された病変が生					
											否定され				
					くとも1つのTP				とも1つのTI				来の局在診断法で		
		の部位無効・木			:場合 『FN、FPの部位			された場 TDの部を	合 なが全くなか				共通部位に腫瘍が 又は両者でいかな		
症				が一年の	·FIN、FPO)青的工	居住: 本 った場	., , ,	1170ノ青り位	Lが主くなが				スは両有でいかな 検出されなかった		
例毎		のみの場合 判定不能:本検査の結果がFN、FPと 未確認陽性の部位のみの場合					_	査前の画	国像診断で症			±////10	大田で400870 ンだ		
の診)					変が認	められ	ず、本権	食査でも集積	無効:			断法で腫瘍が検出		
断	r					が認め	られな	かった場	持 合				ではこれが検出さ		
能の)										かったţ ヽロケギ		で呼ばけや川さん		
判定													で腫瘍は検出され が陽性であった患		
判定基準										なかったが、本検査が陽性であった患者は、本検査後にその局在の確証を得					
	''										のデータが得られ				
ĺ										有効·	性の評価から除外				
										した。)				

2.7.3.2 個々の試験結果の要約

2.7.3.2.1 臨床試験

2.7.3.2.1.1 国内第Ⅲ相臨床試験(参考資料)

...... 添付資料5.3.5.2.1

第Ⅲ相臨床試験には、消化管ホルモン産生腫瘍患者23名が組み入れられ、治験薬が投与された。そのうち組み入れ基準不適合であった2名を除外した21名(74 MBq群4名、111 MBq群17名)を有効性評価の解析対象とした。有効性解析対象の疾患の内訳は、カルチノイド10名、ガストリノーマ6名及びインスリノーマ5名であった。

(1) 画質

病巣が検出された14名での画質の評価を表2.7.3-7に示す。プラナー像では、「優良」の比率は投与後4時間が最も高く(36/46件)、投与後24時間でやや低下し、投与後48時間ではさらに低下した。投与後4及び24時間では「不良」の判定は1件もなかったが、投与後48時間では44件中12件に「不良」の判定が認められた。SPECT像も類似の傾向を示した。

画像の種類	画質		撮像時期				
四隊の種類	四貝	投与後4時間	投与後24時間	投与後48時間			
プラナー像	優良	36	32	20			
	良	10	13	12			
	不良	0	0	12			
	合計	46	45	44			
SPECT像	優良	7	8	0			
	良	5	7	2			
	不良	1	1	1			
	会計	12	16	2			

表2.7.3-7 画質の評価

(2) 投与量及び撮像時期

病巣が検出された14名(74 MBq群3名、111 MBq群11名)での投与量及び撮像時期の評価を表2.7.3-8に示す。

投与量は、13名(74 MBq群3名、111 MBq群10名)で「適量である」と判定され、「少なすぎる」と判定されたのは1名(111 MBq群)のみであった。

最適と判定された撮像時期は、「投与後4及び24時間」の組み合わせが最も多く(8/14名)、 その他は「投与後24時間」が3名で、「投与後4時間」、「投与後24及び48時間」及び「投与 後48時間」が各1名であった。

表2.7.3-8 投与量及び撮像時期の評価

			投与群	
項目	判定	74 MBq	111 MBq	合計
		(n = 3)	(n = 11)	(n = 14)
投与量	多すぎる	0	0	0
	適量である	3	10	13
	少なすぎる	0	1	1
最適な撮像時期	投与後4及び24時間	2	6	8
	投与後24時間	1	2	3
	投与後4時間	0	1	1
	投与後24及び48時間	0	1	1
	投与後48時間	0	1	1

(3) 症例毎の診断能

症例毎の診断能の評価を表2.7.3-9に示す。カルチノイドでは10名中8名(80.0%)、ガストリノーマでは6名中6名(100%)、インスリノーマでは5名中2名(40.0%)で「有効」と判定され、全体の有効率は76.2%(16/21名)であった。

表2.7.3-9 症例毎の診断能

疾患名	被験者数	有効	無効	判定不能	有効率 (%)
カルチノイド	10	8*	2	0	8/10 (80.0)
ガストリノーマ	6	6*	0	0	6/6 (100)
インスリノーマ	5	2	3	0	2/5 (40.0)
合計	21	16	5	0	16/21 (76.2)

^{*} 真陰性と判定されたカルチノイド及びガストリノーマの各1名は「有効」に含めた。

(4) 部位毎の診断能

部位毎の診断能の評価を表2.7.3-10に示す。本検査及び本検査前の画像診断との一致率(真陽性及び真陰性の比率)は、カルチノイドでは83.3%(25/30部位)、ガストリノーマでは100%(11/11部位)、インスリノーマでは55.6%(5/9部位)で、全体では82.0%(41/50部位)であった。本検査前の画像診断では検出されず、本検査で初めて陽性となった部位が10箇所(カルチノイド、ガストリノーマ及びインスリノーマの各1名)に認められ、追跡調査により3部位(2名)が真陽性と判定された。残りの7部位(1名)は追跡調査による確認ができなかったため、未確認陽性と判定された。

表2.7.3-10 部位毎の診断能

疾患名	真陽性	偽陽性	偽陰性	真陰性	一致率 (%)	未確認陽性
カルチノイド	24	0	5	1	25/30 (83.3)	0
ガストリノーマ	10	0	0	1	11/11 (100)	7
インスリノーマ	5	1	3	0	5/9 (55.6)	0
合計	39	1	8	2	41/50 (82.0)	7

(5) 治療方法の変更・追加

病巣が検出された14名中6名で治療方法の変更・追加が行われた。変更・追加の内訳は、手 術の実施、手術の実施考慮が各1名、肝動注療法の実施考慮が1名、オクトレオチド酢酸塩の 投与開始が2名及びオクトレオチド酢酸塩の使用考慮が1名であった。

(6) 有効性の総合評価

評価対象21名のうち7名が「極めて有効な情報が得られた」、9名が「有効な情報が得られた」と判定され、これらの合計は全体の76.2%(16/21名)であった。

2.7.3.2.1.2 国内追加第Ⅲ相臨床試験(評価資料)

...... 添付資料5.3.5.2.2

追加第Ⅲ相臨床試験には、消化管ホルモン産生腫瘍の疑いのある患者43名が登録され、40名(A群[既存の画像診断法で腫瘍の局在が既に確認されている]18名、B群[既存の画像診断法で腫瘍の存在が確認できていない]22名)に治験薬が投与された。そのうち投与後に治験中止となった1名及び対象患者として不適切と判断された4名を除外した35名(A群16名、B群19名)を有効性評価の解析対象とした。有効性解析対象の疾患の内訳は、ガストリノーマ15名、インスリノーマ11名、カルチノイド6名、グルカゴノーマ2名及びソマトスタチノーマ1名であった。なお、グルカゴノーマ及びソマトスタチノーマは被験者数が少なかったため、疾患別の集計では「その他」としてまとめた。

本試験では、有効性の評価については委員会の判定を最終結果としたため、以下には委員会の評価を示した。ただし、治療方針の決定への有益な情報提供の有無に関する評価は、施設担当医のみが行ったため、その結果を示した。

(1) 症例毎の診断能

症例毎の診断能の評価を表2.7.3-11に示す。A群では、「陽性」が16名中15名(93.8%)であり、「判定不能」は1名(6.3%)であった。一方B群では、「陽性」が19名中5名(26.3%)、「陰性」が3名(15.8%)、「判定不能」が11名(57.9%)であり、A群に比べて判定不能例が多かった。A、B両群を合わせると、「陽性」が35名中20名(57.1%)、「陰性」が3名(8.6%)、「判定不能」が12名(34.3%)であった。

全身プラナー像の例を図2.7.3-1~4に示す。

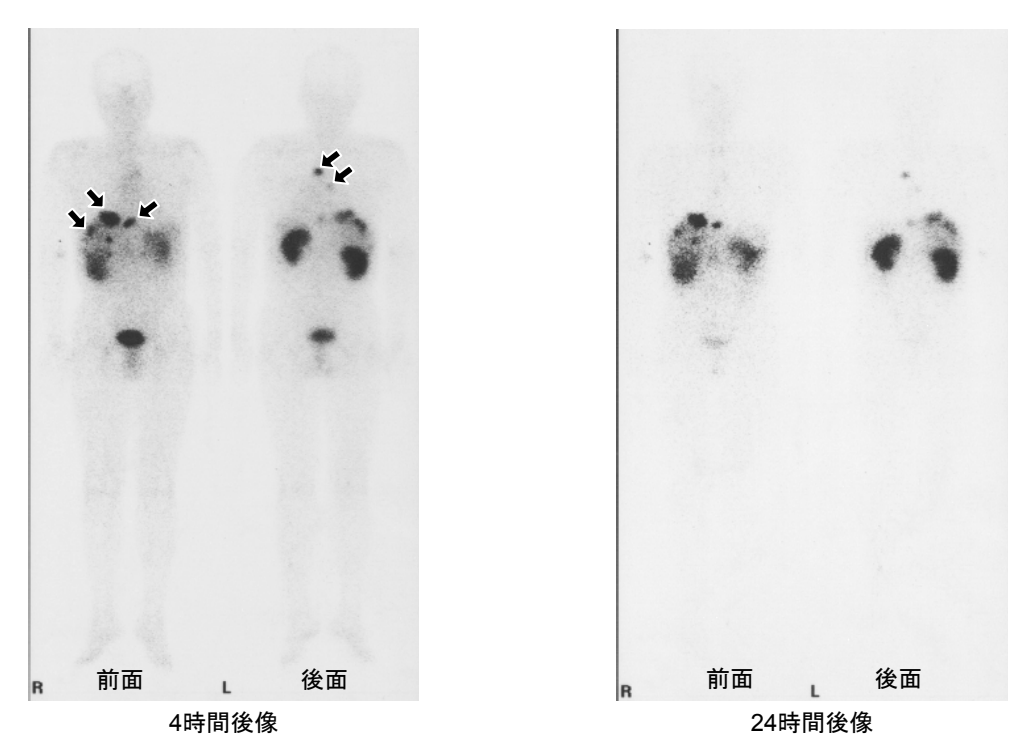


図2.7.3-1 全身プラナー像:症例A-01(ガストリノーマ、58歳、男性)

本検査前の血管造影と一致する肝内多発病変が検出された。胸部病変は本検査で新たに検出されたもので、本検査後のCTで2部位中1部位が同定された。

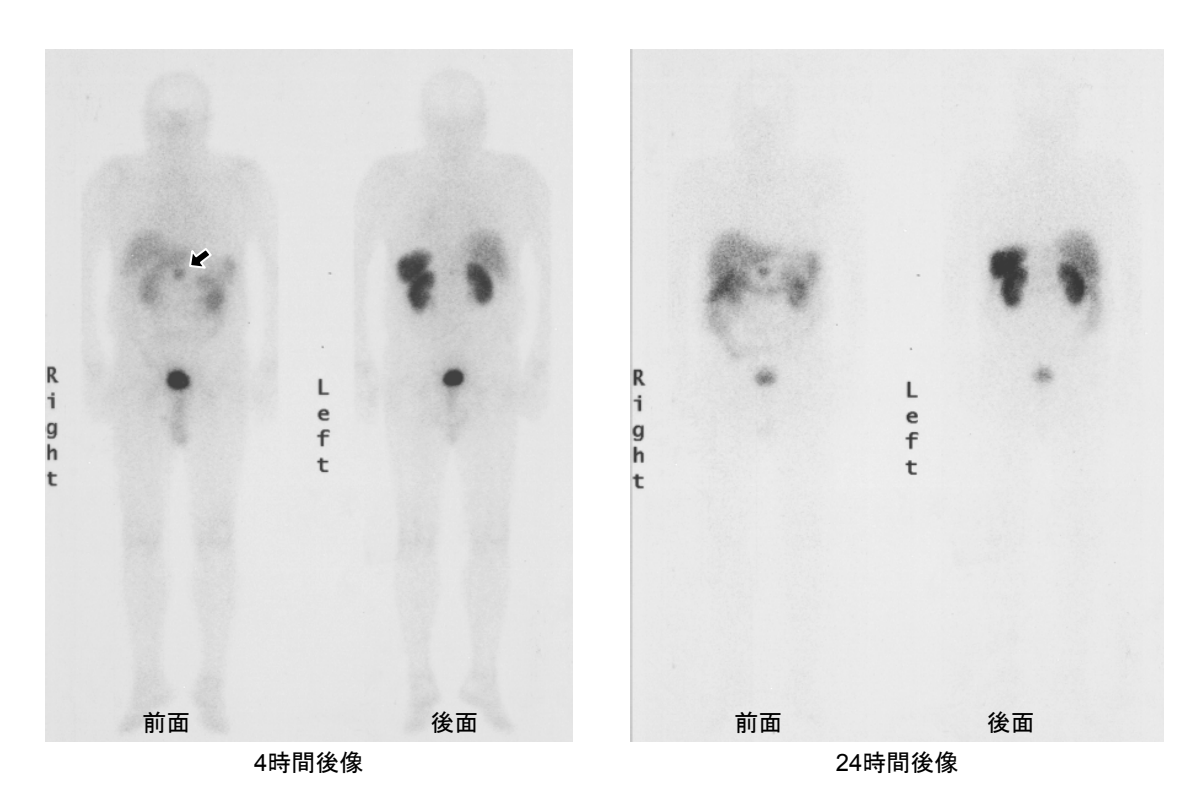


図2.7.3-2 全身プラナー像:症例A-07 (グルカゴノーマ、74歳、男性) 本検査前のCT及び超音波検査と一致する膵体部病変が検出された。

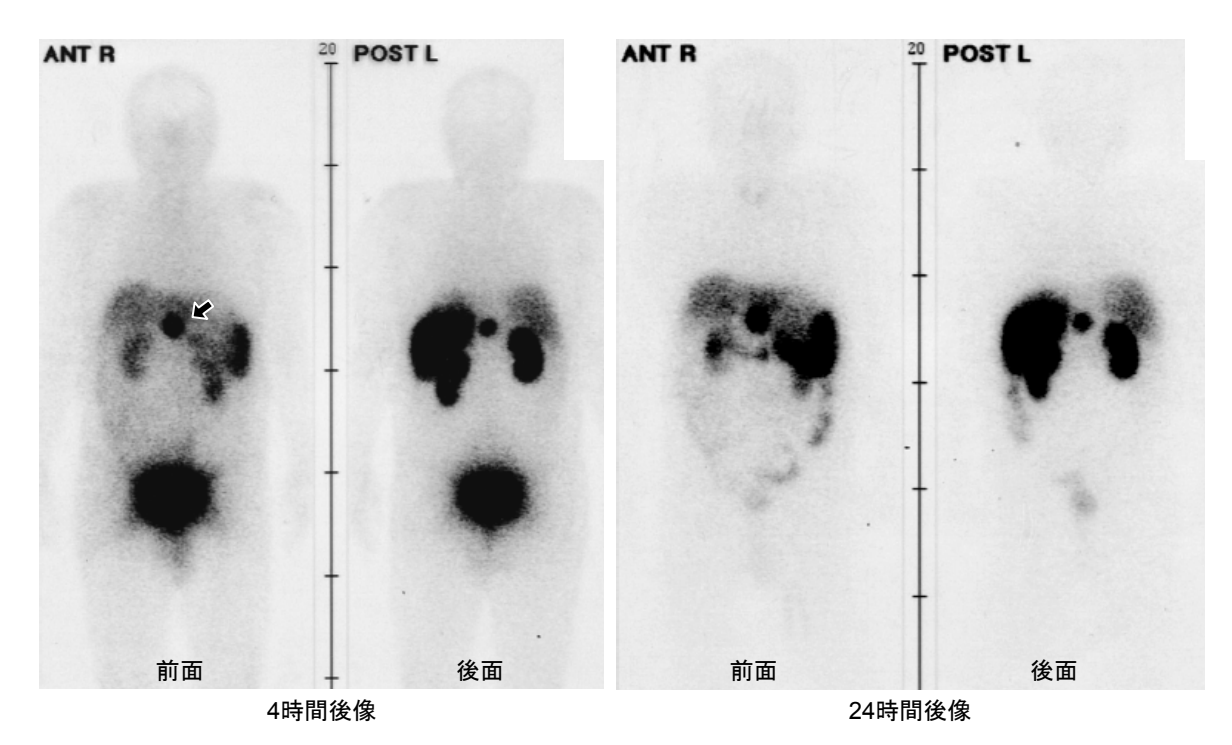


図2.7.3-3 全身プラナー像:症例A-15 (ガストリノーマ、46歳、男性) 本検査前のCT及びMRIと一致する膵体部病変が検出された。

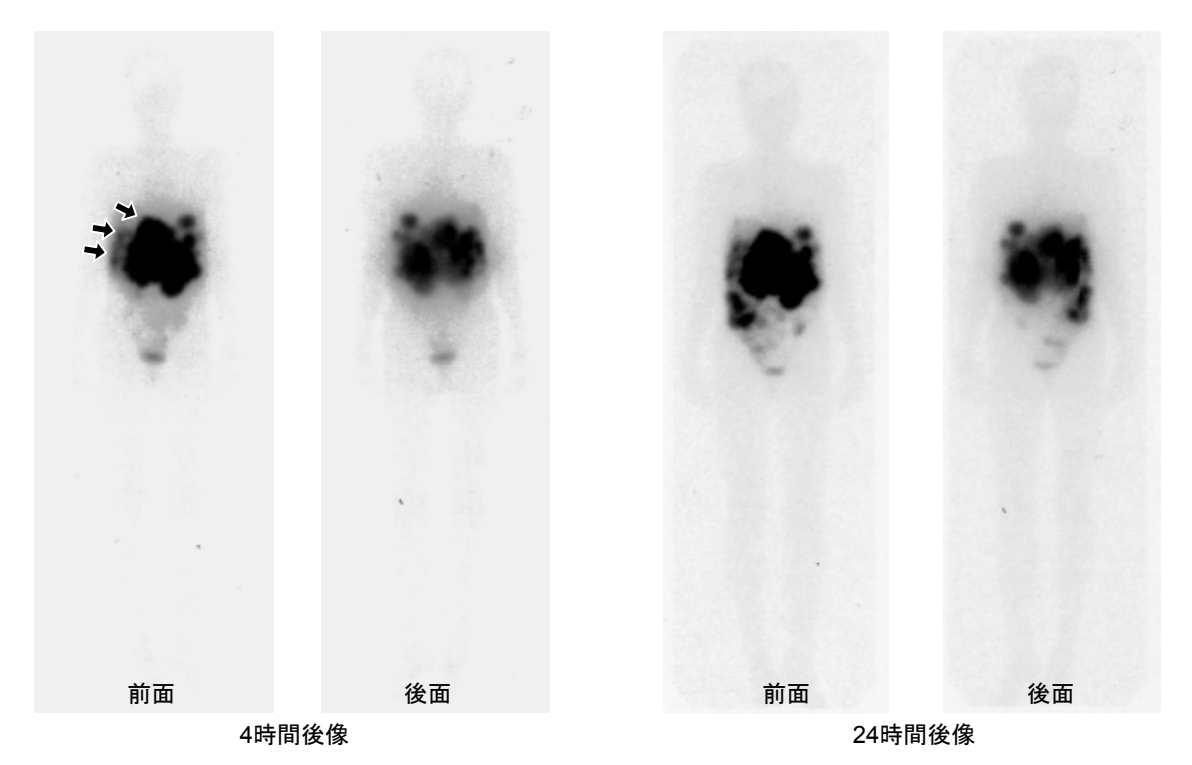


図2.7.3-4 全身プラナー像:症例B-24 (カルチノイド、64歳、女性) 本検査前のCT及び超音波検査と一致する肝内多発病変が検出された。

表2.7.3-11 症例毎の診断能

登録群	疾患名	被験者数	陽性	陰性	判定不能	陽性の比率 (%)
A群	ガストリノーマ	8	7	0	1	7/8 (87.5)
	インスリノーマ	4	4	0	0	4/4 (100.0)
	カルチノイド	2	2	0	0	2/2 (100.0)
	その他	2	2	0	0	2/2 (100.0)
	計	16	15	0	1	15/16 (93.8)
B群	ガストリノーマ	7	3	1	3	3/7 (42.9)
	インスリノーマ	7	0	1	6	0/7 (0.0)
	カルチノイド	4	2	1	1	2/4 (50.0)
	その他	1	0	0	1	0/1 (0.0)
	計	19	5	3	11	5/19 (26.3)
合計		35	20	3	12	20/35 (57.1)

(2) 部位毎の診断能

①集積の強さ

集積の強さが「極めて明瞭」、「明瞭」又は「やや明瞭」と判定された部位は、36部位中33部位(91.7%)であり、部位別では、肝臓が5部位中5部位(100%)、膵臓が10部位中9部位(90%)、十二指腸が4部位中3部位(75%)、リンパ節が5部位中4部位(80%)であった。

②本検査前の画像診断との一致性

部位毎の本検査前の画像診断結果との一致性の評価を表2.7.3-12に示す。A群ではガストリノーマ及びその他で一致率が高く、それぞれ100% (7/7部位)及び100% (2/2部位)であった。最も一致率の低いカルチノイドにおいても66.7% (4/6部位)であった。A群全体では83.3% (20/24部位)であった。B群における一致率はガストリノーマで60% (3/5部位)、カルチノイドで33.3% (2/6部位)であり、全体では41.7% (5/12部位)であった。A、B両群を合わせた一致率は69.4% (25/36部位)であった。

登録群	疾患名	一致	不一致	判定不能	一致率 (%)
A群	ガストリノーマ	7	0	0	7/7 (100.0)
	インスリノーマ	7	2	0	7/9 (77.8)
	カルチノイド	4	2	0	4/6 (66.7)
	その他	2	0	0	2/2 (100.0)
	計	20	4	0	20/24 (83.3)
B群	ガストリノーマ	3	2	0	3/5 (60.0)
	インスリノーマ	0	1	0	0/1 (0.0)
	カルチノイド	2	4	0	2/6 (33.3)
	その他	0	0	0	0/0 (-)
	計	5	7	0	5/12 (41.7)
合計		25	11	0	25/36 (69.4)

表2.7.3-12 部位毎の本検査前画像診断結果との一致性

③陽性、陰性の判定

部位毎の陽性、陰性の判定結果を表2.7.3-13に示す。A群における真陽性は、ガストリノーマで7部位中7部位(100%)、その他で2部位中2部位(100%)と割合が高く、最も低いカルチノイドで6部位中4部位(66.7%)であった。A群全体で真陽性は24部位中20部位(83.3%)であった。B群における真陽性は、ガストリノーマで5部位中3部位(60%)、カルチノイドで6部位中2部位(33.3%)、全体で12部位中5部位(41.7%)であった。A、B両群を合わせた真陽性は36部位中25部位(69.4%)であった。

表2.7.3-13	部位毎の陽性、	陰性の判定

登録群	疾患名	真陽性	偽陽性	偽陰性	真陰性	真陽性+真陰性 の比率 (%)
A群	ガストリノーマ	7	0	0	0	7/7 (100.0)
	インスリノーマ	7	1	1	0	7/9 (77.8)
	カルチノイド	4	2	0	0	4/6 (66.7)
	その他	2	0	0	0	2/2 (100.0)
	計	20	3	1	0	20/24 (83.3)
B群	ガストリノーマ	3	2	0	0	3/5 (60.0)
	インスリノーマ	0	0	1	0	0/1 (0.0)
	カルチノイド	2	3	1	0	2/6 (33.3)
	その他	0	0	0	0	0/0 (-)
	計	5	5	2	0	5/12 (41.7)
合計		25	8	3	0	25/36 (69.4)

(3) シンチグラフィ情報の有益性

シンチグラフィ情報の有益性の評価を表2.7.3-14に示す。「有益」と判定された被験者の割合は、A群においていずれの疾患でも高く、A群全体では16名中15名(93.8%)と高かった。

一方、B群で「有益」と判定されたのは、ガストリノーマで7名中4名(57.1%)、カルチノイドで4名中2名(50.0%)であったが、B群全体では19名中6名(31.6%)であった。A、B両群を合わせると、「有益」と判定されたのは35名中21名(60.0%)であった。

表2.7.3-14 シンチグラフィ情報の有益性

登録群	疾患名	有益	無益	判定不能	有益の比率 (%)
A群	ガストリノーマ	7	0	1	7/8 (87.5)
	インスリノーマ	4	0	0	4/4 (100.0)
	カルチノイド	2	0	0	2/2 (100.0)
	その他	2	0	0	2/2 (100.0)
	計	15	0	1	15/16 (93.8)
B群	ガストリノーマ	4	0	3	4/7 (57.1)
	インスリノーマ	0	1	6	0/7 (0.0)
	カルチノイド	2	1	1	2/4 (50.0)
	その他	0	0	1	0/1 (0.0)
-	計	6	2	11	6/19 (31.6)
合計		21	2	12	21/35 (60.0)

(4) オクトレオチド負荷試験実施症例での有効性

オクトレオチド負荷試験実施症例での有効性評価を表2.7.3-15に示す。有効率は、A群で75.0%(12/16名)及びB群で57.9%(11/19名)であり、全体では65.7%(23/35名)であった。「判定不能」の6名は、いずれも負荷試験前のホルモン値が正常で負荷試験の結果が「判定不能」とされたため、本評価においても「判定不能」とされたものである。

表2.7.3-15 オクトレオチド負荷試験実施症例での有効性

登録群	疾患名	有効	無効	判定不能	有効率(%)
A群	ガストリノーマ	7	1	0	7/8 (87.5)
	インスリノーマ	1	0	3	1/4 (25.0)
	カルチノイド	2	0	0	2/2 (100.0)
	その他	2	0	0	2/2 (100.0)
	計	12	1	3	12/16 (75.0)
B群	ガストリノーマ	4	3	0	4/7 (57.1)
	インスリノーマ	3	1	3	3/7 (42.9)
	カルチノイド	3	1	0	3/4 (75.0)
	その他	1	0	0	1/1 (100.0)
	計	11	5	3	11/19 (57.9)
合計		23	6	6	23/35 (65.7)

(5) 免疫組織化学的診断実施症例での有効性

免疫組織化学的診断実施症例での有効性評価を表2.7.3-16に示す。有効率は、A群で55.6%

(5/94)、B群で50.0%(2/44)であり、全体では53.8%(7/134)であった。「無効」と判定されたA群44のうち34は、免疫染色では染まらなかったものの、病理組織学的には内分泌腫瘍であった。

登録群	疾患名	有効	無効	判定不能	有効率 (%)
A群	ガストリノーマ	2	1	0	2/3 (66.7)
	インスリノーマ	1	2	0	1/3 (33.3)
	カルチノイド	0	1	0	0/1 (0.0)
	その他	2	0	0	2/2 (100.0)
	計	5	4	0	5/9 (55.6)
B群	ガストリノーマ	2	0	1	2/3 (66.7)
	インスリノーマ	0	0	0	0/0 (-)
	カルチノイド	0	0	1	0/1 (0.0)
	その他	0	0	0	0/0 (-)
	計	2	0	2	2/4 (50.0)
合計		7	4	2	7/13 (53.8)

表2.7.3-16 免疫組織化学的診断実施症例での有効性

(6) 治療方針の決定への有益な情報提供の有無

治療方針の決定に関して、A群では16名中14名(87.5%)と多くの被験者で有益な情報が得られた。一方、B群で有益な情報が得られたのは、19名中3名(15.8%)であった。両群全体では、35名中17名(48.6%)であった。治療方針決定への有益な情報「有」と判定された内訳は、A群では「治療方針について」が14名中13名と多く、「オクトレオチド酢酸塩処方について」が4名であった。B群では「治療方針について」、「オクトレオチド酢酸塩処方について」及び「その他」がいずれも3名であった(重複例あり)。

2.7.3.2.1.3 海外第Ⅲ相臨床試験(参考資料)

...... 添付資料5.3.5.3.1

海外第Ⅲ相臨床試験には、NETが証明された又は臨床的に疑われた患者365名が組み入れられ、治験薬が投与された。画質の評価は、画質に関するコメントが記録されていた298名を対象とした。診断能の評価は、NETではないと判定された40名及び従来の局在診断法で腫瘍が検出されず、本検査で新たに検出された病変の追跡情報も得られなかった16名を除く309名を対象とした。治療方針に及ぼす影響の評価は、質問票が回収された206名を対象とした。

(1) 画質

治験薬の標識率別の画質の評価を表2.7.3-17に示す。評価対象298名中295名(99.0%)で、 画質は「診断に適する」と判定された。「診断に適さない」と判定された3名中2名は、標識 率が97%以上の治験薬が投与されていた。診断に適した画像が広範囲の標識率に渡って得られ たことから、「診断に適さない」と判定された理由は標識率によるものではないと考えられた。

表2.7.3-17 画質の評価

標識率 (%)		画質の評価					
宗毗卒 (70)	診断に適する 診断に適さない 評価		評価の記載なし	合計			
< 90	8	1	1	10			
90~96.9	72	0	7	79			
≥ 97	213	2	58	273			
未測定	2	0	1	3			
合計	295	3	67	365			

(2) 症例毎の診断能

症例毎の診断能の評価を表2.7.3-18に示す。評価対象309名中267名(86.4%)が「有効」と 判定された。評価された疾患15種類中11種類で85%以上の有効率が得られた。

表2.7.3-18 症例毎の診断能

疾患名	被験者数	有効	無効	有効率 (%)
カルチノイド	132	117	15	117/132 (88.6)
ガストリノーマ	25	25	0	25/25 (100)
インスリノーマ	12	5	7	5/12 (41.7)
グルカゴノーマ	6	6	0	6/6 (100)
VIPオーマ	4	4	0	4/4 (100)
モチリノーマ	1	1	0	1/1 (100)
髄膜腫	1	1	0	1/1 (100)
甲状腺髄様癌	18	12	6	12/18 (66.7)
神経芽腫	1	0	1	0/1 (0.0)
傍神経節腫	3	3	0	3/3 (100)
褐色細胞腫	7	6	1	6/7 (85.7)
下垂体腺腫	34	24	10	24/34 (70.6)
肺小細胞癌	2	2	0	2/2 (100)
未分類*1のNET	49	43	6	43/49 (87.8)
未確証*2のNET	20	19	1	19/20 (95.0)
合計	309*3	267*4	42 ^{*5}	267/309 (86.4)

^{*1} 未分類:病理学的にNETに属することが確認されたがそれ以上詳細には分類できなかった、又は血清ホルモン濃度に基づきNETと分類されたが病理学的分類は得られなかった。

^{*2} 未確証:NETの証拠を有していたが、従来の局在診断法で腫瘍は検出されなかった。

^{*3} 被験者数の合計は315名となるが、6名が2種類の腫瘍を有するため、実合計被験者数は309名となる。

^{*4} 被験者数の合計は268名となるが、2種類の腫瘍を有する1名が両腫瘍の診断に有効と判定されたため、 実合計被験者数は267名となる。

^{*5} 被験者数の合計は47名となるが、2種類の腫瘍を有する5名が両腫瘍の診断に無効と判定されたため、実合計被験者数は42名となる。

(3) 部位毎の診断能

部位毎の診断能の評価を表2.7.3-19に示す。全体では、508部位中401部位(78.9%)で、従来の局在診断法との一致(真陽性又は真陰性)が認められた。本検査により、従来の局在診断法では検出されなかった110の局在部位が新たに検出された。この110部位のうち、37部位(33.6%)は追跡調査で確証が得られ真陽性、3部位(2.7%)は否定され偽陽性と判定された。 残りの70部位(63.6%)は追跡調査による確認が行われず、未確認陽性と判定された。

表2.7.3-19 部位毎の診断能

疾患名	真陽性	偽陽性	偽陰性	真陰性	一致率	兰 (%)	未確認陽性
カルチノイド	185	0	47	5	190/237	(80.2)	41
ガストリノーマ	38	0	2	2	40/42	(95.2)	8
インスリノーマ	4	1	8	0	4/13	(30.8)	1
インスリノーマと下垂体腺腫	1	0	2	0	1/3	(33.3)	0
グルカゴノーマ	8	0	3	0	8/11	(72.7)	1
VIPオーマ	6	0	1	0	6/7	(85.7)	1
モチリノーマ	3	0	0	1	4/4	(100)	0
甲状腺髄様癌	10	0	10	2	12/22	(54.5)	4
甲状腺髄様癌と褐色細胞腫	2	1	2	0	2/5	(40.0)	1
髄膜腫と下垂体腺腫	1	0	1	0	1/2	(50.0)	0
神経芽腫	0	0	1	0	0/1	(0.0)	0
傍神経節腫	6	0	1	0	6/7	(85.7)	2
褐色細胞腫	8	0	0	1	9/9	(100)	0
下垂体腺腫	18	0	6	6	24/30	(80.0)	0
肺小細胞癌	2	0	0	0	2/2	(100)	1
未分類のNET	68	0	16	3	71/87	(81.6)	9
未分類のNETと下垂体腺腫	2	0	4	0	2/6	(33.3)	1
未確証のNET	1	1	0	18	19/20	(95.0)	0
合計	363	3	104	38	401/508	(78.9)	70

(4) 治療方針に及ぼす影響

本検査で新たに得られた知見及びそれにより変更された治療方針に関する質問票への回答が得られた206名中64名において、本検査の結果に基づいて66件の治療方針が変更された。変更内容として、13名で手術が施行又は計画され、3名で手術が中止された。また、35名でオクトレオチド療法が開始され、15名で用量が変更された。

2.7.3.2.2 個人輸入の使用実態(参考資料)

本邦では、NETの画像診断が目的で、海外で市販されているOctreoScan®を医師が個人輸入して使用している。OctreoScan®は、少なくとも1996年から個人輸入されており、出荷元であるMallinckrodt Pharmaceuticalsに記録がある20年月以降の出荷数は20年月時点で施設に対し

2.7.3.2.2.1 個人輸入使用実態調査

...... 添付資料5.3.5.4.1

個人輸入による使用実態を調査する目的で、表2.7.3-20に示した項目について、調査票に基づく使用実態調査を実施した。調査対象は、2011年1月から2014年7月までの期間に、

OctreoScan® 2セット以上の輸入実績があった3施設

)での投与患者とした。

表2.7.3-20 OctreoScan®個人輸入使用実態調査の調査項目

分類	調査項目
患者背景	投与時年齢、性別、疾患名、病理組織学的分類、検査目的
投与・撮像	投与日、投与量、撮像時期、撮像方法
有効性	画像所見に関する情報(病変描出の有無)、治療方針への影響
安全性*	副作用の有無、事象名

^{*}安全性の調査結果は「2.7.4 臨床的安全性」に示した。

(1) 回収調査票数

2011年1月から2014年7月までの調査対象3施設への出荷数は セットであった。このうち、38セット %) 33名分の調査票を回収した。

(2) 患者背景

患者背景の集計結果を表2.7.3-21に示す。性別の内訳は男性が11名(33.3%)、女性が22名(66.7%)で、年齢分布は20~59歳が14名(42.4%)、60歳以上が19名(57.6%)であった。疾患の種類は、膵・消化管NETが全体の60.6%(33名中20名)を占め、NET以外の疾患も2名(異形性髄膜腫肺転移、脳腫瘍)含まれていた。本検査の目的は、ソマトスタチン受容体の発現確認が16名で最も多く、次いで転移検索(9名)、局在診断(7名)であった。

表2.7.3-21 個人輸入使用実態調査対象の患者背景

項目			患者	数
7尺日			n = 3	33
性別	男性		11	(33.3)
	女性		22	(66.7)
年齢	20~29歳		1	(3.0)
	30~39歳		2	(6.1)
	40~49歳		7	(21.2)
	50~59歳		4	(12.1)
	60~69歳		11	(33.3)
	70~79歳		8	(24.2)
疾患名	膵NET	機能性	4	(12.1)
		非機能性	9	(27.3)
	消化管NET	前腸	4	(12.1)
		中腸	2	(6.1)
		後腸	1	(3.0)
	肺NET	小細胞癌	2	(6.1)
		大細胞神経内分泌癌	1	(3.0)
	その他	異所性ACTH産生腫瘍/ACTH依存性クッシング症候群	4	(12.1)
		胸腺カルチノイド	2	(6.1)
		腎カルチノイド	1	(3.0)
		原発不明NET肝転移	1	(3.0)
		異形性髄膜腫肺転移	1	(3.0)
		脳腫瘍 (原発不明小細胞癌)	1	(3.0)
グレード	G1		5	(15.2)
(病理分類)	G2		17	(51.5)
	G3/NEC		4	(12.1)
	不明		7	(21.2)
検査目的	局在診断		7	(21.2)
	転移検索		8	(24.2)
	転移検索、ソ	マトスタチン受容体の発現確認	1	(3.0)
	ソマトスタチ	ン受容体の発現確認	15	(45.5)
	原発巣検索		2	(6.1)

(%)

(3) 投与量

投与量の集計結果を表2.7.3-22に示す。1セットを使用した検査が最も多く、1セット使用時の実投与量は平均196.6 MBq(122~262 MBq)であった。全体での実投与量は、平均197.2 MBq(84~262 MBq)であった。

西口	統計量 -		 合計			
項目	70年1里	0.5*	1	2		
患者数		2 (6.1%)	26 (78.8%)	5 (15.2%)	33 (100%)	
実投与量 (MBq)	平均值 [SD]	89 [7.1]	196.6 [38.4]	244 [-]	197.2 [47.2]	
	中央値	_	_	_	219	
	範囲	84~94	122~262	244~244	84~262	

表2.7.3-22 個人輸入使用実態調査結果:投与量

(4) 撮像時期及び撮像方法

撮像時期及び撮像方法の集計結果をそれぞれ表2.7.3-23及び表2.7.3-24に示す。全患者で投与後4~6時間及び24時間に撮像が実施されており、投与後48時間にも撮像が実施された患者は6名(18.2%)であった。投与後4~6時間及び24時間の撮像では、殆どの患者でプラナー像及びSPECT像の両方が撮像されていた。SPECT撮像は、投与後4~6時間又は24時間の一方で必ず実施されていた。

表2.7.3-23 個人輸入使用実態調査結果: 撮像時期

撮像時期	患者数
1取[家中寸抄]	n = 33
投与後0.5~1、約4~6及び24時間	11 (33.3)
投与後4~6及び24時間	16 (48.5)
投与後4~6、24及び48時間	6 (18.2)
	(%)

(%

表2.7.3-24 個人輸入使用実態調査結果: 撮像方法

	撮像時期							
	投与後4~6時間	投与後24時間	投与後48時間	n = 33				
撮像方法	プラナー及びSPECT	プラナー及びSPECT	プラナー及びSPECT	6 (18.2)				
	プラナー及びSPECT	プラナー及びSPECT	_	21 (63.6)				
	プラナー及びSPECT	プラナーのみ	_	1 (3.0)				
	プラナーのみ	SPECTのみ	_	1 (3.0)				
	SPECTのみ	SPECTのみ	_	4 (12.1)				

(%)

(5) 治療方針への影響

画像所見に関する情報及び治療方針への影響に関する集計結果を表2.7.3-25に示す。本検査の結果、33名中24名(72.7%)で病変が検出され、そのうち13名では新たな病変が検出された。また、本検査により治療方針の変更・決定や診断につながる情報が26名(78.8%)で得られた。

^{*2}名2セット(1名1セットずつ)用意したが、トラブルがあり、2名に1セットを2分割して投与した。

表2.7.3-25 個人輸入使用実態調査結果:画像所見に関する情報及び治療方針への影響

	治療方針への影響						
画像所見に関する情報	治療方針の変更・決 定や診断につながる 情報が得られた	治療方針の変更・決定や 診断につながる有用な情 報は得られなかった	判断不能 /不明	患者数			
病変が描出された	23	1	0	24 (72.7)			
新たな病変が検出された	12	1	0	13 (39.4)			
新たな病変は検出されなかった	11	0	0	11 (33.3)			
病変は描出されなかった	3	4	2	9 (27.3)			
合計	26 (78.8)	5 (15.2)	2 (6.1)	33 (100.0)			

(%)

2.7.3.2.2.2 個人輸入症例に関する公表論文

...... 添付資料5.3.5.4.2

個人輸入の使用実態について、米国National Center for Biotechnology Informationの医学論文データベースであるPubMed及び医学中央雑誌刊行会の国内医学論文データベースである医中誌を検索し、2014年1月11日までの公表論文を調査した。その結果、論文23報より延べ48名に関する情報が得られ、最も古い個人輸入の報告は1996年であった。

表2.7.3-26に示したように、主な疾患は膵NET、消化管NET及び異所性ACTH産生腫瘍/異所性ACTH症候群で、NET以外の疾患(腫瘍性骨軟化症)での使用も見られた。CTやMRI等の既存の画像診断では腫瘍を確認できなかった患者に対してインジウムペンテトレオチド(「III」の シンチグラフィを施行することで腫瘍の局在診断が可能であった等、多くの患者で有効性が示されていた。公表論文の検索条件及び各論文の詳細は「2.7.6.7 個人輸入症例に関する公表論文」に示した。

患者数 疾患名 膵NET 6 インスリノーマ 3 ガストリノーマ 1 VIPオーマ 1 消化管NET 6 肺NET 2 胸腺NET 3 腎臓NET 1 原発不明NET 1 異所性ACTH産生腫瘍/異所性ACTH症候群 21 気管支カルチノイド 膵島細胞癌 2 肺腺癌 2 原発不明 8 下垂体腺腫 1 腫瘍性骨軟化症 合計 48

表2.7.3-26 公表論文で報告されていた個人輸入症例の疾患内訳

2.7.3.2.3 有効性を支持する資料(参考資料)

インジウムペンテトレオチド (¹¹¹In) シンチグラフィは、海外学会又は組織等の診療ガイドライン、国際的に標準とされる教科書及びpeer-reviewed journalに掲載された総説において、NETの局在診断や病期診断のための重要な画像診断法として位置づけられている。また、インジウムペンテトレオチド (¹¹¹In) シンチグラフィの有効性を示す臨床試験論文が多数公表されている。

2.7.3.2.3.1 学会又は組織等の診療ガイドライン

...... 添付資料5.3.5.4.3

NETの画像診断におけるインジウムペンテトレオチド(¹¹¹In)シンチグラフィの有効性、臨床的位置付け及び撮像方法は、以下に示す米国及び欧州の主要な学会又は組織の診療ガイドライン及び画像診断ガイドラインに記載されている。

腫瘍学会又は組織

- National Comprehensive Cancer Network (NCCN)
- National Cancer Institute (NCI)
- European Society of Medical Oncology (ESMO)

神経内分泌腫瘍学会

- European Neuroendocrine Tumor Society (ENETS)
- North American Neuroendocrine Tumor Society (NANETS)

- 放射線学会又は核医学会 ・Society of Nuclear Medicine and Molecular Imaging (SNMMI)
 - European Association of Nuclear Medicine (EANM)
 - American College of Radiology (ACR)
 - Society of Pediatric Radiology (SPR)

これらの診療ガイドラインは、NETの局在診断及び病期診断のために、CT、MRIと共に実 施すべき画像診断法としてインジウムペンテトレオチド(111In)シンチグラフィを挙げている。 NCI及びENETSのガイドラインは、一度の検査で全身を撮像できることが利点であるとし、原 発巣の検出のみならず、遠隔転移巣や潜在的な腫瘍の検出に有用であると記載している。 NCCN及びESMOのガイドラインは、原発不明腫瘍の検索にもインジウムペンテトレオチド (¹¹¹In) シンチグラフィを推奨している。

インジウムペンテトレオチド(¹¹¹In)シンチグラフィは、局在診断及び病期診断の他に、治 療後の経過観察にも推奨されている。特にNCCN及びNANETSのガイドラインは、再発や転移 を疑う場合に実施することを推奨している。

ソマトスタチン受容体が発現している患者、すなわちインジウムペンテトレオチド (111In) シンチグラフィが陽性の患者ではソマトスタチンアナログ治療あるいは放射性核種標識ペプ チド治療(PRRT)の効果が期待できることから、NCCN、ESMO及びENETSのガイドライン は、ソマトスタチン受容体の発現状態の評価及び治療適応判定にインジウムペンテトレオチ ド(¹¹¹In)シンチグラフィを推奨している。

各ガイドラインの概要は「2.7.6.8.1 学会又は組織等の診療ガイドライン」に示した。

2.7.3.2.3.2 国際的に標準とされる教科書

...... 添付資料5.3.5.4.4

NETの画像診断におけるインジウムペンテトレオチド(111In)シンチグラフィの有効性及び 臨床的位置付けは、以下に示す国際的に標準とされる腫瘍学、内分泌学及び内科学の教科書 に記載されている。

腫瘍学 • DeVita, Hellman, and Rosenberg's Cancer: Principles & Practice of Oncology

· Holland-Frei Cancer Medicine

 Williams Textbook of Endocrinology 内分泌学

· Cecil Medicine 内科学

これらの教科書は、インジウムペンテトレオチド(¹¹¹In)シンチグラフィをNETの局在診断 及び病期診断のための標準的あるいは第一選択の画像診断法として位置付けている。膵NET に関しては、特にガストリノーマにおける有用性を強調しており、DeVita, Hellman, and Rosenberg's Cancer及びWilliams Textbook of Endocrinologyは散発性のみならず遺伝性のMEN1 に伴うガストリノーマの診断にもインジウムペンテトレオチド (111In) シンチグラフィを推奨 している。Holland-Frei Cancer Medicineは、インジウムペンテトレオチド(111In) シンチグラ

フィは胃腸膵NETにおけるソマトスタチンアナログ治療の治療効果の予測に有用であり、インジウムペンテトレオチド(¹¹¹In)の集積が認められなかった患者では治療効果が認められなかったと記載している。

各教科書の概要は「2.7.6.8.2 国際的に標準とされる教科書」に示した。

2.7.3.2.3.3 Peer-reviewed journalに掲載された総説、メタ・アナリシス等

...... 添付資料5.3.5.4.5

医学論文データベースPubMedで、octreoscan、pentetreotide、indium and octreotide、octreotide scintigraphy又はsomatostatin receptor scintigraphyをキーワードとして検索し、2010年以降に発行された英語且つ「Review」に分類されていた論文は66報あった(検索日:2011年1月11日)。この中から、NETのインジウムペンテトレオチド(IIIIn)シンチグラフィについて記載しており、雑誌のインパクトファクターや記載内容を勘案して特に重要と思われた8報を採用した(表2.7.3-27)。

これらの総説論文では、インジウムペンテトレオチド(¹¹¹In)シンチグラフィはNETの局在診断及び病期診断のための標準的あるいは第一選択の画像診断法として位置付けられており、CT、MRI等の形態画像診断法と共に汎用されていると記載している。また、インジウムペンテトレオチド(¹¹¹In)シンチグラフィはCT、MRI等が検出できなかった潜在的腫瘍を発見し、治療法の変更に繋がることもあると記載している。その他、インジウムペンテトレオチド(¹¹¹In)の集積程度はソマトスタチン受容体の発現密度と相関するため、ソマトスタチンアナログ治療及びPRRTの適応患者の選定や患者の予後予測に有用であるとしている。

各総説の概要は「2.7.6.8.3 Peer-reviewed journalに掲載された総説、メタ・アナリシス等」に示した。

表2.7.3-27 総説論文の検索条件

デー	-タベース	PubMed						
検索	₹日	20 年 月 日						
検索	求期間	2010年~						
	キーワード	① octreoscan						
検		② pentetreotide						
検索条件		③ indium and octreotide						
件		④ "octreotide scintigraphy"						
		⑤ "somatostatin receptor scintigraphy"						
	言語	英語						
	Publication type	Review						
該当	論文数	66報						
論文	ての採用基準	・NETのインジウムペンテトレオチド (^{III} In) シンチグラフィについて記						
		載されている。						
		・インジウムペンテトレオチド(¹¹¹ In)の用法・用量が記載されている。						
		・インジウムペンテトレオチド(¹¹¹ In)の用法・用量は記載されていない						
		が、雑誌のインパクトファクターや記載内容を勘案し、重要な論文であ						
		ると思われる。						
採用	目した公表論文	8報						
		(1) Bombardieri E et al. Q J Nucl Med Mol Imaging 2010;54(1):3-15.						
		(2) Carrasquillo JA et al. Semin Oncol 2010;37(6):662-79.						
		(3) Kwekkeboom DJ et al. Endocr Relat Cancer 2010;17(1):R53-73.						
		(4) Scarpa M et al. J Surg Oncol 2010;102(7):877-88.						
		(5) Oberg K et al. Cancer Metastasis Rev 2011;30 Suppl 1:3-7.						
		(6) Teunissen JJ et al. Endocr Relat Cancer 2011;18 Suppl 1:S27-51.						
		(7) Sundin A. Best Pract Res Clin Gastroenterol 2012;26(6):803-18.						
		(8) van Essen M et al. Nat Rev Endocrinol 2014;10(2):102-14.						

2.7.3.2.3.4 臨床試験等の公表論文

...... 添付資料5.3.5.4.6

インジウムペンテトレオチド (111 In) シンチグラフィの診断能について、医学論文データベース PubMed を octreoscan 、pentetreotide 、 indium and octreotide 、 octreotide scintigraphy 又は somatostatin receptor scintigraphyをキーワードに検索し、表2.7.3-28の検索条件を満たした公表論文24報を基に評価した。インジウムペンテトレオチド (111 In) シンチグラフィの診断能を既存の局在診断法との比較により評価した21報の結果を表2.7.3-29に、免疫組織化学的診断との比較により評価した3報の結果を表2.7.3-30に示した。各臨床試験論文の詳細な内容は「2.7.6.8.4 臨床試験等の公表論文」に示した。

表2.7.3-28 臨床試験等の公表論文の検索条件

-r	h » ¬	D 126 1						
アー	-タベース	PubMed						
検索	村	20 年 月 日						
検索		設定なし						
	キーワード	① octreoscan						
検		② pentetreotide						
検索条件		③ indium and octreotide						
件		④ "octreotide scintigraphy"						
		⑤ "somatostatin receptor scintigraphy"						
	言語	英語						
追加	『キーワード	"clinical trial" [Filter] OR						
		"cohort studies" [Mesh]						
該当	á論文数	395報						
論文	ての採用基準	①既存の局在診断法との比較による	②免疫組織化学的診断との比較によ					
		診断能の評価	る診断能の評価					
		・NETを対象としている。	・NETを対象としている。					
		・インジウムペンテトレオチド	・インジウムペンテトレオチド					
		(¹¹¹ In) シンチグラフィの診断能を	(¹¹¹ In) シンチグラフィの診断能を					
		既存の局在診断法との比較で評価	免疫組織化学的診断との比較で評					
		しており、患者単位及び/又は病	価しており、患者単位及び/又は					
		巣単位の感度を評価できる。	病巣単位の正診率を評価できる。					
		・解析対象例数が、前向き試験は30						
		例以上、後向き試験は60例以上で						
		ある。						
採用	月した公表論文	21報	3報					

表2.7.3-29 臨床試験等の公表論文における診断能:既存の局在診断法との比較

公表論文	実施時期 実施国 (施設数)	テ゛サ゛ イン	対象疾患 (例数)	主な選択基準	年齢 (歳)	用量 (MBq)	撮像 時期 (時間)	SPEC T	確定診断の定義	感度・特異度 (患者=患者単位、病巣=病巣単位)
(1) de Kerviler 1994	1991-1993 フランス (1)	前向き	y゙リンジャー・エリ ソン症候群 (ZES) (48)	組織学的に、又は臨床、生物学的及び分泌所見によりZESと診断されている。	平均50	120 (91-137)	4, 24, 48 又は 4, 24, 必 要に応 じて30	実施	画像診断	[患者] 感度: 81% (39/48) [病巣] 感度: 83% (50/60)
(2) Jamar 1995	ー ^゛ルキ゛ー (1)	前向き	胃腸膵NET (38)	組織学的及び/又は異常ホルモン値により、胃腸膵NETと診断されている、又は強く疑われる。	平均53	207 ± 40	4,24, 必要に 応じて 48	実施	患者単位=画像 診断 病巣単位=組織 学的診断	[患者] 感度: 87% (33/38) カルチノイト 89% (17/19) カ ストリノーマ 90% (9/10) 非機能性 100% (5/5) インスリノーマ 50% (1/2) MEN1 50% (1/2) [病巣] 感度: 93% (25/27)
(3) Gibril 1996	1994-1995 アメリカ (1)	前向き	ZES (80)	血清ガストリン測定等でZESと診断されている。	平均52 (17-72)	222	4, 24	実施	患者単位=手 術、肝生検、及 び/又は画像診 断等 病巣単位=手術	[患者] 感度: 70% (56/80) [病巣] 感度: 83% (24/29)
(4) Krenning 1996	1991-1993 ∃¬¬¬¬¬¬¬¬¬¬¬¬¬¬¬¬¬¬¬¬¬¬¬¬¬¬¬¬¬¬¬¬¬¬¬	前向き	胃腸膵NET (350)	組織学的又は生化学的に 胃腸膵NETと診断されている。		_	_	実施 (一部)	画像診断、及び /又は生検、手術	[患者] 感度: 80% (281/350) カルチノイト、87% (160/184) カ、ストリノーマ 73% (49/67) 非機能性 82% (49/60) インスリノーマ 46% (11/24) VIPオーマ 88% (7/8) ケ、ルカコ、ノーマ 100% (5/5) ソマトスタチノーマ 0% (0/2)

- : 記載なし (page 1 of 6)

表2.7.3-29 臨床試験等の公表論文における診断能:既存の局在診断法との比較(続き)

公表論文	実施時期 実施国 (施設数)	テ゛サ゛ イン	対象疾患 (例数)	主な選択基準	年齢 (歳)	用量 (MBq)	撮像 時期 (時間)	SPEC T	確定診断の定 義	感度・特異度 (患者=患者単位、病巣=病巣単位)
(5) Cadiot 1997	1991-1996 フランス (1)	後向き	ZES (85)	病歴、及び生化学的基準又 は解剖学的所見により ZESと診断されている。	平均 散発性49.4, MEN1合併43.7, 肝転移42.1	135	4, 24, 30-48	実施	経過観察での 組織学的診断、 画像診断	[患者] 感度: 73% (62/85) [病巣] 感度: 83% (19/23)
(6) Kisker 1997	1991-1996 F 47 (1)	前向き	胃腸膵NET (55)	臨床症状より胃腸膵NET と新規に診断され、未治療 である。	27-72	122-244	4, 21-24	実施	手術、又は細針 生検及び細胞 診	[患者] 感度(原発巣): 36% (20/55) カルチノイト 32% (7/22) カ・ストリノーマ 53% (9/17) インスリノーマ 0% (0/6) 非機能性40% (4/10) 感度(転移巣): 91% (32/35) カルチノイト 89% (17/19) カ・ストリノーマ 100% (9/9) インスリノーマ ー(ー/0) 非機能性86% (6/7)
(7) Lebtahi 1997	1992-1995 フランス (1)	前向き	胃腸膵NET (160)	組織学的及び/又は生化学 的に確定診断されている。	平均52	135	4, 24, 30-48	実施(一部)	画像診断、手術	, ,
	1994- アメリカ (1)	前向き	カ`ストリノーマ (37)	血清ガストリン測定等でZES と診断されている。	平均51 (35-71)	222	4, 24	実施	手術	[患者] 感度: 78% (29/37) [病巣] 感度: 67% (47/70)

- : 記載なし (page 2 of 6)

表2.7.3-29 臨床試験等の公表論文における診断能:既存の局在診断法との比較(続き)

公表論文	実施時期 実施国 (施設数)	デザ	対象疾患 (例数)	主な選択基準	年齢 (歳)	用量 (MBq)	撮像 時期 (時間)	SPEC T	確定診断の定 義	感度・特異度 (患者=患者単位、病巣=病巣単位)
(9) Chiti 1998	— १४॥७ (1)		胃腸膵NET (131)	病理学的に、又は機器検査 及び経過観察により胃腸 膵NETと診断されている。	中央値54 (16-83)	150-220	24, 48, 必要に 応じて 72	実施	病理学的診断、 画像診断、手術 等	[患者] 感度(原発巣): 62% (34/55) カルチノ仆・54% (19/35) 非機能性79% (11/14) 感度(肝転移): 90% (66/73) カルチノ仆・92% (45/49) 非機能性89% (16/18) 特異度(肝転移): 97% (56/58) カルチノ仆・95% (36/38) 非機能性100% (8/8) 感度(軟部転移): 90% (38/42) カルチノ仆・85% (23/27) 非機能性89% (8/9) 特異度(軟部転移): 98% (87/89) カルチノ仆・93% (56/60) 非機能性100% (17/17)
(10) Gibril 1999 (11) Raderer 2000	1994-1997 アメリカ (1) 1993-1998 オーストリア (1)	前向 き 一	ZES (146, 延 ~480) カルチノイト* (194)	血清が、ホリン測定等でZESと診断されている。 カルチノ仆、腫瘍が組織学的に確認されている、又は臨床所見及び生化学検査により疑われる。	平均53 (18-79) 中央値63 (43-79)	222	4, 24 0.5, 3-6, 18-24, 48, 72	実施	組織学的診断、 画像診断、経過 観察、手術 CT、又は組織学 的診断及び経 過観察時CT	[患者] 感度: 71% (258/364) 特異度: 86% (100/116)

- : 記載なし (page 3 of 6)

表2.7.3-29 臨床試験等の公表論文における診断能:既存の局在診断法との比較(続き)

公表論文	実施時期 実施国 (施設数)	テ゛サ゛ イン	対象疾患 (例数)	主な選択基準	年齢 (歳)	用量 (MBq)	撮像 時期 (時間)	SPEC T	確定診断の定 義		特異度 患者単位、病巣=病巣単位)
(12)	1990-1997	前向	前腸NET (40)	前腸NETと診断されてい	平均49	100-200	4, 24,	実施	組織学的診断	[病巣]	感度:
Zimmer	ト゛イツ	き		る。	(8-82)		必要に				インスリノーマ 12% (2/17)
2000	(1)						応じて				カ゛ストリノーマ 87% (13/15)
							48				非機能性 48% (10/21)
(13)	1996-1999	_	膵NET (19)、	生化学的検査及び画像診	平均52	111-220	4, 24	実施	病理診断、又は	[患者]	感度: 94% (18/19)
Briganti	イタリア		非NET (19)	断により膵NETが疑われ	(22-77)				画像診断、臨床		カ゛ストリノーマ 100% (10/10)
2001	(1)			る。					所見及び経過		インスリノーマ 83% (5/6)
									観察		ク゛ルカコ゛ノーマ 100% (1/1)
											カルチノイト゛ 100% (1/1)
											膵島細胞腫 100% (1/1)
											特異度: 84% (16/19)
(14)	_	前向	NET (43)	生化学的又は組織学的に	平均56	148 ± 17	4, 24,	実施	画像診断、又は	[患者]	感度: 91% (39/43)
Lebtahi	フランス	き		NETと診断されている。	(24-78)		30-48	(一部)	手術及び組織		胃腸膵NET 93% (37/40)
2002	(3)								学的診断		下垂体腺腫100% (2/2)
											クッシング症候群0% (0/1)
(15)	_	前向	NET (63)	組織学的にNETと診断さ	18-76	200-220	4-6, 24	実施	手術及び/又は	[患者]	感度: 77% (36/47)
Cimitan	イタリア	き		れている。					画像診断		高分化型90% (28/31)
2003	(1)										低分化型50% (8/16)
											特異度: 94% (15/16)
											高分化型92% (11/12)
											低分化型100% (4/4)

- : 記載なし (page 4 of 6)

表2.7.3-29 臨床試験等の公表論文における診断能:既存の局在診断法との比較(続き)

公表論文	実施時期 実施国 (施設数)	テ゛サ゛ イン	対象疾患 (例数)	主な選択基準	年齢 (歳)	用量 (MBq)	撮像 時期 (時間)	SPEC T	確定診断の定 義	感度・特異度 (患者=患者単位、病巣=病巣単位)
(16)	_	前向	胃腸膵NET	開腹手術が予定されてい	中央値48	_	24, 48	実施	組織学的診断	[患者] (原発巣)
Panzuto	イタリア	き	(60)	る胃腸膵NETである。	(18-73)				及び免疫組織	感度: 77% (36/47)
2003	(1)								化学的診断	機能性82% (14/17)
										非機能性73% (22/30)
										特異度: 92% (11/12)
										(リンパ節転移)
										感度: 48% (14/29)
										特異度: 100%
										(肝転移)
										感度: 67% (24/36)
										特異度:91%
(17)	1997-2003	前向	腹部カルチノイド	組織学的/細胞学的に腹部	27-73	111	24,	_	組織学的/細胞	[患者] 感度: 71.0% (22/31)
Dimitroulo	キ゛リシャ	き	(31)	カルチノイドと診断されてい			必要に		学的診断、手	
poulos	(1)			る、又は臨床/生化学所見			応じて		術、画像診断等	
2004				からカルチノイドが強く疑われ			48			
				る。						
(18)	2000-2002	前向	胃腸膵NET肝	組織学的に高分化型胃腸	平均57	170-220	4, 24,	実施	患者単位=生検	[患者] 感度(肝転移): 82.5% (33/40)
Dromain	フランス	き	転移 (40)	膵NETと診断され、生検で	(15-90)		必要に		又は手術	[病巣] 感度(肝転移): 49.3% (204/414)
2005	(1)			肝転移が確認されている。			応じて		病巣単位=画像	
							48		診断	
(19)	2000-2004		NET (149)	組織学的又は生化学的に	23-87	220	24	実施	病理学的診断、	[患者] 感度: 79% (118/149)
Quigley	作"リス	き		NETと診断されており、腫					生化学的診断、	カルチノイト 79% (91/115)
2005	(1)			瘍が少なくとも1つ確認さ					画像診断、手術	その他NET 79% (27/34)
				れている。						

- : 記載なし (page 5 of 6)

表2.7.3-29 臨床試験等の公表論文における診断能:既存の局在診断法との比較(続き)

公表論文	実施時期 実施国 (施設数)	テ*サ* イン	対象疾患 (例数)	主な選択基準	年齢 (歳)	用量 (MBq)	撮像 時期 (時間)	SPEC T	確定診断の定義	感度・特異度 (患者=患者単位、病巣=病巣単位)
(20) Perri 2008	2005-2006 ⟨₱₱७७ (1)			NETと診断されている、又 はその疑いがある。	平均55.9 (20-81)	222	6, 24	実施	手術、病理組織 学的診断、臨床 所見及び画像 診断を含む経 過観察	
(21) Stokkel 2011	ー オランタ [*] (1)	後向き	NET (88)	組織学的に高分化型カルチノイ ドと診断されている。	平均 60 (21-80)	200-220	24	実施	臨床情報、画像 所見及び経過 観察	[患者] 感度: 78% (57/73) 特異度: 93% (14/15)

- : 記載なし (page 6 of 6)

表2.7.3-30 臨床試験等の公表論文における診断能:免疫組織化学的診断との比較

公表論文	実施時期 実施国 (施設数)	テ゛サ゛ イン	対象疾患 (例数)	主な選択基準	年齢 (歳)	用量 (MBq)	撮像 時期 (時間)	SPEC T	確定診断の定義	正診率 (一致率) (患者=患者単位)
(22) Volante 2007	1998-2006 イタリア (3)	後向き	NET (107)	病理組織学的にNETと診 断されている。	_	135	4, 24	実施	ソマトスタチ ン受容体の免 疫組織化学的 診断	[患者] SSTR 2: 77% (82/107) SSTR 2 and/or 3: 80% SSTR 2 and/or 5: 77% SSTR 2, 3 and/or 5: 77%
(23) Asnacios 2008	1994-2002 ブランス (1)	後向き	高分化型NET (98)	病理組織学的に高分化型 NETと診断されている。	本検査陰 性群平均 57, 陽性群 56	185	4, 24	実施	ソマトスタチ ン受容体の免 疫組織化学的 診断	[患者] SSTR 1: 49% (39/80) SSTR 2: 79% (64/81) SSTR 3: 54% (43/80) SSTR 4: 37% (22/60) SSTR 5: 58% (47/81)
(24) Sclafani 2011	1997-2007 イタリア (1)	後向き	胃腸膵NET (30)	病理組織学的に胃腸膵 NETと診断されている。	中央値60	185	4, 24	実施	ソマトスタチ ン受容体の免 疫組織化学的 診断	[患者] SSTR 2: 73% (22/30) SSTR 5: 57% (16/28) SSTR 2 and/or 5: 73% (22/30)

2.7.3.3 全試験を通しての結果の比較と解析

2.7.3.3.1 試験対象集団

国内の第Ⅲ相臨床試験及び追加第Ⅲ相臨床試験の人口統計学的特性を表2.7.3-31に示す。また、海外第Ⅲ相臨床試験の人口統計学的特性を表2.7.3-32に示す。

国内の2試験間で、人口統計学的特性に明らかな違いは認められなかった。組み入れられた疾患は、第Ⅲ相臨床試験ではカルチノイド、ガストリノーマ及びインスリノーマ、追加第Ⅲ相臨床試験ではこれらの3疾患に加えてグルカゴノーマ及びソマトスタチノーマであった。

国内試験と海外試験の比較では、海外試験は年齢に関する組み入れ基準を設定していなかったため、20歳未満の小児及び75歳以上の高齢者も組み入れられており、国内試験に比べて患者の年齢範囲が広かった(国内第Ⅲ相臨床試験23~74歳、国内追加第Ⅲ相臨床試験28~74歳、海外第Ⅲ相臨床試験1.8~86歳)。また、対象としたNETに関しては、国内試験は主に内分泌活性のある消化管ホルモン産生腫瘍を対象としていたが、海外試験は内分泌活性の有無を問わずに種々のNETを組み入れており、胃腸膵NET及びカルチノイド以外のNET(下垂体腺腫、甲状腺髄様癌、褐色細胞腫等)の患者も全体の約40%を占めていた。

インジウムペンテトレオチド (¹¹¹In) シンチグラフィは、「2.7.3.2.3 有効性を支持する資料」に示したように、膵、消化管、肺、気管支等の種々のNETの局在診断や病期診断に使用されている。また、国内の個人輸入によるシンチグラフィでも同様に、種々のNETで実施されていた。

臨床試験及び有効性を支持する資料でインジウムペンテトレオチド(¹¹¹In)の有効性が示された対象は、個人輸入の使用実態調査結果を踏まえ、市販後に予想される集団と差異はないと考えられる。

表2.7.3-31 国内第Ⅲ相臨床試験及び追加第Ⅲ相臨床試験の人口統計学的特性

			(有効性解析対象集団)
		第Ⅲ相臨床試験	追加第Ⅲ相臨床試験
項目	被験者数	n = 21	n = 35
性別	男	10 (47.6)	21 (60.0)
	女	11 (52.4)	14 (40.0)
年齢 (歳)	< 65	16 (76.2)	29 (82.9)
	≥ 65	5 (23.8)	6 (17.1)
	Mean [SD]	52.8 [13.9]	53.3 [11.7]
	Median	51.0	55.0
	Min, Max	23, 74	28, 74
身長 (cm)	Mean [SD]	159.9 [11.4]	160.8 [10.2]
	Median	159.0	162.0
	Min, Max	145, 184	139, 179
体重 (kg)	Mean [SD]	55.2 [14.0]	60.2 [14.2]
	Median	53.5	56.7
	Min, Max	37, 85	30, 103
BMI (kg/m ²)	< 18.5	6 (28.6)	4 (11.4)
	18.5~25	12 (57.1)	22 (62.9)
	<u>≥</u> 25	3 (14.3)	9 (25.7)
	Mean [SD]	21.35 [3.90]	23.03 [3.78]
	Median	20.70	22.80
	Min, Max	16.0, 31.3	15.6, 32.0
入院・外来	入院	15 (71.4)	28 (80.0)
	外来	6 (28.6)	7 (20.0)
合併症	無し	13 (61.9)	10 (28.6)
	有り	8 (38.1)	25 (71.4)
併用薬	無し	8 (38.1)	5 (14.3)
	有り	13 (61.9)	30 (85.7)
オクトレオチド	無し	16 (76.2)	28 (80.0)
酢酸塩の処方歴	有り	5 (23.8)	7 (20.0)
疾患名	カルチノイド	10 (47.6)	6 (17.1)
	ガストリノーマ	6 (28.6)	15 (42.9)
	インスリノーマ	5 (23.8)	11 (31.4)
	グルカゴノーマ	0	2 (5.7)
	ソマトスタチノーマ	0	1 (2.9)

出典:併合解析・再解析報告書 表9及び表10 (添付資料5.3.5.3.2)

表2.7.3-32 海外第Ⅲ相臨床試験の人口統計学的特性

		(解析対象集団)
		海外第Ⅲ相臨床試験
項目	被験者数	n = 365
性別		174 (47.7)
	女	191 (52.3)
年齢 (歳)	< 18	6 (1.6)
	18~60	223 (61.1)
	> 60	136 (37.3)
	Mean [SD]	54.0 [14.9]
	Min, Max	1.8, 86
オクトレオチド	無し	254 (69.6)
酢酸塩の処方歴	有り	102 (27.9)
	不明	9 (2.5)
疾患名	カルチノイド	132 (36.2)
	ガストリノーマ	26 (7.1)
	インスリノーマ	12 (3.3)
	インスリノーマ及び下垂体腺腫	1 (0.3)
	グルカゴノーマ	6 (1.6)
	VIPオーマ	4 (1.1)
	モチリノーマ	1 (0.3)
	肺小細胞癌	2 (0.5)
	甲状腺髄様癌	19 (5.2)
	甲状腺髄様癌及び褐色細胞腫	2 (0.5)
	褐色細胞腫	5 (1.4)
	傍神経節腫	3 (0.8)
	神経芽腫	1 (0.3)
	下垂体腺腫	34 (9.3)
	下垂体腺腫及び未分類のNET	2 (0.5)
	下垂体腺腫及び髄膜腫	1 (0.3)
	未分類のNET	47 (12.9)
	未確証のNET	27 (7.4)
	非NET	40 (11.0)

(%)

2.7.3.3.2 全有効性試験の結果の比較検討

2.7.3.3.2.1 患者単位の感度(既存の画像診断法との一致性)

国内第Ⅲ相臨床試験、国内追加第Ⅲ相臨床試験及び海外第Ⅲ相臨床試験は、いずれも既存の診断法との比較で、NET患者を対象にインジウムペンテトレオチド(¹¹¹In)の診断能を評価した。しかしながら、試験毎に被験者の選択基準や診断能の定義が若干異なる(表2.7.3-6)。そこで、既存の画像診断法等で腫瘍の局在が確認された被験者(第Ⅲ相臨床試験19名、追加第Ⅲ相臨床試験22名及び海外第Ⅲ相臨床試験272名)について、インジウムペンテトレオチド

(¹¹¹In)シンチグラフィで少なくとも1つの真陽性部位が認められた被験者の割合を患者単位の感度とし、比較した。表2.7.3-33に示すように、国内第Ⅲ相臨床試験、国内追加第Ⅲ相臨床試験及び海外第Ⅲ相臨床試験の感度はそれぞれ73.7%、90.9%及び84.9%であり、若干の試験間差が認められたものの、ほぼ同等であった。これらの感度は、臨床試験等の公表論文で報告されている患者単位の感度(表2.7.3-29)とも明らかな差は認められなかった。

表2.7.3-33 患者単位の感度

試験	疾患名	感度	(95% CI)
国内第Ⅲ相臨床試験	消化管ホルモン産生腫瘍	73.7% (14/19)	(53.9%, 93.5%)
国内追加第Ⅲ相臨床試験	消化管ホルモン産生腫瘍	90.9% (20/22)	(78.9%, 100%)
海外第Ⅲ相臨床試験	神経内分泌腫瘍	84.9% (231/272)	(80.7%, 89.2%)

患者単位の感度(%)=インジウムペンテトレオチド (111 In) シンチグラフィで少なくとも1つの真陽性 部位が認められた被験者数 / 既存の診断法で腫瘍の局在が確認された被験者数 \times 100

出典:国内外第Ⅲ相臨床試験における患者単位の感度に関する解析報告書(添付資料5.3.5.3.3)

2.7.3.3.2.2 治療方針の決定への影響

国内第Ⅲ相臨床試験、国内追加第Ⅲ相臨床試験及び海外第Ⅲ相臨床試験で、インジウムペンテトレオチド(¹¹¹In)シンチグラフィが被験者の治療方針の決定に与えた影響を評価した結果を表2.7.3-34にまとめた。治療方針に影響する情報が得られたと判定された被験者は、国内第Ⅲ相臨床試験では28.6%(6/21名)、国内追加第Ⅲ相臨床試験では48.6%(17/35名)、海外第Ⅲ相臨床試験では31.1%(64/206名)であり、その約半数がソマトスタチンアナログ治療に関連する内容のものであった。

表2.7.3-34 治療方針の決定への影響

	本検査が治療方針	
試験	の決定に影響を与	内容
	えた被験者割合	
国内第Ⅲ相	28.6% (6/21)	手術の実施又は実施考慮:2名
臨床試験		肝動注療法の実施考慮:1名
		オクトレオチドの投与開始又は使用考慮:3名
国内追加第Ⅲ相	48.6% (17/35)	治療方針の決定について有益な情報が得られた:16名
臨床試験		オクトレオチド処方について有益な情報が得られた:7名
		その他、有益な情報が得られた:13名 (重複あり)
海外第Ⅲ相	31.1% (64/206)	手術の実施又は計画:13名
臨床試験		手術中止:3名
		ソマトスタチンアナログ療法の開始:35名
		オクトレオチドの用量変更:15名 (重複あり)

臨床試験等の公表論文においても、表2.7.3-35に示すように、国内外の第Ⅲ相臨床試験と同様にインジウムペンテトレオチド(¹¹¹In)シンチグラフィにより手術やソマトスタチンアナロ

グ治療の方針が変更された等、影響を受けた患者が多数報告されていた。

表2.7.3-35 臨床試験等の公表論文で報告されている治療方針の決定への影響

海外臨床試験 公表論文	本検査が治療方針の決定 に影響を与えた患者割合	内容
Jamar 1995 (論文2)	53% (20/38)	オクトレオチド治療、手術の決定に影響あり
Krenning 1996 (論文4)	40% (94/235)	手術方針の決定、オクトレオチド治療に影響あり 手術実施決定21名、手術中止8名、オクトレオチド治療開始47 名、オクトレオチド投与量変更18名
Cadiot 1997 (論文5)	32% (27/85)	治療方針に影響あり
Lebtahi 1997 (論文7)	25% (40/160)	外科手術の方針変更あり 予想外の肝転移発見7名、対側葉の肝転移発見で手術中止2名、 肝外転移発見31名
Chiti 1998 (論文9)	28% (37/131) 21% (28/131)	新たな病変検出による確定診断 治療計画の変更(手術中止、ソマトスタチンアナログ治療開始)
Briganti 2001 (論文13)	52% (20/38)	治療方針の変更 手術の適否判断14名、オクトレオチド治療開始5名、オクトレオ チド増量2名、オクトレオチド治療中止3名(重複あり)

2.7.3.3.3 部分集団における結果の比較

2.7.3.3.3.1 組織診断で診断が確定された症例における有効性

国内第Ⅲ相臨床試験、国内追加第Ⅲ相臨床試験及び海外第Ⅲ相臨床試験で、組織診断により診断が確定された症例における患者単位の診断能をCT及びMRIの結果と併せて表2.7.3-36に示す。インジウムペンテトレオチド(¹¹¹In)シンチグラフィの感度、特異度及び正診率はそれぞれ、国内第Ⅲ相臨床試験が66.7%、100.0%及び80.0%、国内追加第Ⅲ相臨床試験が62.5%、0.0%及び58.8%、海外第Ⅲ相臨床試験が85.7%、50.0%及び82.1%であり、CT及びMRIに匹敵する診断能を示した。

表2.7.3-36 組織診断により診断が確定された症例における患者単位の診断能

試験	組織診断法	本検査		CT			MRI			
武顺	租械衫例伝	感度	特異度	正診率	感度	特異度	正診率	感度	特異度	正診率
国内第Ⅲ相	手術、生検	66.7%	100.0%	80.0%	100.0%	50.0%	80.0%		±+	,
臨床試験*		(2/3)	(2/2)	(4/5)	(3/3)	(1/2)	(4/5)	実施例なし		
国内追加第Ⅲ相	免疫組織化学的診	62.5%	0.0%	58.8%	80.0%	0.0%	72.7%	83.3%	_	83.3%
臨床試験*	断、病理組織診断	(10/16)	(0/1)	(10/17)	(8/10)	(0/1)	(8/11)	(5/6)	(0/0)	(5/6)
海外第Ⅲ相	手術、生検	85.7%	50.0%	82.1%	66.7%	25.0%	62.2%	80.0%	0.0%	57.1%
臨床試験		(30/35)	(2/4)	(32/39)	(22/33)	(1/4)	(23/37)	(4/5)	(0/2)	(4/7)

^{*}出典:国内外第Ⅲ相臨床試験における患者単位の感度に関する解析報告書(添付資料 5.3.5.3.3)

臨床試験等の公表論文についても、同様に、組織診断により診断が確定された症例における患者単位及び病巣単位の感度をそれぞれ表2.7.3-37及び表2.7.3-38に示す。インジウムペンテトレオチド (111 In) シンチグラフィの感度は、CT、MRI等の従来の画像診断結果を併せた感度と同等あるいはそれ以上の値を示した。

表2.7.3-37 臨床試験等の公表論文において組織診断により診断が確定された症例における 患者単位の感度

海外臨床試験 公表論文	組織診断法	疾患名	本検査	СТ	MRI	従来の 画像診断法
Kisker 1997 (論文6)	外科的診査、又 は細針生検及 び細胞診	カルチノイド 原発巣 カルチノイド 転移巣 ガストリノーマ 原発巣 ガストリノーマ 転移巣	32% (7/22) 89% (17/19) 53% (9/17) 100% (9/9)	50% (11/22) 95% (18/19) 41% (7/17) 67% (6/9)		
Alexander 1998 (論文8)	外科的診査	ZES	78% (29/37)	51% (18/37)	57% (21/37)	73%*1 (27/37)
Briganti 2001 (論文13)	病理診断	膵NET	94% (18/19)			21% (4/19)
Panzuto 2003 (論文16)	組織学的診断、 免疫組織化学 的診断	胃腸膵NET 原発巣 リンパ節転移 肝転移	77% (36/47) 48% (14/29) 67% (24/36)	94% (44/47) 69% (20/29) 94% (34/36)		
Dromain 2005 (論文18)	生検又は手術	胃腸膵NET 肝転移	82.5% (33/40)	97.5% (39/40)	97.5% (39/40)	

^{*}US、CT、MRI、血管造影を併せた結果

表2.7.3-38 臨床試験等の公表論文において組織診断により診断が確定された症例における 病巣単位の感度

公表論文	組織診断法	疾患名	患者数	本検査	CT	MRI	従来の 画像診断法
Jamar 1995 (論文2)	組織学的診断	胃腸膵NET	21名	93% (25/27)			67%*1 (18/27)
Gibril 1996 (論文3)	外科的診査	ZES	15名	83% (24/29)			52%*2(15/29)
Alexander 1998 (論文8)	外科的診査	ZES	35名	67% (47/70)	29% (20/70)	31% (22/70)	43%*2 (30/70)
Zimmer 2000	組織学的診断	インスリノーマ	13名	12% (2/17)	29% (5/17)	13% (2/16)	
(論文12)		ガストリノーマ 非機能性NET	11名 16名	87% (13/15) 48% (10/21)	27% (4/15) 38% (8/21)	27% (4/15) 25% (5/20)	

^{*1} 単純X線、造影CT、US、MRI、血管造影、膵臓超音波内視鏡等を併せた結果

2.7.3.3.3.2 ソマトスタチン受容体を発現している症例における有効性

国内追加第Ⅲ相臨床試験では、ソマトスタチン受容体の存在をオクトレオチド負荷試験により判定し、インジウムペンテトレオチド (¹¹¹In) シンチグラフィの診断能と比較した。その結果、79.3%(23/29名;判定不能の6名を除く)の患者で一致(シンチグラフィで陽性部位があり負荷試験も陽性、又はシンチグラフィで陽性部位がなく負荷試験も陰性)が確認された(表2.7.3-15)。

臨床試験等の公表論文(論文22、23、24)では、ソマトスタチン受容体の免疫組織化学的診断との一致性が評価されている。ソマトスタチン受容体の5つのサブタイプのうち、インジウムペンテトレオチド(¹¹¹In)の親和性が最も高い2型との一致性(正診率)が最も高く、いずれの論文も70%以上であった(表2.7.3-30)。

2.7.3.3.3.3 疾患別の有効性(既存の画像診断法との一致性)

国内第Ⅲ相臨床試験、国内追加第Ⅲ相臨床試験及び海外第Ⅲ相臨床試験で共通する疾患(消化管ホルモン産生腫瘍、又は胃腸膵NET及びカルチノイド)について、疾患別の患者単位及び病巣単位の感度をそれぞれ表2.7.3-39及び表2.7.3-40に示す。患者単位の感度は、国内試験の被験者数が少なかったため比較するには限界があるが、インスリノーマを除き、いずれの疾患も約80%以上であった。インスリノーマでの感度は、臨床試験等の公表論文(表2.7.3-29)の報告と同様に低い傾向にあった。病巣単位の感度は、患者単位の感度と同様の値を示した。

^{*2}US、CT、MRI、血管造影を併せた結果

表2.7.3-39 疾患別の患者単位の感度

	[国内	海外
大忠石	第Ⅲ相臨床試験	追加第Ⅲ相臨床試験	第Ⅲ相臨床試験
カルチノイド	77.8% (7/9)	80.0% (4/5)	88.2% (112/127)
ガストリノーマ	100.0% (5/5)	100.0% (10/10)	100.0% (23/23)
インスリノーマ	40.0% (2/5)	80.0% (4/5)	41.7% (5/12)
グルカゴノーマ	_	100.0% (2/2)	100.0% (6/6)
VIPオーマ	_	_	100.0% (4/4)
モチリノーマ	_	-	100.0% (1/1)
合計	73.7% (14/19)	90.9% (20/22)	87.3% (151/173)

出典:国内外第Ⅲ相臨床試験における患者単位の感度に関する解析報告書(添付資料 5.3.5.3.3)

表2.7.3-40 疾患別の病巣単位の感度

疾患名 -	Ē	国内	海外
大忠石	第Ⅲ相臨床試験	追加第Ⅲ相臨床試験	第Ⅲ相臨床試験
カルチノイド	82.8% (24/29)	85.7% (6/7)	79.7% (185/232)
ガストリノーマ	100.0% (10/10)	100.0% (10/10)	95.0% (38/40)
インスリノーマ	62.5% (5/8)	77.8% (7/9)	35.7% (5/14)
グルカゴノーマ	_	100.0% (2/2)	72.7% (8/11)
VIPオーマ	_	_	85.7% (6/7)
モチリノーマ	_	_	100.0% (3/3)
合計	83.0% (39/47)	89.3% (25/28)	79.8% (245/307)

病巣単位の感度(%)=真陽性部位数 / (真陽性部位数+偽陰性部位数)×100

2.7.3.3.3.4 既存の画像診断法で病巣が確認されていない症例における有効性

国内追加第Ⅲ相臨床試験では、①内分泌活性があり、既存の画像診断法で腫瘍病巣の存在が確認されている症例(A群)と、②内分泌活性があり、腫瘍病巣の存在が疑われるものの、既存の画像診断法で腫瘍病巣の存在・局在が確認されていない症例(B群)に分けて、有効性を検討した。海外第Ⅲ相臨床試験についても同様に被験者を2群に分けた感度を表2.7.3-41に示す。国内第Ⅲ相臨床試験では、後者に該当する被験者はいなかった。既存の画像診断法で腫瘍病巣の存在・局在が確認されていなかった被験者数は少なく、患者単位の感度は、国内追加第Ⅲ相臨床試験が66.7%(4/6名)、海外第Ⅲ相臨床試験が100.0%(4/4名)であった。

国内第Ⅲ相臨床試験の既存の画像診断法で腫瘍病巣の存在が確認されていた症例においては、3名で新たに10病変が検出され、そのうち追跡調査が行われた2名の3病変は画像診断で病変の存在が確認された。

表2.7.3-41	内分泌活性があり、既存の画像診断法で腫瘍病巣の存在が確認されていた/研究	確認
されていな	いった症例における患者単位の感度	

試験	疾患名	①既存の画像診断法で腫瘍病巣 の存在が確認されていた症例	②腫瘍病巣の存在が疑われるが、既存 の画像診断法で腫瘍病巣の存在・局 在が確認されていなかった症例
国内第Ⅲ相 臨床試験	消化管ホルモン 産生腫瘍	73.7% (14/19)	_
国内追加第 Ⅲ 相 臨床試験	消化管ホルモン 産生腫瘍	100.0% (15/15)	66.7% (4/6)*
海外第Ⅲ相 臨床試験	カルチノイド及 び胃腸膵NET	87.0% (147/169)	100.0% (4/4)

^{*} 本検査前の画像診断で肝病変が確認されていたものの、原発巣の検索が目的であったためにB群として登録された1名 (B-24) は、本検査で真陽性と判定された部位は既知の肝病変のみで、他の検出部位は偽陽性判定であったため、本集計より除外した。

出典:国内外第Ⅲ相臨床試験における患者単位の感度に関する解析報告書(添付資料 5.3.5.3.3)

2.7.3.3.3.5 インジウムペンテトレオチド(111 In)の有効性に対するオクトレオチド酢酸塩の影響

ソマトスタチンアナログであり、NETの主要な治療薬であるオクトレオチド酢酸塩は、ソマトスタチン受容体での競合によりインジウムペンテトレオチド(¹¹¹In)の腫瘍への集積を抑制し、診断能に影響を及ぼす可能性がある。そのため、海外学会(SNMMI、EANM及びENETS)の画像診断ガイドラインは、インジウムペンテトレオチド(¹¹¹In)投与前はオクトレオチド酢酸塩による治療を一時的に中止するのが望ましいと記載している。国内第Ⅲ相臨床試験、国内追加第Ⅲ相臨床試験及び海外第Ⅲ相臨床試験では、オクトレオチド酢酸塩の影響を考慮し、オクトレオチド酢酸塩の休薬期間を「可能な場合、インジウムペンテトレオチド(¹¹¹In)投与72時間前より」と設定した。

オクトレオチド酢酸塩がインジウムペンテトレオチド(¹¹¹In)の診断能に及ぼす影響を評価するために、海外第III相臨床試験でオクトレオチド酢酸塩の休薬期間が72時間以下であった88名について、インジウムペンテトレオチド(¹¹¹In)の有効率を算出した(表2.7.3-42)。オクトレオチド酢酸塩の休薬期間が72時間以下であった被験者での有効率は、本試験全体の有効率(86.4%)以上であり、インジウムペンテトレオチド(¹¹¹In)の診断能に対するオクトレオチド酢酸塩の影響は認められなかった。

表2.7.3-42 インジウムペンテトレオチド(111 In)の有効率に及ぼすオクトレオチド酢酸塩の影響(海外第 $_{\square}$ 相臨床試験)

オクトレオチド酢酸塩の休薬期間 (インジウムペンテトレオチド(¹¹¹ In)投与前)	被験者数	有効率
0時間 (中止しなかった)	1	100.0% (1/1)
12時間	39	97.4% (38/39)
24~36時間	10	100.0% (10/10)
60~72時間	38	92.1% (35/38)
240時間超 (又は処方歴なし)	221	82.8% (183/221)
_ 合計	309	86.4% (267/309)

2.7.3.4 推奨用法・用量に関する臨床情報の解析

以下に、申請予定の用法・用量を示す。

通常、成人には本品111 MBqを静脈内投与し、4時間後及び24時間後にガンマカメラを用いてシンチグラムを得る。必要に応じて、48時間後にもシンチグラムを得る。投与量は、患者の状態により適宜増減する。

必要に応じて、断層像を追加する。

2.7.3.4.1 投与量

国内の第Ⅲ相臨床試験及び追加第Ⅲ相臨床試験での投与量は、安全性の確認が主目的であった第Ⅲ相臨床試験の4名(74 MBq)を除き、プラナー像、SPECT像(断層像)の撮像共に111 MBqであった。一方、国内第Ⅲ相臨床試験に先行して欧州で実施された海外第Ⅲ相臨床試験での投与量は、111 MBq(プラナー撮像単独の場合)又は222 MBq(SPECT撮像予定の場合)であった。欧米の承認用量は、海外第Ⅲ相臨床試験の結果を踏まえ、欧州ではプラナー撮像単独が110 MBq、SPECT撮像が110~220 MBq、米国ではプラナー撮像単独が111 MBq、SPECT撮像が222 MBqとされている(表2.7.3-43)。

国内試験では、海外の最大承認用量である222 MBqは検討していない。国内試験の最大投与量を111 MBqと設定した理由は、海外試験当時に比べてガンマカメラの技術が進歩し、海外の臨床試験成績等から111 MBqでも精度の高いSPECT像が得られると判断したためである。実際に、国内第Ⅲ相臨床試験での111 MBqの投与量としての評価は、17名中15名(病巣が検出された11名中10名)が「適量である」との評価であった。また、国内第Ⅲ相臨床試験及び追加第Ⅲ相臨床試験で得られた74~111 MBqでの感度(第Ⅲ相臨床試験73.7%、追加第Ⅲ相臨床試験90.9%)は、海外第Ⅲ相臨床試験で得られた111~222 MBqでの感度(84.9%)と同等であった(表2.7.3-33)。疾患間で認められた感度の差(表2.7.3-39)は用量不足によるものではなく、国内追加第Ⅲ相臨床試験でのオクトレオチド負荷試験(2.7.6.5項;表2.7.6.5-18参照)でも示されたように、ソマトスタチン受容体の発現率の差によるものが大きいと考えられる。

このように、国内第Ⅲ相臨床試験及び追加第Ⅲ相臨床試験の結果からは、111 MBqでも

SPECT撮像を行い、NETを診断することは十分可能であると考えられる。しかしながら、欧米の最大承認用量は222 MBqであり、海外学会(ENETS、SNMMI、EANM、ACR、SPR)の画像診断ガイドライン及びpeer-reviewed journalに掲載された総説に記載されている推奨投与量も約200 MBqである。また、有効性を支持する臨床試験等の公表論文(表2.7.3-29)での投与量は、多くが200 MBq前後であった。さらに、国内の個人輸入の使用実態調査の結果、実投与量の中央値は219 MBq(84~262 MBq)(表2.7.3-22)であった。

以上より、インジウムペンテトレオチド (¹¹¹In) の推奨投与量は、国内外の臨床試験の結果に加え、個人輸入の使用実態調査結果、欧米の承認用量及び有効性を支持する資料の内容を踏まえて、プラナー、SPECT撮像共に111~222 MBqとするのが妥当であると判断した。

しかしながら、審査の結果、推奨投与量は申請時の「 $111\sim222~\mathrm{MBq}$ 」から「 $111~\mathrm{MBq}$ 」に変更した。

表2.7.3-43 海外の推奨投与量及び撮像時期

資料		成人投与量	撮像時期
海	米国	プラナー: 111 MBq	(記載なし)
		SPECT: 222 MBq	
外承認	欧州	プラナー:110 MBq	・24時間
μι		SPECT : 110∼220 MBq	・必要に応じて4時間、48時間
		[使用する画像診断装置	
		によって調整]	
学	ENETS	185∼222 MBq	・4時間及び24時間、又は24時間及び48時間
学会ガ			・SPECTは24時間が望ましい
ルイ	NANETS	(記載なし)	・通常4~6時間及び24~48時間
ドラ	SNMMI	222 MBq	・通常24時間
フイ			・必要に応じて4時間、48時間
シ			・SPECTは24時間が望ましい
	EANM	約200 MBq	・24時間にプラナー及びSPECTを撮る
		[撮像条件次第で< 200	・4時間及び24時間、又は24時間又は48時間の2
		MBqも可]	回撮像し、SPECTを少なくとも1回撮る
			・必要に応じて48時間、72時間及び/又は96時間
			のスポット像を追加する
	ACR/SPR	通常148~222 MBq	・通常4~24時間
			・48~72時間も時には有用
総	Bombardieri 2010	約200 MBq	・24時間及び48時間、必要に応じて72時間
説		(120~220 MBq)	・SPECTは4時間及び24時間又は48時間
	Carrasquillo 2010	(記載なし)	・通常4時間及び24時間
	Kwekkeboom 2010	約200 MBq	・SNMMIのガイドライン参照
	Teunissen 2011	約200 MBq	・SNMMI、EANM、ENETSのガイドライン参照
	Sundin 2012	(記載なし)	・全身プラナー像は4時間及び24時間
			・SPECT像は24時間
	1		・24時間及び48時間という方法もある

2.7.3.4.2 撮像時期及び方法

国内第Ⅲ相臨床試験では、インジウムペンテトレオチド (111 In) 投与後4、24及び48時間に 撮像を行い、最適な撮像時期を評価した。その結果、最適と判定された撮像時期は、「投与後4時間及び24時間」の組み合わせが21名中12名(病巣が検出された14名中8名)と最も多かった。これは、多くの海外学会の画像診断ガイドラインやpeer-reviewed journalに掲載された総説が推奨する撮像時期とも一致している(表2.7.3-43)。個人輸入の使用実態調査の結果も、主な撮像時期は投与後4~6及び24時間であった(表2.7.3-23)。したがって、申請予定の撮像時期を「4時間後及び24時間後」とすることは妥当であると判断した。

一方、投与後24時間の撮像ではインジウムペンテトレオチド(¹¹¹In)の結腸への排泄像が認められ、腹部領域の腫瘍との判別が困難となる場合があるため、画像診断ガイドラインや総説には、投与後24時間像で腸内の生理的集積によると思われる腹部集積が認められる場合には、投与後48時間の撮像を追加する意義があると記載されている。しかしながら、3日連続の撮像は患者に負担を強いることになる。個人輸入の使用実態調査でも投与後48時間の撮像は一部の施設でのみ実施されていたことを踏まえ、投与後48時間の撮像は設定しなかった。

SPECT像は、プラナー像よりも詳細な解剖学的位置情報が得られるため、腫瘍の好発部位が腹部であるNET患者では腹部領域の生理的集積と腫瘍の判別に有用であり、その必要性は海外学会の診療ガイドライン及び総説に記載されている。個人輸入の使用実態調査の結果、SPECT撮像は全ての患者で実施されていた。

以上より、インジウムペンテトレオチド(¹¹¹In)によるシンチグラフィの撮像時期及び方法は、投与後4時間及び24時間に撮像し、必要に応じてSPECT撮像(断層像)を追加することが適切であると判断した。

しかしながら、審査の過程で投与後48時間の撮像の必要性を再度検討した結果、撮像時期は申請時の「4時間後及び24時間後」に「必要に応じて、48時間後」を追加し、変更した。

2.7.3.5 効果の持続、耐薬性

インジウムペンテトレオチド (¹¹¹In) は画像診断用の単回投与製剤のため、効果の持続及び 耐薬性については検討していない。

2.7.3.6 付録

付表2.7.3-1 臨床的有効性試験の要約

付表2.7.3-2 有効性試験の結果

付表2.7.3-1 臨床的有効性試験の要約

試験名 [実施計 画書No.]	施設数実施国	実施期間 試験の状況 総投与数/目標	試験目的	試験デザイン	対象疾患 (主な選択基準)	被験薬 投与量 投与方法	登録例数/ 有効性評 価対象	男性/女性 平均年齢 (範囲)	主たるエンドポイント	添付資料番号
第Ⅲ相臨 床試験 [MP-1727 -03]	20施設 日本	1994.12~1995.3 完了 23/20~30	有効性 安全性 有用性	多施設共同 オープン 対照なし	瘍 (事前の画像診断で腫	インジウムペンテトレ オチド (¹¹¹ In) 74 MBq又は111 MBq 静脈内単回	23/21	10/11 52.8 (23~74)	・投与量・撮像時期・症例毎の診断能・部位毎の診断能・治療方針の変更、追加	5.3.5.2.1 参考
追加第Ⅲ 相臨床試 験 [MP-1727 -04]	15施設 日本	2000.11~2002.1 完了 40/35	有効性 安全性 有用性	多施設共同 オープン 対照なし	瘍 (内分泌活性があり、事	インジウムペンテトレ オチド (¹¹¹ In) 111 MBq 静脈内単回	43/35	21/14 53.3 (28~74)	 ・症例毎の診断能 ・部位毎の診断能 ・オクトレオチド負荷試験実施症例での有効性 ・免疫組織化学的診断実施症例での有効性 ・治療方針の決定への有益な情報提供の有無 	5.3.5.2.2 評価
海外第Ⅲ 相臨床試 験* [91-132, 91-133, 91-136, 91-137, 91-148, 91-149, 91-150, 91-151]	9施設欧州	19 ■ 【 ~19 ■ 【 完了 365/一	有効性安全性	オープン 被験者内比較 対照なし	神経内分泌腫瘍 (確定された又は強く 疑われる)	インジウムペンテトレ オチド (¹¹¹ In) 111 MBq又は222 MBq 静脈内単回	365/診断 能=309, 治療方針 =206	174/191 54.0 (1.8~86)	・症例毎の診断能 ・部位毎の診断能 ・治療方針に及ぼす影響	5.3.5.3.1 参考

^{*}同一プロトコールで実施された9つの単施設試験の統合結果

付表2.7.3-2 有効性試験の結果

試験名 [実施計 画書No.]	対象疾患	投与量	主な有効性評価の約	吉果												添付資料番号資料区分
国内第Ⅲ	消化管ホ	74 MBq	症例毎の診断能						部位毎の診断能							5.3.5.2.1
相臨床試	ルモン産	又は	疾患名	有効	無効	判定不能	有効率	率(%)	疾患名	TP	FP	FN	TN	TP+TNØ)比率(%)	参考
験	生腫瘍	111 MBq	カルチノイド	8*	2	0	8/10	(80.0)	カルチノイド	24	0	5	1	25/30	(83.3)	
[MP-1727			ガストリノーマ	6*	0	0	6/6	(100.0)	ガストリノーマ	10	0	0	1	11/11	(100.0)	
-03]			インスリノーマ	2	3	0	2/5	(40.0)	インスリノーマ	5	1	3	0	5/9	(55.6)	
			合計	16	5	0	16/21	(76.2)	合計	39	1	8	2	41/50	(82.0)	
			有効:本検査で少が (*TNと判定・ 名は「有効」 無効:本検査の結り 判定不能:本検査の 合。	されたカ に含め 果がFNス	ルチノーた。) スはFPの	イド及びガス	トリノー	-マの各1	TP:本検査前の画作画像診断が陰性場合。 FP:本検査前の画作確実に否定され FN:本検査前の画作でである。 TN:本検査前の画作では、本検査前の画作である。	生、本格 象診断か いた場合 象診断な	を査が陽	性で、 本検査 本検査	追跡調査 をが陽性で をが陰性の	で病巣が確 、追跡調査)場合。	認できた	

(page 1 of 3)

付表2.7.3-2 有効性試験の結果(続き)

試験名 [実施計 画書No.]	対象疾患	投与量	主な有効性評価の結果												添付資料番号 資料区分
国内追加	消化管ホ	111 MBq	症例毎の診断能					部位毎の診断能							5.3.5.2.2
第Ⅲ相臨	ルモン産		疾患名	陽性	陰性	判定不能	陽性率(%)	疾患名	TP	FP	FN	TN	TP+TNの比率	(%)	評価
床試験	生腫瘍		カルチノイド	4	1	1	4/6 (66.7)	カルチノイド	6	5	1	0	6/12 (50.	0)	
[MP-1727			ガストリノーマ	10	1	4	10/15 (66.7)	ガストリノーマ	10	2	0	0	10/12 (83.	3)	
-04]			インスリノーマ	4	1	6	4/11 (36.4)	インスリノーマ	7	1	2	0	7/10 (70.	0)	
			その他	2	0	1	2/3 (66.7)	その他	2	0	0	0	2/2 (100.	0)	
			合計	20	3	12	20/35 (57.1)	合計	25	8	3	0	25/36 (69.	4)	
			その他:グルカゴノー	その他:グルカゴノーマ及びソマトスタチノーマ その他:グルカゴノーマ及びソマトスタチノーマ											
			陽性:本検査で少なく	2610	の TP 音	『位が検出さ	れた場合。	TP:本検査前の画像語	诊断、本 标	倹査と	も陽性の	の場合。	又は、本検査	前の	
			陰性:本検査でTP部位	が全く	なかっ	た場合。		画像診断が陰性、	本検査な	ぶ陽性	で、画値	象追跡訓	間査で病巣が確	認で	
			判定不能:本検査前の	画像診	断で病薬	変が認められ	いず、本検査でも	きた場合。							
			集積が認められ	なかっこ	た場合。			FP:本検査前の画像認	诊断が陰(生、本	検査が	易性で、	画像追跡調査	で病	
								巣の存在が確認て	できなかっ	った場合	 合。				
								FN:本検査前の画像語	診断が陽	性、本	検査が	陰性の特	揚合。		
								TN:本検査前の画像語	診断、本	検査と	も陰性	の場合。			

(page 2 of 3)

付表2.7.3-2 有効性試験の結果(続き)

試験名 [実施計 画書No.]	対象疾患	投与量	主な有効性評価の結	果											添付資料番号資料区分
海外第Ⅲ	神経内分	111 MBq	症例毎の診断能					部位毎の診断能							5.3.5.3.1
相臨床試	泌腫瘍	又は	疾患名	有効	無効	有効率	4(%)	疾患名	TP	FP	FN	TN	TP+TN0	つ比率(%)	参考
験*		222 MBq	カルチノイド	117	15	117/132	(88.6)	カルチノイド	185	0	47	5	190/237	(80.2)	
[91-132,			ガストリノーマ	25	0	25/25	(100.0)	ガストリノーマ	38	0	2	2	40/42	(95.2)	
91-133,			インスリノーマ	5	7	5/12	(41.7)	インスリノーマ	4	1	8	0	4/13	(30.8)	
91-134,			グルカゴノーマ	6	0	6/6	(100.0)	インスリノーマと下垂体腺腫	1	0	2	0	1/3	(33.3)	
91-136,			VIPオーマ	4	0	4/4	(100.0)	グルカゴノーマ	8	0	3	0	8/11	(72.7)	
91-137,			モチリノーマ	1	0	1/1	(100.0)	VIPオーマ	6	0	1	0	6/7	(85.7)	
91-148,			その他	110	25	110/135	(81.5)	モチリノーマ	3	0	0	1	4/4	(100.0)	
91-149,			合計	267	42	267/309	(86.4)	その他	118	2	41	30	148/191	(77.5)	
91-150,			その他:下垂体腺腫	1、甲状腺管	随様癌、褐色	細胞腫等		合計	363	3	104	38	401/508	(78.9)	
91-151]			有効:本検査及び彷	**来の局在	診断法で少な	:くとも1つ	の共通部位	その他:下垂体腺腫、	甲状腺體	植様癌	、褐色	細胞腫	等		
			に腫瘍が検出	された場合	合、又は両者	でいかなる	部位にも腫	TP:従来の局在診断法	と本検3	査の双	方で病	変が検	出された場	場合。又は、	
			瘍が検出され	しなかったり	易合。			本検査で新たに検	出された	た病変	につい	て生検	で確証が得	よられた場	
			無効:従来の局在診	断法で腫瘍	易が検出され	たが、本検	査ではこれ	合。							
			が検出されな	かった場合	 。			FP:本検査で新たに検	出された	と病変	が生検	で否定	された場合	1 o	
								FN:従来の局在診断法	で病変だ	が検出	された	が、本	検査では	食出されな	
								かった場合。							
								TN:従来の局在診断法	と本検	査の双	方でN	ETの証	拠がなかっ	った場合。	

^{*}同一プロトコールで実施された9つの単施設試験の統合結果

(page 3 of 3)

(最終ページ)

オクトレオスキャン静注用セット

CTD第2部

- 2.7 臨床概要
- 2.7.4 臨床的安全性

富士フイルムRIファーマ株式会社

(空白ページ)

2.7.4 目次

略号一覧	5
専門用語一覧	5
化合物一覧	6
2.7.4 臨床的安全性	7
2.7.4.1 医薬品への曝露	7
2.7.4.1.1 総括的安全性評価計画及び安全性試験の記述	7
2.7.4.1.1.1 安全性評価の対象試験	7
2.7.4.1.1.2 安全性の評価方法	8
2.7.4.1.2 全般的な曝露状況	12
2.7.4.1.3 治験対象集団の人口統計学的特性及びその他の特性	14
2.7.4.2 有害事象	17
2.7.4.2.1 有害事象の解析	17
2.7.4.2.1.1 比較的よく見られる有害事象	17
2.7.4.2.1.2 死亡	21
2.7.4.2.1.3 その他の重篤な有害事象	21
2.7.4.2.1.4 その他の重要な有害事象	21
2.7.4.2.1.5 器官別又は症候群別有害事象の解析	21
2.7.4.2.2 個別有害事象の文章による説明	22
2.7.4.3 臨床検査値の評価	22
2.7.4.3.1 健康成人対象試験(国内第 I 相臨床試験)	22
2.7.4.3.2 国内第Ⅲ相臨床試験(第Ⅲ相臨床試験及び追加第Ⅲ相臨床試験)	22
2.7.4.3.3 海外第Ⅲ相臨床試験	22
2.7.4.4 バイタルサイン、身体的所見及び安全性に関連する他の観察項目	23
2.7.4.4.1 健康成人対象試験(国内第 I 相臨床試験)	23
2.7.4.4.2 国内第Ⅲ相臨床試験(第Ⅲ相臨床試験及び追加第Ⅲ相臨床試験)	23
2.7.4.4.3 海外第Ⅲ相臨床試験	23
2.7.4.5 特別な患者集団及び状況下における安全性	23
2.7.4.5.1 内因性要因	23
2.7.4.5.2 外因性要因	24
2.7.4.5.3 薬物相互作用	24
2.7.4.5.4 妊娠及び授乳時の使用	24
2.7.4.5.5 過量投与	24
2.7.4.5.6 薬物乱用	25
2.7.4.5.7 離脱症状及び反跳現象	25
2.7.4.5.8 自動車運転及び機械操作に対する影響又は精神機能の障害	25

2.7.4.6	市則	販後データ	.25
2.7.4.	6.1	国内の個人輸入使用による安全性情報	.25
2.7.4.	6.2	海外の市販後の安全性報告	.27
2.7.4.7	付銀	録	.31
2.7.4.8	参	考文献	.31

略号一覧

mÆ □	省略していない表現							
略号	英語	日本語						
ACTH	adrenocorticotropic hormone	副腎皮質刺激ホルモン						
BMI	body mass index	体格指数						
FDA	Food and Drug Administration	米国食品医薬品局						
MedDRA/J	Medical Dictionary for Regulatory	ICH国際医薬用語集日本語版						
	Activities/Japanese version							
NEC	neuroendocrine carcinoma	神経内分泌癌						
NET	neuroendocrine tumor	神経内分泌腫瘍						
PT	preferred term	基本語						
SD	standard deviation	標準偏差						
SOC	system organ class	器官別大分類						
VIP	vasoactive intestinal polypeptide	血管作動性腸管ペプチド						

専門用語一覧

専門用語	説明
Bq	放射能の単位(ベクレル)。
	1秒間に1個の原子核が崩壊して放射線を放つ放射能が1ベクレル。

化合物一覧

16合物-	- 見	
化合物名	構造式	化学名又は説明
ペンテト		JAN : (-)-N-[2-[[2-[bis
レオチド	H ₂ CH ₂ COOH CH ₂ COOH H ₂ C CH ₂ COOH H ₃ C CH ₂ COOH H ₃ C CH ₂ COOH H ₃ C CH ₂ COOH CH ₂ COOH CH ₃ C CH ₄ C CH ₂ COOH CH ₃ C CH ₄ C CH ₃ C CH	(carboxymethyl)amino]eth yl](carboxymethyl)amino] ethyl]-N-(carboxymethyl)g lycyl-D-phenylalanyl-L-cy steinyl-L-phenylalanyl-D-t ryptophyl-L-lysyl-L-threo nyl-N-[(1R,2R)-2-hydroxy -1-(hydroxymethyl)propyl] -L-cysteinamide, cyclic(3-8)-disulfide
	(略式表記) $ \begin{array}{c} \text{Thr(ol)} \longrightarrow \text{Cys-Thr} \\ \text{S} \qquad \text{Lys} \\ \text{S} \qquad \text{D-Trp} \\ \text{HO}_2\text{C} \qquad \text{N} \qquad \text{D-Phe} \longrightarrow \text{Cys-Phe} \\ \text{HO}_2\text{C} \qquad \text{HO}_2\text{C} \qquad \text{O} \end{array} $	CAS: L-Cysteinamide, N-[2-[[2-[bis(carboxymeth yl)amino]ethyl](carboxym ethyl)amino]ethyl]-N-(car boxymethyl)glycyl-D-phe nylalanyl-L-cysteinyl-L-ph enylalanyl-D-tryptophyl-L -lysyl-L-threonyl-N-[(1R,2 R)-2-hydroxy-1-(hydroxy methyl)propyl]-, cyclic(3-8)-disulfide
インジウ		ペンテトレオチドとイ
ムペンテ	_	ンジウム (¹¹¹ In) が1:1
トレオチ		で配位結合した錯体;
ド (¹¹¹ In) ソマトス タチン	HO-Cys-Ser-Thr-Phe-Thr S Lys S Trp H-Ala-Gly-Cys-Lys-Asn-Phe-Phe	有効成分
オクトレ		L-Cysteinamide,
オチド	Thr(ol)—Cys—Thr S Lys S DTrp H—D-Phe—Cys—Phe	D-phenylalanyl-L-cysteiny l-L-phenylalanyl-D-trypto phyl-L-lysyl-L-threonyl-N -[(1R,2R)-2-hydroxy-1-(hy droxymethyl)propyl]-, cyclic(2-7)-disulfide

2.7.4 臨床的安全性

2.7.4.1 医薬品への曝露

2.7.4.1.1 総括的安全性評価計画及び安全性試験の記述

2.7.4.1.1.1 安全性評価の対象試験

インジウムペンテトレオチド(111In)の安全性は、健康成人に非標識のペンテトレオチドを投与した内分泌試験(国内第 I 相臨床試験)及びインジウムペンテトレオチド(111In)を投与した薬物体内動態試験(国内第 I 相臨床試験)、消化管ホルモン産生腫瘍患者を対象とした2つの国内第Ⅲ相臨床試験(第Ⅲ相臨床試験及び追加第Ⅲ相臨床試験)並びに神経内分泌腫瘍(NET)患者を対象とした欧州での海外第Ⅲ相臨床試験により評価した。これらの臨床試験のうち、国内追加第Ⅲ相臨床試験を評価資料とし、内分泌試験、薬物体内動態試験、国内第Ⅲ相臨床試験及び海外第Ⅲ相臨床試験を参考資料とした。なお、海外第Ⅲ相臨床試験については、全15個の単施設試験のうち、同一プロトコールで実施され、米国での新薬申請の際に米国食品医薬品局(FDA)によりピボタル試験と判断された9試験(91-132、91-133、91-134、91-136、91-137、91-148、91-149、91-150、91-151試験)を統合した結果を評価に用いた。統合しなかった6試験(91-139、91-140、91-142、91-146、91-166、91-170試験)の安全性評価は、参考データとして2.7.6.6項に示した。

また、インジウムペンテトレオチド (¹¹¹In) は海外では既に承認されており、OctreoScan[®] の商品名にて1994年より販売されていることから、臨床試験に加え、個人輸入の使用実態調査で得られた安全性情報及び海外で収集された市販後の安全性情報を評価した。

安全性評価に用いた臨床試験の一覧を表2.7.4-1に示す。

表2.7.4-1 安全性評価に用いた臨床試験

試験名 [実施計画書No.]	実施国 治験期間	目的	ァ゛サ゛ イン	対象 被験者数	被験薬 投与量 投与方法	添付資料番号 資料区分
内分泌試験/第I相	日本	安全性	単盲検	健康成人	へ。ンテトレオチト゛	5.3.3.1.1
臨床試験	1993.4~	内分泌機能への	クロスオーバー	7 名	5,10, 20 μg	参考
[1727-1-4]	1993.7	影響			静脈内単回	
薬物体内動態試験/	日本	安全性	オープ゜ン	健康成人	インジウムペンテトレオチド(¹¹¹ In)	5.3.3.1.2
第I相臨床試験	1993.6~	薬物体内動態		4名	111 MBq	参考
[MP-1727-02]	1993.8	被ばく線量			静脈内単回	
第Ⅲ相臨床試験	日本	有効性	多施設共同	消化管ホルモン	インジウムペンテトレオチド(¹¹¹ In)	5.3.5.2.1
[MP-1727-03]	1994.12~	安全性	オープ゜ン	産生腫瘍	74 MBq又は111 MBq	参考
	1995.3	有用性		23名	静脈内単回	
追加第Ⅲ相臨床試験	日本	有効性	多施設共同	消化管ホルモン	インシ゛ウムヘ゜ンテトレオチト゛(¹¹¹ In)	5.3.5.2.2
[MP-1727-04]	2000.11~	安全性	オープ゜ン	産生腫瘍	111 MBq	評価
	2002.1	有用性		40名	静脈内単回	
海外第Ⅲ相臨床試験*	欧州	有効性	オープ゜ン	神経内分泌	インシ゛ウムヘ゜ンテトレオチト゛(**** In)	5.3.5.3.1
		安全性	被験者内比較	腫瘍	111 MBq又は222 MBq	参考
				365名	静脈内単回	
[91-132]*	ト゛イツ	19 ~19		39名		5.3.5.2.3
[91-133]*	ヘ゛ルキ゛ー	19 ~19		38名		5.3.5.2.4
[91-134]*	ト゛イツ	19 ~19		80名		5.3.5.2.5
[91-136]*	ト゛	19		72名		5.3.5.2.6
[91-137]*	フランス	19		23名		5.3.5.2.7
[91-148]*	イキ゛リス	19 ~19		30名		5.3.5.2.8
[91-149]*	ト゛	19 ~19		12名		5.3.5.2.9
[91-150]*	イスラエル	19 ~19		30名		5.3.5.2.10
[91-151]*	スウェーテ゛ン	19 ~19		41名		5.3.5.2.11
[91-139]	スイス	19 ~19		20名		5.3.4.2.1
[91-140]	フランス	19 ~19		14名		5.3.5.2.12
[91-142]	イキ゛リス	19 ~19		32名		5.3.5.2.13
[91-146]	ト゛イツ	19 ~19		18名		5.3.5.2.14
[91-166]	オランタ゛	19 ~19	-	20名		5.3.5.2.15
[91-170]	スウェーテ゛ン	19 ~19		30名		5.3.5.2.16

^{*} 海外第Ⅲ相臨床試験は、欧州で実施された全15個の単施設試験のうち、同一プロトコールで実施され、米国での新薬申請の際にFDAによりピボタル試験と判断された9試験の統合結果を安全性評価に用いた。統合しなかった6試験の安全性評価は、参考データとして2.7.6.6項に示した。

2.7.4.1.1.2 安全性の評価方法

(1) 安全性の評価項目、有害事象の定義等

各臨床試験の安全性の評価方法を表2.7.4-2に示す。国内試験の安全性評価は、各試験の総括報告書の記載内容ではなく、マリンクロットジャパン株式会社(当時タイコ ヘルスケア ジャパン株式会社)が過去 年)の承認申請時に受けた照会事項 年 月 日付)を踏まえて 年に実施した症例検討会の結果に基づき、申請者が別途実施した症例検討会で評価方法及び有害事象の取り扱いを変更した上で行った。国内試験の総括報告書から変更した安全性の評価方法及び有害事象の取り扱いを表2.7.4-3に示す。また、安全性の評価方法及び有害事象

の取り扱いを変更した解析結果は「併合解析・再解析報告書」(添付資料5.3.5.3.2)に、各国 内試験の総括報告書に記載された安全性の成績は2.7.6項に示す。なお、海外第Ⅲ相臨床試験に ついては、総括報告書からの変更はない。

表2.7.4-2 安全性の評価方法

	内分泌試験 (第 I 相臨床試験)	薬物体内動態試験 (第 I 相臨床試験)	第Ⅲ相臨床試験	追加第Ⅲ相臨床試験	海外第Ⅲ相臨床試験
安全性の	副作用(自他覚症状)	副作用(自他覚症状)	副作用・随伴症状	有害事象	有害事象
評価項目	臨床検査	臨床検査	臨床検査	臨床検査	臨床検査
	バイタルサイン	バイタルサイン	バイタルサイン	バイタルサイン	バイタルサイン
	心電図				
	内分泌検査				
有害事象	治験薬を投与された被	皮験者に生じたすべてσ)好ましくない又は意図	しない疾病又はその徴	候(臨床検査値の異常
の定義	を含む)をいい、当該	核治験薬との因果関係の)有無は問わない。		
重症度の	軽度	軽度	軽度	軽度	(なし)
区分	中等度	中等度	中等度	中等度	
	重度	重度	高度	高度	
因果関係	自他覚症状	自他覚症状	あり	あり	薬剤に関連した事象
の区分	あり	あり	疑われる	疑われる	疾患に関連した事象
	疑われる	疑われる	否定できない	なし	偶発的な事象
	なし	なし	なし	不明	
	不明	不明	不明		
	臨床検査	臨床検査			
	明らかに関連あり	明らかに関連あり			
	おそらく関連あり	おそらく関連あり			
	関連の可能性あり	関連の可能性あり			
	関連なし	関連なし			
	関連不明	関連不明			
因果関係	自他覚症状のうち、	自他覚症状のうち、	有害事象のうち、治	有害事象のうち、治	Adverse Reactionを有
が否定で	治験薬との因果関係	治験薬との因果関係	験薬との因果関係が	験薬との因果関係が	害事象と読み替え、
きない有	が「あり」、「疑わ	が「あり」、「疑わ	「あり」、「疑われる」、	「あり」、「疑われる」	有害事象のうち、「薬
害事象	れる」及び「不明」	れる」及び「不明」	「否定できない」及び	及び「不明」と判定	剤に関連した事象」
(副作用)	と判定されたもの、	と判定されたもの、	「不明」と判定された	されたもの	と判定されたもの
の定義	並びに、臨床検査値	並びに、臨床検査値	もの		
	の異常変動のうち、	の異常変動のうち、			
	治験薬との因果関係	治験薬との因果関係			
	が「明らかに関係あ	が「明らかに関係あ			
	り」、「おそらく関	り」、「おそらく関			
	係あり」、「関係の	係あり」、「関係の			
	可能性あり」及び「関	可能性あり」及び「関			
	連不明」と判定され	連不明」と判定され			
	たもの	たもの			

表2.7.4-3 国内試験における安全性の評価方法及び有害事象取り扱い変更点一覧

試験名	項目	総括報告書	CTD	備考
内分泌試験	有害事象の取り	臨床検査値の異常変動は含めな	臨床検査値の異常変動を含める	
(第 I 相臨	扱い	<u> </u>		
床試験)	臨床検査値の異	明らかに関連あり	明らかに関連あり	治験当時「関連なし」
	常変動の因果関	おそらく関連あり	おそらく関連あり	が存在せず、「多分
	係の区分	関連の可能性あり	関連の可能性あり	関連なし」が「関連
		多分関連なし	関連なし	なし」として使用さ
		関連不明	関連不明	れていた。したがっ
	因果関係が否定	(定義なし)	表2.7.4-2参照	て、「多分関連なし」
	できない有害事			は「治験薬との関連
	象の定義			性なし」と判断した。
	安全性解析対象	<u>6</u> 名	<u>7</u> 名	治験薬投与例全例採
	症例数			用。
薬物体内動	有害事象の取り	臨床検査値の異常変動 <u>は含めな</u>	臨床検査値の異常変動を含める	
態試験	扱い	<u> </u>		
(第 I 相臨	臨床検査値の異	明らかに関連あり	明らかに関連あり	治験当時「関連なし」
床試験)	常変動の因果関	おそらく関連あり	おそらく関連あり	が存在せず、「多分
	係の区分	関連の可能性あり	関連の可能性あり	関連なし」が「関連
		多分関連なし	関連なし	なし」として使用さ
		関連不明	関連不明	れていた。したがっ
	因果関係が否定	(定義なし)	表2.7.4-2参照	て、「多分関連なし」
	できない有害事			は「治験薬との関連
	象の定義			性なし」と判断した。
	重症度	<u>自他覚症状のみ</u> 判定	全ての有害事象を判定	
第Ⅲ相臨床	有害事象の取り	臨床検査値の異常変動 <u>は含めな</u>	臨床検査値の異常変動を含める	
試験	扱い	<u> </u>		
	因果関係の区分	あり	あり	治験当時「なし」及
		疑われる	疑われる	び「ないらしい」が
		ないらしい	否定できない	「治験薬との因果関
		<u>なし</u>	<u>なし</u>	係が否定できる場
		不明	不明	合」とされていたた
	因果関係が否定	有害事象のうち、治験薬との因	有害事象のうち、治験薬との因	め、「ないらしい」
	できない有害事	果関係が「あり」、「疑われる」	果関係が「あり」、「疑われる」、	は「治験薬との関連
	象の定義	及び「不明」と判定されたもの	「否定できない」及び「不明」と	性なし」と判断した。
			判定されたもの	ただし、症例No. 17
				の「頭痛」を除く。
	重症度	自他覚症状のみ判定	全ての有害事象を判定	
	有害事象の因果	症例No. 17「頭痛」:因果関係	因果関係「 <u>否定できない</u> 」	治験薬との因果関係
	関係判定	「 <u>ないらしい</u> 」		が否定できない有害
				事象と判断。
追加第Ⅲ相	有害事象の定義	臨床検査値の異常変動は含めな	臨床検査値の異常変動を含める	
臨床試験		<u>V)</u>		
	重症度	自他覚症状のみ判定	全ての有害事象を判定	
	安全性解析対象	<u>35</u> 名		治験薬投与例全例採
	症例数			用。

(2) 安全性評価項目の観察期間・測定時期

自他覚症状・有害事象の観察、臨床検査の測定及びバイタルサインの測定は、それぞれ表

2.7.4-4~表2.7.4-6に示す期間又は時期に行った。

表2.7.4-4 自他覚症状・有害事象の観察期間

3-1-EA 선	机上盐	投与				投与後			
試験名	投与前	↓	30分	1時間	2時間	4時間	8時間	24時間	48時間
内分泌試験 (第 I 相)	\circ		0		0	0	\circ	\circ	
薬物体内動態試験 (第 I 相)	\circ		\circ		\circ	\circ	\circ	\circ	
第Ⅲ相臨床試験	\circ		\circ	\circ				\circ	
追加第Ⅲ相臨床試験	\circ		\circ	\circ				\circ	
海外第Ⅲ相臨床試験		\leftarrow							\longrightarrow

表2.7.4-5 臨床検査の測定時期

試験名	投与前	投与			投与	9後		
<u> </u>	仅分削	↓	30分	1時間	2時間	4時間	8時間	24時間
内分泌試験 (第 I 相)	0				O*			0
薬物体内動態試験 (第 I 相)	\circ							\circ
第Ⅲ相臨床試験	\bigcirc							\circ
追加第Ⅲ相臨床試験	\bigcirc							\circ
海外第Ⅲ相臨床試験	\circ							0

^{*}血液検査のみ実施

表2.7.4-6 バイタルサインの測定時期

試験名	投与前	投与			投与	予後		
武歌泊 	仅分削	\downarrow	30分	1時間	2時間	4時間	8時間	24時間
内分泌試験 (第 I 相)	0		0	0	0	0		0
薬物体内動態試験 (第 I 相)	\circ		\circ	\circ	\circ	\circ		\circ
第Ⅲ相臨床試験	\bigcirc		\bigcirc	\bigcirc				\circ
追加第Ⅲ相臨床試験	\circ		\circ	\circ				\circ
海外第Ⅲ相臨床試験	\bigcirc^{*1}	\bigcirc^{*2}	\circ					

^{*1} 投与前15分及び10分に測定 *2 投与後5分に測定

(3) 有害事象の読み替え

有害事象名は、全てMedDRA/J (ver. 17.1) に従い読み替えた。

(4) 安全性解析対象

安全性解析対象は、被験薬が一度でも投与された被験者とした。

(5) 併合解析

国内の第Ⅲ相臨床試験及び追加第Ⅲ相臨床試験は、対象疾患が同様であり、被験者背景及び 曝露量がほぼ同様であることと、安全性の評価項目、観察・測定時期もほぼ同様であることか ら、併合して解析を行った(添付資料5.3.5.3.2)。

2.7.4.1.2 全般的な曝露状況

インジウムペンテトレオチド (111 In) 注射液は、塩化インジウム (111 In) 及びペンテトレオチドを用時混和して調製するセット製剤である (表2.7.4-7)。

表2.7.4-7 インジウムペンテトレオチド(111In)注射液のセット構成

バイアル	1バイアル中						
<i>//1////</i>	成分	含量					
A	塩化インジウム (¹¹¹ In)	122 MBq/1.1 mL(検定日時)					
В	ペンテトレオチド	10 μg					

(1) 内分泌試験(被験薬:ペンテトレオチド)

内分泌試験では、健康成人7名に対し、非標識のペンテトレオチド5 μ g、10 μ g、20 μ g又はプラセボ対照薬(生理食塩液)を部分的クロスオーバーデザインにて各4名(ペンテトレオチド5 μ gのみ5名)に静脈内投与した(表2.7.4-8)。

表2.7.4-8 内分泌試験(第 I 相臨床試験)における曝露状況

被験者No. —		ペンテトレオチド投与量	
恢映在INO.	1stステップ	2ndステップ	3rdステップ
1	5 μg	10 μg	プラセボ
2	5 μg	10 μg	プラセボ
3*	5 μg	_	_
4	5 μg	プラセボ	20 μg
5	プラセボ	10 μg	20 μg
6	プラセボ	10 μg	20 μg
7	5 μg	プラセボ	20 μg

^{*1}stステップ終了(5 µg投与)後に中止

プラセボ:生理食塩液

(2) 薬物体内動態試験 (被験薬:インジウムペンテトレオチド (¹¹¹In))

薬物体内動態試験では、健康成人4名にインジウムペンテトレオチド (111 In) 111 MBqを静脈内に単回投与した。実投与量の平均値は、インジウムペンテトレオチド (111 In) として113 MBq、ペンテトレオチドとして12.3 μ gであった(表2.7.4-9)。

表2.7.4-9 薬物体内動態試験(第 I 相臨床試験)における曝露状況

		全体
	被験者数	n = 4
インジウムペンテトレオチド(¹¹¹ In)	Mean (SD)	113 (7.2)
実投与量 (MBq)	Min, Max	106, 121
ペンテトレオチド	Mean (SD)	12.3 (1.0)
実投与量 (μg)	Min, Max	10.5, 13.0

(3) 国内第Ⅲ相臨床試験(被験薬:インジウムペンテトレオチド(¹¹¹In))

第Ⅲ相臨床試験では、消化管ホルモン産生腫瘍患者23名に、最初の4名にはインジウムペンテトレオチド (111 In) 74 MBq (ペンテトレオチドとして7 μ g) を、以降19名には111 MBq (ペンテトレオチドとして10 μ g) を静脈内に単回投与した。実投与量の平均値は113.5 MBqであった(表2.7.4-10)。

追加第III相臨床試験では、消化管ホルモン産生腫瘍患者40名にインジウムペンテトレオチド (111 In) 111 MBq (ペンテトレオチドとして $10~\mu g$) を静脈内に単回投与した。実投与量の平均 値は113.9~MBqであった(表2.7.4-11)。

第Ⅲ相臨床試験及び追加第Ⅲ相臨床試験を併せた63名では、実投与量として90 MBq未満が5名、90 MBq以上130 MBq未満が48名、130 MBq以上が10名であり、最小及び最大実投与量はそれぞれ68 MBq及び156 MBqであった(表2.7.4-12)。

表2.7.4-10 第Ⅲ相臨床試験における曝露状況

安全性解析対象集団 投与量群 74 MBg 群 111 MBg 群 全体 n=19 被験者数 n=4n=23実投与量 (MBg) Mean (SD) 120.1 (14.2) 82.3 (13.4) 113.5 (20.1) Median 80.9 119.2 116.0 Min, Max 68, 100 91, 156 68, 156

出典:併合解析・再解析報告書 表1 (添付資料5.3.5.3.2)

表2.7.4-11 追加第Ⅲ相臨床試験における曝露状況

				安全性解析対象集団
	_	症例		
	_	A群	B群	全体
	被験者数	n=18	n=22	n=40
実投与量 (MBq)	Mean (SD)	117.0 (14.6)	111.4 (16.4)	113.9 (15.7)
	Median	113.8	109.5	113.3
-	Min, Max	96, 154	81, 145	81, 154

^{*1} A群:内分泌活性があり、既存の画像診断法で腫瘍病巣が確認されている。 B群:内分泌活性はあるが、既存の画像診断法で腫瘍病巣を確認できない。

出典:併合解析・再解析報告書 表2 (添付資料5.3.5.3.2)

表2.7.4-12 第Ⅲ相臨床試験及び追加第Ⅲ相臨床試験における曝露状況

安全性解析対象集団

				人工压剂剂为水水固
	_	臨床		
		第Ⅲ相試験	追加第Ⅲ相試験	全体
	被験者数	n=23	n=40	n=63
実投与量 (MBq)	<90	3 (13.0)	2 (5.0)	5 (7.9)
(カテゴリ)	90-130	16 (69.6)	32 (80.0)	48 (76.2)
	≥130	4 (17.4)	6 (15.0)	10 (15.9)
実投与量 (MBq)	Mean (SD)	113.5 (20.1)	113.9 (15.7)	113.8 (17.2)
	Median	116.0	113.3	114.0
	Min, Max	68, 156	81, 154	68, 156

出典:併合解析·再解析報告書 表3(添付資料5.3.5.3.2)

(4) 海外第Ⅲ相臨床試験 (被験薬:インジウムペンテトレオチド (¹¹¹In))

海外第Ⅲ相臨床試験では、NET患者365名にインジウムペンテトレオチド(111 In)111 MBq 又は222 MBqを静脈内に単回投与した(表2.7.4-13)。プラナー撮像単独の場合には111 MBq、SPECT撮像予定の場合には222 MBqの投与を計画し、111 MBqを投与する場合には1セット(ペンテトレオチドとして 10 μg)を、222 MBqを投与する場合には2セット(ペンテトレオチドとして 20 μg)を使用した。実投与量の平均値は、 12 トセット使用時は111.6 MBq、 2 とセット使用時は201.6 MBqであった。

表2.7.4-13 海外第Ⅲ相臨床試験における曝露状況

安全性解析対象集団 使用セット数 1セット 2セット 全体 被験者数 $n = 364^*$ n = 114n = 250実投与量 (MBq) Mean (SD) 111.6 (19.3) 201.6 (37.5) 173.4 (53.2) Min, Max 40.0, 190.0 92.5, 296.0 40.0, 296.0

2.7.4.1.3 治験対象集団の人口統計学的特性及びその他の特性

内分泌試験及び薬物体内動態試験の被験者の人口統計学的特性を表2.7.4-14に、国内の第Ⅲ 相臨床試験及び追加第Ⅲ相臨床試験を併合した被験者の人口統計学的特性を表2.7.4-15に、海外第Ⅲ相臨床試験の被験者の人口統計学的特性を表2.7.4-16に示す。

内分泌試験及び薬物体内動態試験は健康成人男性を対象とした試験であり、被験者の年齢が 患者を対象とした国内及び海外の第Ⅲ相臨床試験に比べて若かった点を除き、特記すべき事項 は見られなかった。

国内の第Ⅲ相臨床試験及び追加第Ⅲ相臨床試験を併せた被験者数は63名で、男女比は概ね 1:1であり、平均年齢は52.9歳であった。オクトレオチド酢酸塩の処方歴は63名中15名(23.8%) に見られた。性別、年齢及びオクトレオチド酢酸塩の処方歴に関し、第Ⅲ相臨床試験及び追加

^{*} 全投与被験者365名中1名は投与量の記録がなく不明。

第Ⅲ相臨床試験を併合した被験者の人口統計学的特性は、海外第Ⅲ相臨床試験の被験者のそれと類似していた。疾患の内訳は、国内の第Ⅲ相臨床試験及び追加第Ⅲ相臨床試験はインスリノーマ、ガストリノーマ、カルチノイド、グルカゴノーマ及びソマトスタチノーマの5疾患のみであったのに対し、海外第Ⅲ相臨床試験は胃腸膵NET及びカルチノイド以外のNET(下垂体腺腫、甲状腺髄様癌、褐色細胞腫等)が全体の約40%を占めていた。

表2.7.4-14 内分泌試験及び薬物体内動態試験(国内第 I 相臨床試験)の健康被験者の人口統計学的特性

安全性解析対象集団

		臨床試験名					
		内分泌試験					薬物体内動態試験
		プラセボ 群	5 μg群	10 μg群	20 μg群	全体	全体
	被験者数	n = 6	n = 5	n = 4	n = 4	n = 7	n = 4
性別	男	6 (100.0)	5 (100.0)	4 (100.0)	4 (100.0)	7 (100.0)	4 (100.0)
年齢	< 65	6 (100.0)	5 (100.0)	4 (100.0)	4 (100.0)	7 (100.0)	4 (100.0)
	≥ 65	0	0	0	0	0	0
	Mean (SD)	29.2 (4.4)	28.2 (3.1)	29.0 (5.0)	30 3 (5.1)	29.0 (4.1)	20.3 (0.5)
	Median	27.5	28.0	27.5	29.5	28.0	20.0
	Min, Max	25, 36	25, 33	25, 36	26, 36	25, 36	20, 21
身長	Mean (SD)	170.5 (7.4)	168.6 (7.5)	172.0 (8.3)	171.0 (5.5)	170.3 (6.8)	174.3 (4.8)
(cm)	Median	173.0	169.0	174.5	173.0	172.0	173.0
	Min, Max	160, 179	160, 179	160, 179	163, 175	160, 179	170, 181
体重	Mean (SD)	66.7 (6.4)	64.0 (7.6)	68.3 (7.1)	66.0 (5.0)	65.3 (6.9)	63.8 (7.5)
(kg)	Median	66.0	60.0	68.5	66.0	65.0	65.0
	Min, Max	60, 76	57, 76	60, 76	60, 72	57, 76	55, 70
BMI	< 18.5	0	0	0	0	0	2 (50.0)
(kg/m ²)	18.5-25	6 (100.0)	5 (100.0)	4 (100.0)	4 (100.0)	7 (100.0)	2 (50.0)
	≥ 25	0	0	0	0	0	0
	Mean (SD)	22.88 (0.98)	22.46 (1.46)	23.03 (1.23)	22.55 (1.06)	22.47 (1.41)	21.10 (3.30)
	Median	23.00	22.60	23.55	22.60	22.60	21.00
	Min, Max	21.2, 23.8	20.0, 23.7	21.2, 23.8	21.2, 23.8	20.0, 23.8	18.2, 24.2

(%)

出典:併合解析・再解析報告書 表4及び表5 (添付資料5.3.5.3.2)

表2.7.4-15 国内第Ⅲ相臨床試験(第Ⅲ相臨床試験及び追加第Ⅲ相臨床試験)の被験者の人口 統計学的特性

安全性解析対象集団 臨床試験名 第Ⅲ相試験 追加第Ⅲ相試験 全体 被験者数 n=23 n=40 n=63 性別 男 10 (43.5) 23 (57.5) 33 (52.4) 女 13 (56.5) 17 (42.5) 30 (47.6) 年齢 <65 18 (78.3) 33 (82.5) 51 (81.0) ≥65 5 (21.7) 7 (17.5) 12 (19.0) Mean(SD) 51.9 (13.7) 53.5 (11.3) 52.9 (12.2) Median 51.0 54.5 51.0 Min, Max 23, 74 28, 74 23, 74 身長 (cm) Mean(SD) 158.9 (12.0) 160.3 (10.8) 159.8 (11.2) Median 159.0 161.3 160.2 Min, Max 136, 184 136, 184 139, 179 体重 (kg) Mean(SD) 55.2 (13.8) 59.3 (13.6) 57.8 (13.7) Median 53.5 56.1 55.5 Min, Max 37, 85 30, 103 30, 103 BMI (kg/m^2) <18.5 6 (26.1) 4 (10.0) 10 (15.9) 18.5-25 26 (65.0) 39 (61.9) 13 (56.5) ≥25 4 (17.4) 10 (25.0) 14 (22.2) Mean(SD) 21.67 (3.88) 22.91 (3.66) 22.45 (3.76) Median 21.60 22.60 22.10 Min, Max 16.0, 31.3 15.6, 32.0 15.6, 32.0 入院・外来 入院 16 (69.6) 33 (82.5) 49 (77.8) 外来 7 (30.4) 7 (17.5) 14 (22.2) 合併症 無し 14 (60.9) 12 (30.0) 26 (41.3) 有り 9 (39.1) 28 (70.0) 37 (58.7) 併用薬 無し 8 (34.8) 5 (12.5) 13 (20.6) 有り 15 (65.2) 35 (87.5) 50 (79.4) オクトレオチド酢酸塩 無し 16 (69.6) 32 (80.0) 48 (76.2) の処方歴 7 (30.4) 8 (20.0) 15 (23.8) 有り 対象疾患 インスリノーマ 5 (21.7) 12 (30.0) 17 (27.0) ガストリノーマ 7 (30.4) 19 (47.5) 26 (41.3) カルチノイド 11 (47.8) 6 (15.0) 17 (27.0) グルカゴノーマ 0 2 (5.0) 2 (3.2) ソマトスタチノーマ 0 1 (2.5) 1 (1.6)

出典:併合解析・再解析報告書 表8 (添付資料5.3.5.3.2)

表2.7.4-16 海外第Ⅲ相臨床試験の被験者の人口統計学的特性

		安全性解析対象集団
背景因子		全体
		n = 365
性別	男	174 (47.7)
	女	191 (52.3)
年齢	平均値 ± SD	54.0 ± 14.9
	範囲	1.8~86
オクトレオチド酢酸塩の治療歴	なし	254 (69.6)
	あり	102 (27.9)
	不明	9 (2.5)
対象疾患	カルチノイド	132 (36.2)
	ガストリノーマ	26 (7.1)
	インスリノーマ	12 (3.3)
	インスリノーマと下垂体腺腫*1	1 (0.3)
	グルカゴノーマ	6 (1.6)
	VIPオーマ	4 (1.1)
	モチリノーマ	1 (0.3)
	甲状腺髄様癌	19 (5.2)
	甲状腺髄様癌と褐色細胞腫*1	2 (0.5)
	髄膜腫と下垂体腺腫*1	1 (0.3)
	神経芽腫	1 (0.3)
	傍神経節腫	3 (0.8)
	褐色細胞腫	5 (1.4)
	下垂体腺腫	34 (9.3)
	肺小細胞癌	2 (0.5)
	未分類 ^{*2} のNET	47 (12.9)
	未分類のNETと下垂体腺腫*1	2 (0.5)
	未確証*3のNET	27 (7.4)
	非NET	40 (11.0)

(%)

2.7.4.2 有害事象

2.7.4.2.1 有害事象の解析

2.7.4.2.1.1 比較的よく見られる有害事象

(1) 健康成人

① 内分泌試験(被験薬:ペンテトレオチド)

内分泌試験では、健康成人7名のいずれにおいても有害事象は認められなかった。

^{*1 2}種類の腫瘍を併発

^{*2} 未分類:病理学的にNETに属することが確認されたがそれ以上詳細には分類できなかった、又は血清ホルモン濃度に基づきNETと分類されたが病理学的分類は得られなかった。

 $^{^{*3}}$ 未確証:NETの証拠を有していたが、従来の局在診断法で腫瘍は検出されなかった。

② 薬物体内動態試験(被験薬:インジウムペンテトレオチド(¹¹¹In))

薬物体内動態試験では、健康成人4名中2名(50.0%)に有害事象(白血球数減少1名及び血中リン増加1名)が認められた。両事象とも軽度で、治験薬との因果関係は否定された。

(2) 国内消化管ホルモン産生腫瘍患者

第Ⅲ相臨床試験、追加第Ⅲ相臨床試験及び両試験を併合した有害事象の発現数を表2.7.4-17 に、治験薬との因果関係が否定できない有害事象の発現数を表2.7.4-18に示す。また、重症度別の有害事象の発現数を付表2.7.4-1 (軽度)及び付表2.7.4-2 (中等度)に、実投与量別の有害事象の発現数を付表2.7.4-3に、実投与量別の因果関係が否定できない有害事象の発現数を付表2.7.4-4に示す。

第Ⅲ相臨床試験では、23名中11名(47.8%)に17件の有害事象が認められた。発現率5%以上の有害事象は、尿中蛋白陽性13.0%(3/23名)及び尿中ブドウ糖陽性8.7%(2/23名)であった。また、治験薬との因果関係が否定できない有害事象は23名中4名(17.4%)に認められ、内訳は熱感4.3%(1/23名)、アラニンアミノトランスフェラーゼ増加4.3%(1/23名)、アスパラギン酸アミノトランスフェラーゼ増加4.3%(1/23名)、頭痛4.3%(1/23名)及びほてり4.3%(1/23名)であり、いずれも重症度は軽度であった。

追加第Ⅲ相臨床試験では、40名中15名(37.5%)に36件の有害事象が認められた。発現率5%以上の有害事象は、悪心、嘔吐、アラニンアミノトランスフェラーゼ増加、アスパラギン酸アミノトランスフェラーゼ増加、血中ビリルビン増加、血中尿酸減少及び潮紅であり、発現率はいずれも5.0%(2/40名)であった。また、治験薬との因果関係が否定できない有害事象は40名中3名(7.5%)に認められ、内訳は潮紅5.0%(2/40名)及びほてり2.5%(1/40名)であり、いずれも重症度は軽度であった。

第Ⅲ相臨床試験及び追加第Ⅲ相臨床試験を併合した結果では、有害事象は63名中26名(41.3%)に認められ、発現率5%以上の有害事象は尿中蛋白陽性6.3%(4/63名)のみであった。また、治験薬との因果関係が否定できない有害事象は63名中7名(11.1%)に認められたが、発現率5%以上のものはなかった。

第Ⅲ相臨床試験及び追加第Ⅲ相臨床試験を併合した実投与量別の有害事象は、90 MBq未満投与の60.0%(3/5名)、90 MBq以上130 MBq未満投与の37.5%(18/48名)及び130 MBq以上投与の50.0%(5/10名)に認められた。また、治験薬との因果関係が否定できない有害事象は、90 MBq未満投与の0%(0/5名)、90 MBq以上130 MBq未満投与の10.4%(5/48名)及び130 MBq以上投与の20.0%(2/10名)に認められた。実投与量による有害事象の発現傾向は、特に認められなかった。

表2.7.4-17 第Ⅲ相臨床試験及び追加第Ⅲ相臨床試験における有害事象発現数

安全性解析対象集団

		ωr. r.	- L A		安全性解析效	常集団
	665 xxx [1013	臨床		L mA		
器官別大分類(SOC)* ¹	第Ⅲ相詞 n=23	「験	追加第 Ⅲ 相 n=40	試験	全体 n=63	
基本語(PT)	例数 (%)	件数	例数 (%)	件数	例数 (%)	件数
全ての有害事象	11 (47.8)	17	15 (37.5)	36	26 (41 3)	53
心臓障害	0	0	1 (2.5)	1	1 (1.6)	1
不整脈	0	0	1 (2.5)	1	1 (1.6) 1 (1.6)	1
胃腸障害	0	0	5 (12.5)	7	5 (7.9)	7
腹痛	0	0	1 (2.5)	1	1 (1.6)	1
上腹部痛	0	0	1 (2.5)	1	` /	1
消化不良			` '		1 (1.6)	
	0	0	1 (2.5)	1	1 (1.6)	1
悪心	0	0	2 (5.0)	2	2 (3.2)	2
嘔吐	0	0	2 (5.0)	2	2 (3.2)	2
一般・全身障害および投与部位の状態	1 (4.3)	1	2 (5.0)	2	3 (4.8)	3
不快感	0	0	1 (2.5)	1	1 (1.6)	1
熱感	1 (4.3)	1	0	0	1 (1.6)	1
発熱	0	0	1 (2.5)	1	1 (1.6)	1
臨床検査	8 (34.8)	14	6 (15.0)	20	14 (22 2)	34
アラニンアミノトランスフェラーゼ増加	1 (4.3)	1	2 (5.0)	2	3 (4.8)	3
アスパラギン酸アミノトランスフェラーゼ増加	1 (4.3)	1	2 (5.0)	2	3 (4.8)	3
血中ビリルビン増加	0	0	2 (5.0)	2	2 (3.2)	2
血中カルシウム減少	0	0	1 (2.5)	1	1 (1.6)	1
血中クロール減少	0	0	1 (2.5)	1	1 (1.6)	1
血中コレステロール減少	0	0	1 (2.5)	1	1 (1.6)	1
血中コレステロール増加	0	0	1 (2.5)	1	1 (1.6)	1
血中クレアチニン増加	1 (4.3)	1	0	0	1 (1.6)	1
血中ナトリウム減少	0	0	1 (2.5)	1	1 (1.6)	1
血中尿酸減少	0	0	2 (5.0)	2	2 (3.2)	2
血中尿酸増加	1 (4.3)	1	0	0	1 (1.6)	1
好酸球数増加	1 (4.3)	1	1 (2.5)	1	2 (3.2)	2
γ-グルタミルトランスフェラーゼ増加	0	0	1 (2.5)	1	1 (1.6)	1
マークルク (水) インスクエッ	2 (8.7)	2	1 (2.5)	1	3 (4.8)	3
ペマトクリット減少	` /		` ´		, ,	
ヘモグロビン減少	1 (4.3) 1 (4.3)	1 1	0 0	0	1 (1.6) 1 (1.6)	1 1
	` ′				* *	
総蛋白減少	0	0	1 (2.5)	1	1 (1.6)	1
赤血球数減少	1 (4.3)	1	1 (2.5)	1	2 (3.2)	2
白血球数増加	1 (4.3)	1	0	0	1 (1.6)	1
尿中蛋白陽性 血中アルカリホスファターゼ増加	3 (13.0) 0	3	1 (2.5) 1 (2.5)	1 1	4 (6.3) 1 (1.6)	4 1
神経系障害	1 (4.3)	1	2 (5.0)	2	3 (4.8)	3
浮動性めまい 頭痛	0 1 (4.3)	0 1	1 (2.5) 1 (2.5)	1	1 (1.6) 2 (3.2)	1 2
	1 (4.5)		1 (2.3)	1	2 (3.2)	2
血管障害	1 (4.3)	1	4 (10.0)	4	5 (7.9)	5
潮紅	0	0	2 (5.0)	2	2 (3.2)	2
末梢冷感	0	0	1 (2.5)	1	1 (1.6)	1
ほてり	1 (4.3)	1	1 (2.5)	1	2 (3.2)	2

^{*1} 有害事象用語: MedDRA/J ver. 17.1

出典:併合解析·再解析報告書 表14 (添付資料5.3.5.3.2)

4 (6.3)

2(3.2)

2(3.2)

表2.7.4-18 第Ⅲ相臨床試験及び追加第Ⅲ相臨床試験における因果関係が否定できない有害 事象発現数

安全性解析対象集団 臨床試験 第Ⅲ相試験 追加第Ⅲ相試験 全体 器官別大分類 (SOC) *1 n=40 n=63n=23 件数 例数 (%) 基本語 (PT) 例数 (%) 件数 例数 (%) 件数 全ての有害事象 4 (17.4) 3 (7.5) 7 (11.1) 8 一般・全身障害および投与部位の状態 1 (4.3) 0 1 (1.6) 1 熱感 1 (4.3) 1 0 0 1 (1.6) 0 臨床検査 1 (4.3) 2 0 1 (1.6) アラニンアミノトランスフェラーゼ増加 1 (4.3) 0 0 1(1.6)0 0 1 (1.6) アスパラギン酸アミノトランスフェラーゼ増加 1 (4.3) 1 1 1 (4.3) 1 (1.6) 神経系障害 1 (4.3) 0 0 1 (1.6) 頭痛

1 (4.3)

1 (4.3)

3 (7.5)

2 (5.0)

1 (2.5)

因果関係が「なし」以外として判定された有害事象を、因果関係が否定できない有害事象として集計した。

血管障害

潮紅

ほてり

出典:併合解析・再解析報告書 表20 (添付資料5.3.5.3.2)

(3) 海外神経内分泌腫瘍患者

海外第Ⅲ相臨床試験では、365名中10名(2.7%)に16件の有害事象が認められた(表2.7.4-19)。 複数名で認められた有害事象は、悪心(0.8%)、頭痛(0.8%)、冷汗(0.5%)及び潮紅(0.5%) であった。治験薬との因果関係が否定できない有害事象は、365名中1名(0.3%)に発現した 頭痛及び潮紅のみであった。

^{*1} 有害事象用語: MedDRA/J ver. 17.1

	全体	
器官別大分類 (SOC)*1	n = 36	55
基本語 (PT)	例数 (%)	件数
全ての有害事象	10 (2.7)	16
胃腸障害	3 (0.8)	3
悪心	3 (0.8)	3
一般・全身障害及び投与部位の状態	2 (0.5)	2
発熱	1 (0.3)	1
無力症	1 (0.3)	1
臨床検査	1 (0.3)	1
血圧低下	1 (0.3)	1
筋骨格系及び結合組織障害	1 (0.3)	1
関節痛	1 (0.3)	1
神経系障害	4 (1.1)	4
頭痛 ^{*2}	3 (0.8)	3
浮動性めまい	1 (0.3)	1
皮膚及び皮下組織障害	3 (0.8)	3
冷汗	2 (0.5)	2
多汗症	1 (0.3)	1
血管障害	2 (0.5)	2
· 潮紅*2	2 (0.5)	2

表2.7.4-19 海外第Ⅲ相臨床試験における有害事象発現数

2.7.4.2.1.2 死亡

国内及び海外のいずれの臨床試験においても、死亡例は認められなかった。

2.7.4.2.1.3 その他の重篤な有害事象

国内及び海外のいずれの臨床試験においても、重篤な有害事象は認められなかった。

2.7.4.2.1.4 その他の重要な有害事象

国内及び海外のいずれの臨床試験においても、治験の中止に至った有害事象は認められなかった。

2.7.4.2.1.5 器官別又は症候群別有害事象の解析

国内第Ⅲ相臨床試験において、器官別大分類 (SOC) で最も発現率が高かった有害事象は [臨床検査] の34.8% (8/23名14件) であり、この他に高い発現 (発現率10%以上) を示したものはなかった。国内追加第Ⅲ相臨床試験においても、 [臨床検査] の有害事象の発現率が15.0%

^{*1} 有害事象用語: MedDRA/J ver. 17.1

^{*2} 頭痛1件及び潮紅1件は因果関係が否定できない有害事象とみなされた

(6/40名20件) と最も高かったが、この他に[胃腸障害]が12.5%(5/40名7件)、[血管障害]が10.0%(4/40名4件)と高い発現を示した。第Ⅲ相臨床試験及び追加第Ⅲ相臨床試験を併合した結果では、[臨床検査]の有害事象の発現率が22.2%(14/63名34件)と最も高く、この他に高い発現を示したものはなかった。

海外第Ⅲ相臨床試験においては、器官別大分類間で有害事象の発現率に特に差は認められなかった。

2.7.4.2.2 個別有害事象の文章による説明

国内及び海外のいずれの試験においても、死亡例、重篤な有害事象及びその他の重要な有害 事象は認められなかった。

2.7.4.3 臨床検査値の評価

内分泌試験、薬物体内動態試験、第Ⅲ相臨床試験及び追加第Ⅲ相臨床試験における臨床検査値の記述統計量及び尿検査のシフトテーブル、内分泌試験における内分泌検査値の記述統計量、並びに第Ⅲ相臨床試験及び追加第Ⅲ相臨床試験を併合した臨床検査値の散布図は、「併合解析・再解析報告書」(添付資料5.3.5.3.2)に示した。海外第Ⅲ相臨床試験における臨床検査値の評価結果は、2.7.6.6項に示した。

2.7.4.3.1 健康成人対象試験(国内第 I 相臨床試験)

(1) 内分泌試験(被験薬:ペンテトレオチド)

臨床検査及び内分泌検査項目において、ペンテトレオチドの投与前後あるいはプラセボ投与 群との比較で、事後検査が全体的に高値あるいは低値にシフトする傾向や用量依存性等、臨床 上問題と思われる変動は認められなかった。

(2) 薬物体内動態試験(被験薬:インジウムペンテトレオチド(¹¹¹In))

薬物体内動態試験において、治験薬の投与前後で臨床的に問題と思われる臨床検査値の変動は認められなかった。

2.7.4.3.2 国内第Ⅲ相臨床試験(第Ⅲ相臨床試験及び追加第Ⅲ相臨床試験)

第Ⅲ相臨床試験及び追加第Ⅲ相臨床試験の各試験並びに両試験を併合した結果において、治験薬の投与前後で臨床的に問題と思われる臨床検査値の変動は認められなかった。

2.7.4.3.3 海外第Ⅲ相臨床試験

海外第Ⅲ相臨床試験において、治験薬の投与前後で臨床的に問題と思われる臨床検査値の変動は認められなかった。

2.7.4.4 バイタルサイン、身体的所見及び安全性に関連する他の観察項目

内分泌試験、薬物体内動態試験、第Ⅲ相臨床試験及び追加第Ⅲ相臨床試験におけるバイタルサインの記述統計量は、「併合解析・再解析報告書」(添付資料5.3.5.3.2)に示した。海外第Ⅲ相臨床試験におけるバイタルサインの評価結果は、2.7.6.6項に示した。

2.7.4.4.1 健康成人対象試験(国内第 I 相臨床試験)

(1) 内分泌試験(被験薬:ペンテトレオチド)

内分泌試験において、ペンテトレオチドの投与前後あるいはプラセボ投与群との比較で、事 後検査が全体的に高値あるいは低値にシフトする傾向や用量依存性等、臨床的に問題と思われ る変化は認められなかった。心電図も、いずれの時点においても異常は認められなかった。

(2) 薬物体内動態試験(被験薬:インジウムペンテトレオチド(¹¹¹In))

薬物体内動態試験において、治験薬の投与前後で臨床的に問題と思われるバイタルサインの変化は認められなかった。

2.7.4.4.2 国内第Ⅲ相臨床試験(第Ⅲ相臨床試験及び追加第Ⅲ相臨床試験)

第Ⅲ相臨床試験及び追加第Ⅲ相臨床試験の各試験並びに両試験を併合した結果において、治験薬の投与前後で臨床的に問題と思われるバイタルサインの変化は認められなかった。

2.7.4.4.3 海外第皿相臨床試験

海外第Ⅲ相臨床試験において、治験薬の投与前後で臨床的に問題と思われるバイタルサインの変化は認められなかった。

2.7.4.5 特別な患者集団及び状況下における安全性

2.7.4.5.1 内因性要因

インジウムペンテトレオチド (¹¹¹In) は、内分泌ホルモンの分泌抑制作用を示すソマトスタチンアナログの放射性インジウム (¹¹¹In) 標識体であることから、インスリンの投与を受けている糖尿病患者やインスリノーマ患者では一過性のグルカゴン分泌抑制に起因する奇異性低血糖を誘発する可能性がある。しかしながら、国内外の第Ⅲ相臨床試験では、有害事象として低血糖は認められなかった。また、内分泌機能への影響を検討した内分泌試験及び海外91-139臨床薬理試験の結果 (2.7.2項参照) から、本剤の最大申請用量222 MBq (ペンテトレオチドとして20 μg) までの単回投与は臨床的に問題となるホルモン分泌抑制作用を引き起こす可能性は極めて低いと考える。

国内の臨床試験結果について、被験者数及び有害事象の発現件数が少ないため、年齢及び性別による発現傾向の違いは検討していない。また、薬物体内動態試験の結果から、インジウムペンテトレオチド(¹¹¹In)の主要排泄経路は腎排泄であることが確認されているが、腎障害を有する患者における安全性は検討していない。

2.7.4.5.2 外因性要因

国内の第Ⅲ相臨床試験及び追加第Ⅲ相臨床試験並びに海外第Ⅲ相臨床試験において認められた有害事象の発現傾向に大きな違いは認められず、人種差による安全性への懸念は無いと考えられる。

2.7.4.5.3 薬物相互作用

ソマトスタチンアナログであるオクトレオチド酢酸塩及びランレオチド酢酸塩は、ソマトスタチン受容体での競合により、インジウムペンテトレオチド(¹¹¹In)のソマトスタチン受容体への結合を阻害する可能性がある。しかしながら、国内外の第Ⅲ相臨床試験ではオクトレオチド酢酸塩はインジウムペンテトレオチド(¹¹¹In)投与3日前より休薬することとしていたため、ソマトスタチンアナログの併用が安全性に与える影響については十分に検討できなかった。

また、オクトレオチド酢酸塩及びランレオチド酢酸塩は、シクロスポリン、インスリン製剤、ブロモクリプチン等との薬物相互作用が知られており、同様の薬物相互作用はインジウムペンテトレオチド(¹¹¹In)でも起こり得るが、これらの薬剤との相互作用については検討していない。

2.7.4.5.4 妊娠及び授乳時の使用

国内の第 I 相臨床試験2試験では男性を対象とし、第Ⅲ相臨床試験及び追加第Ⅲ相臨床試験では妊婦又は妊娠している可能性のある女性及び授乳中の女性は対象から除外したため、このような被験者における安全性は評価していない。しかしながら、乳汁中にインジウムペンテトレオチド(¹¹¹In)がわずかに分泌されるという報告もある¹⁾。妊婦、産婦、授乳婦等にインジウムペンテトレオチド(¹¹¹In)を投与する場合は、市販されている他の放射性医薬品と同様に被曝防止の観点から、インジウムペンテトレオチド(¹¹¹In)での診断上の有益性が被曝による不利益を上回ると判断される場合にのみ使用すべきと考える。

2.7.4.5.5 過量投与

インジウムペンテトレオチド (111 In) の最大申請用量は、222 MBq (ペンテトレオチドとして20 μ g) である。インジウムペンテトレオチド (111 In) は1セットに、検定日時において122 MBq/1.1 mLの塩化インジウム (111 In) を含んでおり、222 MBqを投与する場合には2セットを必要とする。

国内の臨床試験では実投与量で最高156.1 MBqが、海外第Ⅲ相臨床試験では最高296.0 MBqが投与されているが、いずれにおいても、臨床上問題となる有害事象は確認されておらず、安全性上問題は認められていない。また、内分泌試験の結果から、ペンテトレオチドを20 μgまで投与しても、内分泌機能に影響を及ぼさず、安全性に問題ないことが確認されている。さらに、インジウムペンテトレオチド(¹¹¹In) は放射性薬剤であることから、医療機関においては放射線管理区域内で厳格に保管管理され、且つ、医療機関にて医療従事者により投与されるた

め、過量投与される危険性は低い。

一方で、海外の一部の施設では、ペンテトレオチドを高放射能(約6~143 GBq)の塩化インジウム(111 In)で標識し、放射線による抗腫瘍効果を得ることを目的とした放射線内照射療法(放射性核種標識ペプチド治療)が行われている。しかしながら、本邦では高放射能の塩化インジウム(111 In)を使用した治療はできないため、放射線内照射療法を目的とした過量投与が行われる恐れはない。

2.7.4.5.6 薬物乱用

インジウムペンテトレオチド (¹¹¹In) は画像診断薬であり、単回投与されるため、依存性が生じる可能性はない。また、インジウムペンテトレオチド (¹¹¹In) は放射性薬剤であることから、医療機関においては放射線管理区域内で厳格に保管管理され、且つ、医療機関にて医療従事者により投与されるため、乱用の危険性はない。

2.7.4.5.7 離脱症状及び反跳現象

離脱症状及び反跳現象については検討していない。

2.7.4.5.8 自動車運転及び機械操作に対する影響又は精神機能の障害

自動車運転及び機械操作に対する影響又は精神機能の障害については検討していない。

2.7.4.6 市販後データ

2.7.4.6.1 国内の個人輸入使用による安全性情報

(2) 個人輸入使用実態調査結果

個人輸入によるOctreoScan®の使用実態を調査する目的で、調査票に基づく使用実態調査を実施し、副作用の発現の有無を調査した。調査対象は、2011年1月から2014年7月までに本邦へ出荷された。セットのうち、2セット以上の輸入実績があった3施設

、

38セット %) 33名分の調査票を回収した。調査対象の患者背景及び投与量をそれぞれ表2.7.4-20及び表2.7.4-21に示す。患者の疾患名は国内外の第Ⅲ相臨床試験の対象疾患と同様であり、投与量も国内外の第Ⅲ相臨床試験での投与量の範囲内であった。副作用として、非機能

性膵NET患者の1名(3.0%)で、グレード1の悪心及び嘔吐が報告された。担当医師は、患者の全身状態が極めて不良であり、肝不全やその他の要因も否定できない、とコメントした。

表2.7.4-20 個人輸入使用実態調査:患者背景

項目			患	者数
·			n:	= 33
性別	男性		11	(33.3)
	女性		22	(66.7)
年齢	20~29歳		1	(3.0)
	30~39歳		2	(6.1)
	40~49歳		7	(21.2)
	50~59歳		4	(12.1)
	60~69歳		11	(33.3)
	70~79歳		8	(24.2)
疾患名	膵NET	機能性	4	(12.1)
		非機能性	9	(27.3)
	消化管NET	前腸	4	(12.1)
		中腸	2	(6.1)
		後腸	1	(3.0)
	肺NET	小細胞癌	2	(6.1)
	-	大細胞神経内分泌癌	1	(3.0)
	その他	異所性ACTH産生腫瘍/ACTH依存性クッシング症候群	4	(12.1)
		胸腺カルチノイド	2	(6.1)
		腎カルチノイド	1	(3.0)
		原発不明NET肝転移	1	(3.0)
		異形性髄膜腫肺転移	1	(3.0)
		脳腫瘍 (原発不明小細胞癌)	1	(3.0)
グレード	G1		5	(15.2)
(病理分類)	G2		17	(51.5)
	G3/NEC		4	(12.1)
	不明		7	(21.2)
検査目的	局在診断		7	(21.2)
	転移検索		8	(24.2)
		マトスタチン受容体の発現確認	1	(3.0)
		ン受容体の発現確認	15	(45.5)
	原発巣検索		2	(6.1)

(%)

表2.7.4-21 個人輸入使用実態調査結果:投与量

項目	統計量		使用セット数	合計	
	机計	0.5*	1	2	口目
患者数		2 (6.1%)	26 (78.8%)	5 (15.2%)	33 (100%)
実投与量 (MBq)	平均值 [SD]	89 [7.1]	196.6 [38.4]	244 [-]	197.2 [47.2]
	範囲	84~94	122~262	244~244	84~262

^{*2}名2セット(1名1セットずつ)用意したが、トラブルがあり、2名に1セットを2分割して投与した。

2.7.4.6.2 海外の市販後の安全性報告

......添付資料5.3.6.1、5.3.6.2

OctreoScan®は、1994年2月にチェコで最初の承認を取得し、2015年3月現在、米、英、仏、独を含む世界30箇国以上で承認を取得している。2014年11月時点までに、全世界で約1万セット販売されており、1セットを患者1名に使用すると仮定した場合、投与患者数は約1万名であると推定される。

国際誕生日(1994年2月16日)から2014年11月30日までにMallinckrodt Pharmaceuticalsに報告された市販後の副作用(放射線内照射療法を目的とした高放射能投与症例を含む)106例336件を、MedDRA/J(ver. 17.1)に従って読み替えて、器官別大分類(SOC)ごとに集計した結果を表2.7.4-22に示した。

これまでに106例中46例(162件)が重篤症例として報告された。重篤症例46例のうち、38 例は高放射能量の放射性インジウム(¹¹¹In)で標識し放射線内照射療法を目的に投与された症例の文献報告であり、主な副作用は器官別大分類で[血液およびリンパ系障害]、[一般・全身障害及び投与部位の状態]、[臨床検査]及び[外科および内科処置]であった。残りの8 例は規制当局からの報告、及び自発報告にて収集された。情報を十分に収集できなかった1例を除いた7例の詳細を表2.7.4-23に示した。OctreoScan®との因果関係が疑われる症例で認められた事象は、感覚運動障害、低潅流、頻脈、錯感覚、上腹部痛、紅斑、多汗症及び悪心であった。

表2.7.4-22 海外の市販後の副作用(収集期間:1994年2月16日~2014年11月30日)

器官別大分類 (SOC)*1	重魚	等度	合計	
基本語 (PT)	非重篤	重篤	件数	
全ての副作用	174	162	336	
血液およびリンパ系障害	9	35	44	
播種性血管内凝固	0	1	1	
血液毒性	1	7	8	
リンパ節痛	1	0	1	
リンパ球減少症	7	4	11	
血小板障害	0	10	10	
血小板毒性	0	5	5	
血小板減少症	0	2	2	
白血球障害	0	6	6	
心臓障害	2	1	3	
動悸	1	0	1	
頻脈	1	1	2	
眼障害	2	0	2	
眼そう痒症	1	0	1	
眼瞼浮腫	1	0	1	

^{*&}lt;sup>1</sup> 有害事象用語: MedDRA/J ver 17.1

(page 1 of 4)

表2.7.4-22 海外の市販後の副作用(収集期間:1994年2月16日~2014年11月30日) (続き)

器官別大分類 (SOC)*1	重鴛		合計	
基本語 (PT)	非重篤	重篤	件数	
胃腸障害	30	10	40	
腹部不快感	1	0	1	
腹痛	6	1	7	
上腹部痛	2	1	3	
下痢	2	0	2	
嚥下障害	1	0	1	
放屁	1	0	1	
胃腸出血	0	1	1	
歯肉出血	0	1	1	
イレウス	0	1	1	
悪心	13	5	18	
舌障害	1	0	1	
嘔吐	3	0	3	
一般・全身障害および投与部位の状態	21	33	54	
無力症	5	0	5	
胸部不快感	1	0	1	
悪寒	1	0	1	
状態悪化	0	2	2	
死亡	0	20	20	
疾患進行	0	7	7	
疲労	1	0	1	
異常感	2	0	2	
熱感	1	0	1	
全身性浮腫	0	1	1	
高熱	0	1	1	
注射部位紅斑	1	0	1	
注射部位漏出	1	0	1	
注射部位疼痛	3	0	3	
注射部位反応	1	0	1	
粘膜の炎症	0	2	2	
発熱	4	0	4	
免疫系障害	1	0	1	
過敏症	1	0	1	
感染症および寄生虫症	0	1	1	
感染	0	1	1	
傷害、中毒及び処置合併症	18	2	20	
挫傷	0	1	1	
規定量以上の投与	11	0	11	
処方に基づく過量投与	7	1	8	

*1 有害事象用語: MedDRA/J ver 17.1

(page 2 of 4)

表2.7.4-22 海外の市販後の副作用(収集期間:1994年2月16日~2014年11月30日) (続き)

器官別大分類 (SOC)*1	重篤	度	合計 件数	
基本語 (PT)	非重篤	重篤		
臨床検査	7	28	35	
血中ビリルビン異常	0	7	7	
血中クレアチニン異常	1	4	5	
血中クレアチニン増加	0	1	1	
血圧上昇	1	1	2	
ヘモグロビン異常	4	15	19	
心拍数增加	1	0	1	
代謝および栄養障害	3	0	3	
食欲減退	1	0	1	
低血糖症	2	0	2	
筋骨格系および結合組織障害	3	0	3	
背部痛	2	0	2	
筋骨格痛	1	0	1	
良性、悪性および詳細不明の新生物(嚢胞およびポリープを含む)	0	9	9	
急性骨髄性白血病	0	2	2	
遠隔転移を伴う新生物	0	1	1	
転移部痛	0	1	1	
骨髓異形成症候群	0	2	2	
新生物進行	0	3	3	
神経系障害	14	5	19	
灼熱感	1	0	1	
浮動性めまい	3	0	3	
味覚異常	1	0	1	
頭部不快感	1	0	1	
頭痛	6	0	6	
意識消失	1	0	1	
神経毒性	1	2	3	
錯感覚	0	1	1	
感覚運動障害	0	1	1	
強直性間代性運動	0	1	1	
情神障害	1	0	1	
失見当識	1	0	1	
呼吸器、胸郭および縦隔障害	1	1	2	
呼吸困難	1	0	1	
呼吸不全	0	1	1	

*¹ 有害事象用語:MedDRA/J ver 17.1

(page 3 of 4)

表2.7.4-22 海外の市販後の副作用(収集期間:1994年2月16日~2014年11月30日) (続き)

器官別大分類 (SOC)*1	重篤度		
基本語 (PT)	非重篤	重篤	件数
皮膚および皮下組織障害	23	2	25
薬疹	1	0	1
紅斑	1	1	2
多汗症	5	1	6
そう痒症	3	0	3
全身性そう痒症	1	0	1
発疹	3	0	3
全身性皮疹	1	0	1
斑状丘疹状皮疹	1	0	1
小水疱性皮疹	1	0	1
皮膚病変	1	0	1
顔面腫脹	1	0	1
蕁麻疹	4	0	4
外科および内科処置	32	32	64
企図的製品誤用	14	31	45
適応外使用	18	1	19
血管障害	7	3	10
塞栓症	0	1	1
潮紅	4	1	5
高血圧	1	0	1
低潅流	0	1	1
蒼白	1	0	1
血栓症	1	0	1

*1 有害事象用語: MedDRA/J ver 17.1

表2.7.4-23 海外の市販後の重篤な副作用症例(収集期間:1994年2月16日~2014年11月30日、高放射能インジウム(¹¹¹In)投与症例を除く)

発現国	報告の 種類	性別 (年齢)	投与量 (MBq)	併用 被疑薬	副作用名*	転帰	因果関係
カナダ	自発報告	男性 (69)	不明	無	遠隔転移を伴う新生物	死亡	おそらく関連なし
フランス	自発報告	女性 (53)	168	無	感覚運動障害	不明	関連が疑われる
スペイン	当局報告	女性 (63)	不明	有	低潅流 頻脈 錯感覚 上腹部痛	回復	関連が疑われる
アメリカ	自発報告	男性 (63)	237	有	血中クレアチニン増加	軽快	おそらく関連なし
カナダ	当局報告	女性 (36)	222	無	紅斑 多汗症 悪心	不明	関連が疑われる
フランス	当局報告	女性 (48)	不明	無	高熱 強直性間代性運動	回復	おそらく関連なし
アメリカ	自発報告	女性 (不明)	222	不明	挫傷 歯肉出血	未回復	不明

^{*} 副作用名: MedDRA/J ver 17.1

2.7.4.7 付録

- 付表2.7.4-1 第Ⅲ相臨床試験及び追加第Ⅲ相臨床試験を併合した重症度別の有害事象発現数 ✓軽度
- 付表2.7.4-2 第Ⅲ相臨床試験及び追加第Ⅲ相臨床試験を併合した重症度別の有害事象発現数 /中等度
- 付表2.7.4-3 第Ⅲ相臨床試験及び追加第Ⅲ相臨床試験を併合した実投与量別の有害事象発現 数
- 付表2.7.4-4 第Ⅲ相臨床試験及び追加第Ⅲ相臨床試験を併合した実投与量別の因果関係が否 定できない有害事象発現数

2.7.4.8 参考文献

1. Castronovo FP, Jr., Stone H, Ulanski J. Radioactivity in breast milk following ¹¹¹In-octreotide. Nucl Med Commun. 2000;21(7):695-9.

付表2.7.4-1 第Ⅲ相臨床試験及び追加第Ⅲ相臨床試験を併合した重症度別の有害事象発現数 /軽度

安全性解析対象集団 臨床試験 第Ⅲ相試験 追加第Ⅲ相試験 全体 器官別大分類 (SOC) *1 n=23 n=40 n=63 例数(%) 基本語 (PT) 例数 (%) 件数 件数 例数 (%) 件数 全ての有害事象 11 (47.8) 17 13 (32.5) 24 (38.1) 26 43 心臟障害 0 0 1 (2.5) 1 (1.6) 不整脈 0 0 1 (2.5) 1 1 (1.6) 0 0 2 (5.0) 2(3.2)胃腸障害 3 3 上腹部痛 0 0 1 (2.5) 1 1 (1.6) 消化不良 0 0 1 (2.5) 1 1 (1.6) 悪心 0 0 1 (2.5) 1 1 (1.6) 1 一般・全身障害および投与部位の状態 1 (4.3) 1(2.5)2 (3.2) 2 不快感 1 (2.5) 0 0 1 1 (1.6) 熱感 0 1 (4.3) 1 0 1 (1.6) 1 臨床検査 8 (34.8) 14 6 (15.0) 16 14 (22.2) 30 アラニンアミノトランスフェラーゼ増加 1 (4.3) 1 (2.5) 1 2 (3.2) 2 1 1 (4.3) 1 (2.5) 2(3.2)2 アスパラギン酸アミノトランスフェラーゼ増加 1 1 0 0 2 (5.0) 2 2(3.2)2 血中ビリルビン増加 血中カルシウム減少 0 0 1 (2.5) 1 (1.6) 1 1 血中クロール減少 0 0 1 (2.5) 1 1 (1.6) 1 0 0 1 (2.5) 血中コレステロール減少 1 1 (1.6) 1 血中コレステロール増加 0 0 1 (2.5) 1 1 (1.6) 1 血中クレアチニン増加 1 (4.3) 0 0 1 (1.6) 1 血中ナトリウム減少 0 0 1 (2.5) 1 1 (1.6) 1 血中尿酸減少 0 0 2 (5.0) 2 2(3.2)2 血中尿酸增加 1 (4.3) 1 1 (1.6) 1 好酸球数增加 1 (2.5) 1 1 2(3.2)2 1(4.3)γ-グルタミルトランスフェラーゼ増加 0 0 1 (2.5) 1 1 (1.6) 1 尿中ブドウ糖陽性 2 (8.7) 2 0 2(3.2)2 0 1 0 0 ヘマトクリット減少 1 (4.3) 1 (1.6) 1 ヘモグロビン減少 1 (4.3) 1 0 0 1 (1.6) 1 総蛋白減少 0 1 (2.5) 1 (1.6) 0 1 1 1 (4.3) 1 (2.5) 2(3.2)2 赤血球数減少 1 1 0 0 白血球数增加 1 (4.3) 1 1 (1.6) 1 尿中蛋白陽性 3 (13.0) 0 0 3 (4.8) 3 3 血中アルカリホスファターゼ増加 0 0 1 (2.5) 1 1 (1.6) 1 1 (2.5) 2(3.2)2 神経系障害 1(4.3)浮動性めまい 0 0 1 (2.5) 1 (1.6) 頭痛 1 0 0 1 (1.6) 1(4.3)血管障害 4 (10.0) 5 (7.9) 5 1(4.3)潮紅 0 2 2 (3.2) 2 0 2 (5.0) 末梢冷感 0 0 1 (2.5) 1 1 (1.6) 1 ほてり 1 (4.3) 1 1 (2.5) 2(3.2)1 2

出典:併合解析・再解析報告書 表16 (添付資料53532)

^{*1} 有害事象用語: MedDRA/J ver 171

付表2.7.4-2 第Ⅲ相臨床試験及び追加第Ⅲ相臨床試験を併合した重症度別の有害事象発現数 /中等度

安全性解析対象集団 臨床試験 第Ⅲ相試験 追加第Ⅲ相試験 全体 器官別大分類(SOC)*1 n=23 n=40 n=63 例数 (%) 件数 例数 (%) 件数 例数 (%) 件数 基本語 (PT) 全ての有害事象 10 0 0 6 (15.0) 10 6 (9.5) 胃腸障害 0 0 3 (7.5) 4 3 (4.8) 4 腹痛 0 0 1 (2.5) 1 1 (1.6) 1 0 0 悪心 1(2.5)1 1(1.6)1 0 0 2 2 嘔吐 2 (5.0) 2(3.2)0 0 1 (2.5) 1 1 (1.6) 一般・全身障害および投与部位の状態 発熱 0 0 1 (2.5) 1 (1.6) 0 0 3 (7.5) 3 (4.8) 臨床検査 0 1 アラニンアミノトランスフェラーゼ増加 0 1 (2.5) 1 (1.6) アスパラギン酸アミノトランスフェラーゼ増加 0 0 1 (2.5) 1 1 (1.6) 1 尿中ブドウ糖陽性 0 0 1 (2.5) 1 1 (1.6) 1 尿中蛋白陽性 0 0 1 (2.5) 1 1 1 (1.6) 神経系障害 0 0 1 (2.5) 1 (1.6) 頭痛 0 0 1 (2.5) 1 1 (1.6) 1

出典:併合解析·再解析報告書表17(添付資料53532)

^{*1} 有害事象用語: MedDRA/J ver 171

付表2.7.4-3 第Ⅲ相臨床試験及び追加第Ⅲ相臨床試験を併合した実投与量別の有害事象発現 数

			実投与量(MBa)			安全性解析対	了豕果
	<90		90-130		≥130		今休	
器官別大分類(SOC) ^{*1}	n=5		n=48		n=10		全体 n=63	
器目が入力類(SOC) 基本語(PT)	例数 (%)	件数	例数 (%)	件数	例数 (%)	件数	例数 (%)	件数
全ての有害事象	3 (60 0)	4	18 (37 5)	41	5 (50 0)	8	26 (41 3)	53
心臓障害	0	0	1 (2 1)	1	0	0	1 (1 6)	1
不整脈	0	0	1 (2 1)	1	0	0	1 (1 6)	1
	0	0	5 (10 4)	7	0	0	5 (7 9)	7
腹痛	0	0	1 (2 1)	1	0	0	1 (1 6)	1
上腹部痛	0	0	1 (2 1)	1	0	0	1 (1 6)	1
消化不良	0	0	1 (2 1)	1	0	0	1 (1 6)	1
悪心	0	0	2 (4 2)	2	0	0	2 (3 2)	2
嘔吐	0	0	2 (4 2)	2	0	0	2 (3 2)	2
一般・全身障害および投与部位の状態	0	0	2 (4 2)	2	1 (10 0)	1	3 (4 8)	3
不快感	0	0	1 (2 1)	1	0	0	1 (1 6)	1
熱感	0	0	0	0	1 (10 0)	1	1 (1 6)	1
発熱	0	0	1 (2 1)	1	0	0	1 (1 6)	1
a床検査	3 (60 0)	4	7 (14 6)	23	4 (40 0)	7	14 (22 2)	3.
アラニンアミノトランスフェラーゼ増加	0	0	1 (2 1)	1	2 (20 0)	2	3 (4 8)	3
アスパラギン酸アミノトランスフェラーゼ増加	0	0	1 (2 1)	1	2 (20 0)	2	3 (4 8)	3
血中ビリルビン増加	0	0	1 (2 1)	1	1 (10 0)	1	2 (3 2)	2
血中カルシウム減少	0	0	1 (2 1)	1	0	0	1 (1 6)	1
血中クロール減少	0	0	1 (2 1)	1	0	0	1 (1 6)	1
血中コレステロール減少	0	0	1 (2 1)	1	0	0	1 (1 6)	1
血中コレステロール増加	0	0	0	0	1 (10 0)	1	1 (1 6)	1
血中クレアチニン増加	0	0	1 (2 1)	1	0	0	1 (1 6)	1
血中ナトリウム減少	0	0	1 (2 1)	1	0	0	1 (1 6)	1
血中尿酸減少	0	0	2 (4 2)	2	0	0	2 (3 2)	2
血中尿酸增加	0	0	1 (2 1)	1	0	0	1 (1 6)	1
好酸球数増加	1 (20 0)	1	1 (2 1)	1	0	0	2 (3 2)	2
γーグルタミルトランスフェラーゼ増加	0	0	0	0	1 (10 0)	1	1 (1 6)	1
尿中ブドウ糖陽性	1 (20 0)	1	2 (4 2)	2	0	0	3 (4 8)	3
ヘマトクリット減少	0	0	1 (2 1)	1	0	0	1 (1 6)	1
ヘモグロビン減少	0	0	1 (2 1)	1	0	0	1 (1 6)	1
総蛋白減少	0	0	1 (2 1)	1	0	0	1 (1 6)	1
赤血球数減少	0	0	2 (4 2)	2	0	0	2 (3 2)	2
白血球数増加	0	0	1 (2 1)	1	0	0	1 (1 6)	1
尿中蛋白陽性	2 (40 0)	2	2 (4 2)	2	0	0	4 (6 3)	4
血中アルカリホスファターゼ増加	0	0	1 (2 1)	1	0	0	1 (1 6)	1
申経系障害	0	0	3 (6 3)	3	0	0	3 (4 8)	3
浮動性めまい	0	0	1 (2 1)	1	0	0	1 (1 6)	1
頭痛	0	0	2 (4 2)	2	0	0	2 (3 2)	2
血管障害	0	0	5 (10 4)	5	0	0	5 (7 9)	5
潮紅	0	0	2 (4 2)	2	0	0	2 (3 2)	2
末梢冷感	0	0	1 (2 1)	1	0	0	1 (1 6)	1
ほてり	0	0	2 (4 2)	2	0	0	2 (3 2)	2

*1 有害事象用語: MedDRA/J ver 171

出典:併合解析・再解析報告書 表15 (添付資料53532)

付表2.7.4-4 第Ⅲ相臨床試験及び追加第Ⅲ相臨床試験を併合した実投与量別の因果関係が否 定できない有害事象発現数

安全性解析対象集団 実投与量 (MBq) <90 90-130 ≥130 全体 器官別大分類 (SOC) *1 n=48 n=10 n=63 例数 (%) 基本語 (PT) 例数 (%) 件数 例数 (%) 件数 例数 (%) 件数 件数 5 (10 4) 全ての有害事象 2 (20 0) 7 (11 1) 0 0 8 一般・全身障害および投与部位の状態 0 0 0 1 (10 0) 1 (1 6) 0 1 熱感 0 0 0 0 1 (10 0) 1 (1 6) 1 (10 0) 臨床検査 0 0 0 0 1 (1 6) アラニンアミノトランスフェラーゼ増加 0 0 0 0 1 (10 0) 1 (1 6) アスパラギン酸アミノトランスフェラーゼ増加 0 0 1 (10 0) 0 0 1 1 (1 6) 1 神経系障害 0 1 (2 1) 0 1 (1 6) 1 (2 1) 1 (1 6) 血管障害 4 (8 3) 0 4 (6 3) 2 (4 2) 2 2 (3 2) 2 潮紅 0 0 0 0 ほてり 0 0 2 (4 2) 2 0 0 2 (3 2) 2

因果関係が「なし」以外として判定された有害事象を、因果関係が否定できない有害事象として集計した。

出典:併合解析・再解析報告書 表21 (添付資料53532)

(最終ページ)

^{*1} 有害事象用語: MedDRA/J ver 171

オクトレオスキャン静注用セット

CTD第2部

- 2.7 臨床概要
- 2.7.5 参考文献

富士フイルムRIファーマ株式会社

(空白ページ)

2.7.5 参考文献

参考文	文献	添付場所
2.7.2	臨床薬理 参考文献なし	
2.7.3	臨床的有効性 参考文献なし	
2.7.4	臨床的安全性	第7巻
	1. Castronovo FP, Jr., Stone H, Ulanski J. Radioactivity in breast milk following 111 In-octreotide. Nucl Med Commun. 2000;21(7):695-9.	男 / 含 5.4.8

オクトレオスキャン静注用セット

CTD第2部

2.7 臨床概要

2.7.6 個々の試験のまとめ

富士フイルムRIファーマ株式会社

(空白ページ)

2.7.6 目次

略号一覧	4
専門用語一覧	6
化合物一覧	7
2.7.6 個々の試験のまとめ	8
2.7.6.1 内分泌試験 (第 I 相臨床試験) [参考資料]	10
2.7.6.2 薬物体内動態試験(第 I 相臨床試験)[参考資料]	19
2.7.6.3 91-139 臨床薬理試験 (海外第Ⅲ相臨床試験) [参考資料]	28
2.7.6.4 第Ⅲ相臨床試験 [参考資料]	33
2.7.6.5 追加第Ⅲ相臨床試験 [評価資料]	46
2.7.6.6 海外第Ⅲ相臨床試験[参考資料]	73
2.7.6.7 個人輸入症例に関する公表論文[参考資料]	89
2.7.6.8 有効性を支持する資料 [参考資料]	97
2.7.6.8.1 学会又は組織等の診療ガイドライン	97
2.7.6.8.2 国際的に標準とされる教科書	104
2.7.6.8.3 Peer-reviewed journalに掲載された総説、メタ・アナリシス等	108
2.7.6.8.4 臨床試験等の公表論文	113

略号一覧

哈万一見	Name 1	
略号	省略していない表現	T
	英語	日本語
ACR	American College of Radiology	米国放射線科医学会
ACTH	adrenocorticotropic hormone	副腎皮質刺激ホルモン
ALP	alkaline phosphatase	アルカリフォスファターゼ
ALT	L-alanine aminotransferase	アラニンアミノトランスフェラーゼ
(GPT)	(glutamicpyruvic acid transaminase)	(グルタミン酸ピルビン酸トランスアミ
		ナーゼ) アスパラギン酸アミノトランスフェラー
AST	L-aspartate aminotransferase	
(GOT)	(glutamicoxaloacetic acid transaminase)	ゼークシン酸サナギロ軟酸トニンファ
		(グルタミン酸オキザロ酢酸トランスア
ACTIC		ミナーゼ)
ASVS	arterial stimulation and venous sampling	選択的動脈內刺激薬注入法
BUN	blood urea nitrogen	血中尿素窒素
CgA	chromogranin A	クロモグラニンA
CL	clearance	クリアランス
CT	computed tomography	コンピュータ断層撮影
EANM	European Association of Nuclear Medicine	欧州核医学会
ENETS	European Neuroendocrine Tumor Society	欧州神経内分泌腫瘍学会
ESMO	European Society of Medical Oncology	欧州臨床腫瘍学会
EUS	endoscopic ultrasonography	超音波内視鏡検査
FDA	Food and Drug Administration	米国食品医薬品局
FDG	fludeoxyglucose	フルデオキシグルコース
FN	false negative	偽陰性
FP	false positive	偽陽性
γ-GTP	γ-glutamyl transpeptidase	γ-グルタミールトランスペプチダーゼ
LDH	lactic acid (lactate) dehydrogenase	乳酸脱水素酵素
MedDRA/J	Medical Dictionary for Regulatory	ICH国際医薬用語集日本語版
	Activities/Japanese version	
MEN1	multiple endocrine neoplasia type 1	多発性内分泌腫瘍症1型
MEN2	multiple endocrine neoplasia type 2	多発性内分泌腫瘍症2型
MIBG	metaiodobenzylguanidine	メタヨードベンジルグアニジン
MRI	magnetic resonance imaging	核磁気共鳴断層撮影
NANETS	North American Neuroendocrine Tumor	北米神経内分泌腫瘍学会
	Society	
NCCN	National Comprehensive Cancer Network	米国国立総合癌センターネットワーク
NCI-PDQ	National Cancer Institute Physician Data	米国国立がん研究所PDQ
	Query	
NEC	neuroendocrine carcinoma	神経内分泌癌
NEN	neuroendocrine neoplasms	神経内分泌腫瘍
NET	neuroendocrine tumor	神経内分泌腫瘍
NPV	negative predictive value	陰性的中率

	Water to the state of the state					
略号	省略していない表現	D Late				
	英語	日本語				
PET	positron emission tomography	ポジトロン断層撮影				
PPV	positive predictive value	陽性的中率				
PRRT	peptide receptor radionuclide therapy	放射性核種標識ペプチド治療				
PT	preferred term	基本語				
SASI	selective arterial secretagogue injection	選択的動脈内刺激薬注入法				
SD	standard deviation	標準偏差				
SNMMI	Society of Nuclear Medicine and Molecular	米国核医学会				
	Imaging					
SOC	system organ class	器官別大分類				
SPECT	single photon emission computed	単一光子放射形コンピュータ断層撮影				
	tomography					
SPR	Society of Pediatric Radiology	米国小児放射線医学会				
SRS	somatostatin receptor scintigraphy	ソマトスタチン受容体シンチグラフィ				
SSA	somatostatin analog	ソマトスタチンアナログ				
t _{1/2}	half-life	血液(血漿)中濃度半減期				
$t_{1/2\alpha}$	half-life, alpha phase	2相性の消失における分布相 (α相) のt _{1/2}				
$t_{1/2\beta}$	half-life, beta phase	2相性の消失における消失相 (β相) のt _{1/2}				
TN	true negative	真陰性				
TP	true positive	真陽性				
TSH	thyroid stimulating hormone	甲状腺刺激ホルモン				
US	ultrasonography	超音波検査				
$V_{d\beta}$	volume of distribution, beta phase	分布容積				
	, .	2相性の消失における消失相(β相)から				
		算出した分布容積				
VIP	vasoactive intestinal polypeptide	血管作動性腸管ペプチド				
WDHA	watery diarrhea-hypokalemia achlorhydria	水様下痢低カリウム血症無胃酸				
WHO	World Health Organization	世界保健機関				
ZES	Zollinger-Ellison syndrome	ゾリンジャー・エリソン症候群				

専門用語一覧

専門用語	説明
MP-1727	インジウムペンテトレオチド (¹¹¹ In) の治験薬コード。
吸収線量	物質の単位質量(kg)あたりに吸収された放射線のエネルギーを表す量。単位
	はグレイ(Gy)。
実効線量	放射線被ばくによる全身の健康影響を評価する指標。放射線に対する組織・臓
	器ごとの感受性を考慮して、全身が均等に被ばくした場合と同一尺度で被ばく
	の影響を表す量。単位はシーベルト (Sv)。
実効線量当量	平成12年の法令改正以前の「実効線量」の呼称。
MIRD法	Medical Internal Radiation Dose method
	米国核医学会Medical Internal Radiation Dose委員会より提唱された放射性医薬
	品投与による放射線吸収線量を推定する方法。
Bq	放射能の単位(ベクレル)。
	1秒間に1個の原子核が崩壊して放射線を放つ放射能が1ベクレル。
	1 MBq (メガベクレル) =1,000,000 Bq。
Gy	吸収線量の単位(グレイ)。
	放射線によって物質1キログラム当たり1ジュールのエネルギーが吸収された
	ときの吸収線量が1グレイ。
Sv	実効線量及び実効線量当量の単位(シーベルト)。
	生体が放射線を受けたとき、その影響の度合いを測る物差しとして使われる単
	位で、吸収線量から放射線の種類や性質、器官・組織の種類を考慮して算出さ
	れる。
%dose	%投与量
	投与された全放射能に対する放射能分布率。
%dose/L	%投与量/リットル(L)
	単位容積あたりの%dose。
プラナー像(全身	ガンマカメラで放射性薬剤から放出されるガンマ線を平面的に計測し、放射能
像、スポット像)	分布を平面的に表示した画像。全身像及びスポット像は、プラナー像に分類さ
	れる。
SPECT像	ガンマカメラを患者の体軸を中心に回転させ、多方向からデータを収集し、コ
	ンピュータにより画像を再構成して作成される断層像。

化合物一覧

16日初一	- 見 	ル学々立は説明
化合物名	構造式	化学名又は説明
ペンテトレオチド	H ₂ C CH ₂ -COOH CH ₂ COOH H ₂ C CH ₂ -COOH H ₂ C CH ₂ -COOH CH ₂ -CH ₂ -COOH CH ₂ -COOH C	JAN: (-)-N-[2-[[2-[bis (carboxymethyl)amino]eth yl](carboxymethyl)amino] ethyl]-N-(carboxymethyl)g lycyl-D-phenylalanyl-L-cy steinyl-L-phenylalanyl-D-t ryptophyl-L-lysyl-L-threo nyl-N-[(1R,2R)-2-hydroxy -1-(hydroxymethyl)propyl] -L-cysteinamide, cyclic(3-8)-disulfide
	(略式表記) Thr(ol)—Oys—Thr S Lys HO ₂ C N N D-Phe—Oys—Phe HO ₂ C HO ₂ C	CAS: L-Cysteinamide, N-[2-[[2-[bis(carboxymeth yl)amino]ethyl](carboxym ethyl)amino]ethyl]-N-(car boxymethyl)glycyl-D-phe nylalanyl-L-cysteinyl-L-ph enylalanyl-D-tryptophyl-L -lysyl-L-threonyl-N-[(1R,2 R)-2-hydroxy-1-(hydroxy methyl)propyl]-, cyclic(3-8)-disulfide
インジウ ムペンテ トレオチ ド (¹¹¹ In)	_	ペンテトレオチドとイ ンジウム (¹¹¹ In) が1:1 で配位結合した錯体;有 効成分
ソマトス タチン	HO-Cys-Ser-Thr-Phe-Thr S Lys S Trp H-Ala-Gly-Cys-Lys-Asn-Phe-Phe	_
オクトレオチド	Thr(ol)—Cys—Thr S Lys S DTrp H—D-Phe—Cys—Phe	L-Cysteinamide, D-phenylalanyl-L-cysteiny l-L-phenylalanyl-D-trypto phyl-L-lysyl-L-threonyl-N -[(1R,2R)-2-hydroxy-1-(hydroxymethyl)propyl]-, cyclic(2-7)-disulfide

2.7.6 個々の試験のまとめ

承認申請に用いた臨床試験を表2.7.6-1に、臨床試験以外の資料を表2.7.6-2に示す。

表2.7.6-1 承認申請に用いた臨床試験一覧

試験名 [実施計画書No.]	実施国 治験期間	目的	デザイン	対象 被験者数	被験薬 投与量 投与方法	添付資料番号 資料区分
内分泌試験/第I相臨	日本	安全性	単盲検	健康成人	ペンテトレオチド	5.3.3.1.1
床試験	1993.4~	内分泌機能へ	クロスオーハ゛ー	7名	5,10, 20 μg	参考
[1727-1-4]	1993.7	の影響			静脈内単回	
薬物体内動態試験/第	日本	安全性	オープ゜ン	健康成人	インジウムペンテトレオチド(¹¹¹ In)	5.3.3.1.2
I相臨床試験	1993.6~	薬物体内動態		4名	111 MBq	参考
[MP-1727-02]	1993.8	被ばく線量			静脈内単回	
91-139臨床薬理試験	スイス	内分泌機能へ	オープ゜ン	神経内分泌	インシ゛ウムヘ゜ンテトレオチト゛(¹¹¹ In)	5.3.4.2.1
(海外第Ⅲ相臨床試	\sim	の影響		腫瘍	111 MBq	参考
験)*1	19			8名	静脈内単回	
[91-139]						
第Ⅲ相臨床試験	日本	有効性	多施設共同	消化管ホルモン	インジウムペンテトレオチド(¹¹¹ In)	5.3.5.2.1
[MP-1727-03]	1994.12~	安全性	オーフ゜ン	産生腫瘍	74 MBq又は111 MBq	参考
	1995.3	有用性		23名	静脈内単回	
追加第Ⅲ相臨床試験	日本	有効性	多施設共同	消化管ホルモン	インジウムペンテトレオチド(¹¹¹ In)	5.3.5.2.2
[MP-1727-04]	2000.11~	安全性	オーフ゜ン	産生腫瘍	111 MBq	評価
	2002.1	有用性		40名	静脈内単回	
海外第Ⅲ相臨床試験*2	欧州	有効性	オープ゜ン	神経内分泌	インシ゛ウムヘ゜ンテトレオチト゛(¹¹¹ In)	5.3.5.3.1
		安全性	被験者内比較	腫瘍	111 MBq又は222 MBq	参考
				365名	静脈内単回	
$[91-132]^{*2}$	ト゛イツ	19 ~19		39名		5.3.5.2.3
[91-133]* ²	ベルギー	19 ~19		38名		5.3.5.2.4
[91-134]* ²	ト゛	19 ~19		80名		5.3.5.2.5
[91-136]* ²	ト ゙イツ	19		72名		5.3.5.2.6
[91-137]* ²	フランス	19 ~19		23名		5.3.5.2.7
[91-148]* ²	イキ゛リス	19 ~19		30名		5.3.5.2.8
[91-149]* ²	ト゛イツ	19 ~19		12名		5.3.5.2.9
$[91-150]^{*2}$	イスラエル	19 ~19		30名		5.3.5.2.10
[91-151]*2	スウェーテ゛ン	19 ~19		41名		5.3.5.2-11
[91-139]*1	スイス	19 ~19		20名		5.3.4.2.1
[91-140]	フランス	19 ~19		14名		5.3.5.2.12
[91-142]	イキ゛リス	19 ~19		32名		5.3.5.2.13
[91-146]	ኑ	19		18名		5.3.5.2.14
[91-166]	オランタ゛	19 ~19		20名		5.3.5.2.15
[91-170]	スウェーテ゛ン	19		30名		5.3.5.2.16

^{*191-139}臨床薬理試験は、第Ⅲ相臨床試験の一部として実施された。

^{**2} 海外第Ⅲ相臨床試験は、全15個の単施設試験のうち、同一プロトコールで実施され、米国での新薬申請の際に米国食品医薬品局 (FDA) によりピボタル試験と判断された9試験の統合結果を有効性及び安全性の参考資料とした。統合しなかった6試験は、安全性のみの参考資料とした。

表2.7.6-2 承認申請に用いた臨床試験以外の資料

資料名	添付資料番号 資料区分
個人輸入の使用実態調査	
OctreoScan®個人輸入使用実態調查報告書*	5.3.5.4.1 参考
個人輸入症例に関する公表論文	5.3.5.4.2 参考
有効性を支持する資料	
学会又は組織等の診療ガイドライン	5.3.5.4.3 参考
国際的に標準とされる教科書	5.3.5.4.4 参考
Peer-reviewed journalに掲載された総説、メタ・アナリシス等	5.3.5.4.5 参考
臨床試験等の公表論文	5.3.5.4.6 参考

^{*2.7.6}項に概要は示さない。

2.7.6.1 内分泌試験(第 I 相臨床試験) 「参考資料]

......添付資料5.3.3.1.1

治験の標題:

MP-1727臨床第 I 相試験 内分泌試験

治験実施計画書番号:

1727-1-4

治験総括医師:

帝京大学医学部附属市原病院 第三内科

治験実施施設及び治験責任医師:

帝京大学医学部附属市原病院 第三内科



公表文献:

田中孝司, 他. 放射性診断薬 111 In-ペンテトレオチド (MP-1727) の第 I 相臨床試験 -健常成人 男子における非標識ペンテトレオチドの安全性および内分泌機能に対する影響-. 臨床医薬 1995;11(3):521-38.

治験期間:

1993年(平成5年)4月~1993年(平成5年)7月

開発のフェーズ:

第I相

目的:

健康成人における非標識ペンテトレオチドの安全性及び内分泌機能に対する影響の検討。

試験デザイン:

被験者6名で3ステップから成る部分的クロスオーバー比較(各ステップで6名中4名に被験薬、2名に対照薬であるプラセボを投与した。ステップごとに順次投与量を増加し、各被験者にいずれかのステップでプラセボを投与するデザインとした)。ステップごとに単純盲検法で投与した。

被験者数(計画時及び解析時):

目標被験者数:6名

投与被験者数:7名 完了被験者数:6名

評価対象被験者数:6名(副作用のみ7名)

対象:

健康成人男性

主な選択基準:

- (1) 医師による事前検査(胸部X線、診察、心電図、血液検査、尿検査等、試験開始1箇月以内)により身体所見に異常のないことが確認された健康成人男性。
- (2) 年龄20~40歳。
- (3) 治験総括医師が被験者として適当と認めた者。

主な除外基準:

- (1) アレルギー疾患の既往歴のある者及びアレルギー疾患の疑いのある者。
- (2) 過去6箇月以内に他の薬剤による臨床試験を受けた者。
- (3) 試験前3箇月以内に継続して薬物を服用した者及び試験期間中に薬物療法を必要とする者。
- (4) 試験前3箇月以内に200 mL以上の採血をされた者。
- (5) その他、医師が本試験参加に適当でないと判断した者。

被験薬、ロット番号:

治験薬:ペンテトレオチド (ロット番号4298)

対照薬:生理食塩液(プラセボ)

用法 • 用量:

ペンテトレオチド (5 μ g、10 μ g、20 μ g) 又はプラセボ対照として生理食塩液 (2 μ L) を表2.7.6.1-1 に従い、肘静脈内に投与した。ペンテトレオチドは生理食塩液を加えて溶解し、被験者当たりの投与量が2 μ Lになるように調製した。各ステップの間隔は1週間以上とした。

6

20 μg

20 ug

被験者No. 1stステップ 2ndステップ 3rdステップ プラセボ 1 5 μg 10 μg 2 $10 \mu g$ プラセボ $5 \mu g$ 3 中止 5 μg プラセボ 4 5 μg $20 \mu g$ 5 プラセボ 10 μg 20 μg

表2.7.6.1-1 投与スケジュール

被験者No. 3は1stステップの実施後、本人からの申し入れにより治験薬とは関係ない理由で2nd ステップ以降の試験参加を中止したため、この被験者に替えて被験者No. 7を追加した。

 $10 \mu g$

プラセボ

治験方法:

観察・検査項目及び実施時期を表2.7.6.1-2に示した。

プラセボ

5 μg

表2.7.6.1-2 観察・検査項目及び実施時期

項目	投与前	投与	投与後						
供日	汉 于 削	\downarrow	30分	1時間	2時間	4時間	8時間	24時間	
診察	0		0		0	0	\circ	0	
バイタルサイン	0		0	\circ	0	\circ		0	
心電図	0		0		\circ		\circ	\circ	
臨床検査									
血液学的検査	\circ				\bigcirc			\bigcirc	
血液生化学検査	\circ				\bigcirc			\bigcirc	
尿検査	\bigcirc							\bigcirc	
内分泌検査	0		\circ	\circ	\circ	\circ		0	
副作用		-	(投与前30分から投与後24時間まで) →						

評価項目:

<安全性>

- (1) 医師の診察(問診、聴打診)
- (2) バイタルサイン (体温、血圧、心拍数、呼吸数)
- (3) 心電図
- (4) 臨床検査(血液学的検査、血液生化学検査、尿検査)
- (5) 副作用(自他覚症状)

<内分泌検査>

(1) 成長ホルモン、インスリン、グルカゴン、ガストリン、血糖、甲状腺刺激ホルモン(TSH)、 副腎皮質刺激ホルモン(ACTH)、コルチゾール

統計手法:

各種検査値については、時点ごとに用量及び対照群ごとに集計し、平均値及び標準偏差(SD)を算出した。

成績の推計学的分析は、各時点における投与前値からの変動値及び変動率について分散分析 法を用いて分析した。分散分析により用量の効果が有意となった場合には、各用量群の最小二 乗平均(least square means)について、Duncan法による多重比較を行った。いずれの場合も、 有意水準は5%とした。

要約一結論:

<被験者の内訳>

試験を完了した健康成人男性6名の被験者背景を表2.7.6.1-3に示す。

背景因子		完了被験者
性別	男性	6
年齢 (歳)	平均値 ±SD	29.2 ± 4.4
	範囲	25~36
身長 (cm)	平均值 ±SD	170.5 ± 7.4
	範囲	160~179
体重 (kg)	平均値 ±SD	66.7 ± 6.4
	範囲	60~76

表2.7.6.1-3 被験者背景

<安全性>

全試験期間を通じて、副作用は認められず、自覚的異常も観察されなかった。

バイタルサインでは、心拍数において、投与前から投与後24時間の変動幅で $5 \mu g$ 投与群とプラセボ投与群間に有意差が認められたが、正常範囲内の変動であり、異常とは考えられなかった。他の測定時点及び他の用量群($10 \mu g$ 及び $20 \mu g$)では有意な変化は認められなかった。心拍数の測定値を表2.7.6.1-4に示す。他の項目(体温、血圧、呼吸数)は、いずれも正常範囲内の変動を示した。また、心電図にはいずれの時点においても異常は認められなかった。

表2.7.6.1-4	心拍数の測定値
1X Z . / . U . I T	

測定項目	投与群		投与前					
侧足項目	仅分件	n	汉 子 刖	30分	1時間	2時間	4時間	24時間
心拍数	プラセボ	6	58 ± 8	54 ± 6	54 ± 6	55 ± 6	54 ± 6	62 ± 10
(回/分)	5 μg	4	63 ± 12	62 ± 7	61 ± 7	60 ± 9	61 ± 9	$60 \pm 5^{*}$
	10 μg	4	62 ± 8	57 ± 7	60 ± 11	60 ± 8	61 ± 5	59 ± 6
	20 μg	4	54 ± 1	50 ± 4	54 ± 8	51 ± 2	54 ± 8	59 ± 6

平均値 \pm SD、 * p < 0.05 (vs. プラセボ、投与前からの変動幅)

臨床検査では、血清CI及び血清Caの投与前から投与後2時間の変動値及び変動率、好酸球の投与前から投与後24時間の変動値及び変動率、及び総コレステロールの投与前から投与後24時間の変動値で、被験薬投与群とプラセボ投与群間に有意差が認められた。これらの変動はいずれも用量依存性が見られないことから、治験薬投与に起因する変動ではないと考えられた。有意差が認められた4項目の検査値及び変動率を表2.7.6.1-5に示す。個々の被験者では、被験者No.2の3rdステップ(プラセボ)での投与後2時間のLDHの1項目で「異常変動あり」と判定されたが、採血時又はその後の手技中に生じた溶血による影響と考えられたため、治験薬との関連性はないと判断された。

表2.7.6.1-5 有意差が認められた臨床検査項目の検査値及び変動率

松木百日	工冶然国	机片彩		机上台	投与後			
検査項目	正常範囲	投与群	n	投与前	2周	持間	24	時間
		プラセボ	6	105 ± 2	106 ± 2	(1.0%)	105 ± 2	(0%)
Cl	96~107	5 μg	4	105 ± 2	106 ± 1	(1.0%)	104 ± 1	(-1.0%)
(mEq/L)	90 - 107	10 μg	4	106 ± 2	106 ± 1	(0%)	106 ± 2	(0%)
		20 μg	4	106 ± 2	105 ± 1	(-0.9%*)	105 ± 1	(-0.9%)
		プラセボ	6	4.6 ± 0.2	4.5 ± 0.1	(-2.2%)	4.6 ± 0.1	(0%)
Ca	4.2~5.2	5 μg	4	4.6 ± 0.2	4.6 ± 0.2	(0%)	4.6 ± 0.1	(0%)
(mEq/L)		10 μg	4	4.7 ± 0.1	4.6 ± 0.1	(-2.1%*)	4.6 ± 0.1	(-2.1%)
		20 μg	4	4.4 ± 0.1	4.5 ± 0.1	(2.3%*)	4.5 ± 0.1	(2.3%)
		プラセボ	6	4.3 ± 2.7	3.0 ± 2.3	(-30.2%)	3.0 ± 2.2	(-30.2%)
好酸球	0~7	5 μg	4	4.0 ± 1.4	2.8 ± 1.0	(-30.0%)	3.8 ± 1.7	(-5.0%)
(%)	0, 0,	10 μg	4	2.5 ± 2.1	3.3 ± 1.7	(32.0%)	3.3 ± 2.6	$(32.0\%^*)$
		20 μg	4	2.3 ± 1.9	1.5 ± 1.3	(-34.8%)	1.8 ± 1.3	(-21.7%)
		プラセボ	6	132 ± 37	127 ± 34	(-3.8%)	133 ± 39	(0.8%)
総コレステロール	150~230	5 μg	4	133 ± 46	132 ± 45	(-0.8%)	139 ± 50	$(4.5\%^*)$
(mg/dL)	150~230	10 μg	4	145 ± 26	145 ± 24	(0%)	144 ± 28	(-0.7%)
1		20 μg	4	112 ± 28	113 ± 30	(0.9%)	119 ± 31	(6.3%)

平均値 ± SD (変動率)、*p < 0.05 (vs. プラセボ)

<内分泌検査>

内分泌検査の結果を、表2.7.6.1-6及び図2.7.6.1-1~図2.7.6.1-8に示す。

TSH(図2.7.6.1-6)、ACTH(図2.7.6.1-7)及びコルチゾール(図2.7.6.1-8)については、一般的に報告されている様に明確な日内変動を伴った検査値の推移が観察され、本試験が良好な環境の下で実施されたことが示された。

測定した8種類の内分泌検査項目のうち、血糖において、5 μg投与群の投与前から投与後24 時間の変動値及び変動率がプラセボ投与群と比較して有意な低値を示した。しかし、この反応は1時点のみの現象であり、変動の幅もわずかで用量依存性も見られないことから、治験薬投与に起因するものではないと考えられた。成長ホルモン、インスリン、グルカゴン、ガストリ

ン、TSH、ACTH及びコルチゾールの7項目では、いずれの被験薬投与群及び測定時点においてもプラセボ投与群と比較して有意な変動は認められなかった。

ペンテトレオチドは、内分泌検査8項目に対して少なくとも投与後24時間までは影響を及ぼさないものと考えられた。

表2.7.6.1-6 内分泌検査の結果

放長赤ギン プラセボ	項目	投与群		投与前 — 投与後					
Composition S μg	供口	汉子仲	n	1文子刊	30分	1時間	2時間	4時間	24時間
$\begin{array}{c ccccccccccccccccccccccccccccccccccc$	成長ホルモン	プ ラセボ	6	0.44 ± 0.28	0.47 ± 0.42	0.88 ± 1.38	0.87 ± 1.22	2.42 ± 3.74	0.30 ± 0.10
$\begin{array}{c ccccccccccccccccccccccccccccccccccc$	(ng/mL)	5 μg	4	0.61 ± 0.49	0.57 ± 0.39	0.41 ± 0.11	0.42 ± 0.12	0.65 ± 0.59	0.40 ± 0.04
$ \begin{array}{c ccccccccccccccccccccccccccccccccccc$		10 μg	4	0.86 ± 0.98	0.29 ± 0.04	0.29 ± 0.02	0.38 ± 0.11	2.89 ± 4.55	0.35 ± 0.07
		20 μg	4	0.16 ± 0.07	0.13 ± 0.03	0.13 ± 0.04	0.12 ± 0.03	3.03 ± 5.71	0.18 ± 0.04
$\begin{array}{c ccccccccccccccccccccccccccccccccccc$	インスリン	プ ラセホ゛	6	4.8 ± 1.5	4.5 ± 1.4	4.7 ± 0.8	5.0 ± 1.8	4.8 ± 1.3	6.2 ± 1.5
20 μg 4 5.8 ± 0.5 4.5 ± 0.6 6.3 ± 3.9 4.8 ± 1.0 4.3 ± 1.3 7.3 ± 0.5 カ	$(\mu U/mL)$	5 μg	4	5.8 ± 1.0	6.3 ± 1.0	7.3 ± 0.5	6.5 ± 1.3	6.8 ± 1.7	7.5 ± 1.7
ア・ルカコ・ソ ア・デセボ 6 144 ± 69 145 ± 58 148 ± 60 138 ± 51 133 ± 63 146 ± 74 (pg/mL) 5 μg 4 130 ± 75 131 ± 54 136 ± 71 141 ± 77 141 ± 58 157 ± 67 10 μg 4 137 ± 54 139 ± 48 151 ± 50 163 ± 62 161 ± 59 155 ± 53 20 μg 4 142 ± 34 123 ± 38 132 ± 28 123 ± 36 140 ± 18 133 ± 41 \hbar^* π		10 μg	4	6.0 ± 1.4	4.3 ± 1.5	5.5 ± 2.4	4.5 ± 1.3	4.8 ± 1.0	7.3 ± 2.6
(pg/mL) 5 μg 4 130 ± 75 131 ± 54 136 ± 71 141 ± 77 141 ± 58 157 ± 67 10 μg 4 137 ± 54 139 ± 48 151 ± 50 163 ± 62 161 ± 59 155 ± 53 20 μg 4 142 ± 34 123 ± 38 132 ± 28 123 ± 36 140 ± 18 133 ± 41 $\hbar^* \times \hbar^{\dagger} \mathcal{V}$ $7^* 7 \pi^{\dagger} \pi^{\star}$ 6 42 ± 14 37 ± 12 32 ± 13 33 ± 10 38 ± 17 53 ± 22 (pg/mL) 5 μg 4 39 ± 6 29 ± 10 35 ± 17 34 ± 4 31 ± 3 43 ± 16 10 μg 4 34 ± 12 34 ± 6 32 ± 8 40 ± 14 35 ± 14 42 ± 9 20 μg 4 37 ± 11 33 ± 9 30 ± 9 33 ± 10 25 ± 18 53 ± 15 $\pm 10 \mu g$ 4 93 ± 3 99 ± 4 96 ± 5 94 ± 3 90 ± 4 88 ± 5 (mg/dL) 5 μg 4 93 ± 3 99 ± 4 96 ± 5 94 ± 3 90 ± 4 88 ± 4 ± 10 μg 4 91 ± 5 100 ± 2 94 ± 3 93 ± 4 92 ± 2 89 ± 4 20 μg 4 89 ± 1 97 ± 5 97 ± 4 91 ± 5 86 ± 3 89 ± 3 $\pm 10 \mu g$ 4 1.3 ± 0.9 1.0 ± 0.6 1.0 ± 0.5 0.9 ± 0.6 1.0 ± 0.6 1.5 ± 1.1 (μU/mL) 5 μg 4 1.3 ± 0.9 1.0 ± 0.7 0.9 ± 0.6 0.9 ± 0.6 0.9 ± 0.6 1.2 ± 0.9 20 μg 4 1.4 ± 1.0 1.0 ± 0.7 0.9 ± 0.6 0.9 ± 0.6 0.9 ± 0.6 1.2 ± 0.9 20 μg 4 32.4 ± 13.5 17.7 ± 9.2 12.5 ± 2.4 11.3 ± 1.8 19.7 ± 2.0 49.0 ± 13.9 10 μg 4 36.1 ± 10.7 15.3 ± 2.8 12.5 ± 1.3 14.6 ± 2.5 19.1 ± 3.1 49.0 ± 10.3 20 μg 4 29.5 ± 9.2 11.7 ± 1.3 10.2 ± 1.8 9.9 ± 2.4 16.7 ± 2.5 40.3 ± 9.4 $\pm 10 \mu g$ 4 36.1 ± 10.7 15.3 ± 2.8 12.5 ± 1.3 14.6 ± 2.5 19.1 ± 3.1 49.0 ± 10.3 20 μg 4 29.5 ± 9.2 11.7 ± 1.3 10.2 ± 1.8 9.9 ± 2.4 16.7 ± 2.5 40.3 ± 9.4 $\pm 10 \mu g$ 4 29.5 ± 9.2 11.7 ± 1.3 10.2 ± 1.8 9.9 ± 2.4 16.7 ± 2.5 40.3 ± 9.4 $\pm 10 \mu g$ 4 29.5 ± 9.2 11.7 ± 1.3 10.2 ± 1.8 9.9 ± 2.4 16.7 ± 2.5 40.3 ± 9.4 $\pm 10 \mu g$ 4 29.5 ± 9.2 11.7 ± 1.3 10.2 ± 1.8 9.9 ± 2.4 16.7 ± 2.5 40.3 ± 9.4 $\pm 10 \mu g$ 4 29.5 ± 9.2 11.7 ± 1.3 10.2 ± 1.8 9.9 ± 2.4 16.7 ± 2.5 40.3 ± 9.4 $\pm 10 \mu g$ 4 29.5 ± 9.2 11.7 ± 1.3 10.2 ± 1.8 9.9 ± 2.4 16.7 ± 2.5 40.3 ± 9.4 $\pm 10 \mu g$ 4 29.5 ± 9.2 11.7 ± 1.3 10.2 ± 1.8 9.9 ± 2.4 16.7 ± 2.5 40.3 ± 9.4 $\pm 10 \mu g$ 5 $\pm 10 \mu g$ 6 15.8 ± 2.0 10.1 ± 2.1 9.6 ± 2.5 7.1 ± 2.6 9.4 ± 3.0 17.4 ± 1.5 $\pm 10 \mu g$ 5 $\pm 10 \mu g$ 5 $\pm 10 \mu g$ 5 $\pm 10 \mu g$ 6 $\pm 10 $		20 μg	4	5.8 ± 0.5	4.5 ± 0.6	6.3 ± 3.9	4.8 ± 1.0	4.3 ± 1.3	7.3 ± 0.5
10 μg 4 137 ± 54 139 ± 48 151 ± 50 163 ± 62 161 ± 59 155 ± 53 20 μg 4 142 ± 34 123 ± 38 132 ± 28 123 ± 36 140 ± 18 133 ± 41 1 $\hbar^* \ \lambda^* $	ク゛ルカコ゛ン	プ ラセホ゛	6	144 ± 69	145 ± 58	148 ± 60	138 ± 51	133 ± 63	146 ± 74
20 μg	(pg/mL)	5 μg	4	130 ± 75	131 ± 54	136 ± 71	141 ± 77	141 ± 58	157 ± 67
		10 μg	4	137 ± 54	139 ± 48	151 ± 50	163 ± 62	161 ± 59	155 ± 53
(pg/mL) $5 \mu g$ 4 39 ± 6 29 ± 10 35 ± 17 34 ± 4 31 ± 3 43 ± 16 $10 \mu g$ 4 34 ± 12 34 ± 6 32 ± 8 40 ± 14 35 ± 14 42 ± 9 $20 \mu g$ 4 37 ± 11 33 ± 9 30 ± 9 33 ± 10 25 ± 18 53 ± 15 血糖 $7^\circ 7 7 7 7 7 7 7 7 7 7 7 7 7 7 7 7 7 7 $		20 μg	4	142 ± 34	123 ± 38	132 ± 28	123 ± 36	140 ± 18	133 ± 41
10 μg 4 34 ± 12 34 ± 6 32 ± 8 40 ± 14 35 ± 14 42 ± 9 20 μg 4 37 ± 11 33 ± 9 30 ± 9 33 ± 10 25 ± 18 53 ± 15 1	カ゛ストリン	プ ラセホ゛	6	42 ± 14	37 ± 12	32 ± 13	33 ± 10	38 ± 17	53 ± 22
20 μg	(pg/mL)	5 μg	4	39 ± 6	29 ± 10	35 ± 17	34 ± 4	31 ± 3	43 ± 16
血糖 プラヤボ 6 88±5 92±5 91±2 91±7 87±4 88±5 (mg/dL) 5 μg 4 93±3 99±4 96±5 94±3 90±4 88±4* 10 μg 4 91±5 100±2 94±3 93±4 92±2 89±4 20 μg 4 89±1 97±5 97±4 91±5 86±3 89±3 TSH プラヤボ 6 1.3±0.8 1.0±0.6 1.0±0.5 0.9±0.6 1.0±0.6 1.5±1.1 (μU/mL) 5 μg 4 1.8±0.7 1.3±0.4 1.1±0.3 1.0±0.3 1.0±0.3 1.8±1.2 10 μg 4 1.3±0.9 1.0±0.7 0.9±0.6 0.9±0.6 0.9±0.6 1.2±0.9 20 μg 4 1.4±1.0 1.0±0.7 0.9±0.6 0.7±0.5 0.8±0.5 1.8±1.6 ACTH プラヤボ 6 33.2±12.9 17.1±6.1 15.6±5.0 14.8±4.2 21.1±6.8 47.3±13.3 (pg/mL) 5 μg 4 32.4±13.5 17.7±9.2 12.5±2.4 11.3±1.8 19.7±2.0 49.0±13.9 10 μg 4 36.1±10.7 15.3±2.8 12.5±1.3 14.6±2.5 19.1±3.1 49.0±10.3 20 μg 4 29.5±9.2 11.7±1.3 10.2±1.8 9.9±2.4 16.7±2.5 40.3±9.4 17.4±1.5		10 μg	4	34 ± 12	34 ± 6	32 ± 8	40 ± 14	35 ± 14	42 ± 9
(mg/dL) $5 \mu g$ 4 93 ± 3 99 ± 4 96 ± 5 94 ± 3 90 ± 4 $88 \pm 4^*$ $10 \mu g$ 4 91 ± 5 100 ± 2 94 ± 3 93 ± 4 92 ± 2 89 ± 4 $20 \mu g$ 4 89 ± 1 97 ± 5 97 ± 4 91 ± 5 86 ± 3 89 ± 3 $7^{\circ} 7^{\circ} 7^$		20 μg	4	37 ± 11	33 ± 9	30 ± 9	33 ± 10	25 ± 18	53 ± 15
10 μg 4 91 ± 5 100 ± 2 94 ± 3 93 ± 4 92 ± 2 89 ± 4 20 μg 4 89 ± 1 97 ± 5 97 ± 4 91 ± 5 86 ± 3 89 ± 3 TSH 7° 7th 6 1.3 ± 0.8 1.0 ± 0.6 1.0 ± 0.5 0.9 ± 0.6 1.0 ± 0.6 1.5 ± 1.1 (μU/mL) 5 μg 4 1.8 ± 0.7 1.3 ± 0.4 1.1 ± 0.3 1.0 ± 0.3 1.0 ± 0.3 1.8 ± 1.2 10 μg 4 1.3 ± 0.9 1.0 ± 0.7 0.9 ± 0.6 0.9 ± 0.6 0.9 ± 0.6 1.2 ± 0.9 20 μg 4 1.4 ± 1.0 1.0 ± 0.7 0.9 ± 0.6 0.7 ± 0.5 0.8 ± 0.5 1.8 ± 1.6 ACTH 7° 7th 6 33.2 ± 12.9 17.1 ± 6.1 15.6 ± 5.0 14.8 ± 4.2 21.1 ± 6.8 47.3 ± 13.3 (pg/mL) 5 μg 4 32.4 ± 13.5 17.7 ± 9.2 12.5 ± 2.4 11.3 ± 1.8 19.7 ± 2.0 49.0 ± 13.9 10 μg 4 36.1 ± 10.7 15.3 ± 2.8 12.5 ± 1.3 14.6 ± 2.5 19.1 ± 3.1 49.0 ± 10.3 20 μg 4 29.5 ± 9.2 11.7 ± 1.3 10.2 ± 1.8 9.9 ± 2.4 16.7 ± 2.5 40.3 ± 9.4 11.5 1.5 17.4 ± 1.5	血糖	プ゜ラセホ゛	6	88 ± 5	92 ± 5	91 ± 2	91 ± 7	87 ± 4	88 ± 5
20 μg 4 89 ± 1 97 ± 5 97 ± 4 91 ± 5 86 ± 3 89 ± 3 TSH 7° 7セボ 6 1.3 ± 0.8 1.0 ± 0.6 1.0 ± 0.5 0.9 ± 0.6 1.0 ± 0.6 1.5 ± 1.1 (μU/mL) 5 μg 4 1.8 ± 0.7 1.3 ± 0.4 1.1 ± 0.3 1.0 ± 0.3 1.0 ± 0.3 1.8 ± 1.2 10 μg 4 1.3 ± 0.9 1.0 ± 0.7 0.9 ± 0.6 0.9 ± 0.6 0.9 ± 0.6 1.2 ± 0.9 20 μg 4 1.4 ± 1.0 1.0 ± 0.7 0.9 ± 0.6 0.7 ± 0.5 0.8 ± 0.5 1.8 ± 1.6 ACTH 7° 7セボ 6 33.2 ± 12.9 17.1 ± 6.1 15.6 ± 5.0 14.8 ± 4.2 21.1 ± 6.8 47.3 ± 13.3 (pg/mL) 5 μg 4 32.4 ± 13.5 17.7 ± 9.2 12.5 ± 2.4 11.3 ± 1.8 19.7 ± 2.0 49.0 ± 13.9 10 μg 4 36.1 ± 10.7 15.3 ± 2.8 12.5 ± 1.3 14.6 ± 2.5 19.1 ± 3.1 49.0 ± 10.3 20 μg 4 29.5 ± 9.2 11.7 ± 1.3 10.2 ± 1.8 9.9 ± 2.4 16.7 ± 2.5 40.3 ± 9.4 $2\pi N^{\circ} J^{\circ} J^$	(mg/dL)	5 μg	4	93 ± 3	99 ± 4	96 ± 5	94 ± 3	90 ± 4	$88\pm4^*$
TSH 7° 7 [†] tħ 6 1.3 ± 0.8 1.0 ± 0.6 1.0 ± 0.5 0.9 ± 0.6 1.0 ± 0.6 1.5 ± 1.1 (μU/mL) $5 \mu g$ 4 1.8 ± 0.7 1.3 ± 0.4 1.1 ± 0.3 1.0 ± 0.3 1.0 ± 0.3 1.8 ± 1.2 $10 \mu g$ 4 1.3 ± 0.9 1.0 ± 0.7 0.9 ± 0.6 0.9 ± 0.6 0.9 ± 0.6 0.9 ± 0.6 1.2 ± 0.9 $20 \mu g$ 4 1.4 ± 1.0 1.0 ± 0.7 0.9 ± 0.6 0.7 ± 0.5 0.8 ± 0.5 1.8 ± 1.6 ACTH 7° 7 [†] tħ 6 33.2 ± 12.9 17.1 ± 6.1 15.6 ± 5.0 14.8 ± 4.2 21.1 ± 6.8 47.3 ± 13.3 (pg/mL) $5 \mu g$ 4 32.4 ± 13.5 17.7 ± 9.2 12.5 ± 2.4 11.3 ± 1.8 19.7 ± 2.0 49.0 ± 13.9 $10 \mu g$ 4 36.1 ± 10.7 15.3 ± 2.8 12.5 ± 1.3 14.6 ± 2.5 19.1 ± 3.1 49.0 ± 10.3 $20 \mu g$ 4 29.5 ± 9.2 11.7 ± 1.3 10.2 ± 1.8 9.9 ± 2.4 16.7 ± 2.5 40.3 ± 9.4 10.7 ± 1.5 10.7 ± 1.8		10 μg	4	91 ± 5	100 ± 2	94 ± 3	93 ± 4	92 ± 2	89 ± 4
(μU/mL) 5 μg 4 1.8 ± 0.7 1.3 ± 0.4 1.1 ± 0.3 1.0 ± 0.3 1.0 ± 0.3 1.8 ± 1.2 $10 \mu g$ 4 1.3 ± 0.9 1.0 ± 0.7 0.9 ± 0.6 0.9 ± 0.6 0.9 ± 0.6 0.9 ± 0.6 1.2 ± 0.9 $20 \mu g$ 4 1.4 ± 1.0 1.0 ± 0.7 0.9 ± 0.6 0.7 ± 0.5 0.8 ± 0.5 1.8 ± 1.6 ACTH $7^{\circ} 7 \% 7 \%$ 6 33.2 ± 12.9 17.1 ± 6.1 15.6 ± 5.0 14.8 ± 4.2 21.1 ± 6.8 47.3 ± 13.3 (pg/mL) $5 \mu g$ 4 32.4 ± 13.5 17.7 ± 9.2 12.5 ± 2.4 11.3 ± 1.8 19.7 ± 2.0 49.0 ± 13.9 $10 \mu g$ 4 36.1 ± 10.7 15.3 ± 2.8 12.5 ± 1.3 14.6 ± 2.5 19.1 ± 3.1 49.0 ± 10.3 $20 \mu g$ 4 29.5 ± 9.2 11.7 ± 1.3 10.2 ± 1.8 9.9 ± 2.4 16.7 ± 2.5 40.3 ± 9.4 10.7 ± 1.5 10.7 ± 1.5 10.1 ± 1.5 10.1 ± 1.5		20 μg	4	89 ± 1	97 ± 5	97 ± 4	91 ± 5	86 ± 3	89 ± 3
10 μg 4 1.3 ± 0.9 1.0 ± 0.7 0.9 ± 0.6 0.9 ± 0.6 0.9 ± 0.6 1.2 ± 0.9 20 μg 4 1.4 ± 1.0 1.0 ± 0.7 0.9 ± 0.6 0.7 ± 0.5 0.8 ± 0.5 1.8 ± 1.6 ACTH $7^{\circ} 7^{\dagger} 7^$	TSH	プ゜ラセホ゛	6	1.3 ± 0.8	1.0 ± 0.6	1.0 ± 0.5	0.9 ± 0.6	1.0 ± 0.6	1.5 ± 1.1
20 μg 4 1.4 ± 1.0 1.0 ± 0.7 0.9 ± 0.6 0.7 ± 0.5 0.8 ± 0.5 1.8 ± 1.6 ACTH 7° 7セボ 6 33.2 ± 12.9 17.1 ± 6.1 15.6 ± 5.0 14.8 ± 4.2 21.1 ± 6.8 47.3 ± 13.3 (pg/mL) 5 μg 4 32.4 ± 13.5 17.7 ± 9.2 12.5 ± 2.4 11.3 ± 1.8 19.7 ± 2.0 49.0 ± 13.9 10 μg 4 36.1 ± 10.7 15.3 ± 2.8 12.5 ± 1.3 14.6 ± 2.5 19.1 ± 3.1 49.0 ± 10.3 20 μg 4 29.5 ± 9.2 11.7 ± 1.3 10.2 ± 1.8 9.9 ± 2.4 16.7 ± 2.5 40.3 ± 9.4 10.7 ± 1.5 $10.$	$(\mu U/mL)$	5 μg	4	1.8 ± 0.7	1.3 ± 0.4	1.1 ± 0.3	1.0 ± 0.3	1.0 ± 0.3	1.8 ± 1.2
ACTH $7^{\circ} 7 t t \bar{t}$ 6 33.2 ± 12.9 17.1 ± 6.1 15.6 ± 5.0 14.8 ± 4.2 21.1 ± 6.8 47.3 ± 13.3 (pg/mL) 5 µg 4 32.4 ± 13.5 17.7 ± 9.2 12.5 ± 2.4 11.3 ± 1.8 19.7 ± 2.0 49.0 ± 13.9 $10 \mu g$ 4 36.1 ± 10.7 15.3 ± 2.8 12.5 ± 1.3 14.6 ± 2.5 19.1 ± 3.1 49.0 ± 10.3 $20 \mu g$ 4 29.5 ± 9.2 11.7 ± 1.3 10.2 ± 1.8 9.9 ± 2.4 16.7 ± 2.5 40.3 ± 9.4 $3 h f f f f f f f f f f f f f f f f f f $		10 μg	4	1.3 ± 0.9	1.0 ± 0.7	0.9 ± 0.6	0.9 ± 0.6	0.9 ± 0.6	1.2 ± 0.9
(pg/mL) $5 \mu g$ 4 32.4 ± 13.5 17.7 ± 9.2 12.5 ± 2.4 11.3 ± 1.8 19.7 ± 2.0 49.0 ± 13.9 $10 \mu g$ 4 36.1 ± 10.7 15.3 ± 2.8 12.5 ± 1.3 14.6 ± 2.5 19.1 ± 3.1 49.0 ± 10.3 $20 \mu g$ 4 29.5 ± 9.2 11.7 ± 1.3 10.2 ± 1.8 9.9 ± 2.4 16.7 ± 2.5 40.3 ± 9.4 10.7 ± 1.5 10.1 ± 2.1		20 μg	4	1.4 ± 1.0	1.0 ± 0.7	0.9 ± 0.6	0.7 ± 0.5	0.8 ± 0.5	1.8 ± 1.6
10 μg 4 36.1 ± 10.7 15.3 ± 2.8 12.5 ± 1.3 14.6 ± 2.5 19.1 ± 3.1 49.0 ± 10.3 $20 \mu g$ 4 29.5 ± 9.2 11.7 ± 1.3 10.2 ± 1.8 9.9 ± 2.4 16.7 ± 2.5 40.3 ± 9.4 30.7 ± 1.5	ACTH	プ ラセホ゛	6	33.2 ± 12.9	17.1 ± 6.1	15.6 ± 5.0	14.8 ± 4.2	21.1 ± 6.8	47.3 ± 13.3
20 μg 4 29.5 ± 9.2 11.7 ± 1.3 10.2 ± 1.8 9.9 ± 2.4 16.7 ± 2.5 40.3 ± 9.4 □ルチゾ ール プ° ラセボ 6 15.8 ± 2.0 10.1 ± 2.1 9.6 ± 2.5 7.1 ± 2.6 9.4 ± 3.0 17.4 ± 1.5	(pg/mL)	5 μg	4	32.4 ± 13.5	17.7 ± 9.2	12.5 ± 2.4	11.3 ± 1.8	19.7 ± 2.0	49.0 ± 13.9
コルチソ゛ール フ゜ラセホ゛ 6 15.8 ± 2.0 10.1 ± 2.1 9.6 ± 2.5 7.1 ± 2.6 9.4 ± 3.0 17.4 ± 1.5		10 μg	4	36.1 ± 10.7	15.3 ± 2.8	12.5 ± 1.3	14.6 ± 2.5	19.1 ± 3.1	49.0 ± 10.3
		20 μg	4	29.5 ± 9.2	11.7 ± 1.3	10.2 ± 1.8	9.9 ± 2.4	16.7 ± 2.5	40.3 ± 9.4
$(\mu g/dL) \qquad 5 \ \mu g \qquad \qquad 4 \qquad 14.8 \pm 2.2 \qquad 11.4 \pm 3.6 \qquad 10.1 \pm 1.2 \qquad 6.8 \pm 2.6 \qquad 8.0 \pm 3.0 \qquad 16.5 \pm 1.7$	コルチゾ゛ール	プ ラセボ	6	15.8 ± 2.0	10.1 ± 2.1	9.6 ± 2.5	7.1 ± 2.6	9.4 ± 3.0	17.4 ± 1.5
	$(\mu g/dL)$	5 μg	4	14.8 ± 2.2	11.4 ± 3.6	10.1 ± 1.2	6.8 ± 2.6	8.0 ± 3.0	16.5 ± 1.7
10 μg 4 19.0 \pm 6.0 12.7 \pm 4.4 9.6 \pm 1.6 6.9 \pm 1.1 9.0 \pm 2.1 16.4 \pm 3.6		10 μg	4	19.0 ± 6.0	12.7 ± 4.4	9.6 ± 1.6	6.9 ± 1.1	9.0 ± 2.1	16.4 ± 3.6
20 μg 4 17.0 \pm 3.9 10.5 \pm 2.0 8.5 \pm 1.4 7.2 \pm 1.4 10.6 \pm 2.1 16.6 \pm 4.9		20 μg	4	17.0 ± 3.9	10.5 ± 2.0	8.5 ± 1.4	7.2 ± 1.4	10.6 ± 2.1	16.6 ± 4.9

平均値 ± SD、*p < 0.05 (vs. プラセボ、投与前からの変動幅)

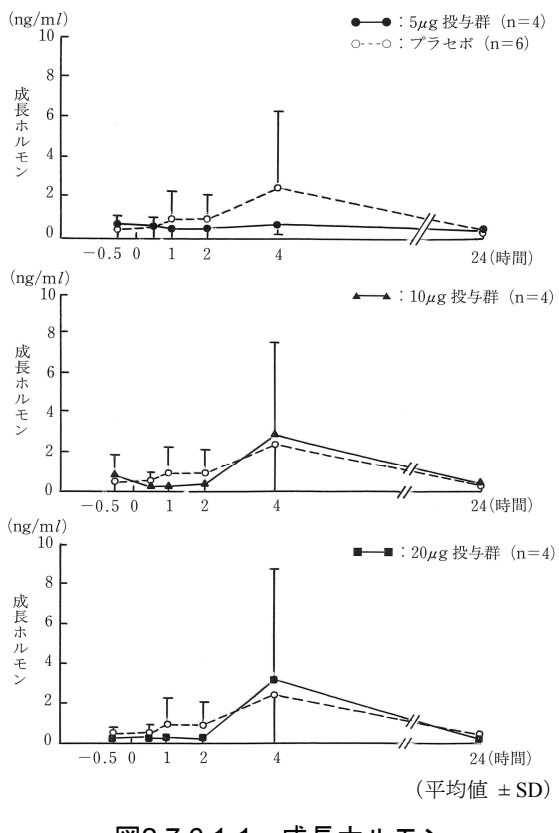


図2.7.6.1-1 成長ホルモン

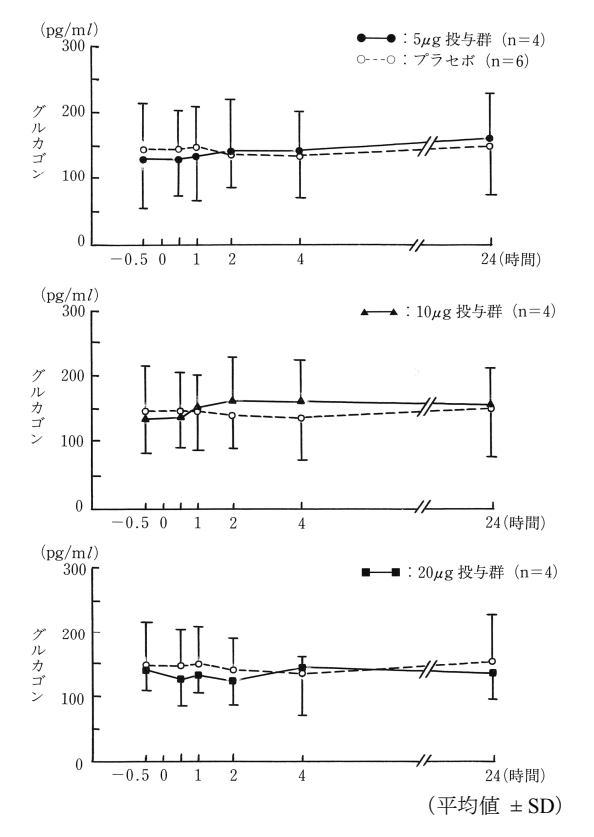


図2.7.6.1-3 グルカゴン

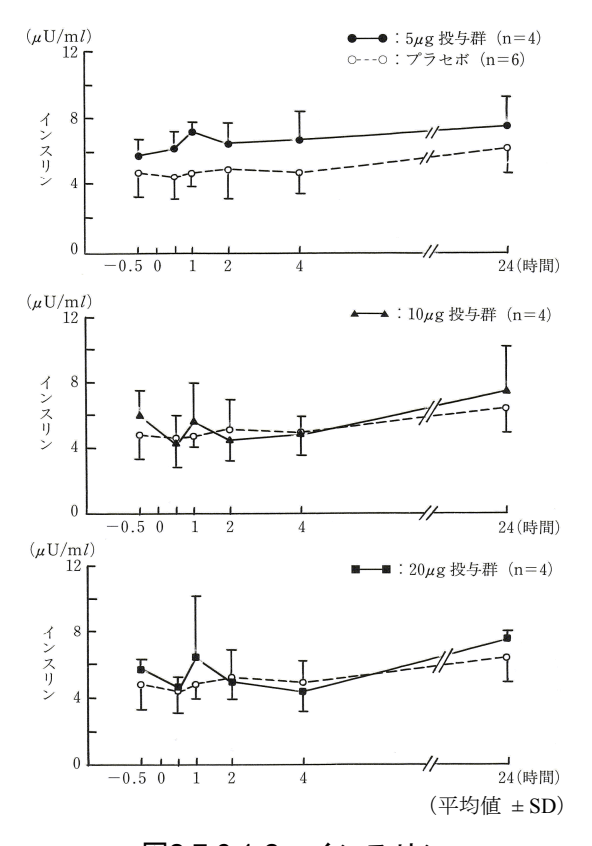


図2.7.6.1-2 インスリン

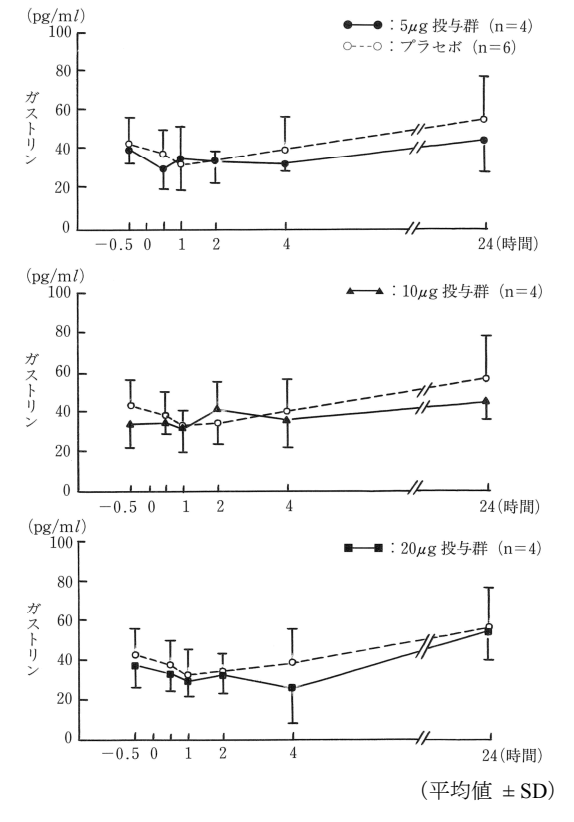


図2.7.6.1-4 ガストリン

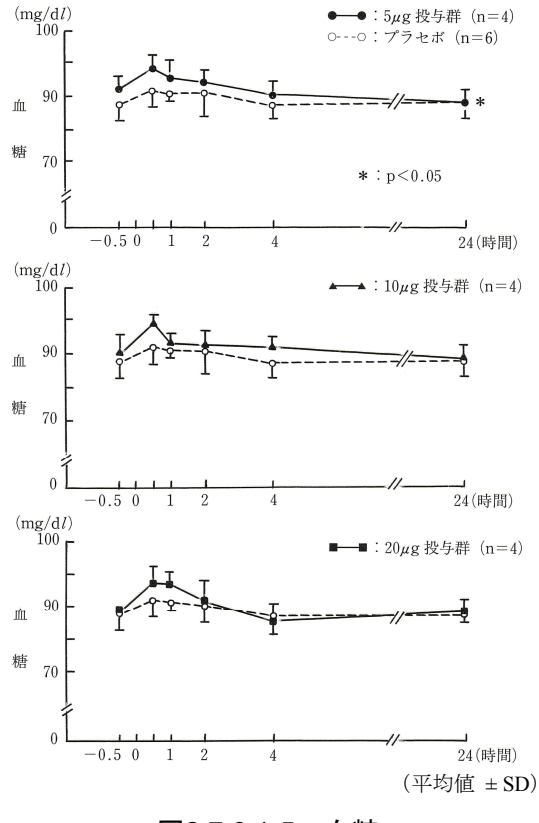


図2.7.6.1-5 血糖

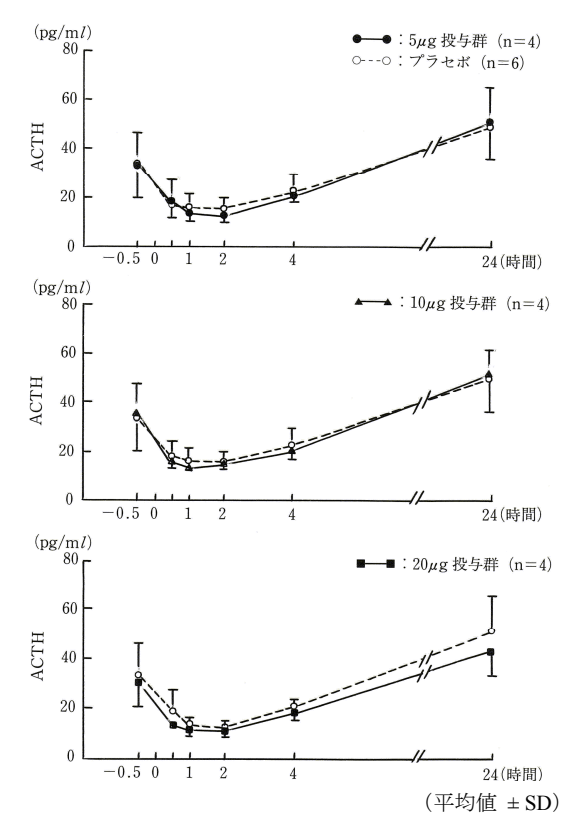


図2.7.6.1-7 ACTH

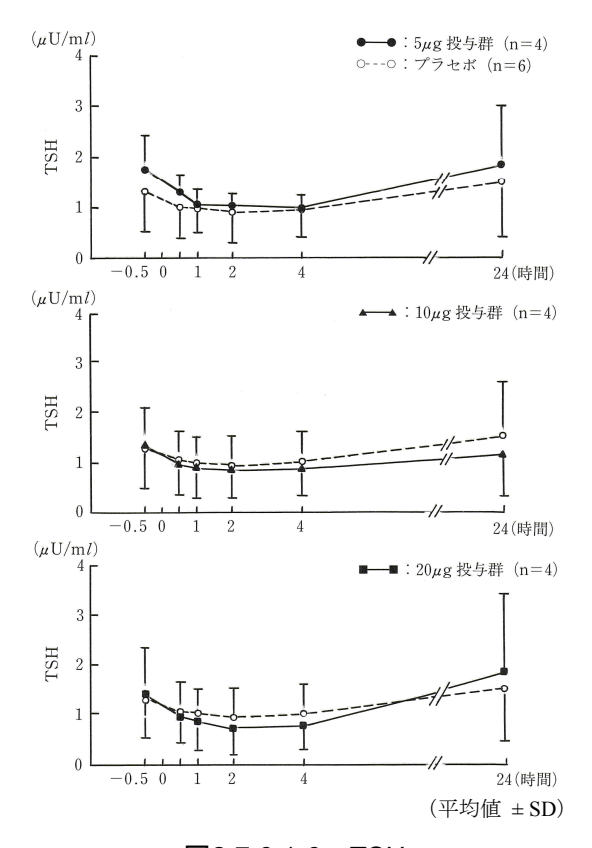


図2.7.6.1-6 TSH

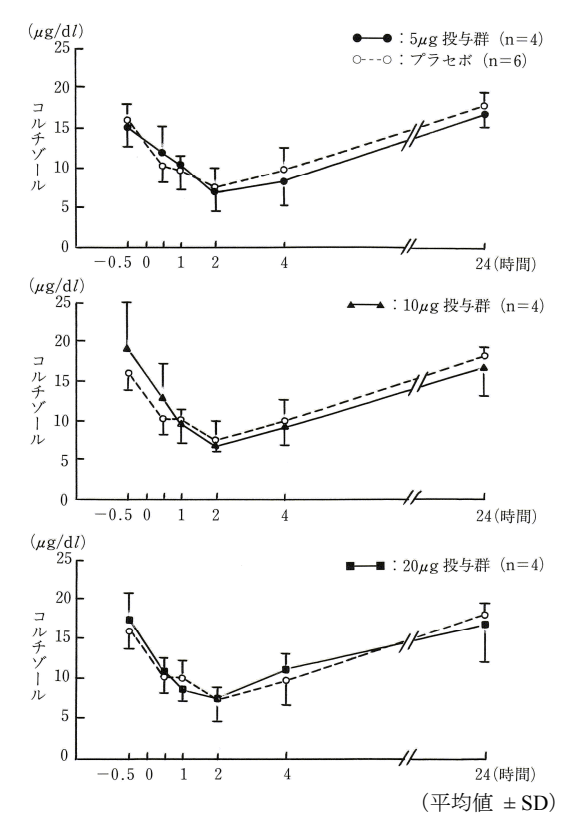


図2.7.6.1-8 コルチゾール

結論:

副作用は認められなかった。バイタルサインに異常は認められず、臨床検査においても治験 薬投与によると考えられる異常変動は認められなかった。

内分泌検査として測定した成長ホルモン、インスリン、グルカゴン、ガストリン、血糖、TSH、ACTH及びコルチゾールの8項目については、治験薬投与に起因すると考えられる測定値の変動は認められなかった。

2.7.6.2 薬物体内動態試験(第 I 相臨床試験) 「参考資料]

......添付資料5.3.3.1.2

治験の標題:

MP-1727臨床第 I 相試験-薬物体内動態試験-

治験実施計画書番号:

MP-1727-02

治験総括医師:

群馬大学医学部附属病院 核医学科

治験実施施設及び治験責任医師:

群馬大学医学部附属病院 核医学科

公表文献:

井上登美夫、他. 111 In-DTPA-D-Phe-octreotideの安全性、薬物動態、被曝線量の検討 -第1相臨床試験報告-. 核医学1995;32(5):511-21.

治験期間:

1993年 (平成5年) 6月~1993年 (平成5年) 8月

開発のフェーズ:

第I相

目的:

健康成人におけるMP-1727の安全性及び薬物体内動態の検討。

試験デザイン:

オープン試験

被験者数(計画時及び解析時):

目標被験者数:4名 投与被験者数:4名 完了被験者数:4名

評価対象被験者数:4名(安全性4名、薬物体内動態4名)

対象:

健康成人男性

主な選択基準:

- (1) 医師による事前検査(胸部X線、診察、心電図、血液検査、尿検査等、試験開始1箇月以内)により身体所見に異常のないことが確認された健康成人男性。
- (2) 年龄20~40歳。
- (3) 治験総括医師が被験者として適当と認めた者。

主な除外基準:

- (1) アレルギー疾患の既往歴のある者、アレルギー疾患の疑いのある者。
- (2) 過去6箇月以内に他の薬剤による臨床試験を受けた者。
- (3) 試験前3箇月以内に継続して薬物を服用した者及び試験期間中に薬物療法を必要とする者。
- (4) 試験前3箇月以内に200 mL以上の採血をされた者。
- (5) その他、医師が本試験参加に適当でないと判断した者。

被験薬、ロット番号:

治験薬: MP-1727

本剤は、バイアルA及びバイアルBの組み合わせ(セット)より成る(表2.7.6.2-1)。 バイアルAの内容物をバイアルBのバイアルに用時添加し、混和して調製する。 投与前に標識率を測定し、90%以下の場合は原則として試験には使用しないことと する。

表2.7.6.2-1 治験薬のセット構成

バイアル	1バイアル中の	
	成分	含量
A	塩化インジウム (¹¹¹ In)	111 MBq/mL(検定日時)
В	ペンテトレオチド	10 μg

ロット番号:050J3001、050J3002、050J3003

対照薬:該当なし

用法・用量:

投与量: 111 MBq

投与方法:静脈内投与(単回投与)

撮像方法:プラナー像-全身像:投与後30分、1、2、4、6、24及び48時間

胸部及び腹部像:投与後4、24及び48時間

SPECT像-投与後4及び24時間

治験方法:

観察・検査項目及び実施時期を表2.7.6.2-2に示した。

表2.7.6.2-2 観察・検査項目及び実施時期

-T 17	IB 6- 1/-	投与					投与後				
項目	投与前	1	30分	45分	1時間	2時間	4時間	6時間	8時間	24時間	48時間
安全性											
診察	\bigcirc		\circ			\circ	\circ		\bigcirc	\circ	
バイタルサイン	\bigcirc		\circ		\circ	\circ	\circ			\bigcirc	
臨床検査											
血液学的検査	\bigcirc									\circ	
血液生化学検査	\bigcirc									\circ	
尿検査	\bigcirc									\bigcirc	
副作用		\leftarrow		(投与前	前30分か	ら投与征	发24時間	まで)		\rightarrow	
薬物体内動態											
血中放射能 血漿		\bigcirc^{*1}		\circ	0	\circ	\circ	\circ	\bigcirc	\bigcirc	\bigcirc
全血		\bigcirc^{*2}	\bigcirc			\circ	\circ	\circ		\bigcirc	
尿中排泄		←				$\rightarrow \leftarrow$	\rightarrow				
血漿中代謝物		\bigcirc^{*2}	\bigcirc			\circ	\circ	\circ		\bigcirc	
尿中代謝物		←				$\rightarrow \leftarrow$	$\rightarrow \leftarrow$	$\rightarrow \leftarrow$	$\rightarrow \leftarrow$	\rightarrow	
全身プラナー撮像			0		0	0	0	0		\circ	0
撮像											
プラナー像 (胸腹部)							\circ			\circ	\circ
SPECT像							0			0	

^{*12、5、10、15}分 *25分

評価項目:

<安全性>

- (1) 医師の診察(問診、聴打診)
- (2) 臨床検査(血液学的検査、血液生化学検査及び尿検査)
- (3) バイタルサイン (体温、血圧、心拍数及び呼吸数)
- (4) 副作用(自他覚症状)

<薬物体内動態>

- (1) 血中放射能濃度(血漿及び全血)
- (2) 尿中排泄
- (3) 血漿及び尿中代謝物の検討
- (4) 体内分布(全身プラナー撮像)
- (5) 被ばく線量 (MIRD法)

統計手法:

各種検査値については、成績の推計学的分析が必要な場合には、適切なパラメトリック及び ノンパラメトリック検定を用い、有意水準は5%とした。血中濃度のデータは、1-又は2-コンパートメントモデルを用いて解析した。

要約一結論:

<被験者の内訳>

(1) 人口統計学的特性

解析対象の健康成人男性4名の被験者背景を表2.7.6.2-3に示す。

背景因子		解析対象被験者
性別	男性	4
年齢 (歳)	平均値 ±SD	20.3 ± 0.5
	範囲	20~21
身長 (cm)	平均値 ±SD	174.3 ± 4.8
	範囲	170~181
体重 (kg)	平均値 ±SD	63.8 ± 7.5
	範囲	55~70

表2.7.6.2-3 被験者背景

(2) 実投与量及び標識率

本剤の実投与量(平均値 \pm SD)は、 113 ± 7.2 MBq(ペンテトレオチドとして 12.3 ± 1.0 μ g)であった(表2.7.6.2-4)。また、標識率は 95.5 ± 1.3 %で、その分布は $93.7\sim97.7$ %であり、90%以下のものはなかった。

		全被験者
7111	亚梅德 I CD	
投与量 (MBq)	平均値 ± SD	113 ± 7.2
	範囲	106~121
ペンテトレオチド	平均值 ± SD	12.3 ± 1.0
投与量 (μg) [*]	範囲	10.5~13.0
標識率 (%)	平均値 ±SD	95.5 ± 1.3
	範囲	93.7~97.7

表2.7.6.2-4 実投与量及び標識率

<安全性>

副作用は認められなかった。

バイタルサインは、いずれの項目も正常範囲内の変動であり、異常は認められなかった。 臨床検査では、表2.7.6.2-5に示したように、本剤投与後に3項目(K、白血球数、P)で異常

^{*}被験者1名に対し、治験薬2セットを使用した。

変動ありと判定されたが、いずれも本剤との関連性はないと判断された。

表2.7.6.2-5 異	4常変動ありと	と判定された臨床検査
--------------	---------	------------

症例 No.	検査項目	正常範囲	投与前	投与後 24時間	追跡 調査	治験薬との 関連性	備考
1	K (mEq/L)	3.5~4.8	12.0↑	8.1↑	4.0	なし	採血~血清分離の手技 中に生じた溶血による 影響と考えられる。
2	白血球数 (10³/μL)	4.0~9.6	4.8	3.6↓	3.3↓	なし	-
3	P (mg/dL)	2.5~4.1	3.8	4.3↑	4.5↑	なし	_

↑:異常高値 ↓:異常低値

<薬物体内動態>

(1) 血中放射能濃度

血漿中放射能濃度は二相性の消失を示し(図2.7.6.2-1)、分布半減期($t_{1/2\alpha}$)及び消失半減期($t_{1/2\beta}$)はそれぞれ 9.2 ± 8.0 分及び 2.2 ± 0.4 時間であった。分布容積($V_{d\beta}$)は 0.25 ± 0.05 L/kgであり、細胞外液量にほぼ一致した。

血球中への移行は時間の経過にかかわらず、ほとんど認められなかった。

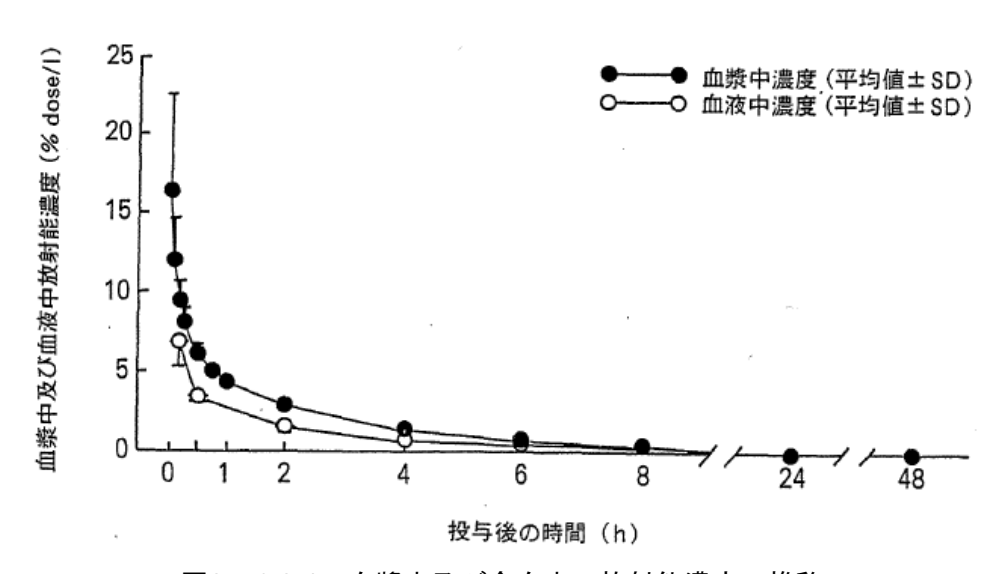
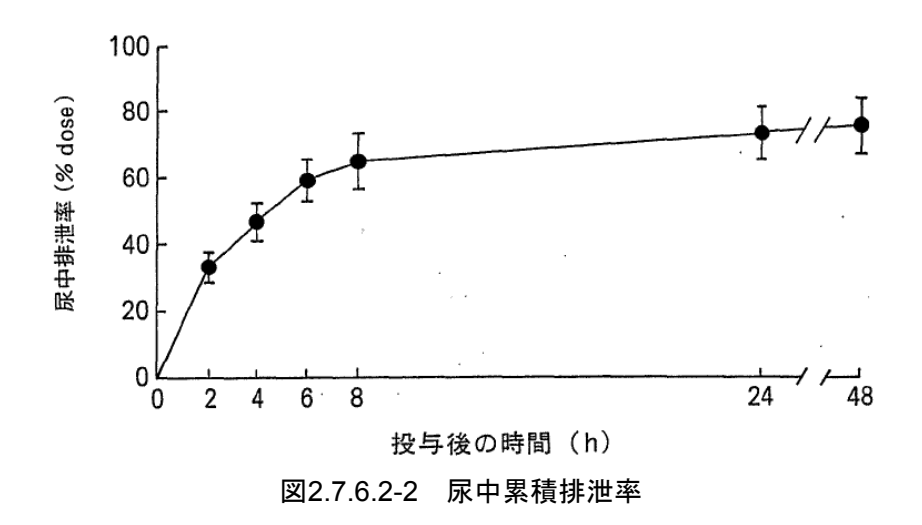


図2.7.6.2-1 血漿中及び全血中の放射能濃度の推移

(2) 尿中排泄

投与後24時間までの尿中累積排泄率は $73.0 \pm 8.3\%$ doseであり、その後の排泄は緩徐であった(図2.7.6.2-2)。腎クリアランス(92 ± 24 mL/min)は全身クリアランス(82 ± 12 mL/min)とほぼ等しく、腎からの排泄が主要排泄経路であることが示された。



(3) 血漿及び尿中代謝物

血漿中の代謝物は、放射能濃度が非常に低かったため検討できなかった。

尿中の代謝物は、表2.7.6.2-6に示すように、投与後6時間までは各分画中の総放射能の90%以上が未変化体であった。その後は、未変化体の割合は徐々に低下した。

分画未変化体の割合(%)0 ~ 2 時間96.2 ± 0.82 ~ 4 時間94.3 ± 1.44 ~ 6 時間90.8 ± 5.16 ~ 8 時間76.0 ± 7.18 ~ 24 時間60.7 ± 10.6

表2.7.6.2-6 尿中代謝物 (未変化体の割合)

(n=4、平均値 ± SD)

(4) 体内分布(全身プラナー撮像)

投与後30分の全身プラナー像では、心血液プール像が見られ、同時に腎臓、肝臓及び脾臓への集積が認められた(図2.7.6.2-3)。その後、心血液プール像は速やかに消失したが、腎臓、肝臓及び脾臓への集積は時間経過とともにより明瞭となった。投与後6時間までは結腸は描出されなかったが、24及び48時間像では結腸への排泄像が明らかとなった。

投与後30分の放射能を100%とした場合、全身放射能は投与後4時間で $47.1\pm3.5\%$ dose、24時間で $18.5\pm2.4\%$ doseであった(表2.7.6.2-7)。

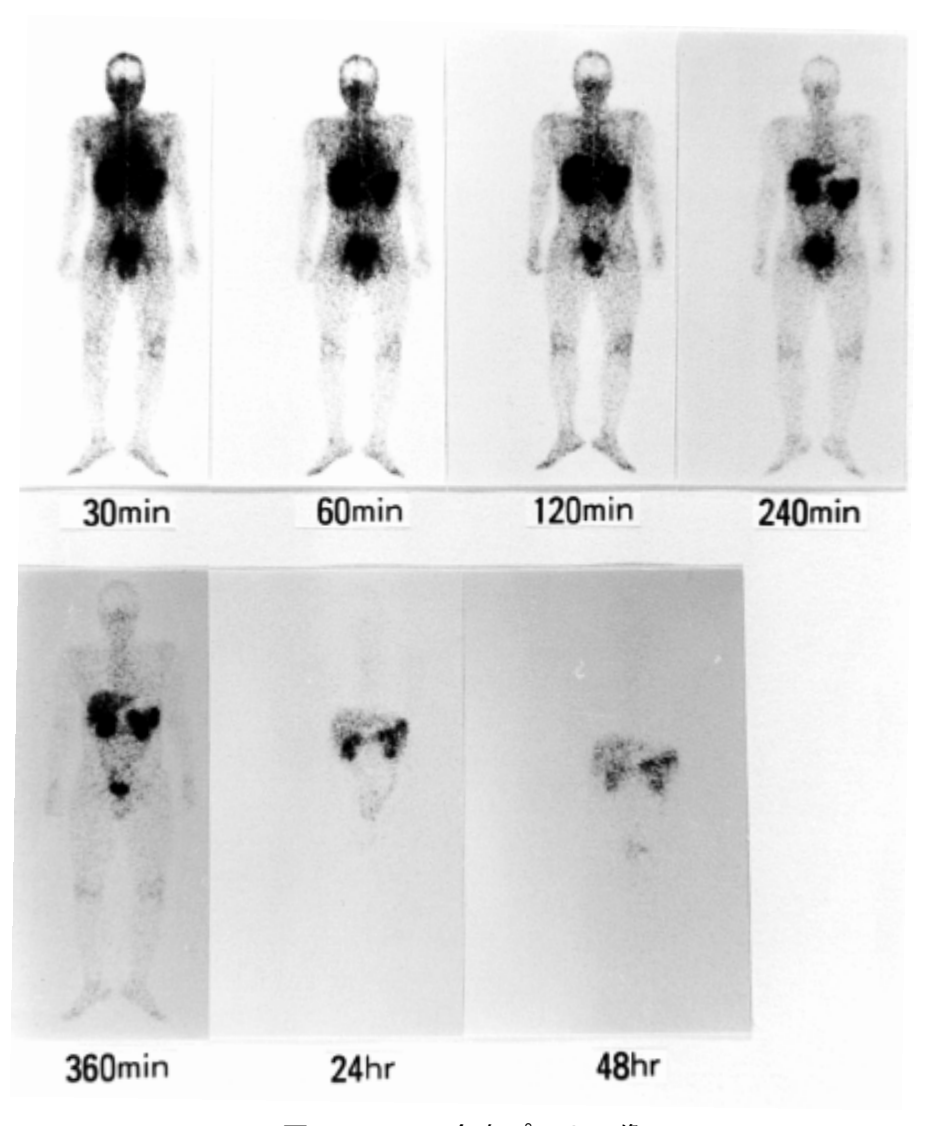


図2.7.6.2-3 全身プラナー像

表2.7.6.2-7 全身及び主要臓器の放射能分布

時間	全身	腎臓	肝臓	脾臓
30分	100	7.69 ± 3.19	5.96 ± 1.24	2.33 ± 0.79
1時間	95.9 ± 0.8	7.64 ± 4.29	5.16 ± 1.00	2.16 ± 0.74
2時間	64.6 ± 2.0	6.26 ± 2.51	4.33 ± 0.74	1.96 ± 0.86
4時間	47.1 ± 3.5	5.00 ± 1.43	3.28 ± 0.63	1.69 ± 0.94
6時間	34.1 ± 1.6	4.35 ± 0.49	2.76 ± 0.44	1.71 ± 0.78
24時間	18.5 ± 2.4	3.25 ± 0.22	1.93 ± 0.62	1.55 ± 0.80
48時間	16.5 ± 1.4	2.52 ± 0.12	1.62 ± 0.26	1.27 ± 0.78

(単位:%dose、n=4、平均値 ± SD)

(5) 被ばく線量

被ばく線量は、臓器別では膀胱が最も多く、以下、腎臓、脾臓、大腸下部及び肝臓の順であ

った(表2.7.6.2-8)。生殖腺及び骨髄への被ばく線量並びに全身の実効線量当量は、クエン酸ガリウム(67 Ga)の文献値より低値を示した。

表2.7.6.2-8 被ばく線量

11年11月	吸収線量	(mGy/37 MBq)
臓器 一	本剤	クエン酸ガリウム(⁶⁷ Ga)*
副腎	1.19 ± 0.18	
脳	0.68 ± 0.11	
乳腺	0.63 ± 0.077	
胆嚢	1.77 ± 0.26	
大腸下部	2.94 ± 1.42	9.0
小腸	1.57 ± 0.27	3.6
胃	1.42 ± 0.18	2.2
大腸上部	1.92 ± 0.72	5.6
心臓	1.12 ± 0.10	
腎臓	11.0 ± 1.12	4.1
肝臓	2.49 ± 0.49	4.6
肺	1.00 ± 0.094	
筋肉	1.03 ± 0.070	
卵巣	1.73 ± 0.21	2.8
膵臓	2.11 ± 0.40	
骨髄	1.13 ± 0.077	5.8
骨	1.45 ± 0.14	4.4
皮膚	0.61 ± 0.064	
脾臓	10.7 ± 6.70	5.3
精巣	1.09 ± 0.099	2.4
胸腺	0.86 ± 0.12	
甲状腺	0.82 ± 0.13	
膀胱	12.7 ± 0.17	
子宮	2.25 ± 0.094	
実効線量当量	3.26 ± 0.43	4.4*2
(mSv/37 MBq)		

^{*1} MIRD Dose Estimate Report No. 2. J Nucl Med. 1973;14:755-6.

結論:

副作用は認められなかった。バイタルサインに異常は認められず、臨床検査値はいずれの項目についても本剤投与によると思われる異常変動は認められなかった。

血漿中放射能濃度は二相性の消失を示し、血中から急速に消失した。腎臓が主要排泄経路で、 尿中への排泄は速やかであった。投与後6時間までは尿中放射能の90%以上が未変化体であった。

投与後30分の全身プラナー像では、心血液プール像が見られ、同時に腎臓、肝臓及び脾臓へ

^{*2} ICRP Publication No. 53

の集積が認められた。その後、心血液プール像は速やかに消失したが、腎臓、肝臓及び脾臓への集積は時間経過とともにより明瞭となった。投与後6時間までは結腸は描出されなかったが、24及び48時間像では結腸への排泄像が明らかとなった。

本剤投与による被ばく線量は、臓器別では膀胱が最も多く、以下、腎臓、脾臓、大腸下部及び肝臓の順であった。生殖腺及び骨髄への被ばく線量並びに全身の実効線量当量はクエン酸ガリウム (⁶⁷Ga) より低値を示した。

2.7.6.3 91-139臨床薬理試験(海外第Ⅲ相臨床試験)[参考資料]

......添付資料5.3.4.2.1

本試験は、第Ⅲ相臨床試験の一部として、インジウムペンテトレオチド(¹¹¹In)の内分泌機能への影響を検討するために実施されたものである。

治験の標題:

Human pharmacology study. Influence of the administration of small doses of Pentetreotide on serum hormone levels.

治験実施施設及び治験責任医師:

Switzerland

公表文献:

該当なし

治験期間:

19 年 月 日~19 年 月 日

開発のフェーズ:

第Ⅲ相

目的:

診断用量のペンテトレオチドが血清中ホルモン値に与える影響を検討する。

試験デザイン:

オープン試験

被験者数(計画時及び解析時):

投与被験者数:8名 (第Ⅲ相臨床試験に参加した20名のうちの8名)

評価対象被験者数:8名

対象疾患:

神経内分泌腫瘍

主な選択基準:

下記の条件の少なくとも1つを満たす患者。なお、年齢、性別及び妊娠の有無は問わなかった。

- (1) 胃腸膵のNETの臨床診断が陽性である。内分泌活性が証明されているが、最新の局在診 断法でも腫瘍の場所が明らかではない。
- (2) 内分泌活性を示さないが、胃腸膵の内分泌腺を起源とする腫瘍の場所が明らかで、組織学的診断が陽性である。腫瘍の種類は転移を起こすことが知られている。
- (3) 内分泌学的に活性な胃腸膵領域の腫瘍の臨床診断が陽性である。内分泌活性が証明されており、腫瘍の種類は転移を起こすことが知られている。
- (4) 異所性の胃腸膵ホルモン産生腫瘍(気管支、喉頭、卵巣、縦隔又はリンパ節のカルチノイド)の臨床診断が陽性である。

主な除外基準:

- (1) 確定的な局在診断が得られない(外科的診査又は生検が行われない)可能性が高い患者。
- (2) シンチグラフィに耐えられないと考えられる患者。
- (3) 臨床情報が十分でないため、臨床診断を下すことができない患者。

被験薬:

治験薬: OctreoScan® 111 (以下、本剤)

対照薬:該当なし

用法・用量:

投与量:ペンテトレオチドとして10 μg

投与方法:静脈内投与(単回投与)

併用療法:オクトレオチド酢酸塩は本剤投与3日前より休薬

治験方法:

本剤(ペンテトレオチドとして10 μ g)を静脈内に単回投与し、投与前5分、投与後5、10、15、30、60、120分及び24時間に採血し、血清中ホルモンを測定した。

評価項目:

<血清ホルモン測定>

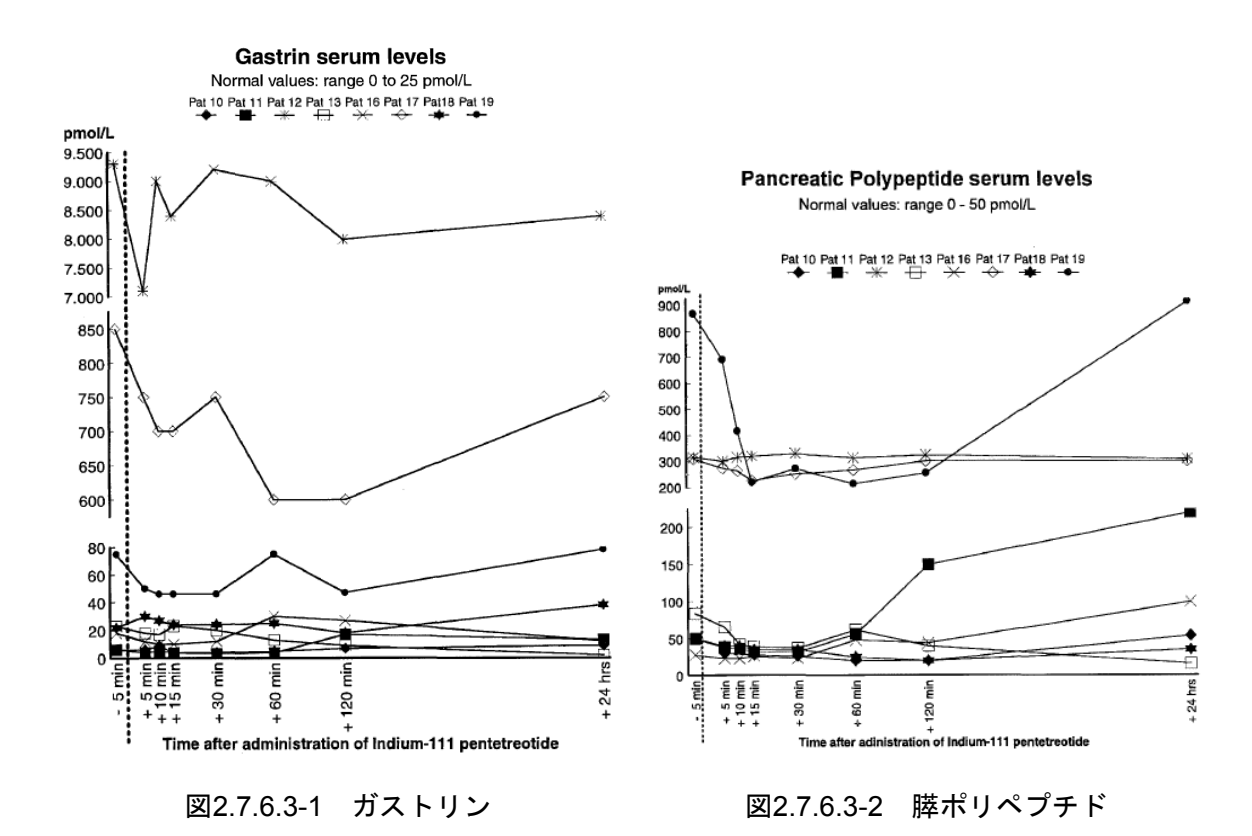
ガストリン、膵ポリペプチド、ニューロテンシン、血管作動性腸管ペプチド、ガストリン放出ペプチド、ソマトスタチン、サブスタンスP、成長ホルモン放出因子、ニューロキニンA、ペプチドチロシンチロシン、クロモグラニンB関連ペプチド、グルカゴン

要約一結論:

各ホルモンの測定値の推移を図2.7.6.3-1~図2.7.6.3-12に示す。

本剤投与後に、一部の被験者でホルモン値の低下が見られた。明らかな低下を示したのはガストリンであり、8名中3名で低下が見られた。この低下は、食事の影響も否定できないが、本剤投与後速やかに認められたことから、本剤の投与が関連していると考えられた。この他、膵ポリペプチド、ニューロテンシン、ニューロキニンA及びクロモグラニンB関連ペプチドでは、偶発的と思われる低下が見られた。これ以外のホルモンでは、変動は見られなかったか、あっても不明瞭であった。

本剤投与前のホルモン値が生理的範囲内であった被験者では、投与後のホルモン値の変動は 生理的範囲内に留まり、臨床的に問題と思われる低下は見られなかった。本剤投与前のホルモン値が異常高値であった被験者では、投与後のホルモン値の低下幅はより大きかったが、低下 していた期間は限定的であり、本剤投与後24時間には投与前の値に回復した。



30

Neurotensin serum levels

Normal values: range 0 - 50 pmol/L

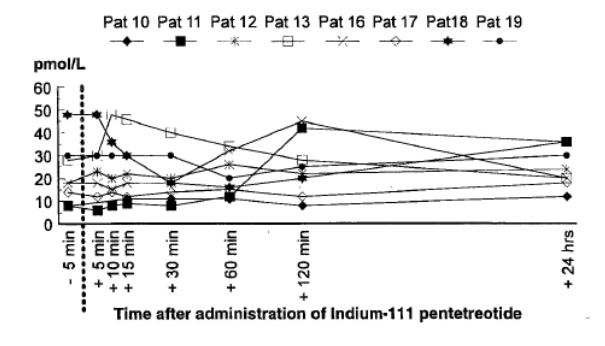


図2.7.6.3-3 ニューロテンシン

Vasoactive Intestinal Peptide serum levels

Normal values: range 0 - 25 pmol/L

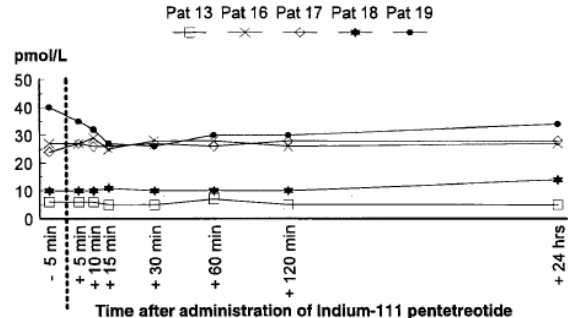


図2.7.6.3-4 血管作動性腸管ペプチド

Bombesin serum levels

Normal values: range 0 - 50 pmol/L

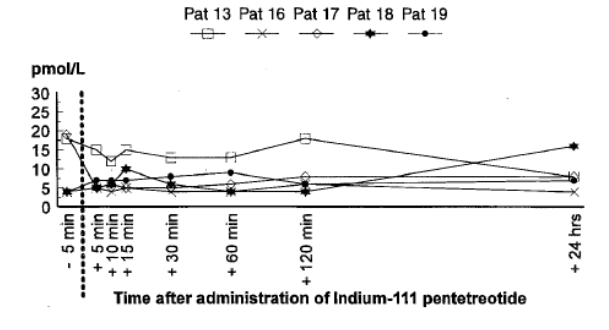


図2.7.6.3-5 ガストリン放出ペプチド

Somatostatin serum levels

Normal values: range 0 - 50 pmol/L

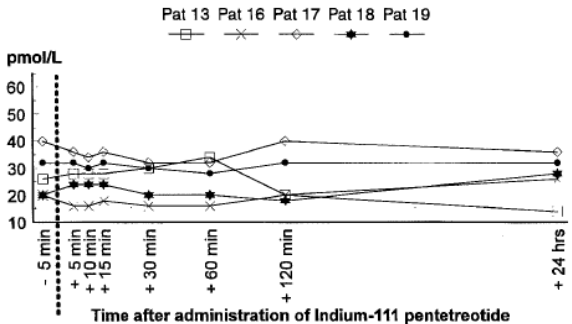


図2.7.6.3-6 ソマトスタチン

Substance P serum levels

Normal values: range 0 - 50 pmol/L

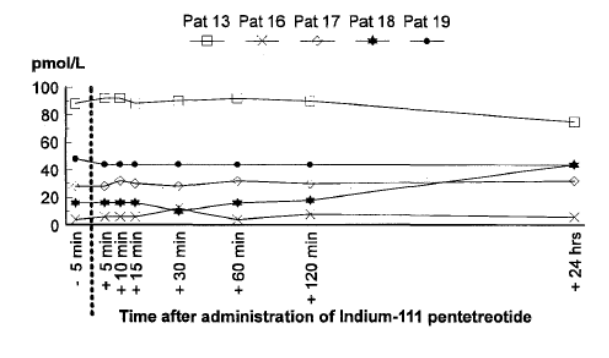


図2.7.6.3-7 サブスタンスP

Growth Hormone Release Factor serum levels

Normal values: range 0 - 75 pmol/L

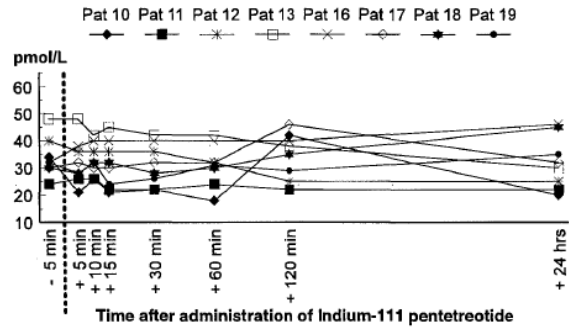


図2.7.6.3-8 成長ホルモン放出因子

Neurokinin A serum levels

Normal values: range 0 - 75 pmol/L

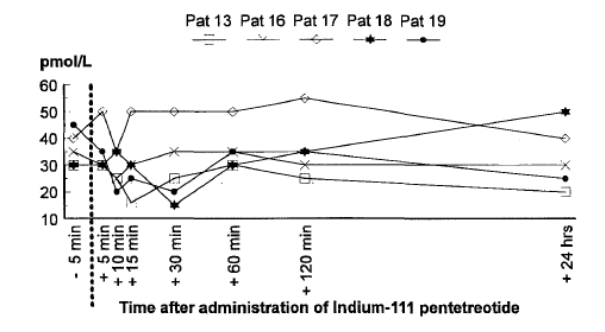


図2.7.6.3-9 ニューロキニンA

Peptide Tyr-Tyr serum levels

Normal values: range 0 - 50 pmol/L

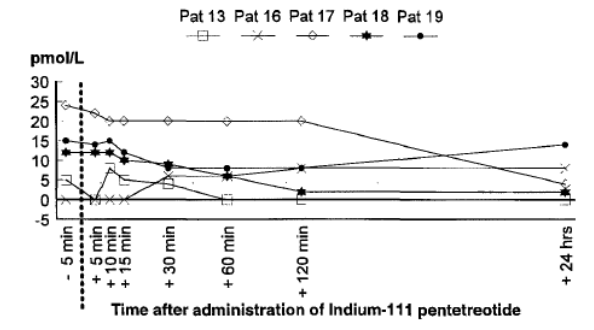


図2.7.6.3-10 ペプチドチロシンチロシン

Chromogranin-b sequence serum levels

Normal values: range 0 - 150 pmol/L

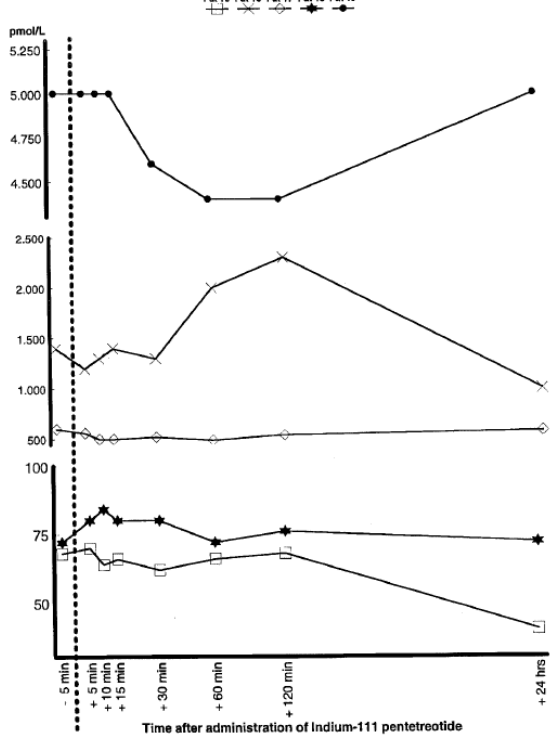


図2.7.6.3-11 クロモグラニンB関連ペプチド

Glucagon serum levels Normal values: range 0 - 50 pmol/L

.

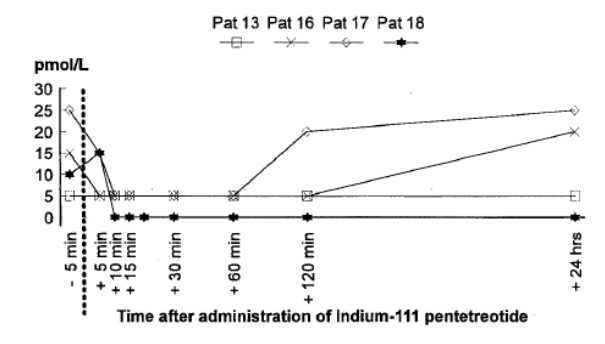


図2.7.6.3-12 グルカゴン

結論:

本剤投与後に一部の被験者でホルモン値の低下が見られたが、その程度及び持続時間は限定的であった。

2.7.6.4 第Ⅲ相臨床試験 [参考資料]

......添付資料5.3.5.2.1

治験の標題:

MP-1727の消化管ホルモン産生腫瘍を対象とした第Ⅲ相臨床試験

治験実施計画書番号:

MP-1727-03

治験総括医師:

京都大学・福井医科大学 名誉教授 鳥塚莞爾

治験責任医師:

北海道大学医学部附属病院 核医学科 、他19名

治験実施施設:

北海道大学医学部附属病院 核医学科、他19施設

公表文献:

山本和高, 他. ¹¹¹In-DTPA-D-Phe-octreotideの消化管ホルモン産生腫瘍を対象とした第Ⅲ相臨床試験. 核医学1995;32(11):1269-80.

治験期間:

1994年 (平成6年) 12月~1995年 (平成7年) 3月

開発のフェーズ:

第Ⅲ相

目的:

消化管ホルモン産生腫瘍患者を対象として、MP-1727(以下、本剤)の腫瘍の局在診断における投与量及び撮像方法について検討し、有効性、安全性及び有用性を評価する。

試験デザイン:

多施設共同オープン試験

被験者数(計画時及び解析時):

目標被験者数:20~30名

【設定根拠】対象である消化管ホルモン産生腫瘍の推定患者数が非常に少ないことを勘案し、 有効性(陽性率)の推定が可能な被験者数として20~30名と設定した。

投与被験者数:23名 完了被験者数:23名

評価対象被験者数:23名(有効性21名、安全性23名、有用性21名)

対象疾患:

消化管ホルモン産生腫瘍

選択基準:

- (1) 消化管ホルモン産生腫瘍(カルチノイド、インスリノーマ、ガストリノーマ、グルカゴノーマ、VIPオーマ、ソマトスタチノーマ)の患者で、CT、MRI、血管造影等の画像診断法により腫瘍の局在部位が確認されている患者。但し、気管支カルチノイドは除く。腫瘍の局在部位の診断は、治験開始前2週間以内に実施することとし、CTを必ず実施する。
- (2) 年龄20~65歳。
- (3) 性別、入院・外来の別は問わない。

除外基準:

- (1) 妊婦、妊娠している可能性のある患者及び授乳中の患者。
- (2) 感染症等の重篤な合併症を有する患者。
- (3) 肝臓又は腎臓に高度な機能障害を有する患者。
- (4) 一般状態 (Performance Status) ¹がgrade 4の患者 (身の回りのこともできず、常に介助がいり、終日就寝を必要としている)。
- (5) 薬物等に対する重篤な過敏症のある患者。
- (6) 1箇月以内に他の治験薬の投与を受けた患者。
- (7) 治験担当医師が対象として不適当と判断した患者。

被験薬、ロット番号:

治験薬: MP-1727

本剤は、バイアルA及びバイアルBの組み合わせ(セット)より成る(表2.7.6.4-1)。 バイアルAの内容物をバイアルBのバイアルに用時添加し、混和して調製する。 投与前に標識率を測定し、90%以下の場合は原則として試験に使用しないこととする。

¹ 一般状態 (Performance Status) : 日本癌治療学会「固形がん化学療法直接効果判定基準」日本臨床 1987 年 47 巻増刊号: 1261-6 から引用。

表2.7.6.4-1 治験薬のセット構成

バイアル	1バイアル中の	
	成分	含量
A	塩化インジウム (¹¹¹ In)	111 MBq/mL(検定日時)
В	ペンテトレオチド	10 μg

ロット番号:23882~25628

対照薬:該当なし

用法・用量:

投与量: 111 MBq

但し、安全性を再確認するため、最初の4名には74 MBqの投与を行った。

投与方法:静脈内投与(単回投与)

撮像方法:プラナー撮像-本剤投与後4、24及び48時間に全身像(前面及び後面像)並びに本 剤投与前の画像診断で腫瘍が確認された部位及び全身像での陽性部位についてス

ポット像(少なくとも前面ないし後面像)を撮像した。

SPECT撮像-全身像で陽性部位が認められた場合及び診断確定のために必要と判断された場合には、本剤投与後4~48時間の適当な時期に、対応する部位を含む領域のSPECT像を少なくとも1回撮像した。

併用療法: オクトレオチド酢酸塩は、可能であれば、本剤投与72時間前より休薬するのが望ましいとした。

治験方法:

観察・検査項目及び実施時期を表2.7.6.4-2に示した。

表2.7.6.4-2 観察・検査項目及び実施時期

塔口	机上台			投与後		
項目 	投与前 -	30分	1時間	4時間	24時間	48時間
撮像 プラナー像: 全身像				0	0	0
スポット像				\triangle	\triangle	\triangle
SPECT像				\leftarrow	\triangle^*	\rightarrow
バイタルサイン	0	\circ	\circ		0	
副作用·随伴症状	\circ	\circ	\circ		\bigcirc	
臨床検査	\circ				\circ	

[△] 本剤投与前の画像診断で腫瘍が確認された部位及び全身像での陽性部位についてスポット像(少なくとも前面ないし後面像)を撮影する。

 $[\]triangle^*$ 全身像で陽性部位が認められた場合及び診断確定のために必要と判断された場合に、対応する部位を含む領域のSPECT像を少なくとも1回撮像する。

評価項目:

(1) 画質

投与後4、24及び48時間に撮像したプラナー像及びSPECT像の画質を3段階(1.優良 2.良 3. 不良)で判定した。

- (2) 投与量及び撮像時期
 - 1) 投与量

画質、撮像に要した時間等を総合して3段階(1.多すぎる 2.適量である 3.少なすぎる)で判定した。

2) 撮像時期

画質、放射能の体内分布の推移、撮像に要した時間等を総合して投与後4、24及び48時間の各撮像時期のうちから最適と思われる撮像時期(1時点又は2時点以上の組み合わせ)を判定した。

- (3) 有効性
 - 1) 症例毎及び部位毎の診断能

本剤によるシンチグラフィ(以下、本検査)の結果と本検査前の画像診断の結果を比較し、個々の症例又は腫瘍部位について、それぞれの診断能を以下の基準により判定した。評価は、非盲検下で施設担当医が実施した他に、医療機関から提出された画像に基づいて、読影委員会でも実施した。読影委員会は4名の核医学医から構成され、4名が協議して評価した。読影委員会では、患者情報の盲検下で判定した後に、非盲検下で再度判定した。読影委員会による非盲検下での評価が施設担当医と一致しなかった症例については、読影委員会後に施設担当医に再評価を依頼した。施設担当医の再評価結果が読影委員会の評価と一致しなかった場合には、読影委員会は施設担当医から提供された新たな情報を加えて再読影した。最終的な診断能の評価は、症例記録に記載された、読影委員会の評価も踏まえた施設担当医の評価とした。

①症例毎の診断能

有効:少なくとも1つの真陽性の部位が検出された場合

無効: 偽陰性、偽陽性の部位のみの場合

判定不能: 偽陰性、偽陽性と未確認陽性の部位のみの場合

②部位毎の診断能

真陽性: 本検査前の画像診断、本検査とも陽性の場合あるいは事前の画像診断が

陰性、本検査が陽性で追跡調査により病巣が確認できた場合

偽陽性: 本検査前の画像診断が陰性、本検査が陽性で、追跡調査により病巣が確

実に否定された場合

偽陰性: 本検査前の画像診断が陽性、本検査が陰性の場合

真陰性: 本検査前の画像診断、本検査とも陰性の場合

未確認陽性: 本検査前の画像診断が陰性、本検査が陽性で、追跡調査が未実施あるい

は追跡調査により病巣が否定できなかった場合

		本検査前の)画像診断
		陽性	陰性
本検査	陽性	真陽性	未確認陽性又は 偽陽性*1又は真陽性*2
	陰性	偽陰性	真陰性

表2.7.6.4-3 部位毎の陽性、陰性の判定基準

2) 治療方法の変更・追加

本検査を実施した結果として治療方法の変更又は追加を行った場合は、変更内容(手術の実施又は中止、オクトレオチド酢酸塩の投与開始等)を記録した。

(4) 安全性

- 1) 副作用·随伴症状(自他覚症状)
- 2) 臨床検査(血液学的検査、血液生化学検査、尿検査)
- 3) バイタルサイン (体温、血圧、脈拍数、呼吸数)

(5) 総合評価

1) 有効性

本検査の画質、症例毎及び部位毎の診断能、治療方法の変更・追加を総合して、本剤の腫瘍の局在診断における有効性を4段階(1.極めて有効な情報が得られた 2.有効な情報が得られた 3.有効な情報が得られなかった 4.判定不能)で判定した。

2) 安全性

バイタルサイン、自他覚症状、臨床検査及び副作用を総合して、5段階(1.全く問題がない 2.やや問題がありうる 3.問題がありうる 4.重大な問題がありうる 5.判定不能)で判定した。

3) 有用性

有効性及び安全性を総合的に判断し、6段階(1.極めて有用 2.有用 3.やや有用 4.無用 5.禁使用 6.判定不能)で判定した。

統計手法:

(1) 評価対象集団

有効性及び安全性:治験薬が投与され、治験実施計画書に適合した集団とした。治験実施計画書に適合した集団から除外する被験者は、選択・除外基準、本検査の撮像方法、臨床検査等に関わる逸脱内容を勘案し、治験総括医師及び幹事会の医師から構成された症例検討幹事会で決定した。

有用性:有効性及び安全性の両評価対象に該当する被験者とした。

^{*1} 追跡調査により病巣が確実に否定された場合

^{*2} 追跡調査により病巣が確認できた場合

(2) 解析方法

バイタルサイン及び臨床検査値について解析を実施した。解析方法はpaired t検定を用い、有意水準は5%とした。

要約一結論:

<被験者の内訳>

(1) 人口統計学的特性

評価対象23名の被験者背景を表2.7.6.4-4に示す。

表2.7.6.4-4 被験者背景

背景因子		評価対象被験者
性別	男性	10
	女性	13
入院・外来	入院	16
	外来	7
年齢 (歳)	平均値 ± SD	51.9 ± 13.4
身長 (cm)	平均値 ± SD	158.9 ± 12.0
体重 (kg)	平均値 ± SD	55.2 ± 13.8
疾患名	カルチノイド	11*1*2
	ガストリノーマ	7*2
	インスリノーマ	5

^{*&}lt;sup>1</sup> 原発部位: 膵1名、胃3名、直腸1名、肺2名、胸腺1名、肝1名、不明2名

(2) 実投与量及び標識率

投与量の内訳は74 MBq群が4名、111 MBqが19名であった(表2.7.6.4-5)。全被験者における実投与量(平均値 \pm SD)は113.5 \pm 14.2 MBqであった。また、標識率は96.9 \pm 1.8%で、その分布は90.4~99.0%であり、90%以下のものはなかった。

有効性解析対象21名における投与量の内訳は、74 MBq群が4名、111 MBqが17名であった。

表2.7.6.4-5 実投与量及び標識率

項目		74 MBq群	111 MBq	全被験者
· · · · · · · · · · · · · · · · · · ·		(n = 4)	(n = 19)	(n = 23)
投与量 (MBq)	平均値 ± SD	82.3 ± 13.4	120.1 ± 14.2	113.5 ± 20.1
_	範囲	67.6~99.9	91.4~156.1	67.6~156.1
標識率 (%)	平均値 ± SD	96.7 ± 1.2	97.0 ± 2.0	96.9 ± 1.8
	範囲	95.6~98.1	90.4~99.0	90.4~99.0

^{*2} 有効性及び有用性評価対象より1名除外

<画質>

病巣が検出された14名での画質の評価を表2.7.6.4-6に示す。プラナー像では、「優良」の比率は投与後4時間が最も高く(36/46件)、投与後24時間でやや低下し、投与後48時間ではさらに低下した。投与後4及び24時間では「不良」の判定は1件もなかったが、投与後48時間では44件中12件に「不良」の判定が見られた。SPECT像も類似の傾向を示した。

の評価

画像の種類	画質		撮像時期				
四隊の種類	四貝	投与後4時間	投与後24時間	投与後48時間			
プラナー像	優良	36	32	20			
	良	10	13	12			
	不良	0	0	12			
	合計	46	45	44			
SPECT像	優良	7	8	0			
	良	5	7	2			
	不良	1	1	1			
	合計	13	16	3			

<投与量及び撮像時期>

投与量及び撮像時期の評価を表2.7.6.4-7に示す。病巣が検出された14名(74 MBq群3名、111 MBq群11名)において、投与量は、13名で「適量である」、1名(111 MBq群)で「少なすぎる」と判定された。最適と判定された撮像時期は、「投与後4及び24時間」の組み合わせが最も多く(8/14名)、その他は「投与後24時間」が3名で、「投与後4時間」、「投与後24及び48時間」、「投与後48時間」が各1名であった。

表2.7.6.4-7 投与量及び撮像時期の評価

			投与群	
項目	判定	74 MBq	111 MBq	合計
		(n = 3)	(n = 11)	(n = 14)
投与量	多すぎる	0	0	0
	適量である	3	10	13
	少なすぎる	0	1	1
最適な撮像時期	投与後4及び24時間	2	6	8
	投与後24時間	1	2	3
	投与後4時間	0	1	1
	投与後24及び48時間	0	1	1
	投与後48時間	0	1	1

<有効性>

(1) 症例毎及び部位毎の診断能

1) 症例毎の診断能

症例毎の診断能の評価を表2.7.6.4-8に示す。カルチノイドでは10名中8名(80.0%)、ガストリノーマでは6名中6名(100%)、インスリノーマでは5名中2名(40.0%)で「有効」と判定され、全体の有効率は76.2%(16/21名)であった。

登録時の検査では病変の存在が確認又は強く示唆されたものの本検査が陰性で、本検査後に実施した手術でも病変が認められず、真陰性と判定された2名(カルチノイド及びガストリノーマ各1名)を除く19名での有病正診率は、カルチノイドでは77.8%(7/9名)、ガストリノーマでは100%(5/5名)、インスリノーマでは40.0%(2/5名)で、全体では73.7%(14/19名)であった。

3名(カルチノイド、ガストリノーマ及びインスリノーマ各1名)では、CT、MRI等による 事前の画像診断では検出されなかった病巣が新たに確認された。

表2.7.6.4-8	症例毎の診断能
1X2.1.U.T U	

疾患名	被験者数	有効	無効	判定不能	有効率 (%)
カルチノイド	10	8*	2	0	8/10 (80.0)
ガストリノーマ	6	6*	0	0	6/6 (100)
インスリノーマ	5	2	3	0	2/5 (40.0)
合計	21	16	5	0	16/21 (76.2)

^{*} 真陰性と判定されたカルチノイド及びガストリノーマの各1名は「有効」に含めた。

2) 部位毎の診断能

部位毎の診断能の評価を表2.7.6.4-9に示す。本検査及び本検査前の画像診断との一致率(真陽性及び真陰性の比率)は、カルチノイドでは83.3%(25/30部位)、ガストリノーマでは100%(11/11部位)、インスリノーマでは55.6%(5/9部位)で、全体では82.0%(41/50部位)であった。本検査で初めて陽性となった部位が10箇所(カルチノイド、ガストリノーマ及びインスリノーマ各1名)に認められ、追跡調査により3部位(2名)が真陽性と判定された。残りの7部位(1名)は確認できなかったため、未確認陽性と判定されたが、担当医師によって病巣は確実に存在すると判断された。

表2.7.6.4-9 部位毎の診断能

疾患名	真陽性	偽陽性	偽陰性	真陰性	一致率 (%)	未確認陽性
カルチノイド	24	0	5	1	25/30 (83.3)	0
ガストリノーマ	10	0	0	1	11/11 (100)	7
インスリノーマ	5	1	3	0	5/9 (55.6)	0
合計	39	1	8	2	41/50 (82.0)	7

(2) 治療方法の変更・追加

病巣が検出された14名中6名で治療方法の変更・追加が行われ、内訳は手術の実施、手術の 実施考慮が各1名、肝動注療法の実施考慮が1名、オクトレオチド酢酸塩の投与開始が2名及び オクトレオチド酢酸塩の使用考慮が1名であった。

<安全性>

(1) 副作用·随伴症状

本剤が投与された23名のうち3名(13.0%)に3件の自覚症状が認められ(表2.7.6.4-10)、このうちほてり及び熱感の各1名(4.3%)1件、計2名(8.7%)2件が副作用と判定された。2件とも症状は軽度で、いずれも投与後3分に発現した後、無処置にて速やかに消失した。他の頭痛1件は、投与から発現までの時間が長く、本剤投与との関連性は否定された。

表2.7.6.4-10 副作用·随伴症状

症例 No.	副作用・随 報告書記載	i伴症状 用語集*	- 程度	発現時期 持続時間/処置/転帰	治験薬との関連性
06	ほてり	ほてり	軽度	投与後3分に発現 約1分間で無処置にて消失	疑われる
18	口周囲の熱感	熱感	軽度	投与後3分に発現 5分間で無処置にて消失	あり
17	頭痛	頭痛	軽度	投与後1時間に発現 1時間で無処置にて消失	ないらしい

^{*}MedDRA/J ver. 17.1 基本語 (PT)

(2) 臨床検査

臨床検査で「異常変動あり」と判定された12項目15件の一覧を表2.7.6.4-11に示す。このうち、AST及びALTがそれぞれ16から41 (U/L) 及び20から38 (U/L) に上昇した2件は本剤投与との関連性が「不明」とされたが、その他の13件はいずれも「なし」又は「ないらしい」と判定され、本剤投与との関連性は否定された。

表2.7.6.4-11 臨床検査値の異常変動一覧

症例 No.	検査項目	正常範囲	投与前	投与後 24時間	追跡調査	治験薬との 関連性
02	AST (GOT)	10∼27 (U/L)	16	41	65	不明
					(投与後5箇月)	
	ALT (GPT)	6∼34 (U/L)	20	38	86	不明
					(投与後5箇月)	
03	好酸球	0~7(%)	6	10	なし	なし
	尿蛋白	(-)	(-)	(±)	(-)	なし
					(投与後1.5箇月)	
04	白血球数	$4000 \sim 8000 (\text{/mm}^3)$	7700	8300	なし	なし
07	尿酸	2.4~5.4 (mg/dL)	4.9	6.4	なし	ないらしい
	クレアチニン	$0.5 \sim 1.0 (\text{mg/dL})$	0.9	1.2	なし	ないらしい
08	赤血球	$380\sim480~(\times10^4/\text{mm}^3)$	382	361	なし	ないらしい
	ヘモグロビン	$12 \sim 16 (g/dL)$	12.1	11.5	なし	ないらしい
	ヘマトクリット	35~48 (%)	36.6	34.5	なし	ないらしい
	尿蛋白	(-)	(-)	(±)	なし	ないらしい
14	尿蛋白	(-)	(±)	(+)	なし	なし
22	尿糖	(-)	(-)	(±)	(-)	なし
					(投与後9日目)	
23	総タンパク	6.8~8.2 (g/dL)	7.1	6.4	なし	なし
	尿糖	(-)	(-)	(±)	なし	なし

臨床検査値のpaired t検定による解析結果を表2.7.6.4-12に示す。投与前値と比較して8項目に 有意差が認められたが、いずれも変動幅はわずかであり、本剤投与との関連性は否定された。

表2.7.6.4-12 臨床検査値の推移

項目		被験者数	投与前 (平均 ± SD)	投与後24時間 (平均 ± SD)	paired t検定
赤血球	$(\times 10^4/\text{mm}^3)$	23	411 ± 83	406 ± 57	n.s.
ヘモグロビン	(g/dL)	23	12.7 ± 2.5	12.4 ± 2.5	p < 0.05
ヘマトクリット	(%)	23	38.3 ± 7.4	37.5 ± 7.1	p < 0.05
白血球	$(/mm^3)$	23	6136 ± 2552	5884 ± 1990	n.s.
血小板	$(\times 10^4/\text{mm}^3)$	23	24.0 ± 9.9	24.1 ± 10.0	n.s.
好中球	(%)	23	61.1 ± 13.3	62.5 ± 10.8	n.s.
好酸球	(%)	23	1.9 ± 1.4	2.3 ± 2.2	n.s.
好塩基球	(%)	22	0.7 ± 0.6	0.6 ± 0.6	n.s.
リンパ球	(%)	23	29.2 ± 11.7	27.7 ± 9.9	n.s.
単球	(%)	23	6.1 ± 2.9	5.6 ± 2.3	n.s.
AST (GOT)	(U/L)	23	25 ± 11	25 ± 10	n.s.
ALT (GPT)	(U/L)	23	31 ± 34	31 ± 34	n.s.
Al-P	(U/L)	23	273 ± 173	266 ± 166	n.s.
γ-GTP	(U/L)	23	50 ± 53	50 ± 52	n.s.
総コレステロール	(mg/dL)	23	176 ± 35	172 ± 36	p < 0.05
総タンパク	(g/dL)	23	6.7 ± 0.6	6.6 ± 0.6	n.s.
アルブミン	(g/dL)	23	3.9 ± 0.6	3.9 ± 0.6	n.s.
LDH	(U/L)	23	286 ± 83	277 ± 82	p < 0.05
総ビリルビン	(mg/dL)	23	0.53 ± 0.19	0.46 ± 0.16	p < 0.01
尿酸	(mg/dL)	22	4.2 ± 1.1	4.4 ± 1.3	n.s.
BUN	(mg/dL)	23	15.3 ± 5.5	16.0 ± 5.4	n.s.
クレアチニン	(mg/dL)	23	0.77 ± 0.20	0.78 ± 0.21	n.s.
Na	(mEq/L)	23	142 ± 2.4	141 ± 2.3	p < 0.05
K	(mEq/L)	23	4.3 ± 0.4	4.1 ± 0.3	p < 0.05
Cl	(mEq/L)	23	105 ± 3	104 ± 3	p < 0.05
Ca	(mg/dL)	21	9.1 ± 0.5	9.0 ± 0.6	n.s.
P	(mg/dL)	21	3.4 ± 0.6	3.5 ± 0.6	n.s.

n.s.: 有意差なし

(3) バイタルサイン

個々の被験者について、本剤投与と関連したバイタルサインの異常変動は認められなかった。 表2.7.6.4-13にpaired t検定による解析結果を示す。投与前値と比較して体温、収縮期血圧及び 脈拍数について投与30分後又は1時間後に有意差が認められたが、いずれも変動幅はわずかで あり、正常範囲内の変動と判断された。

項目	被験者数	投与前	30分後	1時間後	24時間後
体温 (℃)	22	36.4 ± 0.4	$36.1 \pm 0.5^{*1}$	36.2 ± 0.4	36.4 ± 0.4
収縮期血圧 (mmHg)	23	123 ± 16	120 ± 15	$118 \pm 17^{*1}$	121 ± 16
拡張期血圧 (mmHg)	23	77 ± 10	75 ± 12	73 ± 13	74 ± 11
脈拍数 (拍/分)	23	72 ± 9	$67 \pm 11^{*2}$	71 ± 10	73 ± 10
呼吸数 (回/分)	23	16 ± 4	16 ± 4	16 ± 4	16 ± 3

表2.7.6.4-13 バイタルサインの推移

paired t検定 *1 p < 0.05、*2 p < 0.01

(平均值 ± SD)

<総合評価>

(1) 有効性

評価対象21名のうち7名が「極めて有効な情報が得られた」、9名が「有効な情報が得られた」と判定され、これらの合計は全体の76.2%(16/21名)であった。その他の5名においては「有効な情報が得られなかった」と判定された。

(2) 安全性

評価対象の全23名(111 MBq群19名、74 MBq群4名)が「全く問題がない」と判定された。

(3) 有用性

評価対象21名のうち7名が「極めて有用」、9名が「有用」と判定され、これらの合計は全体の76.2%(16/21名)であった。その他の5名は「無用」と判定された。

結論:

画質は、病巣が検出された14名で、プラナー像、SPECT像とも「優良」の比率は投与後4時間が最も高く、その後は24時間、48時間と時間が経過するに伴い、「良」又は「不良」が増加する傾向を示した。

投与量は、病巣が検出された14名中13名で「適量である」と判定され、今回設定した74 MBq 又は111 MBgで十分適量であると考えられた。

最適と判定された撮像時期は、投与後4及び24時間の組み合わせが最も多く、投与後4及び24時間の組み合わせを基本として投与後48時間の撮像は適宜考慮するのが適当と考えられた。

症例毎の診断能は、全評価対象での有効率は76.2%(16/21名)、有病正診率は73.7%(14/19名)であった。部位毎の診断能は、他の画像診断との一致率は全体で82.0%(41/50部位)であった。病巣が検出された14名中6名で手術の実施、オクトレオチド酢酸塩の投与開始を含む治療方法の変更・追加が行われた。以上を総合して、評価対象21名中16名(76.2%)で「極めて有効な情報が得られた」又は「有効な情報が得られた」と判定された。

副作用として、ほてり及び熱感が各1名(4.3%)に1件、計2名(8.7%)に2件認められたが、いずれも症状は軽度で無処置にて速やかに消失した。臨床検査では、「異常変動あり」と判定された項目のうち、AST、ALTの軽度上昇が見られた1名で本剤投与との関連性が不明とされ

たが、その他の項目はいずれも本剤投与との関連性は否定された。バイタルサインでは、本剤 投与と関連した異常変動は認められなかった。以上を総合して、安全性は全23名が「全く問題 がない」と判定された。

有用性の総合評価は、評価対象21名中16名(76.2%)で「極めて有用」又は「有用」と判定された。

2.7.6.5 追加第Ⅲ相臨床試験「評価資料]

......添付資料5.3.5.2.2

治験の標題:

MP-1727第Ⅲ相追加臨床試験

ソマトスタチン受容体の存在を指標とする消化管ホルモン産生腫瘍の画像診断

治験実施計画書番号:

MP-1727-04

治験調整医師:

群馬大学医学部 核医学科 教授 遠藤啓吾

治験責任医師:

北海道大学医学部附属病院 核医学診療科

、他14名

治験実施施設:

北海道大学医学部附属病院 核医学診療科、他14施設

公表文献:

佐賀恒夫, 他. ¹¹¹In-ペンテトレオチド (MP-1727) 第Ⅲ相追加臨床試験 ソマトスタチン受容体の存在を指標とする消化管ホルモン産生腫瘍の画像診断. 核医学2003;40(2):185-203.

治験期間:

2000年(平成12年)11月22日~2002年(平成14年)1月29日

開発のフェーズ:

第Ⅲ相

目的:

消化管ホルモン産生腫瘍の疑いのある患者を対象として、MP-1727(以下、本剤)の消化管ホルモン産生腫瘍診断における、有効性、安全性及び有用性(ソマトスタチン受容体の有無と局在診断)を評価する。

試験デザイン:

多施設共同オープン試験

被験者数(計画時及び解析時):

目標被験者数:35名(A群15名、B群20名)

【設定根拠】対象である消化管ホルモン産生腫瘍の日本における推定患者数を勘案し、有効性、安全性及び有用性の推定が可能な被験者数として35名(A群15名、B群20名)と設定した。B群の目標被験者数は、患者登録時、病巣の位置及び存在が未確定であるため、本検査での病巣の位置及び存在確定率を登録被験者全数に対して50%と推定して算出した。

投与被験者数:40名(A群18名、B群22名)

評価対象被験者数:36名(A群16名、B群20名)

有効性評価対象被験者数:35名(A群16名、B群19名) 安全性評価対象被験者数:35名(A群16名、B群19名) 有用性評価対象被験者数:35名(A群16名、B群19名)

対象疾患:

消化管ホルモン産生腫瘍(カルチノイド、インスリノーマ、ガストリノーマ、グルカゴノーマ、VIPオーマ、ソマトスタチノーマ等)

選択基準:

- (1) 被験者基準
- 1) 被験者は、下記のA群、B群の2群に分けて組み入れた。

A群: 内分泌活性があり、且つ直近1箇月以内におけるCT(必須)及び他の画像診断(単純X線撮影、超音波検査(US)、MRI、血管造影、核医学検査等)のいずれかで腫瘍病巣の存在が確認され、消化管ホルモン産生腫瘍が疑われる患者。

[検査の目的: (1) 当該病巣でのソマトスタチン受容体の存在診断、(2) 新たな病巣の存在・局在診断]

B群: 内分泌活性があり、消化管ホルモン産生腫瘍の存在が疑われるが、直近1箇月以内におけるCT(必須)及び他の画像診断(単純X線撮影、US、MRI、血管造影、核医学検査等)で腫瘍病巣の存在・局在が確認できないか、あるいは確定できない患者。

「検査の目的:新たな病巣及び未確定病巣の存在・局在診断]

- 2) CTを必須とし、他に担当医が最も有用と考える画像診断法で、CTと合わせて少なくとも合計2方法が実施されていること。
- 3) 内分泌活性確認の基準として、以下の血中あるいは尿中ホルモン値が異常値を示していること。
 - ・カルチノイド:セロトニン、5-ハイドロキシインドール酢酸(5-HIAA)等
 - ・インスリノーマ:インスリン、プロインスリン等
 - ・ガストリノーマ:ガストリン等
 - ・グルカゴノーマ:グルカゴン等

- ・VIPオーマ:血管作動性腸管ペプチド(VIP)等
- ・ソマトスタチノーマ:ソマトスタチン等
- (2) その他の基準対象
- 1) 年齢:20~75歳。
- 2) 性別:問わない。
- 3) 入院・外来: 問わない。
- 4) オクトレオチド酢酸塩処方中の患者は、倫理的な観点から3日間の休薬後、本検査を実施する。

除外基準:

- (1) 妊娠又は妊娠している可能性のある患者。
- (2) 授乳中の患者。
- (3) 重篤な感染症等の重篤な合併症を有する患者。
- (4) 一般状態 (Performance Status) ²がGrade 4の患者。
- (5) 肝臓又は腎臓に高度な機能障害を有する患者。
- (6) 重篤なアレルギーを有する患者。
- (7) Ga-67シンチグラフィ検査を本検査前2週間以内に受けた患者。
- (8) 骨シンチグラフィ検査を本検査前2日間以内に受けた患者。
- (9) 投与前1箇月以内に他の治験薬投与を受けた患者。
- (10) 過去に本剤の投与により、画像診断を受けた患者。
- (11) 担当医が不適当と判断した患者。

被験薬、ロット番号:

治験薬: MP-1727

本剤は、バイアルA及びバイアルBの組み合わせ(セット)より成る。 (表2.7.6.5-1) バイアルAの内容物をバイアルBのバイアルに用時添加し、混和して調製する。 投与前に標識率を測定し、90%未満の場合は試験に使用しないこととする。

表2.7.6.5-1 治験薬のセット構成

バイアル	1バイアル中の					
	成分	含量				
A	塩化インジウム(¹¹¹ In)	111 MBq/mL(検定日時)				
В	ペンテトレオチド	10 μg				

ロット番号:23698~30152

対照薬: 該当なし

が派来・ 咳コなし

² 一般状態 (Performance Status) : 日本癌治療学会「固形がん化学療法直接効果判定基準」日本臨床 1987 年 47 巻増刊号: 1261-6 から引用。

用法・用量:

投与量: 111 MBq

投与方法: 静脈内投与(単回投与)

撮像方法: プラナー撮像-本剤投与後4及び24時間に全身像(前面及び後面像)を撮像した。

投与後48時間の撮像はできる限り実施した。本剤投与前の画像診断で腫瘍を確認 した部位及び本剤の全身像での陽性部位についてスポット像(少なくとも前面な

いし後面像)を撮像した。

SPECT撮像-全身像で陽性部位が認められた場合及び診断確定のためにSPECT像が必要と判断された場合には、治験薬投与後4~48時間までの適当な時期に、対応する部位を含む領域のSPECT像を少なくとも1回撮像した。

併用療法: オクトレオチド酢酸塩処方中の被験者は、3日間の休薬後、本検査を実施すること

とした。

治験方法:

本剤111 MBqを単回静脈投与し、投与後4及び24時間に全身像を撮像し、陽性部位についてはスポット像及びSPECT像を撮像した。本検査にて新たに陽性部位が認められた場合には、当該部位をCT等の画像診断法で検査した(画像追跡調査)。

ソマトスタチン受容体の存在診断を目的とする被験者では、オクトレオチド負荷試験を実施 し、オクトレオチド酢酸塩単回投与前、投与後4及び8時間の血中又は尿中ホルモン濃度を測定 した。また、検出された病巣の存在・局在診断を目的とする被験者では、画像診断で確認され た病巣の病理標本を作成し、組織診断を実施した。

観察・検査項目及び実施時期を表2.7.6.5-2に示した。

表2.7.6.5-2 観察・検査項目及び実施時期

項目	投与前 -	投与後					
· · · · · · · · · · · · · · · · · · ·		30分	1時間	4時間	24時間	48時間	6週以内
撮像 プラナー像: 全身像				0	0	\triangle	画像
スポット像				\triangle^*	\triangle^*	\triangle^*	追跡調査
SPECT像				\leftarrow	△**	\rightarrow	
バイタルサイン	\circ	\bigcirc	\circ		\circ		臨床的
有害事象	\bigcirc	\bigcirc	\bigcirc		\bigcirc		追跡調査‡
臨床検査	\bigcirc^{\dagger}				\circ		

- 必須とする。
- △ 投与後48時間の全身像は可能な限り撮像する。
- \triangle^* 本剤投与前の画像診断で腫瘍が確認された部位及び全身像での陽性部位について少なくとも前面ないし後面像を撮像する。
- \triangle^{**} 全身像で陽性部位が認められた場合及び診断確定のために必要と判断された場合に、対応する部位を含む領域のSPECT像を少なくとも1回撮像する。
- † 投与前3日以内
- [‡] オクトレオチド負荷試験、組織診断

評価項目:

評価は担当医及び効果安全性評価委員会(以下、委員会)がそれぞれ実施した。委員会では、 盲検化し無作為化された画像を用いて読影を行った。

<担当医>

- (1) 画像診断
 - 1) 画質判定

投与後4、24及び48時間の全身像、スポット像及びSPECT像の画質を5段階(1.極めて 鮮明 2.鮮明 3.やや鮮明 4.不鮮明 5.判定不能)で判定した。

- 2) 部位毎の診断能
 - ①集積の強さ

異常集積の強さをバックグラウンドと比較し、5段階(1.極めて明瞭 2.明瞭 3.やや明瞭 4.不明瞭 5.判定不能)で判定した。

②本検査前の画像診断との一致性

本検査の異常集積部位と本検査前の画像診断の病変部位との一致性(「一致」、「不 一致」又は「判定不能」)を判定した。

③陽性、陰性の判定

②の結果に基づき、本検査の結果を「真陽性」、「偽陽性」、「偽陰性」又は「真陰性」に分類した。

3) 症例毎の診断能

部位毎の陽性、陰性の判定結果から、本検査で少なくとも1つの真陽性が認められた 症例を「陽性」、真陽性部位が全くなかった症例を「陰性」、本検査前の画像診断で病 変が認められず、本検査画像でも集積が認められなかった場合を「判定不能」と判定した。

(2) 臨床追跡調査

1) オクトレオチド負荷試験

オクトレオチド酢酸塩投与前後のホルモン値の変動から、「陽性」、「陰性」又は「判定不能」に分類した。「陽性」の場合をソマトスタチン受容体ありとした。

2) 組織診断(免疫組織化学的染色)

採取した組織を染色し、その結果を「陽性」、「陰性」、「判定不能」に分類した。 「陽性」の場合を消化管ホルモン産生腫瘍であるとした。

- (3) 症例毎の有効性評価
 - 1) オクトレオチド負荷試験実施症例の有効性評価

本検査で陽性部位があり負荷試験が陽性、又は本検査で陽性部位がなく負荷試験が陰性だった場合を「有効」、本検査で陽性部位があり負荷試験が陰性、又は本検査で陽性部位がなく負荷試験が陽性であった場合を「無効」と判定した。

2) 組織診断実施症例の有効性評価

本検査及び組織診断の結果が共に陽性の部位を「真陽性」、共に陰性の部位を「真陰性」、本検査が陽性で組織診断が陰性の部位を「偽陽性」及びその逆を「偽陰性」とし、少なくとも1つの真陽性があった、又は真陰性のみであった場合を「有効」、真陽性が1つもなかった場合を「無効」(但し、真陰性のみの場合を除く)と判定した。

(4) 治療方針の決定への有益な情報提供の有無

本検査の結果が治療方針の決定に有益な情報を提供した場合を「有」と判定し、「有」の場合は、その内容を記録した(手術の適否、手術内容の変更又はオクトレオチド酢酸塩の処方に関する情報等)。

- (5) 安全性
 - 1) 有害事象
 - 2) 臨床検査(血液学的検査、血液生化学検査、尿検査)
 - 3) バイタルサイン (体温、血圧、脈拍数、呼吸数)
 - 4) 安全性の評価 (総合判定)

有害事象、臨床検査値及びバイタルサインを総合して、5段階(1.問題ない 2.やや問題あり 3.問題あり 4.重大な問題あり 5.判定不能)で判定した。

<委員会>

- (1) 画像診断:評価基準は担当医と同様とした。
 - 1) 部位毎の診断能
 - ①集積の強さ
 - ②本検査前の画像診断との一致性
 - ③陽性、陰性の判定

- 2) 症例毎の診断能
- (2) シンチグラフィ情報の有益性

部位毎の陽性、陰性の判定結果から、少なくとも1つのシンチグラフィ陽性部位があるものを真陽性、偽陽性を問わず「有益」、陽性部位がないものを「無益」と判定した。

- (3) 症例毎の有効性評価:評価基準は担当医と同様とした。
 - 1) オクトレオチド負荷試験実施症例の有効性評価
 - 2) 組織診断実施症例の有効性評価
- (4) 安全性の評価(総合判定)

有害事象、バイタルサイン及び臨床検査値に基づき、担当医による安全性評価の妥当性(1. 評価に問題なし 2.変更を要す)を判定した。

(5) 有用性の評価 (総合判定)

「本検査の主たる目的」、「有効性」、「治療方針に関する情報の有無」、「安全性」の結果を総合的に判断し、「本検査の腫瘍診断としての臨床的有用性」(1.有用 2.やや有用 3.有用でない 4.判定不能)を評価した。

<部位毎の陽性、陰性の判定基準>

真陽性:本検査前の画像診断で病巣の存在が確認された部位に本剤が集積した場合。又は、本検査前の画像診断で病巣の存在が確認されていなかった部位に、本検査で本剤の集積が認められ、且つCT、あるいは他の画像診断(単純X線撮影、US、MRI、血管造影、核医学検査など)による画像追跡調査で当該部位に病巣の存在が確認できた場合。

偽陽性:本検査前の画像診断で病巣の存在が確認されていなかった部位に、本検査で本剤の 集積が認められ、且つCT、あるいは他の画像診断(単純X線撮影、US、MRI、血管 造影、核医学検査など)による画像追跡調査で当該部位に病巣の存在が確認できな かった場合。

偽陰性: 本検査前の画像診断で病巣の存在が確認された部位に、本検査で集積が認められなかった場合。

真陰性:本検査前の画像診断で病巣が確認されなかった部位に、本検査で集積が認められなかった場合。(判定不能として取扱う)

表2.7.6.5-3 部位毎の陽性、陰性の判定基準

		本検査前の画像診断			
		陽性	陰性		
本検査	陽性	真陽性	偽陽性又は真陽性*		
	陰性	偽陰性	真陰性		

^{*} 追跡画像調査で病巣が確認できた場合

統計手法:

(1) 評価対象集団

有効性及び安全性:治験薬が投与され、治験実施計画書に適合した集団とした。治験実施計画書に適合した集団から除外する被験者は、選択・除外基準、登録手順、本検査の撮像方法、臨床検査等に関わる逸脱内容を勘案し、治験調整医師、治験コントローラー、医学専門家を含む効果安全性評価委員会で検討し、その結果を踏まえて治験依頼者が決定した。

有用性:有効性及び安全性の両評価対象に該当する被験者とした。

(2) 解析方法

オクトレオチド負荷試験におけるホルモン値については、投与前、投与後の平均値を比較するためpaired t検定を行った(有意水準5%)。

臨床検査値(尿検査を除く)、バイタルサインについては、投与前、投与後の平均値を比較するためpaired t検定を行った(有意水準5%)。

要約一結論:

<被験者の内訳>

(1) 人口統計学的特性

評価対象36名の被験者背景を表2.7.6.5-4に示す。グルカゴノーマ及びソマトスタチノーマは 被験者数が少ないため、有効性評価の疾患別集計では合わせて「その他」とした。

表2.7.6.5-4 被験者背景

		A群	B群	合計
背景因子 		(n = 16)	(n = 20)	(n = 36)
性別	男性	12	9	21
	女性	4	11	15
入院・外来	入院	13	16	29
	外来	3	4	7
登録時年齢 (歳)	平均値 ± SD	49.4 ± 11.93	56.2 ± 10.48	53.2 ± 11.50
身長 (cm)	平均値 ± SD	162.9 ± 9.21	158.6 ± 10.81	160.5 ± 10.22
体重 (kg)	平均値 ± SD	63.4 ± 16.84	57.1 ± 11.16	59.9 ± 14.11
疾患名	ガストリノーマ	8	8	16
	インスリノーマ	4	7	11
	カルチノイド	2	4	6
	グルカゴノーマ	2	0	2
	ソマトスタチノーマ	0	1	1

(2) 実投与量及び標識率

実投与量は 115.6 ± 15.10 MBq、実投与液量は 1.6 ± 0.78 mLであった。標識率は $97.8 \pm 2.23\%$ であり、全被験者が規定の90%を越えていた。

項目		統計量	(n = 36)
実投与量	(MBq)	平均値 ± SD	115.6 ± 15.10
		範囲	83.9~154.4
実投与液量	(mL)	平均値 ± SD	1.6 ± 0.78
		範囲	0.5~3.0
標識率	(%)	平均値 ± SD	97.8 ± 2.23
			90.4~99.6

表2.7.6.5-5 実投与量及び標識率

<有効性>

本治験では、有効性の評価については委員会の判定を最終結果としたため、委員会、担当医の順に結果を記載した。

<有効性の委員会評価>

(1) 画像診断

1) 症例毎の診断能

症例毎の診断能の評価を表2.7.6.5-6に示す。A群では、陽性が16名中15名(以下、15/16名と記載)(93.8%)であり、判定不能は1名 (6.3%)であった。一方B群では、陽性が5/19名 (26.3%)、陰性が3/19名 (15.8%)、判定不能が11/19名 (57.9%)であった。A、B両群を合わせると陽性が20/35名(57.1%)、陰性が3/35名(8.6%)、判定不能が12/35名(34.3%)であった。

表2.7.6.5-6	症例毎の診断能	(委員会評価)
10.0 O	A 1 1 A 2 1 1 1 1 1 1 1 1 1 1 1 1 1 1 1	\ X X X II II I

登録群	疾患名	被験者数	陽性	陰性	判定不能	陽性の比率 (%))
A群	ガストリノーマ	8	7	0	1	7/8 (87.5)	
	インスリノーマ	4	4	0	0	4/4 (100.0)	١
	カルチノイド	2	2	0	0	2/2 (100.0)	1
	その他	2	2	0	0	2/2 (100.0)	1
	計	16	15	0	1	15/16 (93.8)	
B群	ガストリノーマ	7	3	1	3	3/7 (42.9)	
	インスリノーマ	7	0	1	6	0/7 (0.0)	
	カルチノイド	4	2	1	1	2/4 (50.0)	
	その他	1	0	0	1	0/1 (0.0)	
	計	19	5	3	11	5/19 (26.3)	
合計		35	20	3	12	20/35 (57.1)	

2) 部位毎の診断能

①集積の強さ

集積の強さの評価を表2.7.6.5-7に示す。「やや明瞭」以上は33/36部位(91.7%)であった。 部位別では、肝臓及びその他はそれぞれ5/5部位、12/12部位と100%であった。膵臓は9/10部位 (90%) で「やや明瞭」以上の部位が多かった。十二指腸及びリンパ節は「極めて明瞭」がそれぞれ3/4部位(75%)及び4/5部位(80%)であった。

表2.7.6.5-7 部位毎の集積の強さ(委員会評価)

部位	極めて明瞭	明瞭	やや明瞭	不明瞭	判定不能	やや明瞭以上 (%)
肝臓	5	0	0	0	0	5/5 (100.0)
膵臓	5	4	0	1	0	9/10 (90.0)
十二指腸	3	0	0	1	0	3/4 (75.0)
リンパ節	4	0	0	1	0	4/5 (80.0)
その他*	2	5	5	0	0	12/12 (100.0)
合計	19	9	5	3	0	33/36 (91.7)

^{*} 肝臓、膵臓、十二指腸及びリンパ節のいずれにも該当しない部位

②本検査前の画像診断との一致性

部位毎の本検査前の画像診断結果との一致性の評価を表2.7.6.5-8に示す。A群ではガストリノーマ及びその他で一致率が高く、それぞれ100% (7/7部位)及び100% (2/2部位)であった。最も一致率の低いカルチノイドにおいても66.7% (4/6部位)であった。A群全体では83.3% (20/24部位)であった。B群における一致率はガストリノーマで60% (3/5部位)、カルチノイドで33.3% (2/6部位)であり、全体では41.7% (5/12部位)であった。A、B両群を合わせた一致率は69.4% (25/36部位)であった。

表2.7.6.5-8 部位毎の本検査前の画像診断結果との一致性(委員会評価)

登録群	疾患名	一致	不一致	判定不能	一致率 (%)
A群	ガストリノーマ	7	0	0	7/7 (100.0)
	インスリノーマ	7	2	0	7/9 (77.8)
	カルチノイド	4	2	0	4/6 (66.7)
	その他	2	0	0	2/2 (100.0)
	計	20	4	0	20/24 (83.3)
B群	ガストリノーマ	3	2	0	3/5 (60.0)
	インスリノーマ	0	1	0	0/1 (0.0)
	カルチノイド	2	4	0	2/6 (33.3)
	その他	0	0	0	0/0 (-)
	計	5	7	0	5/12 (41.7)
合計		25	11	0	25/36 (69.4)

③陽性、陰性の判定

部位毎の陽性、陰性の判定結果を表2.7.6.5-9に示す。A群における真陽性は、ガストリノーマで7/7部位(100%)、その他で2/2部位(100%)と割合が高く、最も低いカルチノイドで4/6部位(66.7%)であった。A群全体で真陽性は20/24部位(83.3%)であった。B群における真陽

性は、ガストリノーマで3/5部位(60%)、カルチノイドで2/6部位(33.3%)、全体で5/12部位 (41.7%)であった。A、B両群を合わせた真陽性は25/36部位(69.4%)であった。

表2.7.6.5-9 部位毎の陽性、陰性の判定(委員会評価)

登録群	疾患名	真陽性	偽陽性	偽陰性	真陰性	真陽性+真陰性 の比率 (%)
A群	ガストリノーマ	7	0	0	0	7/7 (100.0)
	インスリノーマ	7	1	1	0	7/9 (77.8)
	カルチノイド	4	2	0	0	4/6 (66.7)
	その他	2	0	0	0	2/2 (100.0)
	計	20	3	1	0	20/24 (83.3)
B群	ガストリノーマ	3	2	0	0	3/5 (60.0)
	インスリノーマ	0	0	1	0	0/1 (0.0)
	カルチノイド	2	3	1	0	2/6 (33.3)
	その他	0	0	0	0	0/0 (-)
	計	5	5	2	0	5/12 (41.7)
合計		25	8	3	0	25/36 (69.4)

(2) シンチグラフィ情報の有益性

シンチグラフィ情報の有益性の評価を表2.7.6.5-10に示す。「有益」と判定された被験者の割合は、A群においていずれの疾患でも高く、A群全体では15/16名 (93.8%) と高かった。一方、B群で「有益」と判定されたのは、ガストリノーマで4/7名 (57.1%)、カルチノイドで2/4名 (50.0%)であったが、B群全体では6/19名 (31.6%)であった。A、B両群を合わせると、「有益」と判定されたのは21/35名 (60.0%)であった。

表2.7.6.5-10 シンチグラフィ情報の有益性(委員会評価)

登録群	疾患名	有益	無益	判定不能	有益の比率 (%)
A群	ガストリノーマ	7	0	1	7/8 (87.5)
	インスリノーマ	4	0	0	4/4 (100.0)
	カルチノイド	2	0	0	2/2 (100.0)
	その他	2	0	0	2/2 (100.0)
	計	15	0	1	15/16 (93.8)
B群	ガストリノーマ	4	0	3	4/7 (57.1)
	インスリノーマ	0	1	6	0/7 (0.0)
	カルチノイド	2	1	1	2/4 (50.0)
	その他	0	0	1	0/1 (0.0)
	計	6	2	11	6/19 (31.6)
合計		21	2	12	21/35 (60.0)

(3) 症例毎の有効性評価

1) オクトレオチド負荷試験実施症例の有効性評価

オクトレオチド負荷試験実施症例の有効性評価を表2.7.6.5-11に示す。ガストリノーマでは「有効」がA、B群でそれぞれ7/8名(87.5%)、4/7名(57.1%)であった。インスリノーマではそれぞれ1/4名(25%)、3/7名(42.9%)であった。カルチノイド及びその他では被験者数が少ないもののA、B両群の多くが「有効」と評価された。A、B両群を合わせた「有効」は23/35名(65.7%)であった。「無効」と判定された6名は、本検査で集積が認められなかったにも関わらず、負荷試験で陽性を示したものである。「判定不能」の6名は、いずれも負荷前のホルモン値が正常で負荷試験の結果が「判定不能」とされたため、本評価においても「判定不能」とされた。

無効 判定不能 疾患名 有効 有効率 (%) 登録群 ガストリノーマ A群 7 0 7/8 (87.5) 1 インスリノーマ 1 0 3 1/4 (25.0) カルチノイド 2 0 0 2/2 (100.0) その他 2 0 0 2/2 (100.0) 計 12 1 3 12/16 (75.0) ガストリノーマ B群 3 0 4 4/7 (57.1) インスリノーマ 3 3 1 3/7 (42.9) カルチノイド 3 1 0 3/4 (75.0) その他 1 0 0 1/1 (100.0) 計 5 3 11 11/19 (57.9) 合計 23 6 6 23/35 (65.7)

表2.7.6.5-11 オクトレオチド負荷試験実施症例の有効性評価 (委員会評価)

2) 組織診断実施症例の有効性評価

組織診断実施症例の有効性評価を表2.7.6.5-12に示す。A群、B群で「有効」はそれぞれ5/9名 (55.6%)、2/4名 (50.0%)、両群全体では7/13名 (53.8%)であった。「無効」と判定されたA 群4名のうち3名は免疫染色で染まらなかったものの、病理組織学的には内分泌腫瘍であった。また、「判定不能」であったのはB群の2名であった。カルチノイドの1名は、免疫染色でACTH のみ陽性であるが、登録時に高値を呈していたガストリンによる免疫染色が行われていないため、「判定不能」の取扱いとなった。ガストリノーマの1名は、腫瘍部位が正確に生検できなかった可能性が高いため、「判定不能」となった。

登録群	疾患名	有効	無効	判定不能	有効率 (%)
A群	ガストリノーマ	2	1	0	2/3 (66.7)
	インスリノーマ	1	2	0	1/3 (33.3)
	カルチノイド	0	1	0	0/1 (0.0)
	その他	2	0	0	2/2 (100.0)
	計	5	4	0	5/9 (55.6)
B群	ガストリノーマ	2	0	1	2/3 (66.7)
	インスリノーマ	0	0	0	0/0 (-)
	カルチノイド	0	0	1	0/1 (0.0)
	その他	0	0	0	0/0 (-)
	計	2	0	2	2/4 (50.0)
合計		7	4	2	7/13 (53.8)

表2.7.6.5-12 組織診断実施症例の有効性評価 (委員会評価)

<有効性の担当医評価>

(1) 画像診断

1) 画質判定

画質の判定結果を表2.7.6.5-13に示す。

全身プラナー像において、「鮮明以上」(「極めて鮮明」又は「鮮明」)は投与後4時間が最も多く、前面像、後面像ともに33/35名であった。「鮮明以上」は投与後24時間に前後面像ともに29/35名、48時間に前後面像ともに14/24名と漸次減少した。

腹部スポット像では、「鮮明以上」は投与後4及び24時間で、前後面像ともに32/35名であった。投与後48時間は前後面像ともに「鮮明以上」は17/20名であった。その他の領域におけるスポット像では、「鮮明以上」は投与後4、24及び48時間でそれぞれ8/8部位、9/9部位及び3/3部位であった。

腹部SPECT像では、「鮮明以上」の割合が投与後4時間で9/12名ともっとも高く、次いで48時間(5/7名)、24時間(20/32名)であった。その他の部位におけるSPECT像で「鮮明以上」は投与後4、24及び48時間でそれぞれ0/1部位、2/4部位及び1/2部位であった。

表2.7.6.5-13 画質判定(担当医評価)

撮像	部位	画質	48	4時間		寺間	48時間	
]取[]家		四貝	前面	後面	前面	後面	前面	後面
プラナー像	全身*1	極めて鮮明	18	19	9	9	4	4
(全身像及び		鮮明	15	14	20	20	10	10
スポット像)		やや鮮明	0	0	4	4	8	8
		不鮮明	2	2	2	2	2	2
		判定不能	0	0	0	0	0	0
		合計	35	35	35	35	24	24
	腹部*1	極めて鮮明	19	20	17	17	8	8
	(スポット像)	鮮明	13	12	15	15	9	9
		やや鮮明	1	1	1	1	2	2
		不鮮明	2	2	2	2	1	1
		判定不能	0	0	0	0	0	0
		合計	35	35	35	35	20	20
	その他 ^{*2}	極めて鮮明	2	2	2	2	1	1
	(スポット像)	鮮明	6	6	7	7	2	2
		やや鮮明	0	0	0	0	0	0
		不鮮明	0	0	0	0	0	0
		判定不能	0	0	0	0	0	0
		合計	8	8	9	9	3	3
SPECT像	腹部 ^{*1}	極めて鮮明		4	;	5		2
		鮮明		5	1:	5		3
		やや鮮明		1	1	1		1
		不鮮明		2		1		1
		判定不能		0	(0		0
		合計	1	2	3:	2		7
	その他 ^{*2}	極めて鮮明		0		1		0
		鮮明		0		1		1
		やや鮮明		1		2		1
		不鮮明		0	(0		0
		判定不能		0	(0		0
		合計		1		4		2

^{*1} 被験者数 *2 部位数

2) 症例毎の診断能

症例毎の診断能の評価を表2.7.6.5-14に示した。A群では、ガストリノーマの1名を除いて、陽性が15/16名(93.8%)であった。一方B群では、陽性が2/19名(10.5%)、陰性が2/19名、判定不能が15/19名であった。A群においては陽性例が多いのに対して、B群では判定不能例が多かった。A、B両群を合わせると17/35名(48.6%)が陽性と判定され、陰性および判定不能はそれぞれ3/35名、15/35名であった。

登録群	疾患名	陽性	陰性	判定不能	陽性の比率 (%)
A群	ガストリノーマ	7	1	0	7/8 (87.5)
	インスリノーマ	4	0	0	4/4 (100.0)
	カルチノイド	2	0	0	2/2 (100.0)
	その他	2	0	0	2/2 (100.0)
	計	15	1	0	15/16 (93.8)
B群	ガストリノーマ	1	2	4	1/7 (14.3)
	インスリノーマ	0	0	7	0/7 (0.0)
	カルチノイド	1	0	3	1/4 (25.0)
	その他	0	0	1	0/1 (0.0)
	計	2	2	15	2/19 (10.5)
合計		17	3	15	17/35 (48.6)

表2.7.6.5-14 症例毎の診断能(担当医評価)

3) 部位毎の診断能

①集積の強さ

集積の強さの評価を表2.7.6.5-15に示す。「やや明瞭」以上は肝臓、膵臓、十二指腸、その他いずれの部位でも80%前後であった。リンパ節は1部位で、評価は「極めて明瞭」であった。全体では40/47部位(85.1%)であった。

双色 100 0 时往再以来很少还是 12日色时间	表2.7.6.5-15	部位毎の集積の強さ	(担当医評価
---------------------------	-------------	-----------	--------

部位名称	極めて明瞭	明瞭	やや明瞭	不明瞭	判定不能	やや明瞭以上 (%)
肝臓	10	2	0	2	0	12/14 (85.7)
膵臓	4	1	2	2	0	7/9 (77.8)
十二指腸	3	1	1	1	0	5/6 (83.3)
リンパ節	1	0	0	0	0	1/1 (100.0)
その他*	5	6	4	2	0	15/17 (88.2)
合計	23	10	7	7	0	40/47 (85.1)

^{*} 肝臓、膵臓、十二指腸及びリンパ節のいずれにも該当しない部位

②本検査前の画像診断との一致性

部位毎の本検査前の画像診断結果との一致性の評価を表2.7.6.5-16に示す。A群における一致率は、ガストリノーマ、インスリノーマが、それぞれ76.5%(13/17部位)、69.2%(9/13部位)であった。カルチノイドにおいては28.6%(2/7部位)であった。A群全体の一致率は65.0%(26/40部位)であった。B群における一致率は、ガストリノーマで20.0%(1/5部位)、カルチノイドで100%(2/2部位)、B群全体では42.9%(3/7部位)であった。A、B両群を合わせた一致率は61.7%(29/47部位)であった。

登録群	疾患名	一致	不一致	判定不能	一致率 (%)
A群	ガストリノーマ	13	4	0	13/17 (76.5)
	インスリノーマ	9	3	1	9/13 (69.2)
	カルチノイド	2	4	1	2/7 (28.6)
	その他	2	1	0	2/3 (66.7)
	計	26	12	2	26/40 (65.0)
B群	ガストリノーマ	1	3	1	1/5 (20.0)
	インスリノーマ	0	0	0	0/0 (-)
	カルチノイド	2	0	0	2/2 (100.0)
	その他	0	0	0	0/0 (-)
	計	3	3	1	3/7 (42.9)
合計		29	15	3	29/47 (61.7)

表2.7.6.5-16 部位毎の他の画像診断結果との一致性(担当医評価)

③陽性、陰性の判定

部位毎の陽性、陰性の判定結果を表2.7.6.5-17に示す。A群における真陽性は、ガストリノーマで13/17部位(76.5%)、インスリノーマで9/12部位(75.0%)であり、カルチノイドで2/6部位(33.3%)であった。A群全体で真陽性は26/38部位(68.4%)であった。偽陽性、偽陰性、真陰性はそれぞれ5部位、7部位、0部位であった。B群における真陽性は、カルチノイドで2/2部位(100%)、ガストリノーマで1/4部位(25.0%)、B群全体では3/6部位(50.0%)であった。A、B両群を合わせた真陽性は29/44部位(65.9%)であった。

登録群	疾患名	真陽性	偽陽性	偽陰性	真陰性	真陽性+真陰性/計 (%)
A群	ガストリノーマ	13	1	3	0	13/17 (76.5)
	インスリノーマ	9	0	3	0	9/12 (75.0)
	カルチノイド	2	4	0	0	2/6 (33.3)
	その他	2	0	1	0	2/3 (66.7)
	計	26	5	7	0	26/38 (68.4)
B群	ガストリノーマ	1	3	0	0	1/4 (25.0)
	インスリノーマ	0	0	0	0	0/0 (-)
	カルチノイド	2	0	0	0	2/2 (100.0)
	その他	0	0	0	0	0/0 (-)
	計	3	3	0	0	3/6 (50.0)
合計		29	8	7	0	29/44 (65.9)

表2.7.6.5-17 部位毎の陽性、陰性の判定(担当医評価)

(2) 臨床追跡調査

1) オクトレオチド負荷試験結果

オクトレオチド負荷試験の結果を表2.7.6.5-18に示す。ガストリノーマでは陽性の比率がA群、B群ともに100%(それぞれ8/8名、7/7名)であった。一方、インスリノーマでは陽性の比率が

A群で25% (1/4名)、B群で14.3% (1/7名)であった。カルチノイド及びその他ではA群において両者とも100% (2/2名)、B群においてはそれぞれ75% (3/4名)及び0% (0/1名)であった。A、B両群を合わせた全体に占める陽性の比率は68.6% (24/35名)であった。「判定不能」であったインスリノーマの6名は、いずれも負荷前イスリン値が正常であったため「判定不能」とされた。

表2.7.6.5-18 オクトレオチド負荷試験結果(担当医評価)

登録群	· · · · · · · · · · · · · · · · · · ·	オク	トレオチド負	荷試験	温州の比索 (0/)
空	灰 思名	陽性	陰性	判定不能	陽性の比率 (%)
A群	ガストリノーマ	8	0	0	8/8 (100.0)
	インスリノーマ	1	0	3	1/4 (25.0)
	カルチノイド	2	0	0	2/2 (100.0)
	その他	2	0	0	2/2 (100.0)
	計	13	0	3	13/16 (81.3)
B群	ガストリノーマ	7	0	0	7/7 (100.0)
	インスリノーマ	1	3	3	1/7 (14.3)
	カルチノイド	3	1	0	3/4 (75.0)
	その他	0	1	0	0/1 (0.0)
	計	11	5	3	11/19 (57.9)
合計		24	5	6	24/35 (68.6)

陽性:負荷前の生化学検査値における異常値の改善があった場合(生化学検査値が、負荷前値の30%以

上改善された場合)

陰性: 負荷前の生化学検査値における異常値の改善がなかった場合

2) 組織診断の結果

組織診断の結果を表2.7.6.5-19に示す。A群で組織が採取されたのは17部位(ガストリノーマ5部位、インスリノーマ7部位、カルチノイド2部位、その他3部位)で、そのうち陽性は6部位(35.3%)、陰性は11部位であった。ガストリノーマでは3/5部位が陰性と判定された。これら3部位のうち1部位は肝海綿状血管腫、2部位は免疫染色に染まらない悪性内分泌腫瘍であった。インスリノーマでは6/7部位が陰性と判定された。これら6部位すべてが免疫染色に染まらない内分泌腫瘍であった。カルチノイドは陰性とされた2部位が共に十二指腸腺腫であった。B群で組織が採取されたのは7部位(ガストリノーマ6部位、カルチノイド1部位)で、そのうち陽性は5部位(71.4%)、陰性は2部位であった。ガストリノーマでは2/6部位が陰性と判定された。1部位は正常甲状腺組織で、病変を正確に生検できなかった可能性が高いと判断されたものであり、もう1部位は免疫染色に染まらない内分泌腫瘍であった。A、B両群を合わせた陽性は11/24部位(45.8%)、陰性は13/24部位であった。陰性と判定された13部位中9部位が免疫染色に染まらない内分泌腫瘍であった。

登録群	疾患名	陽性	陰性	判定不能	陽性の比率 (%)
A群	ガストリノーマ	2	3	0	2/5 (40.0)
	インスリノーマ	1	6	0	1/7 (14.3)
	カルチノイド	0	2	0	0/2 (0.0)
	その他	3	0	0	3/3 (100.0)
	計	6	11	0	6/17 (35.3)
B群	ガストリノーマ	4	2	0	4/6 (66.7)
	インスリノーマ	0	0	0	0/0 (-)
	カルチノイド	1	0	0	1/1 (100.0)
	その他	0	0	0	0/0 (-)
	計	5	2	0	5/7 (71.4)
合計		11	13	0	11/24 (45.8)

表2.7.6.5-19 組織診断結果(担当医評価)

(3) 症例毎の有効性評価

1) オクトレオチド負荷実施症例の有効性評価

オクトレオチド負荷試験実施症例における有効性評価の結果を表2.7.6.5-20に示す。ガストリノーマでは「有効」がA、B群でそれぞれ7/8名(87.5%)、4/7名(57.1%)であった。インスリノーマではそれぞれ1/4名(25.0%)、3/7名(42.9%)であった。カルチノイドおよびその他では被験者数が少ないものの比較的有効率は高かった。A、B両群を合わせた「有効」は22/35名(62.9%)であった。

登録群	疾患名	有効	無効	判定不能	有効率 (%)
A群	ガストリノーマ	7	1	0	7/8 (87.5)
	インスリノーマ	1	0	3	1/4 (25.0)
	カルチノイド	2	0	0	2/2 (100.0)
	その他	2	0	0	2/2 (100.0)
	計	12	1	3	12/16 (75.0)
B群	ガストリノーマ	4	3	0	4/7 (57.1)
	インスリノーマ	3	1	3	3/7 (42.9)
	カルチノイド	2	1	1	2/4 (50.0)
	その他	1	0	0	1/1 (100.0)
	計	10	5	4	10/19 (52.6)
合計		22	6	7	22/35 (62.9)

表2.7.6.5-20 オクトレオチド負荷試験実施症例の有効性評価(担当医評価)

2) 組織診断実施症例の有効性評価

組織診断実施症例における有効性評価の結果を表2.7.6.5-21に示す。A群、B群で「有効」は それぞれ5/9名(55.6%)、2/4名(50.0%)、両群全体では7/13名(53.8%)あった。「無効」 と判定されたA群4名のうち3名は免疫染色で染まらなかったものの、病理組織学的には内分泌 腫瘍であった。また、「判定不能」であったB群の1名はACTH陽性悪性内分泌腫瘍のリンパ節 転移であった。

表2.7.6.5-21 組織診断実施症例の有効性評価(担当医評価)

登録群	疾患名	有効	無効	判定不能	有効率 (%)
A群	ガストリノーマ	2	1	0	2/3 (66.7)
	インスリノーマ	1	2	0	1/3 (33.3)
	カルチノイド	0	1	0	0/1 (0.0)
	その他	2	0	0	2/2 (100.0)
	計	5	4	0	5/9 (55.6)
B群	ガストリノーマ	2	1	0	2/3 (66.7)
	インスリノーマ	0	0	0	0/0 (-)
	カルチノイド	0	0	1	0/1 (0.0)
	その他	0	0	0	0/0 (-)
	計	2	1	1	2/4 (50.0)
合計		7	5	1	7/13 (53.8)

(4) 治療方針の決定への有益な情報提供の有無(担当医評価)

担当医による治療方針の決定への有益な情報の有無を表2.7.6.5-22に示す。A群では14/16名 (87.5%)と多くの被験者で有益な情報が得られた。一方、B群で有益な情報が得られたのは3/19 名 (15.8%)であった。両群全体では17/35名 (48.6%)で有益な情報が得られた。A群で有益な情報が得られなかったのは2名であった。カルチノイドの1名は病変に異常集積が認められたものの、病理組織学的に消化管ホルモン産生腫瘍ではなかった。他方、ガストリノーマ1名では病変に異常集積が認められなかった。また、治療方針決定への有益な情報「有」と判定された内訳(表2.7.6.5-23)は、A群では「治療方針について」が14名中13名と多く、「オクトレオチド酢酸塩処方について」が4名であった。B群では「治療方針について」、「オクトレオチド酢酸塩処方について」及び「その他」がいずれも3名であった(重複例あり)。

表2.7.6.5-22 治療方針の決定への有益な情報提供の有無(担当医評価)

登録群	疾患名	有	無	有の比率 (%)
A群	ガストリノーマ	7	1	7/8 (87.5)
	インスリノーマ	4	0	4/4 (100.0)
	カルチノイド	1	1	1/2 (50.0)
	その他	2	0	2/2 (100.0)
	計	14	2	14/16 (87.5)
B群	ガストリノーマ	2	5	2/7 (28.6)
	インスリノーマ	0	7	0/7 (0.0)
	カルチノイド	1	3	1/4 (25.0)
	その他	0	1	0/1 (0.0)
	計	3	16	3/19 (15.8)
合計		17	18	17/35 (48.6)

表2.7.6.5-23 治療方針の決定への有益な情報提供の内訳(担当医評価)

登録群	疾患名	治療方針決定への有益な情報「有」の内訳					
豆业水和十	沃思名	治療方針について	オクトレオチド酢酸塩処方について	その他	合計		
A群	ガストリノーマ	7	3	5	7		
	インスリノーマ	3	1	3	4		
	カルチノイド	1	0	1	1		
	その他	2	0	1	2		
	計	13	4	10	14		
B群	ガストリノーマ	2	2	2	2		
	インスリノーマ	0	0	0	0		
	カルチノイド	1	1	1	1		
	その他	0	0	0	0		
	計	3	3	3	3		
合計		16	7	13	17		

(5) 被験者の経過観察情報

B群で、担当医評価で異常集積が認められなかった被験者のうち6名で酢酸オクトレオチド 負荷試験終了後の経過観察中に手術が施行された。いずれの被験者も、他の診断法により腫瘍 の局在が確認され、手術が施行された。6名の経過観察情報を表2.7.6.5-24に示す。

表 2.7.6.5-24 経過観察情報

登録 番号	疾患名	経過観察情報
B-01	インスリノーマ	選択的動脈内カルシウム負荷試験の結果より手術を施行し、膵頭部の
		腫瘍(1.8 cm)を核出した。治験施設内の組織診断の結果はインスリ
		ノーマであった。術後インスリン値は低下した。
B-06	ソマトスタチノーマ	念のため追加したリザーバーからの造影CTにより、肝内に数cm~1
		cm大の多発する病変が認められた。エコーでも多数の結節が認めら
		れ、エコー下で生検を行った。治験施設内の組織診断の結果はソマト
		スタチン産生腫瘍の肝転移であった。以後は、全身化学療法および肝
		動注療法を継続する方針となった。
B-09	インスリノーマ	経皮的経肝門脈血サンプリングの結果より、手術を施行した。治験施
		設内の組織診断の結果は、多発性インスリノーマ(膵体尾部)であっ
		た。
B-10	インスリノーマ	治験終了後に施行されたX線CTより、病巣が検出されたため、手術を
		施行した。治験施設内の組織診断の結果は、インスリノーマであった。
B-15	ガストリノーマ	被験者は高ガストリン血症であり、セクレチン負荷試験が陽性であっ
		たことより手術を施行した。十二指腸球部粘膜下に5 mm大の腫瘍が認
		められた。治験施設内の組織診断の結果は、ガストリノーマであった。
B-23	インスリノーマ	治験終了後に行った選択的動脈内カルシウム負荷試験では膵頭部領
		域にStep upを認め、インスリノーマの存在が強く疑われた。他院にて
		膵頭部からの核出術が施行された。治験施設内の組織診断は膵島細胞
		腫であり、IRI (インスリン)、BS (空腹時血糖) 共に術後は正常値
		を維持した。

<安全性>

安全性に関する評価項目は委員会にて妥当性を検討した上で、担当医による評価を最終結果とした。

(1) 有害事象

本治験では、本剤投与後とオクトレオチド酢酸塩投与後にそれぞれ臨床症状の観察を行い、 オクトレオチド酢酸塩投与後に発現した有害事象についても、本剤との関連性を判定した。し たがって、本剤及びオクトレオチド酢酸塩投与後に発現したすべての事象を有害事象として解 析した。

本剤投与後及びオクトレオチド酢酸塩投与後に発現した有害事象を表2.7.6.5-25に示す。安全性評価対象35名中10名(28.6%)において15件の有害事象が認められた。

本剤投与後に発現した有害事象は7名(20%)10件であった。内訳は、悪心及び潮紅が各2件、嘔吐、頭痛、上腹部痛、ほてり、消化不良及び末梢冷感が各1件であった。これらはいずれも投薬又は無処置にて回復した。このうち本剤との関連性が否定できないものは、潮紅2件及びほてり1件の計3件であった。

オクトレオチド酢酸塩投与後に発現した有害事象は5名(14.3%)5件であった。内訳は、腹

痛、不整脈、発熱、浮動性めまい及び不快感が各1件であった。不快感の1件は処置なく軽快し、他の4件も投薬又は無処置にて回復しており、いずれも本剤との関連性は否定された。一方、オクトレオチド酢酸塩との関連性が否定できないものは、腹痛1件及び不快感1件の計2件であった。

安全性評価除外の1名においても本剤投与後に中等度の嘔吐1件が発現した(表2.7.6.5-26)。 薬剤投与により1分後に回復しており、治験以前から認められていた症状であることから本剤 との関連性は否定された。

表2.7.6.5-25 有害事象の一覧

登録	有害事	象	10 de	発現時期/持続時間/		関連性
番号	報告書記載	用語集*	- 程度	処置/転帰	治験薬	オクトレオチド酢酸塩
A-11	嘔気	悪心	中等度	本剤投与2時間後に発現	2. 1	
				3日後に薬剤投与にて回復	なし	_
	嘔吐	嘔吐	中等度	本剤投与2時間後に発現	2.1	
				3日後に薬剤投与にて回復	なし	_
A-17	腹痛	腹痛	中等度	オクトレオチド酢酸塩投与直		
				後(本剤投与43日後)に発現 なし		あり
				10数分後に薬剤投与にて回復		
B-09	頭痛	頭痛	中等度	本剤投与9時間後に発現	なし	
				1時間後に薬剤投与にて回復	なし	_
	不整脈	不整脈	軽度	オクトレオチド酢酸塩投与6時		
				間後(本剤投与3日後)に発現	なし	なし
				1分後に無処置にて回復		
B-13	発熱	発熱	中等度	オクトレオチド酢酸塩投与1日		
				後(本剤投与20日後)に発現	なし	なし
				4日後に薬剤投与にて回復		
B-14	悪心	悪心	軽度	本剤投与1日後に発現	なし	
				5時間後に無処置にて回復	なし	
	心窩部痛	上腹部痛	軽度	本剤投与1日後に発現	なし	
				5時間後に無処置にて回復	なし	_
B-15	少し顔がはれぼっ	潮紅	軽度	本剤投与1日後に発現	不明	_
	たい感じがする			1日後に無処置にて回復	71,67	
B-21	顔のほてり	潮紅	軽度	本剤投与1時間後に発現	疑われる	
				1日後に無処置にて回復	無4746分	
B-22	耳のほてり感	ほてり	軽度	本剤投与30分後に発現	疑われる	
				7.5時間後に無処置にて回復	無4746分	
	胸やけ	消化不良	軽度	本剤投与30時間後に発現	なし	
				1日後に無処置にて回復	74 C	
	ふらふらした感じ	浮動性めま	軽度	オクトレオチド酢酸塩投与23		
		٧١		時間後(本剤投与6日後)に発現	なし	なし
				10時間後に無処置にて回復		
B-23	下肢冷感	末梢冷感	軽度	本剤投与30分後に発現	なし	_
				数秒間後に無処置にて回復	なし	
B-26	上腹部あたりの圧	不快感	軽度	オクトレオチド酢酸塩投与5分		
	迫感	. · <u>-</u> -		後(本剤投与3日後)に発現	なし	不明
				1時間後に無処置にて軽快		

^{*}MedDRA/J ver. 17.1 基本語(PT)

表2.7.6.5-26 有害事象の一覧(安全性評価除外例)

登録	有害事象		有害事象		— 程度	発現時期/持続時間/		関連性
番号	報告書記載	用語集*	住及	処置/転帰	治験薬	オクトレオチト、酢酸塩		
B-16	嘔吐	嘔吐	中等度	本剤投与5時間後に発現	421	_		
				1分以内に薬剤投与にて回復	なし	_		

^{*}MedDRA/J ver. 17.1 基本語(PT)

(2) 臨床検査

安全性評価対象例のうち本剤投与前後の測定値が揃っている被験者を対象に臨床検査値の 平均値及び標準偏差(SD)を算出した(表2.7.6.5-27)。尿酸において投与前後値の変動に有 意差が認められた。しかし、正常値内の変動であり、過去の治験において異常は認められてい ないことから臨床上問題ないと考えた。

担当医により異常変動ありと判定された被験者は、安全性評価対象35名中4名(10件)であった。内訳は、総コレステロール及び総ビリルビンの異常変動がそれぞれ2件であり、AST、ALT、 γ -GPT、総タンパク、尿酸及び尿蛋白の異常変動がそれぞれ1件であった。いずれも本剤との関連性が否定された。また、安全性評価除外例(完全除外例)の2名に10件の異常変動が認められた。これらも本剤との関連性が否定された。

表2.7.6.5-27 臨床検査値の推移

項目		被験者数	投与前 (平均値 ± SD)	投与後24時間 (平均値 ± SD)	paired t検定
赤血球	$(\times 10^4/\text{mm}^3)$	35	423.0 ± 62.11	425.7 ± 62.73	NS
ヘモグロビン	(g/dL)	35	13.0 ± 1.89	13.0 ± 1.95	NS
ヘマトクリット	(%)	35	38.9 ± 5.03	39.1 ± 5.29	NS
白血球	$(/mm^3)$	35	6393.7 ± 3678.59	6484.9 ± 3651.19	NS
血小板	$(\times 10^4/\text{mm}^3)$	35	23.4 ± 5.75	23.6 ± 6.32	NS
好中球	(%)	35	63.2 ± 10.57	63.0 ± 9.96	NS
好酸球	(%)	35	3.4 ± 2.66	3.4 ± 3.16	NS
好塩基球	(%)	34	0.6 ± 0.60	0.6 ± 0.54	NS
リンパ球	(%)	35	26.8 ± 9.66	26.3 ± 8.73	NS
単球	(%)	35	5.9 ± 2.62	6.6 ± 2.90	NS
AST (GOT)	(U/L)	35	27.7 ± 16.05	26.4 ± 13.66	NS
ALT (GPT)	(U/L)	35	35.7 ± 29.11	33.5 ± 24.21	NS
ALP	(U/L)	35	283.7 ± 207.26	281.1 ± 192.47	NS
γ-GTP	(U/L)	35	64.4 ± 72.98	62.9 ± 69.44	NS
総コレステロール	(mg/dL)	33	197.4 ± 36.86	199.2 ± 38.61	NS
総タンパク	(g/dL)	34	6.9 ± 0.72	6.9 ± 0.76	NS
アルブミン	(g/dL)	34	4.0 ± 0.52	4.1 ± 0.51	NS
LDH	(U/L)	35	280.4 ± 205.42	279.3 ± 196.53	NS
総ビリルビン	(mg/dL)	34	0.7 ± 0.51	0.7 ± 0.65	NS
尿酸	(mg/dL)	35	5.1 ± 1.48	4.9 ± 1.40	0.0037^{*}
BUN	(mg/dL)	35	14.5 ± 3.92	13.9 ± 4.69	NS
クレアチニン	(mg/dL)	35	0.8 ± 0.25	0.8 ± 0.25	NS
Na	(mEq/L)	35	141.1 ± 3.40	140.6 ± 3.45	NS
K	(mEq/L)	35	4.0 ± 0.48	4.0 ± 0.51	NS
Cl	(mEq/L)	35	103.9 ± 3.55	103.8 ± 3.74	NS
Ca	(mg/dL)	29	9.1 ± 0.81	9.1 ± 0.91	NS
Ca	(mEq/L)	4	4.6 ± 0.29	4.6 ± 0.39	NS
P	(mg/dL)	31	3.2 ± 0.56	3.3 ± 0.56	NS

NS:有意差なし、*p<0.01

(3) バイタルサイン

本剤投与前後の値の結果では投与30分後の収縮期血圧、脈拍数及び呼吸数と投与1時間後の脈拍数において、投与前値と比較して有意な低下が見られたが、個々の被験者において異常変動は認められなかった。バイタルサインの結果を表2.7.6.5-28に示す。

表2.7.6.5-28 バイタルサインの推移

項目		被験者数	投与前	30分	1時間	24時間
体温	$(^{\circ}\!\mathbb{C})$	35	36.4 ± 0.55	36.4 ± 0.49	36.5 ± 0.62	36.4 ± 0.59
収縮期血圧	(mmHg)	35	126.1 ± 15.28	$120.6 \pm 11.73^*$	123.3 ± 12.97	124.7 ± 14.82
拡張期血圧	(mmHg)	35	78.0 ± 10.61	76.1 ± 9.35	78.5 ± 9.19	77.8 ± 9.78
脈拍数	(拍/分)	35	75.6 ± 16.65	$72.1 \pm 14.35^*$	$71.6 \pm 15.37^*$	75.3 ± 16.11
呼吸数	(回/分)	35	18.3 ± 3.57	$17.1 \pm 3.76^*$	18.0 ± 3.30	17.9 ± 3.74

paired t検定 * p < 0.01

(平均值 ± SD)

(4) 安全性の評価

担当医が、有害事象、バイタルサイン及び臨床検査値を勘案して、総合的に評価した安全性の結果を表2.7.6.5-29に示す。安全性評価対象35名中、「問題なし」が32名(91.4%)で、「やや問題あり」が3名(8.6%)であった。「やや問題あり」とされた3名は、いずれも本剤との関連性が否定し得ない有害事象(顔のはれぼったい感じ、顔のほてり及び耳のほてり感)を発現した被験者であった。

委員会で担当医が評価した安全性の結果について妥当性を検討した結果、全35名が「評価に 問題なし」と判断された。

表2.7.6.5-29 安全性の評価(担当医評価)

判定	被験者数 (%)
問題ない	32 (91.4)
やや問題あり	3 (8.6)
問題あり	0 (0.0)
重大な問題あり	0 (0.0)
合計	35 (100.0)

<有用性>

(1) 有用性の評価 (委員会評価)

委員会による有用性の評価を表2.7.6.5-30に示す。A群では11/16名(68.8%)で「有用」と判定された。ガストリノーマは7/8名(87.5%)が、インスリノーマは1/4名(25.0%)が「有用」と判定された。「有用でない」と判定されたのは4名であり、そのうち3名は組織診断による有効性評価で「無効」と判定されたために有用性は「有用でない」と判定されたが、2名は病理組織学的に内分泌腫瘍であった。B群では5/19名(26.3%)で「有用」と判定された。いずれも本検査前の画像診断で検出できなかった病変を本検査で検出できた被験者であった。

登録群	疾患名	有用	やや有用	有用でない	判定不能	有用の	比率(%)
A群	ガストリノーマ	7	0	1	0	7/8	(87.5)
	インスリノーマ	1	0	2	1	1/4	(25.0)
	カルチノイド	1	0	1	0	1/2	(50.0)
	その他	2	0	0	0	2/2	(100.0)
	計	11	0	4	1	11/16	(68.8)
B群	ガストリノーマ	4	0	3	0	4/7	(57.1)
	インスリノーマ	0	0	4	3	0/7	(0.0)
	カルチノイド	1	0	3	0	1/4	(25.0)
	その他	0	0	1	0	0/1	(0.0)
	計	5	0	11	3	5/19	(26.3)
合計		16	0	15	4	16/35	(45.7)

表2.7.6.5-30 有用性の評価(委員会評価)

結論:

消化管ホルモン産生腫瘍が疑われる被験者40名(A群18名、B群22名)を評価対象として、本剤の消化管ホルモン産生腫瘍の診断における有効性、安全性及び有用性を評価するために、全国15施設による多施設共同臨床試験を実施した。

有効性評価対象35名中、オクトレオチド負荷試験実施症例における委員会評価の有効性はA群で12/16名(75%)が有効であった。一方、B群では11/19名(57.9%)が有効であった。組織診断実施症例における委員会評価の有効性はA群5/9名(55.6%)、B群2/4名(50.0%)が有効であった。

安全性については、安全性評価対象35名中10名(28.6%)において15件の有害事象が認められた。重篤なものは認められず、いずれも無処置又は投薬により回復した。また本剤との関連性が否定できないものは3名(8.6%)3件(顔面のほてり2件及びほてり1件)であった。バイタルサインと臨床検査値においても臨床的に問題となるような変動は認められなかった。

治療方針決定への有益な情報の有無については、A群で14/16名(87.5%)と多くの症例で有益な情報があった。B群で有益な情報があったのは3/19名(15.8%)であった。A、B両群全体では17/35名(48.6%)で有益な情報があった。治療方針決定への有益な情報「有り」の場合の内訳では、A群で「治療方針について」が13/14名と多く、「オクトレオチド酢酸塩処方について」は4/14名であった。B群では「治療方針について」、「オクトレオチド酢酸塩処方について」、「その他」いずれも3名ずつであった。

有用性について、A群では11/16名(68.8%)で「有用」と判定された。疾患別ではガストリノーマでは7/8名(87.5%)とその多くが「有用」と判定された。インスリノーマで「有用」と判定されたのは1/4名(25.0%)であった。B群では5/19名(26.3%)で「有用」と判定された。これら5名のうち4名はガストリノーマ、1名はカルチノイドであった。これらはいずれも本検査前に行われた他の画像診断で検出できなかった病変が本検査により検出できた症例であった。

以上の結果をもって、消化管ホルモン産生腫瘍の診断及び治療方針の決定において、本剤が 臨床上有用な放射性医薬品であることを示した。

2.7.6.6 海外第Ⅲ相臨床試験「参考資料]

......添付資料5.3.5.3.1

海外第Ⅲ相臨床試験として、欧州で同時期に15個の単施設試験が実施され、そのうち14試験は同一プロトコールで実施された*。以下は、同一プロトコールで実施された14試験のうち、米国での新薬申請の際に米国食品医薬品局(FDA)によりピボタル試験と判断された9試験(91-132、91-133、91-134、91-136、91-137、91-148、91-149、91-150、91-151試験)の統合結果である。なお、統合しなかった6試験(91-139、91-140、91-142、91-146、91-166、91-170試験)については、安全性の結果のみ本文書の最後に示した。

*91-170試験は、試験デザインは他の14試験と同様であったが、対象をカルチノイドに限定していた。

治験の標題:

A phase 3, open label, study to determine the safety and efficacy of OctreoScan 111 in the scintigraphic localization of primary and metastatic gastro-entero-pancreatic endocrine (GEP) tumours.

治験実施施設及び治験責任医師:

表2.7.6.6-4参照

公表文献:

該当なし

治験期間:

19 年 月~19 年 月

開発のフェーズ:

第Ⅲ相

目的:

胃腸膵(gastro-entero-pancreatic)の神経内分泌腫瘍(NET)が証明された又は臨床的に強く疑われる患者を対象として、OctreoScan 111(以下、本剤)を用いたシンチグラフィ(以下、本検査)による腫瘍の検出及び局在診断における安全性及び有効性を検討する。

試験デザイン:

オープン、被験者内比較試験。

本剤による腫瘍の局在診断をCT、US、MRI、血管造影、選択的静脈サンプリング、生検及び /又は手術等の従来の局在診断法の結果と比較した。本検査の画像読影は、本検査前に実施さ れた従来の局在診断結果を盲検化した状態で、各治験実施施設の核医学医1名が行った。

被験者数(計画時及び解析時):

投与被験者数:365名

評価対象被験者数:365名

画質:298名

症例毎及び部位毎の診断能:309名

治療方針に及ぼす影響:206名

安全性: 365名

対象疾患:

神経内分泌腫瘍

主な選択基準:

下記の条件の少なくとも1つを満たす患者。なお、年齢、性別及び妊娠の有無は問わなかった。

- (1) 胃腸膵のNETの臨床診断が陽性である。内分泌活性が証明されているが、最新の局在診 断法でも腫瘍の場所が明らかではない。
- (2) 内分泌活性を示さないが、胃腸膵の内分泌腺を起源とする腫瘍の場所が明らかで、組織学的診断が陽性である。腫瘍の種類は転移を起こすことが知られている。
- (3) 内分泌学的に活性な胃腸膵領域の腫瘍の臨床診断が陽性である。内分泌活性が証明されており、腫瘍の種類は転移を起こすことが知られている。
- (4) 異所性の胃腸膵ホルモン産生腫瘍(気管支、喉頭、卵巣、縦隔又はリンパ節のカルチノイド)の臨床診断が陽性である。

主な除外基準:

- (1) 確定的な局在診断が得られない(外科的診査又は生検が行われない)可能性が高い患者。
- (2) シンチグラフィに耐えられないと考えられる患者。
- (3) 臨床情報が十分でないため、臨床診断を下すことができない患者。

被験薬:

治験薬: OctreoScan® 111

本剤は、バイアルA及びバイアルBの組み合わせ(セット)より成る。

バイアルAの内容物をバイアルBのバイアルに用時添加し、混和して調製する。

投与前に標識率を測定し、97%未満の場合は投与しないこととする。

表2.7.6.6-1 治験薬のセット構成

バイアル	1バイアル中の					
	成分	含量				
A	塩化インジウム(¹¹¹ In)	111 MBq/mL(検定日時)				
В	ペンテトレオチド	10 μg				

対照薬:該当なし

用法・用量:

投与量: プラナー撮像単独の場合-111 MBq

SPECT撮像予定の場合-222 MBq(本剤2セットを使用)

投与方法:静脈内投与(単回投与)

撮像方法:プラナー撮像-本剤投与後4及び24時間にプラナー像(前面及び後面像、必要に応

じて側面像)を撮像した。投与後4時間の画像には、少なくとも最も重要な関心領域を含めた。投与後24時間の画像には、頭頸部から大腿中部領域までの全身を含

めた。投与後24時間の画像に基づき、48時間の撮像の必要性を決定した。

SPECT撮像一医師の裁量により追加した。

併用療法: オクトレオチド酢酸塩による治療を行っている場合は、可能な限り、本剤投与3日

前から休薬することとした。臨床的に3日間の休薬が不可能な場合は、12時間前よ

り休薬することとした。

治験方法:

観察・検査項目及び実施時期を表2.7.6.6-2に示した。

表2.7.6.6-2 観察・検査項目及び実施時期

項目				投与後		
供日	汉分 削	5分	30分	4時間	24時間	48時間
撮像 プラナー像				○*1	○*2	Δ
SPECT像				← (医師の	裁量により	追加)→
バイタルサイン	○*3	\bigcirc	\circ			
臨床検査	\circ				\bigcirc	
有害事象		←	(投与直	後から48時間	後まで)	\rightarrow

- ○*1 少なくとも最も重要な関心領域を撮像する。
- ○*2 全身(頭頸部~大腿中部)を撮像する。
- ○*3 投与前15分及び10分に測定する。
- △ 必要に応じて撮像する。

評価項目:

<画質>

本検査の画質(診断に適する、診断に適さない)を判定した。

診断に適する: 画質に関する医師のコメントがexcellent、good、high、medium、satisfactory、

satisfactory-good、very good又はvery satisfactoryであった場合。

診断に適さない:画質に関する医師のコメントがlimited、poor又はbadであった場合。

<有効性>

(1) 症例毎の診断能

症例毎に本検査の結果を本検査前の従来の局在診断法の結果と比較し、「有効」、「無効」 に分類した。

有効:本検査及び従来の局在診断法で少なくとも1つの共通部位に腫瘍が検出された場合、又は両者でいかなる部位にも腫瘍が検出されなかった場合。

無効: 従来の局在診断法で腫瘍が検出されたが、本検査ではこれが検出されなかった場合。

なお、従来の局在診断法で腫瘍は検出されなかったが、本検査が陽性であった患者は、本検査後にその局在の確証を得る又は否定するためのデータが得られていない限り、有効性の評価から除外した。

(2) 部位毎の診断能

病巣部位毎に本検査の結果を本検査前の従来の局在診断法の結果と比較し、「真陽性」、「偽 陽性」、「偽陰性」、「真陰性」、「未確認陽性」に分類した(表2.7.6.6-3)。

真陽性: 従来の局在診断法と本検査の双方で病変が検出された場合。又は、本検査で

新たに検出された病変が生検で確証が得られた場合。

偽陽性: 本検査で新たに検出された病変が生検で否定された場合。

偽陰性: 従来の局在診断法で病変が検出されたが、本検査では検出されなかった場合。

真陰性: 従来の局在診断法と本検査の双方でNETの証拠がなかった場合。

未確認陽性:本検査で新たに検出された病変の生検による追跡情報が得られていない場合。

表2.7.6.6-3 部位毎の陽性、陰性の判定基準 本検査前の従来の局在診断法

		本検査前の従来の局在診断法		
		陽性	陰性	
本検査	陽性	真陽性	未確認陽性、 真陽性 ^{*1} 又は偽陽性 ^{*2}	
	陰性	偽陰性	真陰性	

^{*1} 本検査で新たに検出された病変が生検で確証が得られた場合

<治療方針に及ぼす影響>

質問票を配布し、本検査により新たに得られた知見(新規腫瘍の検出、NETであることの確認、ソマトスタチン受容体の有無)及び治療方針の変更(手術の実施又は中止、オクトレオチド療法の開始又は用量変更)について情報を収集した。

^{*2} 本検査で新たに検出された病変が生検で否定された場合

<安全性>

- (1) 有害事象
- (2) 臨床検査(血液学的検査、血液生化学検査、尿検査)
- (3) バイタルサイン (血圧、脈拍数、呼吸数)

統計手法:

バイタルサイン及び臨床検査について、投与前後の平均値の比較には符号付順位検定を用い、 有意水準は5%とした。全般的に、記述統計量は個々の試験及び試験全体の両方について算出 したが、統計的検定は個々の試験についてのみ実施した。

要約一結論:

<症例の内訳>

(1) 解析対象

試験結果を統合した9試験の実施施設及びその被験者数を表2.7.6.6-4に示す。

NETが証明された又は臨床的に疑われた患者365名が試験に組み入れられた。本試験はカルチノイドを含む胃腸膵NETを対象に計画されたものであったが、胃腸膵以外のNETも多数組み入れられ、評価に際しては全てのNETを対象とした。

完全除外例はなく全365名を評価対象とした。画質の評価では、画質に関するコメントが記録されていた298名を評価対象とした。症例毎及び部位毎の診断能の評価では、NETではない(非NET)と判定された40名及び従来の局在診断法で腫瘍が検出されず、本検査で新たに検出された病変の追跡情報も得られなかった16名を除外し、309名を評価対象とした。治療方針に及ぼす影響の評価では、質問票が回収された8試験206名を評価対象とした。また、安全性では全365名を評価対象とした。なお、本剤の投与を複数回受けていた被験者が9名いたが、2回目以降の投与のデータは有効性及び安全性の全評価より除外した。

添付資料 試験No. 施設名及び所在地 実施期間 被験者数 責任医師名及び所属 番号 91-132 5.3.5.2.3 39 ドイツ 91-133 5.3.5.2.4 38 ベルギー 91-134 5.3.5.2.5 80 ドイツ 91-136 19 5.3.5.2.6 ドイツ 91-137 5.3.5.2.7 19 23 フランス 91-148 5.3.5.2.8 30 イギリス 91-149 12 5.3.5.2.9 ドイツ 91-150 5.3.5.2.10 30 イスラエル 91-151 5.3.5.2.11 41 スウェーデン

表2.7.6.6-4 治験実施施設、責任医師及び被験者数一覧

(2) 人口統計学的特性

評価対象365名の被験者背景を表2.7.6.6-5に示す。また、疾患名の内訳を表2.7.6.6-6に示す。 男女比は約1:1であり、約70%の被験者はオクトレオチドの治療を受けていなかった。

疾患名が「未分類のNET」とされた49名のうち、48名は病理学的にNETの分類に属することが確認されたが、それ以上詳細には分類できなかった。残り1名は血清ホルモン濃度に基づきNETと分類されたが、病理学的分類は得られなかった。「未確証のNET」とされた27名はNETの証拠を有していたが、従来の局在診断法で腫瘍は検出されなかった。その内訳は、ガストリノーマの疑い11名、カルチノイドの疑い7名、インスリノーマの疑い6名、褐色細胞腫の疑い1名で、2名は血清コルチゾール濃度が上昇しており、起原が下垂体以外のNETであることが示唆された。40名は「非NET」と分類され、有効性評価対象から除外された。

表2.7.6.6-5 被験者背景

背景因子		全被験者
月 从 口 1		(n = 365)
性別	男性	174
	女性	191
年齢	平均値 ±SD	54.0 ± 14.9
	範囲	1.8~86
オクトレオチド治療歴	なし	254
	あり	102
	不明	9

表2.7.6.6-6 疾患名の内訳

疾患名	全被験者
	(n = 365)
カルチノイド	132
ガストリノーマ	26
インスリノーマ	12
インスリノーマと下垂体腺腫*1	1
グルカゴノーマ	6
VIPオーマ	4
モチリノーマ	1
甲状腺髄様癌	19
甲状腺髄様癌と褐色細胞腫*1	2
髄膜腫と下垂体腺腫*1	1
神経芽腫	1
傍神経節腫	3
褐色細胞腫	5
下垂体腺腫	34
肺小細胞癌	2
未分類のNET	47
未分類のNETと下垂体腺腫*1	2
未確証のNET*2	27
非NET	40

^{*1 2}種類の腫瘍を併発

^{*2} ガストリノーマ疑い11名、カルチノイド疑い7名、インスリノーマ疑い6名、褐色細胞腫疑い1名、コルチゾール産生腫瘍疑い2名

未分類:病理学的にNETに属することが確認されたがそれ以上詳細には 分類できなかった、又は血清ホルモン濃度に基づきNETと分類された が、病理学的分類は得られなかった。

未確証:NETの証拠を有していたが、従来の局在診断法で腫瘍は検出されなかった。

(3) 実投与量及び標識率

プラナー撮像には本剤111 MBqを、SPECT撮像を予定している場合には本剤2セットを使用して222 MBqを投与する計画で実施した。本剤の実投与量及び標識率を表2.7.6.6-7に示す。

実投与量は $40.0~MBq\sim296.0~MBq$ の範囲で、平均 $173.4\pm53.2~MBq$ であった。投与量の記録があった364名中250名で2セットが使用されていた。

標識率は56.0~100.0%の範囲で、平均97.0±4.0%であった。プロトコールには標識率が97% 未満の場合には投与すべきではないと明記されていたが、標識率の記録があった362名中89名 (24.6%) で標識率は97%未満であった。

表2.7.6.6-7 実投与量及び標識率

項目	統計量	使用セ	合計	
供口	NUTT E	1	2	
実投与量 (MBq)	被験者数	114	250	364
	平均値 ±SD	111.6 ± 19.3	201.6 ± 37.5	173.4 ± 53.2
	範囲	40.0~190.0	92.5~296.0	40.0~296.0
標識率 (%)	被験者数	113	249	362
	平均値 ±SD	96.3 ± 5.4	97.4 ± 3.1	97.0 ± 4.0
	範囲	67.3~99.6	56.0~100	56.0~100

<画質>

本剤の標識率別の画質の評価を表2.7.6.6-8に示す。評価対象298名中295名(99.0%)で、画質は「診断に適する」と判定された。「診断に適さない」と判定された3名中2名は、標識率が97%以上の本剤が投与されていた。診断に適した画像が広範囲の標識率に渡って得られたことから、画質は標識率とは関連しないと考えられた。

表2.7.6.6-8 画質の評価

+亜 -		画質の評価		∧ ∌I.
標識率 (%)	診断に適する	診断に適さない	評価の記載なし	合計
< 90	8	1	1	10
90~96.9	72	0	7	79
≥ 97	213	2	58	273
未測定	2	0	1	3
合計	295	3	67	365

<有効性>

(1) 症例毎の診断能

症例毎の診断能の評価を表2.7.6.6-9に示す。評価対象309名中267名(86.4%)が「有効」と 判定された。評価された疾患15種類中11種類で85%以上の有効率が得られた。

表2.7.6.6-9 症例毎の診断能

疾患名	被験者数	有効	無効	有効率 (%)
カルチノイド	132	117	15	117/132 (88.6)
ガストリノーマ	25	25	0	25/25 (100)
インスリノーマ	12	5	7	5/12 (41.7)
グルカゴノーマ	6	6	0	6/6 (100)
VIPオーマ	4	4	0	4/4 (100)
モチリノーマ	1	1	0	1/1 (100)
髄膜腫	1	1	0	1/1 (100)
甲状腺髄様癌	18	12	6	12/18 (66.7)
神経芽腫	1	0	1	0/1 (0.0)
傍神経節腫	3	3	0	3/3 (100)
褐色細胞腫	7	6	1	6/7 (85.7)
下垂体腺腫	34	24	10	24/34 (70.6)
肺小細胞癌	2	2	0	2/2 (100)
未分類のNET	49	43	6	43/49 (87.8)
未確証のNET	20	19	1	19/20 (95.0)
合計	309*1	267*2	42*3	267/309 (86.4)

^{*1} 被験者数の合計は315名となるが、6名が2種類の腫瘍を有するため、実合計被験者数は309名となる。

(2) 部位毎の診断能

疾患別及び腫瘍局在部位別の部位毎の診断能の評価をそれぞれ表2.7.6.6-10及び表2.7.6.6-11に示す。全体では、腫瘍局在部位508のうち401部位(78.9%)で、従来の局在診断法の結果との一致(真陽性又は真陰性)が見られた。また、本検査により、従来の局在診断法では検出されなかった110の局在部位が新たに検出された。この110部位のうち、37部位(33.6%)は追跡調査で確証が得られ真陽性、3部位(2.7%)は否定され偽陽性と判定された。残りの70部位(63.6%)は追跡調査による確認が行われず、未確認陽性と判定された。

^{*2} 被験者数の合計は268名となるが、2種類の腫瘍を有する1名が両腫瘍の診断に有効と判定されたため、実合計被験者数は267名となる。

^{*3} 被験者数の合計は47名となるが、2種類の腫瘍を有する5名が両腫瘍の診断に無効と判定されたため、実合計被験者数は42名となる。

表2.7.6.6-10 疾患別の部位毎の診断能

疾患名	真陽性	偽陽性	偽陰性	真陰性	一致率	(%)	未確認 陽性
カルチノイド	185	0	47	5	190/237	(80.2)	41
ガストリノーマ	38	0	2	2	40/42	(95.2)	8
インスリノーマ	4	1	8	0	4/13	(30.8)	1
インスリノーマと下垂体腺腫	1	0	2	0	1/3	(33.3)	0
グルカゴノーマ	8	0	3	0	8/11	(72.7)	1
VIPオーマ	6	0	1	0	6/7	(85.7)	1
モチリノーマ	3	0	0	1	4/4	(100)	0
甲状腺髄様癌	10	0	10	2	12/22	(54.5)	4
甲状腺髄様癌と褐色細胞腫	2	1	2	0	2/5	(40.0)	1
髄膜腫と下垂体腺腫	1	0	1	0	1/2	(50.0)	0
神経芽腫	0	0	1	0	0/1	(0.0)	0
傍神経節腫	6	0	1	0	6/7	(85.7)	2
褐色細胞腫	8	0	0	1	9/9	(100)	0
下垂体腺腫	18	0	6	6	24/30	(80.0)	0
肺小細胞癌	2	0	0	0	2/2	(100)	1
未分類のNET	68	0	16	3	71/87	(81.6)	9
未分類のNETと下垂体腺腫	2	0	4	0	2/6	(33.3)	1
未確証のNET	1	1	0	18	19/20	(95.0)	0
合計	363	3	104	38	401/508	(78.9)	70

表2.7.6.6-11 腫瘍局在部位別の部位毎の診断能

腫瘍局在部位	真陽性	偽陽性	偽陰性	真陰性	一致	率 (%)	未確認陽性
副腎	4	0	3	0	4/7	(57.1)	1
骨	22	1	6	0	22/29	(75.9)	4
腸	20	0	4	0	20/24	(83.3)	3
胸部	2	0	1	0	2/3	(66.7)	0
肝臓	142	1	30	2	144/175	(82.3)	5
肺	15	0	10	0	15/25	(60.0)	4
リンパ節	44	0	6	0	44/50	(88.0)	13
縦隔	11	0	2	0	11/13	(84.6)	12
頚部	6	0	3	0	6/9	(66.7)	1
膵臓	42	1	18	0	42/61	(68.9)	6
下垂体	17	0	10	0	17/27	(63.0)	2
脾臓	1	0	1	1	2/3	(66.7)	1
胃	3	0	2	0	3/5	(60.0)	0
その他	34	0	8	0	34/42	(81.0)	18
局在部位なし	0	0	0	35	35/35	(100)	0
合計	363	3	104	38	401/508	(78.9)	70

<治療方針に及ぼす影響>

質問票に記録された本検査施行後の治療の変更内容を表2.7.6.6-12に示す。回答が得られた

206名中64名において、本検査の結果に基づいて66件の治療方針が変更された。13名で手術が施行又は計画され、3名で手術が中止された。また、35名でオクトレオチド又はその他のソマトスタチンアナログ療法が開始され、15名で用量が変更された。

表2.7.6.6-12 治療方針に及ぼす影響

影響	被験者の	割合 (%)
病変についての情報:		
以前にわかっていなかった局在について情報が得られた。	57/204	(27.9)
存在することが分かっていたが、NETであることが立証されていな	55/195	(28.2)
い病変において取り込みが認められた。		
既知の病変においてソマトスタチン受容体の有無が立証された。	103/195	(52.8)
患者の治療の変更:		
手術が施行又は計画された。	13/206	(6.3)
手術が中止された。	3/206	(1.5)
オクトレオチド (又はその他のソマトスタチンアナログ) 療法が開	35/206	(17.0)
始された。		
オクトレオチドの用量が変更された。	15/206	(7.3)

<安全性>

(1) 有害事象

有害事象の内容及び発現率を表2.7.6.6-13に示す。365名中10名(2.7%)に16件の有害事象が報告された。有害事象はいずれも一過性であり、その殆どが原疾患及び/又はオクトレオチド療法の中断に起因するものであった。有害事象16件のうち、91-132試験の1名(症例No. 30)(0.3%)で発現した潮紅1件及び頭痛1件が、本剤の投与に起因するとみなされた。この被験者では、潮紅及び頭痛が本剤投与後2時間に発現し、5分間持続した。

表2.7.6.6-13 有害事象一覧

器官別大分類 (SOC)*1	全体 (n = 365)			
基本語 (PT)	例数 (%)	件数		
全ての有害事象	10 (2.7)	16		
胃腸障害	3 (0.8)	3		
悪心	3 (0.8)	3		
一般・全身障害及び投与部位の状態	2 (0.5)	2		
発熱	1 (0.3)	1		
無力症	1 (0.3)	1		
臨床検査	1 (0.3)	1		
血圧低下	1 (0.3)	1		
筋骨格系及び結合組織障害	1 (0.3)	1		
関節痛	1 (0.3)	1		
神経系障害	4 (1.1)	4		
頭痛*2	3 (0.8)	3		
浮動性めまい	1 (0.3)	1		
皮膚及び皮下組織障害	3 (0.8)	3		
冷汗	2 (0.5)	2		
多汗症	1 (0.3)	1		
血管障害	2 (0.5)	2		
潮紅*2	2 (0.5)	2		

^{*&}lt;sup>1</sup> 有害事象用語: MedDRA/J ver. 17.1

(2) 臨床検査

1) 血液学的検査

9試験を統合した全体では、一定の傾向を示す変動は特に認められなかった。

個々の試験では、表2.7.6.6-14に示した項目において、投与前後で統計学的に有意な変化が 認められた。しかし、平均値の変化はいずれもわずかであり、臨床的に意味がある変動とはみ なされなかった。

個々の被験者では、1名(試験No. 91-132の症例No. 28)に2件の臨床的に有意な変化が認められた。この被験者では、ヘモグロビン値が投与前値の12.0 mmol/Lから投与後24時間に7.4 mmol/Lに、ヘマトクリットが35.5%から22.6%に低下した。

^{*2} 頭痛1件及び潮紅1件は副作用とみなされた

表2.7.6.6-14 血液学的検査項目における統計的に有意な変化(個々の試験)

試験No.	項目	投与	前	投与後(投与後の変化		
武硕央 INO.		平均值	(例数)	平均值	(例数)	— p値	
91-133	ヘモグロビン (mmol/L)	2.10	(35)	-0.04	(33)	0.028	
	顆粒球 (%)	66.35	(35)	+3.33	(33)	0.023	
	リンパ球 (%)	22.20	(35)	-2.42	(33)	0.049	
	好塩基球 (%)	0.75	(35)	-0.12	(33)	0.002	
91-134	ヘマトクリット (%)	39.5	(72)	+0.45	(66)	0.042	
	リンパ球 (%)	23.87	(61)	+1.87	(55)	0.019	
91-137	ヘモグロビン (g/dL)	13.17	(23)	-0.20	(23)	0.007	

2) 血液生化学検査

9試験を統合した全体では、一定の傾向を示す変化は特に認められなかった。

個々の試験では、表2.7.6.6-15に示した項目において、投与前後で統計学的に有意な変化が 認められた。しかし、平均値の変化はいずれもわずかであり、臨床的に意味がある変動とはみ なされなかった。

個々の被験者では、表2.7.6.6-16に示したように、臨床的に有意な変化が3試験の4名に4件認められた。

表2.7.6.6-15 血液生化学検査項目における統計的に有意な変化(個々の試験)

試験No.	項目	投与	-前	投与後(- p値	
武	垻 口	平均值	(例数)	平均值	(例数)	- b川町
91-132	尿素 (mg/dL)	18.18	(33)	+2.83	(24)	< 0.001
91-133	カルシウム(mmol/L)	4.92	(32)	-0.09	(32)	0.014
	ビリルビン (μmol/L)	10.63	(34)	-0.66	(34)	0.045
	ALP (U/L)	89.55	(33)	-5.27	(33)	0.006
91-134	カリウム (mmol/L)	4.21	(77)	+0.10	(73)	0.001
	カルシウム (mmol/L)	2.33	(73)	+0.04	(71)	0.011
	リン酸塩 (mmol/L)	1.04	(72)	+0.05	(67)	0.010
	LDH (U/L)	170.12	(74)	-3.90	(70)	0.015
91-136	リン酸塩 (mmol/L)	1.16	(51)	+0.07	(37)	0.005
91-137	AST (GOT) (U/L)	21.87	(23)	-1.35	(23)	0.002
	ALT (GPT) (U/L)	19.70	(23)	-1.39	(23)	0.002
	LDH (U/L)	277.87	(23)	-10.52	(23)	0.034
	γ-GTP (U/L)	91.87	(23)	-6.39	(23)	0.004
91-148	ALP (U/L)	211.21	(28)	-18.65	(26)	< 0.001
91-149	ALT (GPT) (U/L)	17.27	(11)	-2.30	(10)	0.023
91-150	リン酸塩 (mmol/L)	1.15	(28)	+0.13	(26)	< 0.001
91-151	クレアチニン (μmol/L)	90.91	(11)	+5.50	(6)	0.031

表2.7.6.6-16 血液生化学検査における個々の被験者での臨床的に有意な変動

試験No.	症例No.	項目		投与前	投与後24時間
91-134	58	AST (GOT)	(U/L)	10	64
	83	γ-GTP	(U/L)	6	89
91-136	84	尿酸	(mg/dL)	5.8	8.0
91-137	10	ALP	(U/L)	76.0	190.0

3) 尿検査

いずれの被験者においても、全ての検査項目(尿中アルブミン及び尿沈渣)で臨床的に有意な変化は認められなかった。

(3) バイタルサイン

9試験を統合したバイタルサインの推移を表2.7.6.6-17に示す。全体では、一定の傾向のある変動は認められなかった。

個々の試験では、表2.7.6.6-18に示した項目において、投与前後で統計学的に有意な変化が 認められた。しかし、平均値の変化はいずれもわずかであり、臨床的に意味がある変動とはみ なされなかった。

個々の被験者では、1名(試験No. 91-151の症例No. 22)に臨床的に有意な変化が認められた。 この被験者では、脈拍数が投与前10分の84拍/分から投与後5分に48拍/分へと低下した後、投与 後30分に64拍/分へと増加した。

表2.7.6.6-17 バイタルサインの推移

検査項目	(単位)	投与前				投与後			
快重点日	(半江)	15分	(n)	10分	(n)	5分	(n)	30分	(n)
収縮期血圧	(mmHg)	131.9	(310)	129.6	(352)	129.8	(356)	126.6	(343)
拡張期血圧	(mmHg)	80.7	(309)	79.6	(351)	79.7	(356)	79.0	(343)
脈拍数	(拍/分)	78.0	(309)	76.4	(349)	74.6	(355)	73.9	(338)
呼吸数	(回/分)	17.8	(273)	17.4	(307)	17.3	(308)	17.0	(286)

試験No.	項目		投与後の 時間 (分)	投与前の 平均値	平均値の 変化	例数	p値
91-134	収縮期血圧	(mmHg)	5	129.3	+2.0	79	0.012
			30	129.3	-2.0	79	0.003
	脈拍数	(拍/分)	30	73.3	-2.9	80	< 0.001
	呼吸数	(回/分)	30	15.1	-0.5	80	0.006
91-136	収縮期血圧	(mmHg)	30	131.9	-5.3	56	0.002
	脈拍数	(拍/分)	5	78.1	-3.0	61	< 0.001
			30	78.1	-2.7	50	< 0.001
91-149	収縮期血圧	(mmHg)	30	135.0	-5.4	12	0.007
	脈拍数	(拍/分)	5	77.7	-6.8	12	0.001
			30	77.7	-6.8	12	< 0.001
91-150	収縮期血圧	(mmHg)	30	117.5	-5.5	30	0.020
	拡張期血圧	(mmHg)	30	70.4	-2.7	30	0.021
91-151	脈拍数	(拍/分)	5	76.2	-6.8	39	< 0.001
			30	76.2	-5.5	39	< 0.001
	呼吸数	(回/分)	5	18.1	-1.1	32	0.036

表2.7.6.6-18 バイタルサインにおける統計的に有意な変動(個々の試験)

結論:

NETが証明された又は臨床的に強く疑われた患者を対象として、ソマトスタチン受容体を有 するNETの検出及び局在診断における本剤の有効性と安全性を検討するため、欧州で実施され た9つのオープン試験を対象とし検討した。

有効性については、評価対象309名中267名(86.4%)で本検査が有効と判定され、腫瘍局在 部位508のうち401部位(78.9%)が従来の局在診断法の結果と一致した。また、本検査により、 従来の局在診断法では検出されなかった110の局在部位が新たに検出され、そのうち37部位 (33.6%) はその後の生検にて真陽性、3部位(2.7%) は偽陽性と判定された。

安全性については、有害事象が365名中10名(2.7%)に16件報告された。このうち1名に発 現した潮紅1件(0.3%)及び頭痛1件(0.3%)は、本剤の投与に起因すると判定された。これ 以外の9名での14件は、被験者の原疾患及び/又はオクトレオチド療法の中断によって惹起さ れた症状とみなされた。臨床検査値及びバイタルサインには、一定の傾向を示す変動は認めら れなかった。統計学的に有意な平均値の変化はいずれもわずかであり、臨床的に意味があると はみなされなかった。

以上より、本剤は、NETの原発巣及び転移巣の検出及び局在診断において、有効かつ安全な 放射性医薬品であることが示された。

【統合しなかった6試験の安全性評価】

統合しなかった6試験の実施施設、治験責任医師及び被験者数を表2.7.6.6-19に示す。

添付資料 試験No. 施設名及び所在地 責任医師名及び所属 実施期間 被験者数 番号 91-139 19 20 5.3.4.2.1 スイス 91-140 5.3.5.2.12 14 フランス 91-142 5.3.5.2.13 イギリス 91-146 5.3.5.2.14 18 ドイツ 91-166 5.3.5.2.15 2.0 オランダ 91-170 5.3.5.2.16 30

表2.7.6.6-19 統合しなかった試験の治験実施施設、責任医師及び被験者数一覧

有害事象:

- 91-146試験及び91-170試験の各1名でそれぞれ1件の有害事象が報告された。
- 91-146試験の1名(1/18名、5.6%)では、数分間持続した両手の充血が認められた。本事象は、原疾患(カルチノイド)に起因するもので、本剤の投与とは関連しないと判断された。
- 91-170試験の1名(1/30名、3.3%)では、数分間持続した上腹部痛が認められた。本事象は、偶発的な事象で、本剤の投与とは関連しないと判断された。

その他の試験では、有害事象の報告はなかった。

バイタルサイン、臨床検査:

スウェーデン

- 91-139試験を除き、本剤投与後24時間まで、臨床的に重要な変動は見られなかった。
- 91-139試験では、1名で肝機能の特に胆汁欝滞に関連する試験項目で異常が認められた。異常の原因は、当該被験者が胆管炎を患っていたためであり、その後手術が行われた。その他の被験者では、臨床的に重要な変動は見られなかった。

2.7.6.7 個人輸入症例に関する公表論文「参考資料]

......添付資料5.3.5.4.2

海外市販品であるOctreoScan®の個人輸入によりインジウムペンテトレオチド (111 In) シンチグラフィが実施された症例について、米国National Center for Biotechnology Informationの医学論 文データベースであるPubMed及び医学中央雑誌刊行会の国内医学論文データベースである医中誌を検索し(表2.7.6.7-1)、個人輸入の使用実態に関する情報を収集した。個人輸入によりインジウムペンテトレオチド (111 In) シンチグラフィを実施した論文23報(延べ患者数48名)の要約を表2.7.6.7-2に示した。

表2.7.6.7-1 個人輸入症例に関する公表論文の検索条件

データ	アベース	PubMed	医中誌				
検索を	3	20 年 月 日	20 年 月 日				
検索其	閉間	設定なし	設定なし				
検索	キーワード	①octreoscan	①octreoscan/AL or オクトレオスキャン/AL				
条件		②pentetreotide	②Pentetreotide/TH or pentetreotide/AL				
		③indium and octreotide	③Pentetreotide/TH or ペンテトレオチド/AL				
		①octreotide and scintigraphy	④(Somatostatin/TH or ソマトスタチン/AL) and				
		⑤"somatostatin receptor scintigraphy"	((放射性核種イメージング/TH or シンチグラフィ				
			ー/AL) or (放射性核種イメージング/TH or				
			SCINTIGRAPHY/AL))				
			⑤(Octreotide/TH or オクトレオチト AL) and ((放				
			射性核種イメージング/TH or シンチグラフィー				
			/AL) or (放射性核種イメージング/TH or				
			SCINTIGRAPHY/AL))				
追加榜	食索条件	・[Language] Japanese 又は	・会議録を除く				
		• [Affiliation] Japan OR Tokyo OR					
		Osaka OR Kagoshima OR Yamagata					
		OR Kanagawa OR Chiba OR					
		Okayama					
該当論	命文数	41報	136報				
論文の)採用基準	・個人輸入によりインジウムペンテ	トレオチド(¹¹¹ In)シンチグラフィを実施				
		している。					
		・国内臨床試験での投与患者ではない	, \ ₀				
		・学会抄録ではない。					
採用し	た公表論文	23報					

論文	実施施設	年齢 性別	疾患名	投与量 (MBq)	撮像時期 (時間)	SRS 集積	結果	副作用
(1) 大西 1996	三重大学	43歳 男性	十二指腸副乳頭カ ルチノイド (多発 肝転移)	_	_	有	膵島十二指腸及び肝転移巣摘出術後の補助化学療法として肝動注療法を施行した。 術後7ヵ月のSRSで肝転移巣が描出されたため、オクトレオチドの併用を開始した。 術後9ヶ月目の現在も健在である。	_
(2) 東中川 1999	東京医科歯科大学		異所性ACTH症候 群 (肺腺癌)	_	24*	有	CTや内分泌検査により肺腫瘍による異所性ACTH症候群と診断した。オクトレオチド負荷試験でACTHの分泌が抑制されたことから、腫瘍の局在診断及び転移巣の検索目的でSRSを施行した。胸部CTで確認されていた左肺の腫瘍部位に一致して集積を認めた。また、右頚部に軽度の集積を認め、CT、MRIでは明らかでなかったリンパ節転移の存在が疑われた。	
(3) 土井 2001	東京医科歯科大学		下垂体腺腫 (TSH 産生下垂体腫瘍)	_	24*	有	下垂体腫瘍摘除術を施行したもののTSHが依然高値であり、頭部画像検査で下垂体部に腫瘍の残存を認めた。術前のオクトレオチド負荷試験で一過性のTSHの分泌抑制を認めており、残存腫瘍の機能性を評価する目的でSRSを施行した。残存腫瘤に一致した集積を認め、TSH産生腫瘍の残存が確認された。	_
(4) Ichijo 2001	東邦大学	42歳 男性	ガストリノーマ	110	2, 4, 24	有	"Gastrinoma triangle"に多発腫瘍が既に確認されているが、膵体部及びその他の潜在腫瘍の有無を確認するためにSRSを施行した。プラナー像では膵頭部、膵体部及び十二指腸領域に複数の集積を認めたが、SPECT像では膵体部の集積は認めなかった。肉眼病理検査で膵頭部周辺組織及び十二指腸壁に複数の腫瘍を認めたが、膵頭部及び膵体部には認めなかった。	無
			インスリノーマ (多発肝転移)	110	6, 30	有	US、CT、血管造影、ASVSの結果を基に、インスリン分泌が脾門部腫瘍ではなく肝腫瘍からであることを確認するためにSRSを施行した。肝全体に及ぶ多発性肝腫瘍を検出し、US下生検及び免疫組織化学的検査でインスリノーマの肝転移と診断した。	無
(5) 土井 2002	東京医科歯科大学		異所性ACTH症候 群 (原発不明)	_	_	有(偽陽性)	内分泌検査でACTH及びコルチゾールの高値を呈していた。全身静脈サンプリング陰性で、全身の画像検査でも明らかな腫瘍性病変を認めなかった。SRSを行ったところ、副鼻腔に一致して軽度の集積を認め、頭部MRIで左蝶形骨洞の粘膜の肥厚を認めた。しかし、粘膜生検では軽度の炎症を認めるのみで、ACTH免疫染色は陰性であった。	

^{*} 全撮像ポイントは不明 SRS: インジウムペンテトレオチド (111 In) シンチグラフィ -: 記載なし

論文	実施施設	年齢	疾患名	投与量	撮像時期	SRS	結果	副作
神人	关旭旭餀	性別	沃 思石	(MBq)	(時間)	集積	小日 木	
(6) Doi 2003	東京医科	21歳	異所性ACTH症候	_	_	有	膵原発、多発肝転移の異所性ACTH産生神経内分泌癌で、膵尾部の原発巣を摘出済み	_
	歯科大学	女性	群 (膵島細胞癌)				(1996.11)の症例。治療を行ったものの1年後に肝転移が増大し、生体肝移植(1998.10)	
							を施行した。移植前のSRS(1998.7)では多発肝転移の他、縦隔に不明瞭な微小集積	
							を認めた。移植後のSRS(1998.12)では、縦隔と骨盤部に不明瞭な多発性の集積を	
							認め、全身のリンパ節転移が示唆されたが、CT、MRIでは確認できなかった。フォ	
							ロー時のSRS(2000.3)では縦隔、肺門、肝門脈、骨盤のリンパ節転移の増大を認め、	
							X線及びCTでは両肺に散在した小結節と胸水を認めた。	
(7) Kishida	箕面市立	34歳	気管支カルチノイ	_	24*	有	クッシング症候群を疑い、消化管内視鏡検査及び腹部CTを施行したが、原因腫瘍を	_
2003	病院	男性	ド (異所性ACTH産				確認できなかった。胸部CTで既知の病変を検出したが、気管支鏡検査は陰性であっ	
			生クッシング症候				た。しかし、オクトレオチド負荷試験で異所性ACTH産生腫瘍を疑いSRSを施行した	
			群)				ところ、当該胸部領域にのみ集積を認めた。 ¹⁸ F-FDG PET及び塩化タリウムシンチグ	
							ラフィは陰性であった。摘出腫瘍の病理組織学的診断は定型カルチノイドであった。	
(8) 古家	天理よろ	33歳	気管支カルチノイ	_	_	有	異所性ACTH症候群が示唆され胸腹部CT及び ¹⁸ F-FDG PETを施行したが、原発巣を特	_
2005	づ相談所	男性	ド (異所性ACTH症				定できなかった。オクトレオチド負荷試験でACTH及びコルチゾールの抑制が見られ	
	病院		候群)				たためSRSを施行したところ、右肺中葉に点状集積を認めた。その後、高解像度CT	
							にて右B4a部位に腫瘍陰影を確認した。右肺中葉切除術及びリンパ節郭清術後の病理	
							所見から、気管支定型カルチノイドによる異所性ACTH症候群、リンパ節転移なしと	
							診断した。	
(9)	東京医科	55歳	インスリノーマ	_	4, 24	有	低血糖、低カリウム血症以外の異常所見を認めず、各種画像検査(腹部エコー、CT、	_
Izumiyama	歯科大学	女性					MRI)でも膵に異常を認めなかった。造影剤アレルギーで腹部造影CT、MRIやSASI	
2006							試験による腫瘍の局在診断はできなかった。オクトレオチドでインスリンの過剰分	
							泌が抑制されたことからSRSを施行したところ、膵頭部付近に集積を認め、インスリ	
							ノーマと診断した。その後腫瘍摘出術を施行し、摘出した2つの腫瘍の病理検査でイ	
							ンスリノーマと確定診断した。	

^{*} 全撮像ポイントは不明 SRS: インジウムペンテトレオチド (111 In) シンチグラフィ -: 記載なし

論文	実施施設	年齢 性別	疾患名	投与量 (MBq)	撮像時期 (時間)	SRS 集積	結果	副作用
(10) 多久和 2006	兵庫医科 大学	34歳 男性	気管支カルチノイド (異所性ACTH産生腫瘍)	I	ı	有	内分泌学的検査から異所性ACTH産生腫瘍と診断したが、CT、MRI、 ¹⁸ F-FDG PETを行っても、原発巣を指摘できなかった。1年間のオクトレオチド治療後に施行したSRSで右中肺野に点状集積を認めたため、肺原発のホルモン産生腫瘍の存在を疑い、Thin-slice CTで再検したところ、SRSと一致する部位に結節を確認した。腫瘍生検でACTH産生性のカルチノイドと診断した。	
(11) 南2006		76歳 男性	ACTH依存性クッ シング症候群 (原 発不明)	_	-	無	MRIで下垂体腫瘍を認めるものの、内分泌検査では異所性ACTH症候群が示唆され、また、全身検索で異所性ACTH産生腫瘍を同定できなかったため、原発巣不明のACTH依存性クッシング症候群と診断した。本症例は、オクトレオチド投与でACTHが抑制されず、腫瘍がソマトスタチン受容体を持たないためにSRSが陰性であった可能性がある。	
(12) Hosoya 2008	自治医科 大学	30歳 男性	胃カルチノイド	1		有	内視鏡及び生検により胃カルチノイドと診断した。血漿ガストリン高値であったが、腹部CTで膵腫瘍、選択的動脈造影及びカルシウム負荷試験で膵十二指腸腫瘍は確認できなかった。微小ガストリノーマを疑いSRSを施行したところ、胃の付近に2箇所の集積を認めた。Radio-guided surgery中、胃壁2箇所に高放射能域を認めた一方、膵臓及びその周辺では認めなかった。胃全摘後、ガストリン値は直ちに正常化した。	
(13) 高橋 2008			腫瘍性骨軟化症性 ミオパチー	ı	1	有	緩徐進行性の近位筋優位の筋力低下及び多発骨折を認め、血液・尿検査の結果等により腫瘍性骨軟化症ミオパチーを疑い、全身の造影CT、MRI、 ⁶⁷ Gaシンチグラフィ、骨シンチグラフィを施行したが原因腫瘍を発見できなかった。静脈サンプリングで右下肢に腫瘍の存在が疑われたためSRSを施行したところ、右足底部に異常集積を認めた。同部の造影MRIで腫瘤を認めた。腫瘍摘出で症状は消失した。	_
(14) Nakayama 2009	大阪医科 大学	72歳 女性	VIPオーマ	244	24*	有	間歇的にWDHA症候群を呈し、血中VIP高値であったが、従来の画像検査(US、造影CT及びMRI、内視鏡、血管造影、ガリウムシンチグラフィ、PET)を繰り返し施行しても、原発巣を確認できなかった。SRSを施行したところ、膵頭部に顕著な集積を認めた。転移を示唆するその他の集積は認めなかった。摘出腫瘍の組織学的検査でVIPオーマと確定診断した。	_

^{*} 全撮像ポイントは不明 SRS: インジウムペンテトレオチド (111 In) シンチグラフィ -: 記載なし

表2.7.6.7-2 個人輸入症例に関する公表論文の概要(続き)

論文	実施施設	年齢 性別	疾患名	投与量 (MBq)		SRS 集積	結果	副作 用
(15) 矢嶋 2009	東京医科歯科大学	70歳 女性	気管支カルチノイド (異所性ACTH症候群)	_	_	有	異所性ACTH産生腫瘍を疑うも各種画像所見(下垂体造影MRI、胸腹部CT、PET、タリウムシンチグラフィ、全身静脈サンプリング)は陰性であった。オクトレオチド負荷試験ではACTHの低下反応を認めた。オクトレオチド治療の経過が良好なため、SRSで腫瘍の可視化を試み、右下肺野縦隔側に有意な集積を認めた。Thin slice CTを施行したところ、シンチグラフィの集積部位と一致する結節を認めた。初回CTのレトロスペクティブ読影で結節像は指摘できるが、有意な異常とは捉えられない所見であった。切除腫瘍の病理診断は気管支周囲に発生したカルチノイドであった。	_
(16) Sugiyama 2010	東京医科歯科大学	69歳 女性	気管支カルチノイ ド (異所性ACTH症 候群)	_	_	無 (偽 陰 性)	下垂体MRIは陰性、胸部CTで肺右葉に微小結節を認めたが、SRS及び ¹⁸ F-FDG PETは陰性であった。内分泌検査及び画像診断から異所性ACTH症候群と診断したものの、原発巣は不明であった。薬物療法で3年間コントロール良好であったが、血症ACTH値が顕著に上昇した。この間、CTの右肺結節の増大は認めなかった。インドレントの気管支カルチノイドを疑い、選択的肺動脈サンプリングを施行したところ、責任病巣を特定した。切除腫瘍は病理学的に気管支カルチノイドと診断された。	_
(17) Sugiyama 2010	東京医科歯科大学	50歳 男性	インスリノーマ	_	_	有	21年前の腹部USで膵腫瘍が発見され、経過観察中であった。4年前から軽度の低血糖を認めており、その後低血糖による意識消失発作を起こした。腹部造影CTで膵体部に巨大腫瘤を認め、 ¹⁸ F-FDG PETで膵臓領域及び右頚部前面に集積を認めた。SRSでは膵臓周辺、右頚部前面、右縦隔に集積を認めたものの、CT及び ¹⁸ F-FDG PETは胸部及び縦隔領域は陰性であった。膵体部のインスリノーマと判断し、膵十二指腸切除術を施行し、病理学的にインスリノーマ(2000年WHO分類でWDEC)と診断した。SRSでの右頚部集積は、頚部USにて右甲状腺に腫瘤を確認しことから微細針吸引生検を行い、濾胞性腫瘍と診断した。	

^{*} 全撮像ポイントは不明 SRS:インジウムペンテトレオチド (¹¹¹In) シンチグラフィ -: 記載なし

論文	実施施設	年齢 性別	疾患名	投与量 (MBq)	撮像時期 (時間)	SRS 集積	結果	副作用
(18) Tani 2010	東京医科歯科大学	75歳 女性	気管支カルチノイ ド (異所性ACTH症 候群)	_	_	有	クッシング病との鑑別が困難であった症例。下垂体MRIで不明瞭な微小病変を認め、胸部CTで右肺のS5とS7に、 ¹⁸ F-FDG PETでS5に、SRSでS7に病変を認めた。SRSと内分泌検査の結果からクッシング病より異所性ACTH症候群が有力と判断した。右肺部分切除術を行い、摘出したS7病変の病理組織学的診断で気管支カルチノイドを確認した。術後2年経過した現在も、腫瘍及び副腎皮質機能亢進は再発していない。	_
(19) 小松 2010	京都市立病院		腫瘍性骨軟化症 (褐色細胞腫合併)	_	-	有	骨痛拡大し歩行困難となり、ALP高値、Ca正常、低P血症、1.25(OH)2VitD低値、FGF23 高値を認め、腸骨生検にて低リン性骨軟化症と診断した。腫瘍検索のため、全身MRI、 ¹⁸ F-FDG PET、全身表在静脈サンプリングを行ったが、原因腫瘍を同定できなかった。 発症から15年後にSRSを施行したところ、左大腿骨頭部に集積を認め、同部位のMRI にて腫瘤を認めた。病理診断は間葉系腫瘍であった。	_
(20) Doi 2010	東京医科歯科大学	結果参照	異所性ACTH症候 群16名 (うち、SRS 実施11名)	_	_	結果参照	【目的】異所性ACTH症候群の臨床的、内分泌学的及び画像所見の特徴、管理及び予後を評価する。 【対象】1992~2009年に来院し、当院にて治療及び経過観察を行った異所性ACTH症候群患者16名(うち、SRS実施は11名)。 【SRS実施症例の検査所見】SRSの陽性率は36%(4/11)であった。オクトレオチド負荷試験陽性の6例中4例(66.7%)がSRS陽性であった。SRS陰性の7例中6例は、他の画像診断も陰性の原発不明症例であった。 【その他の画像検査の陽性率】 下垂体MRI 13%(2/15)、CT 50%(8/16)、MRI 50%(8/16)、18F-FDG PET 11%(1/9)	_

^{*}全撮像ポイントは不明 SRS:インジウムペンテトレオチド(111 In)シンチグラフィ -:記載なし

表2.7.6.7-2 個人輸入症例に関する公表論文の概要(続き)

論文	実施施設	年齢 性別	疾患名	投与量 (MBq)	撮像時期 (時間)	SRS 集積				結果					副作用
(20) Doi 2010 (続き)							年齢 性別	腫瘍の種類	オクトレオチド 負荷試験	下垂体 MRI	СТ	MRI	SRS	¹⁸ F-FDG PET	
							①58, M	小細胞肺癌	_	_	+	+	ND	+	
							269, M	小細胞肺癌	_	_	+	+	ND	ND	
							③74, M	肺腺癌	+	ND	+	+	+	ND	
							④39, F	嗅神経芽腫	_	_	+	+	ND	ND	
							⑤49, M	胃カルチノイド	_	_	+	+	ND	ND	
							@21, F	膵島細胞癌	+	_	+	+	+	ND	
							⑦69, F	気管支カルチノイド	_	_	+	+	_	_	
							®75, F	気管支カルチノイド	+	_	_	_	+	_	
							970, F	気管支カルチノイド	+	+	_	_	+	_	
							1025, M	胸腺過形成	ND	_	+	+	ND	ND	
							11)32, M	原発不明	ND	_	_	_	_	ND	
							2261, F	原発不明	_	_	_	_	_	_	
							363, F	原発不明	+	_	_	_	_	_	
							1474, F	原発不明	_	_	_	_	_	_	
							1575, M	原発不明	_	+	_	_	_	_	
							<u>16</u> 81, F	原発不明	+						
								画像検査の陽性率	萃	13% (2/15)	50% (8/16)	50% (8/16)	36% (4/11)	11% (1/9)	
							+:集積	あり -:集積	iなし N	D:未実		(0/10)	(4/11)	(1/)	

^{*} 全撮像ポイントは不明 SRS: インジウムペンテトレオチド (111 In) シンチグラフィ -:記載なし

論文	実施施設	年齢 性別	疾患名	投与量 (MBq)	37/21/24 47/3	SRS 集積	結果	副作用
(21) 亀田 2012	山形大学	46歳 男性	膵NET	_	4*	有	CT、MRI、超音波内視鏡検査で膵尾部から脾門部にかけて多結節状の腫瘍性病変と 多発肝病変を認めた。肝生検で高分化型endocrine carcinomaと診断され、膵NETの多 発肝転移と考えられた。手術、肝動脈塞栓化学療法、オクトレオチド投与後の治療 法としてPRRTを検討するに当たり、SRSを実施したところ、肝両葉に多発斑状高集 積巣を認め、膵NETの多発肝転移が示唆された。	
(22) 川瀬 2014	国際医療研究センター		胸腺原発NET	_	_	有	多発性骨転移を伴う胸腺原発NETがあり、国外でPRRTを受ける前にSRSを実施した。 PRRT後に体外放射線治療を施行する際は、PRRT前のSRSの生体内分布を参考の上、 吸収線量の累積による有害事象のリスクを検討した。	_
(23) Kubota 2014	国際医療研究センター	58.4 歳 (44-7	神経内分泌腫瘍15 名 (原発部位:胃1名、 膵臓5名、胸腺2名、 小腸2名、十二指腸1 名、腎臓1名、肺2 名、不明1名)	111~ 222	6, 24	結果参照	【目的】NETの転移病変の不均質性を評価するために、 ¹⁸ F-FDG(PET/CT)及びインジウムペンテトレオチド(¹¹¹ In)(SPECT/CT)の集積を定量的に比較する。 【対象】2011年9月~2013年7月に本試験に登録されたNETの連続患者15名。ただし、術後再発が見られなかった1名を除外した14名を解析対象とした。 【方法】 ¹⁸ F-FDG PET又はSRSで集積が認められ、且つCTで腫瘍塊であると確認された45病変について、 ¹⁸ F-FDG PETはstandardized uptake value(SUV)最大値、SRSは腫瘍対筋肉比(T/M比)を算出し、腫瘍のグレード別に比較した。 【検査所見】 ¹⁸ F-FDG及びインジウムペンテトレオチド(¹¹¹ In)の集積は、腫瘍体積との相関性は示さなかった。 ¹⁸ F-FDGの集積は、G1 + G2病変に比べ、G3病変が有意に高かった。インジウムペンテトレオチド(¹¹¹ In)の集積は、G1+2病変の方が高い傾向にあったが、有意差は認めなかった。インジウムペンテトレオチド(¹¹¹ In)の集積が高かった病変は、 ¹⁸ F-FDGの集積が低かった傾向にあった。	
							WHOグレード (被験者数) G1 + G2 (n = 39) G3 (n = 6) ¹⁸ F-FDG PET (SUV) 3.52 ± 1.84 (3.17) 10.82 ± 4.50* (12.8) SRS (T/M比) 40.65 ± 48.03** (22.87) 8.66 ± 13.13 (3.4) 腫瘍体積 9.81 ± 8.83 (3) 12.67 ± 10.22 (9.78) Mann-Whitney's U test, *P = 0.0045, **P = 0.016 平均値 ± SD (中央値)	

^{*} 全撮像ポイントは不明 SRS: インジウムペンテトレオチド (111 In) シンチグラフィ -: 記載なし

2.7.6.8 有効性を支持する資料「参考資料]

2.7.6.8.1 学会又は組織等の診療ガイドライン

......添付資料5.3.5.4.3

NETの画像診断におけるインジウムペンテトレオチド(¹¹¹In) (以下、¹¹¹In-ペンテトレオチド)シンチグラフィの有効性、臨床的位置付け及び撮像方法は、表2.7.6.8-1に示す米国及び欧州の主要な学会又は組織の診療ガイドライン及び画像診断ガイドラインに記載されている。

表2.7.6.8-1 学会又は組織等の診療ガイドライン

学会又は組織	
腫瘍学会 又は組織	(1) National Comprehensive Cancer Network Clinical Practice Guidelines in Oncology (NCCNガイドライン)
JCT COTTENING	(2) National Cancer Institute Physician Data Query (NCI-PDQ)
	(3) European Society of Medical Oncology (ESMO) の診療ガイドライン
神経内分泌腫瘍学会	(4) European Neuroendocrine Tumor Society (ENETS) の診療ガイドライン及び画像 診断ガイドライン
	(5) North American Neuroendocrine Tumor Society (NANETS) の診療ガイドライン
放射線学会 又は核医学会	(6) Society of Nuclear Medicine and Molecular Imaging (SNMMI) の画像診断ガイドライン
	(7) European Association of Nuclear Medicine (EANM) の画像診断ガイドライン
	(8) American College of Radiology (ACR) 及びSociety of Pediatric Radiology (SPR) の画像診断ガイドライン

(1) National Comprehensive Cancer Network Clinical Practice Guidelines in Oncology (NCCN ガイドライン)

NCCNのNETの診療ガイドライン(2015年ver. 1)は、①消化管、肺及び胸腺NET(カルチノイド)、②膵NET、③原発不明NET、④副腎腫瘍、⑤褐色細胞腫/傍神経筋腫、⑥低分化型(高悪性)NET/大細胞癌又は小細胞癌、⑦多発性内分泌腫瘍症1型(MEN1)、及び⑧多発性内分泌腫瘍症2型(MEN2)に分類して、診断法及び治療法を示している。これらの疾患のうち、消化管、肺及び胸腺NET、膵NET、原発不明NET、低分化型(高悪性)NET/大細胞癌又は小細胞癌、MEN1における¹¹¹In-ペンテトレオチドシンチグラフィの臨床的な位置づけは以下のように記載されている。

消化管、肺及び胸腺NET(<u>カルチノイド)</u>:カルチノイドを疑う患者では、進展度評価及び原発巣検出のために画像診断を行う。よく用いられるのがCT及びMRIである。カルチノイドの殆どはソマトスタチン受容体を多く発現しているため、¹¹¹In-ペンテトレオチドシンチグラフィも患者の初期評価に利用できる。これらの他、腫瘍の部位に応じて大腸内視鏡、小腸撮像、超音波内視鏡(EUS)、消化管内視鏡、直腸鏡、気管支鏡が推奨される。¹¹¹In-ペンテトレオチドシンチグラフィによる治療後の経過観察は、腫瘍の完全切除後の定期観察には推奨されないが、再発を疑う場合は腫瘍の局在診断及び進展度評価のために実施することもある。遠隔転移

を疑う患者では、転移部位の評価の他に、オクトレオチド又はランレオチド治療を検討している場合にはソマトスタチン受容体の発現状態の評価のためにも¹¹¹In-ペンテトレオチドシンチグラフィを実施する。

<u>膵NET</u>: 膵NETの画像診断には、多相の造影CT又はMRIが推奨され、必要に応じて¹¹¹In-ペンテトレオチドシンチグラフィ及びEUSも実施する。¹¹¹In-ペンテトレオチドシンチグラフィが陽性の患者では、ホルモン症状がなくても、ソマトスタチンアナログ治療を考慮してもよい。なお、インスリノーマは他の膵NETに比べてオクトレオチドに対する親和性が低いため、¹¹¹In-ペンテトレオチドシンチグラフィの有用性は低い。しかし、ソマトスタチン受容体が発現していないインスリノーマ患者にソマトスタチンアナログを投与すると低血糖症状が著しく悪化する恐れがあるため、オクトレオチド又はランレオチドによる治療を検討している患者では¹¹¹In-ペンテトレオチドシンチグラフィを実施し、陽性であった場合にのみオクトレオチド又はランレオチドを投与するのが望ましい。¹¹¹In-ペンテトレオチドシンチグラフィは、治療後の定期的な経過観察には推奨されない。

<u>原発不明NET</u>: NETの多くはソマトスタチン受容体等のアミンやペプチドの受容体を発現しているため、¹¹¹In-ペンテトレオチドはそのようなNETの検出に有用である。

低分化型(高悪性)NET/大細胞癌又は小細胞癌:病期診断には胸部、腹部及び骨盤部のCTが推奨される。必要に応じて、脳のMRI又はCT、¹⁸F-FDG-PETや¹¹¹In-ペンテトレオチドシンチグラフィも実施する。ホルモン産生性の切除不能又は転移性の低分化型腫瘍があり、¹¹¹In-ペンテトレオチドシンチグラフィが陽性の場合は、オクトレオチド又はランレオチドによる治療を考慮してもよい。

<u>MEN1</u>: MEN1で膵NETを疑う場合は、散発性の膵NETと同様に、¹¹¹In-ペンテトレオチドシンチグラフィを実施する。

(2) National Cancer Institute Physician Data Query (NCI-PDQ)

NCI-PDQには、膵NET及び消化管カルチノイドの2つのガイドラインで¹¹¹In-ペンテトレオチドシンチグラフィの臨床的な位置づけが示されている。

<u>膵NET(2014年3月7日更新版)</u>: 膵NETの局在診断及び病期診断には、CT(MRIの有無に関わらない)及びEUSを実施する。ソマトスタチン受容体シンチグラフィ(SRS)及びSPECT/CTも有用な追加情報である。しかしSRSは、ソマトスタチン受容体の密度が低いインスリノーマの検出には、他の膵NETに比べると有用性は低い。グルカゴノーマ及びVIPオーマでは、SRSは転移巣の検出に有用である。

<u>消化管カルチノイド(2014年7月31日更新版)</u>: 消化管カルチノイドで実施される画像診断法には、¹¹¹In-ペンテトレオチドシンチグラフィ、骨シンチグラフィ、「¹²³I-MIBGシンチグラフィ、CT、カプセル内視鏡、腸内視鏡、血管造影等がある。消化管及び膵臓のNETは、その70%以上がソマトスタチン受容体の特にソマトスタチン受容体2型及び5型を発現している。 ¹¹¹In-ペンテトレオチドシンチグラフィは、ソマトスタチン受容体2型及び5型を発現しているカルチノイドを検出するための重要な画像診断法である。撮像は1回で完了するため、従来の画像診

断法や複数回に分けての撮像を要する画像診断法よりも容易に小さな原発巣及び転移巣を診断できる。感度は90%にも達すると報告されている。しかし、技術的な要因や、腫瘍が小さい、 ソマトスタチン受容体の発現が少ない等の理由から、検出できない腫瘍もある。

(3) European Society of Medical Oncology (ESMO) の診療ガイドライン

ESMOは、胃腸膵NET、気管支・胸腺NET、及び原発不明癌の3つの診療ガイドラインに¹¹¹In-ペンテトレオチドシンチグラフィの有用性を示している。

胃腸膵NET(2012年): ソマトスタチン受容体イメージング(「IIIn-ペンテトレオチドシンチグラフィ又は⁶⁸Ga-DOTATOC/DOTANOC/DOTATATE PET)は、CT及びMRIに加え、胃腸膵NETの標準的画像診断法である。術前の病期診断には、ソマトスタチン受容体イメージングを可能な限り実施する。しかし、ソマトスタチン受容体2型を十分に発現していない腫瘍もあるため、腫瘍の場所に応じて、CT又はMRIで必ず補完する。経過観察には、腫瘍細胞のソマトスタチン受容体2a型発現が確認されている場合は、CT又はMRIによる画像診断に加え、ソマトスタチン受容体イメージングを治療後18~24箇月に実施する。SRSが陽性の患者は、腫瘍の機能性及び原発部位に関わらずペプチド受容体放射性核種治療(PRRT)の実施を考慮する。

気管支(定型及び非定型カルチノイド)・胸腺NET(2012年): 気管支及び胸腺NETの画像 診断にはCTが推奨される。気管支の定型カルチノイドは、その80%がソマトスタチン受容体 を発現しているため、ソマトスタチン受容体イメージング(「III In-ペンテトレオチドシンチグラフィ又は⁶⁸Ga-DOTATOC/DOTATATE PET)も有用である。胸腺NETは、転移巣の検出に造影CT又はMRIが推奨されるが、ソマトスタチン受容体イメージングも使用可能である。

原発不明NET (2011年): 原発巣が不明なNETの検出及び病期診断には、 111 In-ペンテトレオチドシンチグラフィ及び血漿CgA測定が推奨される。

(4) European Neuroendocrine Tumor Society (ENETS) の診療ガイドライン (2012年)

ENETSは、①結腸直腸(後腸)NET、②胃十二指腸NET、③高分化型非機能性膵NET、④機能性膵NET、⑤空腸回腸、虫垂、杯細胞NET、⑥肝臓及び遠隔転移NETの6つの診療ガイドラインを公表しており、それぞれのガイドラインで¹¹¹In-ペンテトレオチドシンチグラフィの有用性を示している。

<u>結腸直腸NET</u>:結腸直腸ポリープの確定診断は、大腸内視鏡がゴールドスタンダードである。 遺残腫瘍又は転移腫瘍を疑う場合はCT又はMRIに加え、 111 In-ペンテトレオチドシンチグラフィ又は 68 Ga-オクトレオチドPETによる病期診断が必要である。直腸NETの評価にはEUSも重要である。

<u>胃NET</u>: 胃NETの診断は上部消化管内視鏡及び生検で行う。1型及び小さな2型腫瘍には、通常は内視鏡と生検で十分である。CT、MRI及びSRSは、1型腫瘍には不要であるが、2型腫瘍の場合はMEN1の精査に有用である。3型(散発性)のように転移のリスクが高い患者は、広範囲の探索が必要であり、SRSは肝臓、骨及びリンパ節転移の探索に推奨される。

十二指腸NET:最も感度が高い十二指腸NETの確定診断法は上部消化管内視鏡による生検で

ある。EUSも、ポリープ状病巣の切除前の検査として有用である。進展度を十分に評価し、潜在的な遠隔転移巣を検出するためには、腹部のマルチスライスCT又はMRI、及びSRSを実施する。肝転移があるような進行患者では、骨転移評価のために骨シンチグラフィ、SRS及び脊髄MRIを実施する。外科的切除後の経過観察には、術後6箇月及び12箇月、以後少なくとも3年間は1年毎にマルチスライスCT、SRS及びCgA測定を実施することが推奨される。手術不能で進行した転移性患者で、増悪しないか無症状である故に治療を行わない場合には、3から6箇月ごとにCgA測定、マルチスライスCT、及び/又はUS、及びSRSを実施する。

非機能性膵NET: SRSは、原発巣の局在診断及び腫瘍の進展度評価のための中心的な画像診断法である。全身撮像で遠隔転移も検出できることから、治療方針の決定にも影響を与える。SRSは病期診断のために最初に行う検査であり、治療方針の決定のために肝外転移の確認が必要な場合にも行う。SRSは経過観察にも用いられる。

<u>ガストリノーマ</u>:生化学的にゾリンジャー・エリソン症候群(ZES)と診断された患者の局在診断には、上部消化管内視鏡後に、多列検出器CT又はMRI、及びSRSを実施するのが最も推奨される。SRSは、最初に行う病期診断法として、また、肝転移及び遠隔転移の検出法として最適であるが、1 cm以下の腫瘍の半数を検出できない。肝転移を有する患者の最大3分の1には骨転移もみられるため、全患者でSRS及び脊髄MRIを実施する。経過観察のためのSRSは、活動性だが転移がない患者では少なくとも3年毎に、転移性の進行患者では3~6箇月毎に実施する。

<u>インスリノーマ</u>:インスリノーマはオクトレオチドの親和性が高いソマトスタチン受容体(ソマトスタチン受容体2型、5型)の発現密度が低い、あるいは欠如しているために、限局性インスリノーマでの陽性率はわずか50%である。

稀な機能性膵NET(グルカゴノーマ、ソマトスタチノーマ、GRHオーマ、ACTHオーマ、カルチノイド症候群等):局在診断には、多列検出器CT(又はMRI)及びSRS-SPECTの組み合わせが常に推奨される。SRSは、遺残腫瘍がある患者の経過観察にも必要に応じて実施する。

空腸回腸NET:原発巣の検索には、CT及び/又はMRI後にSRS (SPECT/CTが望ましい)を実施する。⁶⁸Ga-DOTATOC PETとCTの組み合わせは感度がより高いが、まだ広く利用されていない。経過観察には、再発を疑う例では治療方針を決定する前に、若しくは治癒的切除後であっても原発不明NENでは遠隔転移を除外するためにソマトスタチン受容体イメージングを実施する。

<u>虫垂NET</u>: 偶然発見し、R0切除した最大径1 cm未満の腫瘍については、術後検査は不要である。腫瘍が2 cmを超え、虫垂間膜への深部浸潤や血管浸潤を認める場合には、遠隔転移を検出又は否定するために腹部CT又はMRI、及びSRS (SPECT/CTが望ましい) 又はソマトスタチン受容体PETを実施する。

<u>杯細胞NET</u>: 杯細胞NETは遠隔転移のリスクが高いため、腹部骨盤部のCT又はMRIと共にソマトスタチン受容体イメージング(¹¹¹In-ペンテトレオチドシンチグラフィ又はPET)を実施し、さらに胸部CTを追加する。

肝臓及び遠隔転移NET:低分化型腫瘍(NEC G3)の病期診断には胸部・腹部・骨盤部CTを

実施し、時にSRSを実施する。高分化型腫瘍(NET G1/G2)の病期診断には¹¹¹In-ペンテトレオチドシンチグラフィ又は⁶⁸Ga-ソマトスタチンアナログPETが推奨される。ソマトスタチン受容体イメージングは、NET G1/G2の経過観察にも推奨される。経過観察のためのソマトスタチン受容体イメージングは、バイオマーカーや臨床症状から腫瘍の進行を疑い、早期の全身撮像を必要とする場合を除き、治療後18~24箇月に実施する。腫瘍の機能性、原発部位に関わらず、SRSが陽性のG1/2患者ではPRRTによる治療も考慮できる。

画像診断ガイドライン: p.102参照

(5) North American Neuroendocrine Tumor Society (NANETS) の診療ガイドライン (2010年、2013年追補)

NANETSは、2010年に疾患毎の診療ガイドラインを公表し、その後2013年に追補版を公表した。2013年追補版では、①病理、②胸郭(胸腺、肺/気管支)NET、③胃NET、④膵NET、⑤小腸及び盲腸NET(中腸NET)、⑥結腸及び直腸NET(後腸NET)、⑦褐色細胞腫、傍神経節腫及び甲状腺髄様癌、⑧高悪性(低分化型)神経内分泌癌(NEC)の8つに分類し、診断及び治療の推奨内容を2段階の推奨レベル(Recommend/推奨する、Consider/考慮する)に分けて表にまとめている。

2013年追補版に示されている¹¹¹In-ペンテトレオチドシンチグラフィの推奨内容の要約を表 2.7.6.8-2に示す。初期診断では、胸郭NET、膵NET、中腸NET及び後腸NETにおいて¹¹¹In-ペンテトレオチドシンチグラフィは、CTやMRIと共に実施するよう推奨されており、胃NET、褐色細胞腫/傍神経節腫、甲状腺髄様癌及び低分化型NECにおいては実施を考慮することが示されている。一方、経過観察では、臨床的に再発が疑わしい場合に実施を考慮することが示されている。

像方法は初期診断時と同様)

考慮する

胃NET

膵NET 中腸NET 後腸NET

診断目的	推奨レベル	NETの種類	備考		
初期診断	Recommend	胸郭NET	プラナー及びSPECT撮像。投与後4~6時		
	推奨する	膵NET	間及び24~48時間に撮像する。		
		中腸NET			
		後腸NET			
	Consider	胃NET	Ⅱ型及びⅢ型に限る。		
	考慮する	褐色細胞腫/傍神経節腫、甲状腺髄様癌	¹²³ I-MIBGシンチグラフィが陰性で遠隔転		
			移を疑う場合、又は遠隔転移が形態画像		
			診断で既に確認されており、オクトレオ		
			チド治療を考慮している場合に実施す		
			る。		
		低分化型NEC	¹⁸ F-FDG PETで腫瘍を検出しなかった場		
			合に限る。		
経過観察	Consider	胸郭NET	臨床的に再発を疑う場合に実施する。(撮		

表2.7.6.8-2 ¹¹¹In-ペンテトレオチドシンチグラフィの推奨内容(NANETS)

【¹¹¹In-ペンテトレオチドシンチグラフィの画像診断ガイドライン】

褐色細胞腫/傍神経節腫、甲状腺髄様癌

¹¹¹In-ペンテトレオチドシンチグラフィの画像診断ガイドラインは、SNMMI、EANM及びENETSの3学会よりそれぞれ公表されている。いずれの画像診断ガイドラインも、¹¹¹In-ペンテトレオチドシンチグラフィのNETにおける主な臨床適応として原発巣及び転移巣の局在診断、病期診断、再発評価のための経過観察、治療効果のモニタリング、ソマトスタチン受容体の発現状態の評価(PRRTの適応確認)を挙げている。これらの¹¹¹In-ペンテトレオチドシンチグラフィの画像診断ガイドラインの他に、ACR及びSPRが共同で作成した腫瘍シンチグラフィの画像診断ガイドラインが公表されており、その中に¹¹¹In-ペンテトレオチドシンチグラフィの撮像方法が記載されている。

(6) Society of Nuclear Medicine and Molecular Imaging (SNMMI) の画像診断ガイドライン (2011年)

¹¹¹In-ペンテトレオチドの推奨投与量は成人が222 MBq、小児が3 MBq/kgである。ペンテトレオチドの1回当たりの投与量は10 μgであり、この用量では臨床的に重大な薬理作用は起こらないことが予想される(インスリノーマを除く)。撮像は通常投与後24時間に行い、必要に応じて投与後4時間及び48時間にも行う。48時間後像は腸内の放射能を低下させたい場合に必要となる。投与後4時間の撮像は、放射能が腸内に集積する前に評価することができる可能性があるが、24時間後像及び48時間後像に比べて腫瘍対バックグラウンド比が低いため、一部の腫瘍を見逃す可能性がある。SPECT(又はSPECT/CT)は、腫瘍対バックグラウンド比が高い投与後24時間に実施するのが望ましい。SPECTの早期像及び後期像を撮ることは、腹部の生理学集

積と腫瘍の区別に有用である。

(7) European Association of Nuclear Medicine (EANM) の画像診断ガイドライン (2010年)

文献で報告されている¹¹¹In-ペンテトレオチドの投与量は120から220 MBq(平均175 MBq)である。良い画質を得るための推奨投与量は約200 MBqであるが、撮像条件次第では200 MBq以下でも画質は低下しない。小児に投与する場合は、EANM Paediatric Task Groupの勧告に従って減量する。ペンテトレオチドの最大投与量は10 μgであり、この用量では臨床的に重大な薬理作用は起こらないことが予想される。撮像は投与後24時間にプラナーとSPECT像を得ることが望ましい。24時間後像で腸内容物によると思われる腹部集積が見られる場合は、48時間後に再度撮像する。4時間後像はバックグランドの放射能は高いが、腸内容物の放射能を避けられる利点がある。しかし、バックグラウンドが高いとソマトスタチン受容体の発現密度が低い腫瘍病変を見逃す可能性もある。腹部の生理学的集積の影響を避けるためには、4時間及び24時間、又は24時間及び48時間のように2回撮像し、さらにSPECTを1回撮像することが重要である。腸内の放射能が低下した投与後48時間、72時間及び/又は96時間にスポット像を追加しても良い。

(8) American College of Radiology (ACR) 及びSociety of Pediatric Radiology (SPR) の画像診断ガイドライン (2014年)

¹¹¹In-ペンテトレオチドの成人投与量は、通常148~222 MBqである。小児投与量は、体重で調整し、画質を維持できる範囲で可能な限り減量すべきである。撮像は、通常投与後4時間から24時間に実施する。投与後48から72時間の撮像を追加することも時には有用である。

(9) European Neuroendocrine Tumor Society (ENETS) の画像診断ガイドライン (2009年)

¹¹¹In-ペンテトレオチドの推奨投与量は成人が185~222 MBq、小児が5 MBq/kgである。ペンテトレオチドとしての投与量は10~20 μgで、この用量では臨床的に重大な薬理作用は起こらないことが予想される。撮像は投与後4時間及び24時間、又は24時間及び48時間に実施する。48時間後像は24時間後像で腹部の放射能が高く、読影の妨げになるような場合に必要となる。4時間後像では放射能の腹部集積前に評価可能であるが、24及び48時間後像に比べて腫瘍対バックグラウンド比が低いため、一部の腫瘍を見逃す可能性がある。SPECTは早期像及び後期像(例えば投与後4時間及び24時間)に撮ると腹部の生理学的集積と腫瘍の区別に有用である。もしSPECTを1回だけ撮像するのであれば、腫瘍対バックグラウンド比が高い投与後24時間が望ましい。

2.7.6.8.2 国際的に標準とされる教科書

......添付資料5.3.5.4.4

NETの画像診断における¹¹¹In-ペンテトレオチドシンチグラフィの有効性及び臨床的位置付けは、表2.7.6.8-3に示す国際的に標準とされる腫瘍学、内分泌学及び内科学の教科書に記載されている。

表2.7.6.8-3 国際的に標準とされる教科書

教科書	
腫瘍学	(1) DeVita, Hellman, and Rosenberg's cancer: principles & practice of oncology
	(2) Holland-Frei cancer medicine
内分泌学	(3) Williams textbook of endocrinology
内科学	(4) Cecil medicine

(1) DeVita, Hellman, and Rosenberg's Cancer (2011年, 第9版)

112. Neuroendocrine (carcinoid) tumors and the carcinoid syndrome.

カルチノイドの原発巣の局在及び進展度の評価には、消化管内視鏡、バリウム検査、胸部X線、画像診断法(US、CT、MRI、血管造影)、EUS、選択的静脈サンプリング法、PET、RI検査(SRS、MIBG)を含む様々な検査が行われてきた。肺カルチノイドは、通常、胸部X線やCT、時に気管支鏡で検出される。直腸、十二指腸、結腸及び胃カルチノイドは消化器内視鏡で、回腸、盲腸及び右結腸カルチノイドはX線検査で大抵検出される。局在診断で特に問題となるのは、バリウム検査でよく見落とされる小腸カルチノイドやその他の消化管にある小さなカルチノイドであるが、このような腫瘍は血管造影、SRSやCTでも見落とされる場合がある。肝転移はCTやSRSで検出される。現在、CT及びSRSが主要な病期診断法である。

111In-ペンテトレオチドシンチグラフィは、カルチノイドの局在診断において標準的な核医学検査法である。SRSはカルチノイド患者の73~89%で腫瘍を検出する。40名を対象とした比較試験では、検出感度はSRSが78%、CTが82%であり、SRSはCTが見落とした原発巣を2名で検出し、新たな腫瘍を16%の患者で発見したと報告されている。SRSは転移巣の検出感度も高く、骨シンチグラフィで検出されなかった骨転移を検出したと報告されている。SRSは感度が高く、全身を撮像できることから、カルチノイドの局在及び病期診断のために最初に実施すべき画像診断法である。

111. Pancreatic neuroendocrine tumors.

ガストリノーマと生化学的に診断された後、術前評価として局在診断を行う。局在診断法には、膵頭部及び十二指腸のEUSを併用した上腹部内視鏡、多検出器CT及びSRSがある。

113. Multiple endocrine neoplasias.

現時点では、MEN1の膵NETの外科的切除の有用性を証明した試験はないが、MEN1合併の有無に関わらず、原発巣であるガストリノーマを切除することで重要な負の生存予測因子である肝転移の発生を減少すると報告されている。SRSは遠隔転移の除外診断及びその他の原発巣

の診断が可能である。したがって、全てのZES及びMEN1患者では、SRSを含む詳細な局在診断を行うことが推奨される。画像診断で明らかな陽性所見があり、切除不能転移がない患者でのみ、術中USによる外科的診査は行うべきである。

76. Small cell and neuroendocrine tumors of the lung

カルチノイドは60%以上が消化管に発生するが、次いで多いのが肺の約25%である。肺カルチノイドの診断は肺癌と同様であるが、カルチノイドの確定診断後はより詳細な放射線画像診断及び血清学的検査が行われる。病期診断には通常の胸部CTに加え、核医学検査が有用である。ソマトスタチン受容体が過剰に発現しているため、「IIIn-ペンテトレオチドシンチグラフィが広く利用されている。ある試験では、感度及び特異度はそれぞれ90%及び83%であったと報告されている。ソマトスタチン受容体が発現している肺カルチノイド患者では、SRSは経過観察及び再発診断、治療法の選択に有用であることが分かっている。

(2) Holland- Frei Cancer Medicine (2010年, 第8版)

76. Tumors of the diffuse neuroendocrine and gastroenteropancreatic endocrine system.

胃腸膵NETの画像診断法についてENETSが標準ガイドラインを作成するために行った調査の結果、SRSは胃腸膵NETの中心的な診断法であるとのコンセンサスに達した。また、SRSは非侵襲的で、原発巣及び骨転移等の転移巣の検出感度が高いことから、インスリノーマを除く胃腸膵NETの確定及び疑い患者の全例で第一選択の画像診断として用いるべきとの意見も支持された。

病理又は生化学検査にて確定された胃腸膵NET患者350名を対象とした¹¹¹In-ペンテトレオチドの欧州での多施設共同試験では、局在診断の感度は、従来の画像診断法で88%、¹¹¹In-ペンテトレオチドシンチグラフィで80%であったと報告されている。癌種別には、グルカゴノーマが100%、VIPオーマが88%、カルチノイドが87%、非機能性膵NETが82%、インスリノーマが46%であった。また、¹¹¹In-ペンテトレオチドシンチグラフィは予期しなかった新たな病変166個を検出し、後にその40%が真陽性であることが確認され、235名の40%で治療方針が変更された。¹¹¹In-ペンテトレオチドシンチグラフィは腹部外の転移巣の検出にも有効である。

SRSは、ソマトスタチンアナログであるオクトレオチドの治療効果の予測に有用であり、SRS で集積が認められたNET患者の全例でオクトレオチドの治療効果があり、集積が認められなかった患者の全例で治療効果がなかったことが報告されている。

25. Molecular imaging in clinical oncology.

カルチノイドや膵NET等のNETは、シンチグラフィによる分子イメージングが発達した腫瘍のひとつである。生化学マーカーでNETが疑われる場合、病期評価のために様々の画像診断が行われる。最も頻繁に行われるのはCT、US及びMRIであるが、これらはNETの機能性に関する情報を提供できない上、機能イメージングに比べて治療効果判定の精度が劣り、また判定までの時間もかかる。SRSはNETで有効な分子イメージング法の一つであり、「IIIn-ペンテトレオチドはNETの診断、病期評価及び経過観察の"ゴールドスタンダード"と見なされている。

(3) Williams Textbook of Endocrinology (2008年, 第11版)

38. Gastrointestinal hormones and gut endocrine tumors.

ガストリノーマでは、小さな原発巣や内分泌過形成の局在診断は困難である。十二指腸病変の描出には従来の内視鏡や上部消化管撮影が用いられるが、腫瘍は粘膜下組織にあることが多いため、検出及び生検は困難である。「III In-ペンテトレオチドシンチグラフィは、原発巣及び転移巣の検出に有用である。MRIやCTでも情報を得ることはできるが、これらだけでは原発巣を検出できないこともある。EUSは腫瘍の局在診断に用いられ、有効性が増してきている。また一般的ではないが、選択的静脈サンプリングを伴う血管造影も潜在的腫瘍の検出に有用と思われる。

グルカゴノーマでは、大きさが比較的大きいので、局在診断は一般的な画像診断で可能である。SRSは、肝臓、リンパ節、副腎及び脊椎へ進展した転移巣の検出に有効である。

40. Multiple endocrine neoplasia. multiple endocrine neoplasia type 1.

¹¹¹In-ペンテトレオチドシンチグラフィは、腸膵NET及び前腸NETに有用な画像診断法であり、原発巣及び局所又は遠隔転移巣を描出できる。特にMEN1のガストリノーマの診断に有用で、従来血管造影で行っていた検査のほとんどがSRSに置き換わった。唯一の非常に有用な画像診断法ではあるが、散発性のガストリノーマの場合では病変の3分の1は検出できないことが手術で確認されている。散発性インスリノーマに至っては真陽性率が30~60%で、他の膵NETに比べて低い。

44. Carcinoid tumors, the carcinoid syndrome, and related disorders.

カルチノイドの原発巣及び転移巣の局在診断には、内視鏡、バリウム注腸造影、胸部X線、US、CT、MRI及び血管造影を含む様々な画像検査が行われてきた。近年は、SRS及びMIBGシンチグラフィが局在及び病期診断に用いられる。気管支カルチノイドは通常、胸部X線又はCT、時に気管支鏡が用いられる。中腸の原発巣は一般的に小さく、バリウム注腸造影、CT、MRI等の従来の診断法による局在診断は困難である。このような腫瘍の一部は、血管造影、カプセル内視鏡又はSRSで検出できる。肝転移は通常、CT又はMRIで検出できる。現在、病期診断のための主要な診断法は、CT又はMRI、及びSRSである。

¹¹¹In-ペンテトレオチドシンチグラフィによるカルチノイドの検出感度は80~90%と報告されている。また、多くの試験で従来の画像診断法よりも感度が高いことが示されている。¹¹¹In-ペンテトレオチドシンチグラフィは感度が高く、全身を撮像できることから、カルチノイドの局在及び病期診断のための第一選択の画像診断法であるべきである。さらに、¹¹¹In-ペンテトレオチドシンチグラフィはカルチノイドの骨転移を骨シンチグラフィと同様の感度で検出できる。

(4) Cecil Medicine (2008年, 第23版)

205. Pancreatic endocrine tumors.

ガストリノーマの全患者で、腫瘍の局在診断のために画像診断を行うべきである。局在診断 法の第一選択は 111 In-ペンテトレオチドシンチグラフィとSPECTである。 111 In-ペンテトレオチ ドシンチグラフィは原発巣の60%、及び肝転移巣を有する患者の90%以上を検出でき、感度はMRI、CT、US及び血管造影を合わせたのと同等である。

ソマトスタチノーマ等のその他の機能性膵NET及び非機能性膵NETの診断にも、SRSは用いられる。

251. Multiple-organ syndromes: carcinoid syndrome.

カルチノイドを含むNETでは、血漿CgAが増加することがあるため、腫瘍塊のマーカーと成り得る。しかし、種々のNETで増加するため、その診断価値はやや低い。原発巣及び転移巣の広がり及び局在診断は、腹部及び胸部CT並びにソマトスタチン受容体イメージングによって行われる。

135. Diagnostic imaging procedures in gastroenterology. nuclear medicine (radionuclide scintigraphy).

¹¹¹In-ペンテトレオチドシンチグラフィは、カルチノイドや膵NET等の胃腸膵NETの局在診断、 病期診断及び経過観察に有用な核医学検査である。

2.7.6.8.3 Peer-reviewed journalに掲載された総説、メタ・アナリシス等

......添付資料5.3.5.4.5

米国National Center for Biotechnology Informationの医学論文データベースであるPubMedで、octreoscan、pentetreotide、indium and octreotide、octreotide scintigraphy又はsomatostatin receptor scintigraphyをキーワードとして検索し、2010年以降に発行された英語且つ「Review」に分類されていた論文は66報あった(検索日:20 年 月 日)。この中から、NETの¹¹¹In-ペンテトレオチドシンチグラフィについて記載しており、雑誌のインパクトファクターや記載内容を勘案して特に重要と思われた8報を採用した(表2.7.6.8-4)。

表2.7.6.8-4 総説論文の検索条件

デー	・タベース	PubMed
検索	日	20 年 月 日
検索	期間	2010年~
検	キーワード	① octreoscan
検索条件		② pentetreotide
件		③ indium and octreotide
		④ "octreotide scintigraphy"
		⑤ "somatostatin receptor scintigraphy"
	言語	英語
	Publication type	Review
該当	論文数	66報
論文	の採用基準	・NETの ¹¹¹ In-ペンテトレオチドシンチグラフィについて記載されている。
		・ In-ペンテトレオチドの用法・用量が記載されている。
		・ In-ペンテトレオチドの用法・用量は記載されていないが、雑誌のイン
		パクトファクターや記載内容を勘案し、重要な論文であると思われる。
採用	した公表論文	8報

(1) Bombardieri E et al. Imaging of neuroendocrine tumours with gamma-emitting radiopharmaceuticals. Q J Nucl Med Mol Imaging 2010;54(1):3-15.

SRSで最も汎用されている製剤は、市販されていることもあり、¹¹¹In-ペンテトレオチドである。通常、約200 MBq(120~220 MBq)を静脈内に投与する。¹¹¹In-ペンテトレオチドの腫瘍への集積は緩徐で、少なくとも4時間は要するため、撮像は投与後24時間及び48時間、さらに必要に応じて72時間に行う。全身のプラナー撮像によって、¹¹¹In-ペンテトレオチドの体内分布及び病的集積の良好な画像が得られる。腫瘍のより詳細な局在部位を調べるために、プラナー撮像に加えてSPECT撮像を行うこともある。投与後4時間及び24時間又は48時間のSPECT像を基に半定量解析も可能である。腫瘍対バックグランド比は、ソマトスタチン受容体の発現密度と相関すると考えられ、重要な予後因子と成り得る。

今日、¹¹¹In-ペンテトレオチドシンチグラフィの臨床診療での使用法は特に胃腸膵NETで十分に確立されており、以下の適応で臨床的有用性が示されている;①病期診断及び再評価(原発巣の評価及び遠隔転移巣の検出)、②治療効果のモニタリング/評価、③ソマトスタチンアナログ治療又はPRRTの患者選定、④病変のソマトスタチン受容体発現に基づいた治療方針の決定、⑤転移がある、又は循環マーカー高値患者における原発不明癌の検出。¹¹¹In-ペンテトレオチドシンチグラフィはその感度の高さから、腫瘍マーカーの顕著な増加又は臨床的徴候があるが、従来の画像診断法が検出できなかった潜在的腫瘍を発見することもある。このことは患者管理において非常に有用であり、時に治療法の変更に繋がる。

(2) Carrasquillo JA et al. Molecular imaging of neuroendocrine tumors. Semin Oncol 2010;37(6):662-79.

NETの局在診断では、CT、MRI、US等の解剖学的イメージングが実施され、これに加えて代謝経路及び受容体をターゲットとする放射性医薬品を用いた分子イメージング(SRS、 123 I/131 I-MIBGシンチグラフィ、18F-FDG PET等)も広く利用されている。SRS用には、111 In-ペンテトレオチドが市販されている。 111 In-ペンテトレオチドシンチグラフィの撮像は、通常、投与後4時間及び24時間に実施する。

胃腸膵NETでのSRSの感度は、インスリノーマを除いて常に高い値が報告されている。転移性のガストリノーマ、カルチノイド及びその他の胃腸膵NETでの感度は大抵80%以上、最大94%である。また、原発巣に比べて転移巣での感度が高く、SRSは解剖学的イメージングでは描出されなかった腫瘍を検出するとの報告も多い。ENETSの現診療ガイドラインは、胃腸膵NETの肝外転移においてSRSは単独で感度が最も高いスクリーニング法であると記載しており、外科的切除術前にCT又はMRIの後に使用することを推奨している。

気管支カルチノイドの多くはソマトスタチン受容体を発現しており、SRSが行われている。 低悪性高分化肺NETはSRS陽性、高悪性の大細胞型神経内分泌癌及び小細胞癌はSRS陰性とな る傾向にある。胸腺カルチノイドは、稀故に臨床情報が少ないが、最も広く使用されている機 能イメージングはSRSである。

(3) Kwekkeboom DJ et al. Somatostatin-receptor-based imaging and therapy of gastroenteropancreatic neuroendocrine tumors. Endocr Relat Cancer 2010;17(1):R53-73.

胃腸膵NETの診断及び病期診断におけるソマトスタチン受容体イメージングの有効性は明らかである。 111 In-ペンテトレオチドは、市販され、ソマトスタチン受容体イメージングで最も使用されている製剤である。 111 In-ペンテトレオチドシンチグラフィの推奨投与量は約200 MBq(ペンテトレオチドとして少なくとも10 μ g)である。この投与量ではSPECT撮像が可能となり、プラナー撮像のみより感度が上がり、より良い解剖学的位置情報が得られる。撮像プロトコールはSNMMIのガイドラインに示されている。

111 In-ペンテトレオチドシンチグラフィの感度が高い疾患は下垂体腫瘍、胃腸膵NET(ガストリノーマ、非機能性膵NET、インスリノーマ以外の機能性膵NET、カルチノイド)、傍神経節腫、小細胞肺癌、髄膜腫、サルコイドーシス、バセドウ病、感度が中程度の疾患はインスリノーマ、甲状腺髄様癌、分化型甲状腺癌、乳癌、リンパ腫、褐色細胞腫、星状細胞腫である。一般的な適応は、①種々のNET及びその他の腫瘍並びにそれらの転移巣の検出及び局在診断、②NET患者の病期診断、③既に診断された患者の経過観察、④手術不能及び/又は転移性腫瘍がある患者のPRRT適応確認、である。

(4) Scarpa M et al. A systematic review of diagnostic procedures to detect midgut neuroendocrine tumors. J Surg Oncol 2010;102(7):877-88.

中腸NETの診断率を評価するためにシステマティックレビューを行った。3つのデータベース (Medline、Embase、Cochran) を調査し、1998年1月~2007年10月に発行された論文2179報より、選択基準(キーワード="neuroendocrine tumors"、"midgut"、"symptoms"、"diagnostic procedure") に合致した17報について解析した。

¹¹¹In-ペンテトレオチドシンチグラフィの診断率は、17報中3報に示されていた。3報の合計 106名での陽性患者数は95名で、診断率は90.5%(65~100%)であった。一方、他の診断法の診断率は、血管造影が3報19名で78.9%(20~100%)、内視鏡が5報50名で56%(0~100%)、CTが7報90名で86.6%(0~100%)、USが1報5名で0%、ビデオーカプセル内視鏡が1報20名で60%、¹³¹I-MIBGシンチグラフィが2報49名で59.1%(43~66%)、注腸X線造影が4報60名で51.6%(5~100%)、血清CgA測定が3報89名で17.9%(0~20%)、尿中5-HIAA測定が10報205名で37.5%(0~100%)であった。NETの原発部位別での¹¹¹In-ペンテトレオチドシンチグラフィの診断率は、空腸/回腸NETでは高かったが、その他のNETに関しては明らかな情報は得られなかった。中腸NETが疑われる場合には、腹部CT及び¹¹¹In-ペンテトレオチドシンチグラフィを必ず実施すべきである。

(5) Oberg K et al. Current knowledge on diagnosis and staging of neuroendocrine tumors. Cancer Metastasis Rev 2011;30 Suppl 1:3-7.

胃腸膵NETの治療のためには、腫瘍の局在及び進展度の評価は不可欠である。汎用される画像診断法は、従来の画像検査(腹部US、CT、MRI)、選択的血管造影、SRS、骨シンチグラ

フィ、EUS等である。原発巣及び転移巣の局在診断には¹¹¹In-ペンテトレオチドシンチグラフィを第一選択とすべきである。現在、感度が100%の診断法はなく、微小な腫瘍を検出するためには複数の診断法を組み合わせる必要がある。現在、胃腸膵NETの20~50%は原発巣が明らかではない。一般的に、MRI又はCTの検出率は22~45%で、USの13~27%よりは高い。一方、¹¹¹In-ペンテトレオチドシンチグラフィの検出率はインスリノーマ以外の腫瘍で約57~77%、インスリノーマで25%と報告されている。また、肝転移の検出感度は¹¹¹In-ペンテトレオチドシンチグラフィが最も高かったと報告されている(¹¹¹In-ペンテトレオチドシンチグラフィで81~96%、MRIで55~70%、USで14~63%)。画像診断で予後に関して得られる情報は少ないが、概して、高い腫瘍組織量と¹¹¹In-ペンテトレオチドシンチグラフィ陰性は予後不良と関連している。

(6) Teunissen JJ et al. Nuclear medicine techniques for the imaging and treatment of neuroendocrine tumours. Endocr Relat Cancer 2011;18 Suppl 1:S27-51.

胃腸膵NETの正確な局在診断及び病期診断は、患者管理のためには不可欠であり、感度が高い画像診断法を行うことが重要である。よく実施される画像診断法は、CT、MRI、USといった従来の画像診断法、選択的血管造影、核医学検査(例えばソマトスタチン受容体イメージング)及びEUSである。多くの機能性腫瘍は小さく、正確な局在診断を行うためには一つ以上の検査が必要となる。

¹¹¹In-ペンテトレオチドシンチグラフィによる胃腸膵NETの検出感度は十分に立証されている。報告されている全体の感度は80%で、カルチノイドではほぼ100%、膵NETでは腫瘍の種類や大きさによって60~90%である。そのため、¹¹¹In-ペンテトレオチドシンチグラフィは胃腸膵NETの臨床精密検査には不可欠となっている。一方、インスリノーマの検出感度は20~60%とその他の胃腸膵NETに比べて低い。悪性インスリノーマはソマトスタチン受容体の発現様式が良性インスリノーマと異なるため、良性インスリノーマよりも高い検出率が報告されているが、報告例数が少なく、正確な感度は評価できない。

¹¹¹In-ペンテトレオチドの推奨投与量は約200 MBq(ペンテトレオチドとして10 μg以上)である。推奨撮像方法はSNMMI、EANM、ENETSの画像診断ガイドラインに記載されている。

(7) Sundin A. Radiological and nuclear medicine imaging of gastroenteropancreatic neuroendocrine tumours. Best Pract Res Clin Gastroenterol 2012;26(6):803-18.

ソマトスタチン受容体イメージングには、ガンマカメラを用いるシンチグラフィと、最近ではPETがある。ソマトスタチン受容体イメージングは病期診断を容易にし、一般的にCTよりも多くの病変を検出する。また、腫瘍のソマトスタチン受容体発現に関する情報を得て、ソマトスタチンアナログ治療の適応性を評価するためにもソマトスタチン受容体イメージングは必須である。現在、ソマトスタチン受容体イメージングの標準的手法は「IIIn-ペンテトレオチドシンチグラフィである。全身プラナー像を投与後4時間及び24時間に、腹部及び/又は胸部のSPECT像を投与後24時間に撮像する。24時間と48時間に撮像する方法もある。48時間は、結腸内に高い放射能の排泄物がある患者で追加実施が推奨される撮像ポイントである。SRSの感度

及び特異度に関しては様々報告されている。35施設の1200名に関するレビューでは、検出率の中央値は89%(範囲67~100%)、感度の中央値は84%(範囲57~93%)であった。SRSの感度は、腫瘍型と腫瘍の解剖学的位置で異なり、特に微小なインスリノーマでは一般的に低い。

(8) van Essen M et al. Neuroendocrine tumours: the role of imaging for diagnosis and therapy. Nat Rev Endocrinol 2014;10(2):102-14.

NET患者では、原発巣の描出、病期診断及びソマトスタチン受容体の評価のためには、形態画像診断及び核医学診断の組み合わせが必須である。CT及びMRIは、SPECT又はPETが見逃す恐れのある小さな病変の識別の他に、腫瘍の局所浸潤性や治療効果の評価に適している。「IIInペンテトレオチドシンチグラフィ又は68Ga標識ソマトスタチンアナログPETによるソマトスタチン受容体イメージングは、CTやMRIで描出されなかった病変を高頻度で検出する。現在、ソマトスタチン受容体の発現状況の評価には「IIInペンテトレオチドシンチグラフィが最も広く利用されている。ソマトスタチン受容体イメージングは、ソマトスタチンアナログ治療の適応判定にも利用されており、PRRTの適応患者の選定には必須である。「IIInペンテトレオチドシンチグラフィの感度は、システマティックレビューによると、腹部NETでは46~100%、膵NETでは46~93%と報告されている。「IIIInペンテトレオチドシンチグラフィの方法の最適化のためには、EANMの画像診断ガイドラインを順守することが推奨される。

2.7.6.8.4 臨床試験等の公表論文

......添付資料5.3.5.4.6

 111 In-ペンテトレオチドシンチグラフィの診断能について、米国National Center for Biotechnology Informationの医学論文データベースであるPubMedをoctreoscan、pentetreotide、indium and octreotide、octreotide scintigraphy又はsomatostatin receptor scintigraphyをキーワードに検索し、表2.7.6.8-5の検索条件を満たした臨床試験論文24報を基に評価した。 111 In-ペンテトレオチドシンチグラフィの診断能を既存の局在診断法との比較により評価した21報の要約を(1)~(21)に、免疫組織化学的診断との比較により評価した3報の要約を(22)~(24)に示す。

表2.7.6.8-5 臨床試験等の公表論文の検索条件

デニ	タベース	PubMed				
	-					
検索	·	20 年 月 日				
検索	期間	設定なし				
検	キーワード	① octreoscan				
検索条件		② pentetreotide				
件		③ indium and octreotide				
		④ "octreotide scintigraphy"				
		⑤ "somatostatin receptor scintigraphy"				
	言語	英語				
追加	キーワード	"clinical trial" [Filter] OR				
		"cohort studies" [Mesh]				
該当	論文数	395報				
論文	の採用基準	①既存の局在診断法との比較による	②免疫組織化学的診断との比較によ			
		診断能の評価	る診断能の評価			
		・NETを対象としている。	・NETを対象としている。			
		・ ¹¹¹ In-ペンテトレオチドシンチグラ	・ ¹¹¹ In-ペンテトレオチドシンチグラ			
		フィの診断能を既存の局在診断法	フィの診断能を免疫組織化学的診			
		との比較で評価しており、患者単	断との比較で評価しており、患者			
		位及び/又は病巣単位の感度を評	単位及び/又は病巣単位の正診率			
		価できる。	を評価できる。			
		・解析対象例数が、前向き試験は30				
		例以上、後向き試験は60例以上で				
		ある。				
採用	した公表論文	21報	3報			
1/4/11	したムな師人	∠ 1 TK	JTK			

(1) de Kerviler E et al. Somatostatin receptor scintigraphy in forty-eight patients with the Zollinger-Ellison syndrome. GRESZE: Groupe d'Etude du Syndrome de Zollinger-Ellison. Eur J Nucl Med 1994;21(11):1191-7.

実施	范 国	フランス						
	施施設数	1 (Bichat-Claude Bernard Hospital)						
実施時期		1991年9月~1993年10月						
目自	· 勺	ZES患者において、 ¹¹¹ In-ペンテトレオチドシンチグラフィ (SRS) の局在診断						
		能を評価する。また、SRSの診断能をEUSと比較する。						
デサ	ドイン	前向き						
対象	快疾患	ZES 48名(散発性30名、MEN1合併18名)						
患	主な選択基準	組織学的にZESと確定診断された、又は典型的な臨床、生物学的及び分泌所見						
患者背景		によりZESと診断された連続症例。						
景	性別	男性32名、女性16名						
	年齢	平均50 ± 13歳						
/ 14	投与量	平均120 MBq(91~137 MBq)						
法用	撮像時期	前半15名:投与後4時間、24時間、48時間						
量		後半33名:投与後4時間、24時間、必要に応じて30時間						
	SPECTの有無	有(必要に応じて)						
	SSA休薬	有(オクトレオチド治療を受けていた4名は、投与の3日前から休薬した。)						
読景	乡方法	読影者3名による病歴及び他の画像診断結果を盲検化したブラインド読影。3						
		名の評価が一致するまで協議した。						
確定	ど診断の定義 しんしゅう	従来の画像診断法(胸部X線、胃十二指腸内視鏡、US、腹部CT等)。						
経過	過観察期間	_						
感恩	度・特異度の	<u>患者単位の感度(%)</u> = SRS陽性患者割合						
定剩	衰	病巣単位の感度(%) = 他の画像診断法で検出された病巣のSRS陽性割合						
		病理的な集積がある場合を「陽性」、生理的集積のみの場合を「陰性」と判定						
		し、各病巣を他の画像診断法と比較した。なお、SRSの空間分解能は従来の画						
		像診断に比べて低いため、腹部は肝臓、左季肋部、下腹部及び膵十二指腸領域						
		に分け、SRSで同一領域内に異常集積が複数個あっても1病巣とみなし、異常						
		集積が1つでもあれば当該領域は「SRS陽性」と判断した。						
結男	具	【患者単位の感度(全患者)】						
		疾患名 患者数 SRS						
		ZES 48 81% (39/48)						
		【患者単位の感度(SRS及びEUSの両方を実施した患者)】						
		従来の画像診断法での						
		膵十二指腸領域腫瘍の有無 (n = 32) SRS EUS SRS + EUS						
		腫瘍あり 12 67% (8/12) 67% (8/12) 92% (11/12)						
		腫瘍なし 20 50% (10/20) 25% (5/20) 55% (11/20)						

結果 (続き)	【病巣単	位の感度】		
	疾患名	従来の画像診断法で検出された病巣数	SRS	
	ZES	48名60病巣	83% (50/60)*	
		がは68個の異常集積が認められ、うち18個 所法では陰性であった。	(17名) は従来の画	
	【画像評	価】		
	トレーった。	ーサ集積及び信号対雑音比を考慮すると	と、投与後24時間像が	最適であ
		後4時間像は、全病巣を明瞭に確認する。 寺に不十分であった。	ためには、腫瘍のトレ	・一サ集積
		後48時間像では、消化管排泄がしばした 旨腸と重なっていた。	ば描出され、大腸が腎)	臓及び膵
		管集積は時間経過と共に変化するため、 と比較することが有用であった。	腹部腫瘍との鑑別に	は複数の
	• SPEC あった	T像は、前方(肝臓等)と後方(膵臓や ^と 。	副腎)の病巣の区別	に有用で
安全性評価	副作用に	は認められなかった。		
結論	SRSは、	ZESの腫瘍の広がりに関する新たな情報	報を提供する。新たな	に腫瘍の検
	出は、特	に手術を検討しているZES患者では治療	療方針に影響を及ぼす	可能性が
	あるため	o、SRSで新たな腫瘍が検出されること	は臨床的に重要である	5.

(2) Jamar F et al. Somatostatin receptor imaging with indium-111-pentetreotide in gastroenteropancreatic neuroendocrine tumors: safety, efficacy and impact on patient management. J Nucl Med 1995;36(4):542-9.

T						
実施		ベルギー				
実施	施設数	1 (University of Louvain Medical School)				
実施	拉時期	_				
目自	勺	胃腸膵NETの局在診断における ¹¹¹ In-ペンテトレオチドシンチグラフィ(SRS)				
		の安全性、有効性及び患者管理への影響を評価する。				
デサ	ドイン	前向き				
対象	泉疾患	登録: 胃腸膵NET 47名				
		解析対象:胃腸膵NET 38名				
		(カルチノイド19名、ガストリノーマ10名、非機能性膵NET 5名、インスリノ				
		ーマ2名、MEN1 2名)				
患	主な選択基準	胃腸膵NET又はその疑いのある全患者のうち、以下の基準を満たした者であ				
者		る。				
患者背景		• 組織学的診断及び/又は異常ホルモン値により、胃腸膵NETと診断されて				
		いる、又は強く疑われる。				
		• 臨床情報(生化学的検査及び従来の画像診断法による腫瘍の局在診断を含				
		む)が完全に揃っている。				
	性別	男性22名、女性25名(登録患者)				
	年齢	平均53 ± 16歳(登録患者)				
用	投与量	平均207 ± 40 MBq				
法用	撮像時期	プラナー:投与後4時間、24時間、必要に応じて48時間				
量		SPECT: 投与後24時間				
	SPECTの有無	有				
	SSA休薬	有(オクトレオチド治療を受けていた15名は、投与の最大10日前、最短12時間				
		前から休薬した。)				
読景	· 沙方法	評価者2名による他の画像所見を盲検化したブラインド読影。肝臓、肝外腹部、				
		縦隔、肺、骨、末梢リンパ節等に領域分けし、SRSで同一領域内に異常集積が				
		複数個あっても1病巣とみなした。				
確定	定診断の定義	<u>患者単位</u> : SRS実施前の従来の画像診断法(単純X線、造影CT、US、MRI、血				
		管造影、膵臓EUS)。従来の画像診断法とSRSが不一致であった場合には、				
		経過観察時の従来の画像診断、組織学的診断、手術所見も考慮した。				
		病巣単位:1. 従来の画像診断法、2. 組織学的診断				
経過	過観察期間					
感馬	度・特異度の	患者単位の感度(%) = SRS陽性患者割合				
定家	姜	病巣単位の感度(%) = 従来の画像診断法で検出された(又は組織学的診断で確				
_ *		定診断された)病巣のSRS陽性割合				

結果	【患者単	単位の感度】						
	疾患名		患者数	SRS	従	来の画像診断法		
	カルチ	ノイド	19	89% (17/	19)	79% (15/19)		
	ガスト	リノーマ	10	90% (9/10)		80% (8/10)		
	非機能'	性膵NET	5	100% (5/5)	100% (5/5)		
	インス	リノーマ	2	50% (1/2)		100% (2/2)		
	MEN1		2	50% (1/2)		50% (1/2)		
	合計		38	87% (33/	38)	82% (31/38)		
	【SRSと	従来の画像	診断法の比較	(患者単位	五) 】			
		_	従来	その画像診断	ri法			
			陽性	陰性	合計			
		陽性	30	3	33 (87%)			
	SRS	陰性	1	4	5 (13%)			
		合計	31 (82%)	7 (18%)	38 (100%)	<u>. </u>		
	【病巣単	単位の感度】						
	確定診	断法	病巣数	1	SRS	従来の画像診断法		
	従来の	画像診断法	38名54病巢	93%	(50/54)	_		
	組織学	的診断	21名27病巣	93%	$(25/27)^*$	67% (18/27)		
	*SRS vs. 従来の画像診断法, p < 0.05 (McNemar test)							
	【患者管理への影響】							
	オクトレオチド治療又は手術の決定に影響あり:38名中20名(53%)							
安全性評価	副作用	は認められた	なかった。			` '		
結論	SRSは、	胃腸膵NET	「の検出におい	て、安全で	で感度の高	い画像診断法である。	腫	
			-			かれるため、治療方針の		
			と考えられる。		114 114 114 2	> 1 - 0 1 - 2 / 1 H // 1 / 2 E -	- V	

(3) Gibril F et al. Somatostatin receptor scintigraphy: its sensitivity compared with that of other imaging methods in detecting primary and metastatic gastrinomas. A prospective study. Ann Intern Med 1996;125(1):26-34.

実加	· 包国	アメリカ							
実加		1 (National Institutes of	of Health)						
実加		1994年6月~1995年5月							
目自		ZES患者で、 ¹¹¹ In-ペンテトレオチドシンチグラフィ(SRS)によるガストリノ							
		ーマの検出感度を従え	一マの検出感度を従来の画像診断法と比較する。						
ディ	デイン	前向き							
	 象疾患	ZES 80名(うち、ME	 N1合併17名)						
	主な選択基準	血清ガストリン測定、静注負荷試験、基礎・最大胃酸分泌量測定により、ZES							
者	1 323	と診断された連続症例。							
患者背景	性別	男性56名、女性24名	- 40						
从	年齢	平均52±10歳(17~72歳)							
用	投与量	222 MBq							
法	撮像時期	•	安与後4時間 24時間						
用量	SPECTの有無	プラナー、SPECT: 投与後4時間、24時間 有							
里	SSA休薬	_							
蒜具	1557 1 557 1	SRSは他の画像所見を盲検化したブラインド読影。SRS以外の画像所見は放射							
即山方	0714	線科医1名がすべて評価した。							
確信	 ビ診断の定義	患者単位:外科的診査、肝生検、及び/又は他の画像診断法(上部消化管内視							
中庄人			鏡、CT、MRI、経腹部US、骨シンチグラフィ、選択的血管造影)						
		病巣単位:手術							
終前	 過観察期間	——————————————————————————————————————							
	<u> </u>	患者単位の感度(%) = SRS陽性患者割合							
定		<u> 歩名単位の感度(%)</u> = 5 RS陽性患有割占 病巣単位の感度(%) = 手術で確認された病巣のSRS陽性割合							
結身		【患者単位の感度】							
かロン	\	心日平区少态及】	肝外腫瘍又は肝転移	肝外腫瘍	肝転移				
		診断法		(n = 80)					
		SRS	70% (56/80)	58% (46/80)	92% (22/24)				
		従来の画像診断法(CI)	, ,	, ,					
		US	19%*3	9%*3	46%* ²				
		CT	38%*3	31%*3	42%*3				
		MRI	45%*3	30%*3	71%				
		血管造影 全CI	40%* ³	28%* ³	62% ^{*1}				
		宝CI SRS + 全CI	59% 75% (60/80)	48% 68%	83% 96% (23/24)				
		SRSのみが陽性	13名 (16%)	16名 (20%)	3名 (12%)				
		CIのみが陽性	4名 (5%)	8名 (10%)	1名 (4%)				
		*1 p = 0.016, *2 p = 0.001,		, ,	` /				
			*						

結果 (続き)	[SRS &	: 従来の画像	象診断法の比!	較(病巣単位)]			
		1			法			
			陽性	陰性	合計]		
		陽性	15	9	24			
	SRS	陰性	0	5	5			
		合計	15	14	29			
	【病巣』	単位の感度】						
	診断法			病巣数	病導	巣単位の感度		
	SRS 全CI:	SRS 全CI: US+CT+MRI+血管造影		13名 29/内果		% (24/29)*2 % (15/29)		
	*1 試験	開腹を実施し	た患者					
	$^{*2} p = 0$.004; CI vs. S	RS					
安全性評価	(記載な	まし)						
結論 SRSは、ZES患者の原発巣及び肝					対して最も	感度が高い検査法	占であ	
	る。そ	る。その感度、簡便さ及び費用対効果の観点から、ZES患者で最初に行う画像						
	診断と	診断とすべきである。						

(4) Krenning EP et al. Somatostatin receptor: scintigraphy and radionuclide therapy. Digestion 1996;57 Suppl 1:57-61.

尺基準 第	性を評価する。 前向き 胃腸膵NET 350名 (カルチノイド184名 ノーマ24名、VIPオ	5月 6ける ¹¹¹ In-ペン 1、ガストリノ ーマ8名、グル	テトレオチドシンチ	・グラフィ(SRS)の有効 に膵NET 60名、インスリマトスタチノーマ2名) 。			
尺基準 明	胃腸膵NET患者にお 性を評価する。 前向き 胃腸膵NET 350名 (カルチノイド184名 ノーマ24名、VIPオ	らける ¹¹¹ In-ペン 1、ガストリノ・ ーマ8名、グル	ーマ67名、非機能性 カゴノーマ5名、ソ [・]	:膵NET 60名、インスリマトスタチノーマ2名)			
尺基準 第	性を評価する。 前向き 胃腸膵NET 350名 (カルチノイド184名 ノーマ24名、VIPオ	」、ガストリノ、 ーマ8名、グル	ーマ67名、非機能性 カゴノーマ5名、ソ [・]	:膵NET 60名、インスリマトスタチノーマ2名)			
尺基準 第	性を評価する。 前向き 胃腸膵NET 350名 (カルチノイド184名 ノーマ24名、VIPオ	」、ガストリノ、 ーマ8名、グル	ーマ67名、非機能性 カゴノーマ5名、ソ [・]	:膵NET 60名、インスリマトスタチノーマ2名)			
尺基準	胃腸膵NET 350名 (カルチノイド184名 ノーマ24名、VIPオ	ーマ8名、グル	カゴノーマ 5 名、ソ	マトスタチノーマ2名)			
R基準 :	(カルチノイド184名 ノーマ24名、VIPオ	ーマ8名、グル	カゴノーマ 5 名、ソ	マトスタチノーマ2名)			
尺基準 調	ノーマ24名、VIPオ	ーマ8名、グル	カゴノーマ 5 名、ソ	マトスタチノーマ2名)			
尺基準 明							
姐	組織学的又は生化学 - - -	色的に胃腸膵NE	Tと診断されている	0			
	_						
				-			
							
	有 (一部患者のみ)						
K	_						
主義 :	 従来の画像診断法(US、CT、MRI、血管造影等)、及び/又は生検、手術						
-	1						
	<u>恐有平压♥スメメメン又(70)</u>	5代5例上心语	L1 L				
	【串者単位の咸度】						
		 患者数	SBS	従来の画像診断法			
-				91% (168/184)			
	ガストリノーマ	67		75% (50/67)			
	非機能性膵NET	60		97% (58/60)			
	インスリノーマ	24		71% (17/24)			
	VIPオーマ	8		100% (8/8)			
	グルカゴノーマ	5	100% (5/5)	100% (5/5)			
	ソマトスタチノーマ	2	0% (0/2)	100% (2/2)			
	合計	350	80% (281/350)	88% (308/350)			
	寛の .	1994年4月まで まる単位の感度(%) 上書単位の感度 疾患名 カルチノイド ガストリノーマ 非機能性膵NET インスリノーマ VIPオーマ グルカゴノーマ ソマトスタチノーマ	間 1994年4月まで 度の 患者単位の感度(%) = SRS陽性患者 疾患名 患者数 カルチノイド 184 ガストリノーマ 67 非機能性膵NET 60 インスリノーマ 24 VIPオーマ 8 グルカゴノーマ 5 ソマトスタチノーマ 2	世界の			

(5) Cadiot G et al. Usefulness of somatostatin receptor scintigraphy in the management of patients with Zollinger-Ellison syndrome. Groupe de Recherche et d'Etude du Syndrome de Zollinger-Ellison (GRESZE). Gut 1997;41(1):107-14.

実施国		フランス						
		1 (Bichat Hospital)						
実施時期		1991年9月~1996年3月						
目的		¹¹¹ In-ペンテトレオチドシンチグラフィ(SRS)がZESの患者管理に与える影響						
		を評価する。						
デサ	ゲイン	後向き						
対象	象疾患	ZES 85名(うち、MEN1合併18名)						
患	主な選択基準	• SRSを実施したZESの連続症例。						
患者背景		• ZESの診断:病歴、及び生化学的基準又は解剖学的所見により、ZESと診断						
景		されている。						
		• MEN1の診断: MEN1に関連したZES以外の内分泌障害があるか、ZES又は						
		MEN1に関連した他の内分泌障害がある親族がいる。						
		• 以前に手術を行った患者は、セクレチン試験が依然として陽性である。						
	主な除外基準	● SRS実施前の従来の画像診断法(胸部X線、上部消化管内視鏡、腹部US、腹						
		部CT)で腹部外転移が確認されている。						
	性別	男性62名、女性23名						
	年齢	散発性ZES(肝転移なし): 平均49.4 ± 12.0歳						
		MEN 1合併ZES(肝転移なし): 平均43.7 ± 11.0歳						
		肝転移ZES: 平均42.1 ± 10.8歳						
	投与量	平均135 MBq						
法用	撮像時期	プラナー:投与後4時間、24時間、30~48時間						
量	SPECTの有無	有(1993年12月以降)						
	SSA休薬	_						
読景	岁方法	読影者2名の意見が一致するまで協議した。						
確定	定診断の定義	経過観察での組織学的診断又は放射線画像診断						
経過	過観察期間	中央値3箇月 (0.25~45箇月)						
感馬	き・特異度の	患者単位の感度(%) = SRS陽性患者割合						
定剩	隻	陽性:膵十二指腸及び肝臓に少なくとも1つの病的集積がある						
結果	艮	【患者単位の感度】						
		転移の有無 患者数 SRS						
		散発性ZES/肝転移なし*1 49 67% (33/49)						
		MEN1合併ZES/肝転移なし*1 18 67% (12/18)						
		<u> 肝転移ZES*2 18 94% (17/18)</u> 合計 85 73% (62/85)						
		合計8573% (62/85)*1 SRS実施前の従来の画像診断法で肝転移が認められなかった						
		*2 SRS実施前の従来の画像診断法で肝転移が認められたが、骨シンチグ						
		ラフィ及び胸部X線で腹部外転移は認められなかった						

結果 (続き)	【患者管理への影響】					
	転移の有無	患者数	SRSが治療方針に影響を与えた患者害	訓合		
	散発性ZES/肝転移なし	49	41% (20*1/49)			
	MEN1合併ZES/肝転移力		$22\% (4^{*2}/18)$			
	肝転移ZES	18	17% (3*3/18)			
	合計	85	32% (27/85)			
	の画像診断法で不確か 域に従来の画像診断法 *2 病的集積が肝臓及び縦	領域に病的集積が認められた(14名)、 前的集積が認められた(2名)、膵十二指 病的集積が認められた(4名)。 鬲(1名)、肺(2名)に認められた。 〔2名)、腫瘍縮小手術中止に繋がる新た	脂領			
	集積部位 部位		SRS			
	膵十二指腸 10)	90% (9/10)			
	肝臓 5		60% (3/5)			
	骨 2		100% (2/2)			
	胸 5		100% (5/5)			
	副腎 1		0% (0/1)			
	合計 20名*2	3部位	83% (19/23)			
	*SRSが治療方針に影響を与えた患者27名のうち、SRSの所見が追跡 調査時の組織学的又は放射線画像診断で検証できた患者					
安全性評価	(記載なし)					
結論	SRSは、特に手術を計画 所見を示した。	町している散発	性ZES患者の管理に影響を与え得る	5異常		

(6) Kisker O et al. The value of somatostatin-receptor scintigraphy in newly diagnosed endocrine gastroenteropancreatic tumors. J Am Coll Surg 1997;184(5):487-92.

実施国		ドイツ					
実施	施施設数	1 (University Hospital, Philipps-University Marburg)					
実施時期		1991年1月~1996年3月					
目白	勺	胃腸膵NETの初回治療前の局在診断能を ¹¹¹ In-ペンテトレオチドシンチグラフ					
		ィ(SRS)が改善するかを検討する。					
デサ	ドイン	前向き					
対象	快疾患	胃腸膵NET 55名					
		(カルチノイド22名、ガストリノーマ17名、インスリノーマ6名、非機能性10					
		名)					
患	主な選択基準	● 胃腸膵NETと新規に診断された。					
患者背景		• 胃腸膵NETの手術や薬物治療を受けていない。					
景	性別	男性28名、女性27名					
	年齢	カルチノイド:中央値58歳 (33~37歳)					
		ガストリノーマ:中央値54歳(42~72歳)					
		非機能性NET:中央值48歳(27~61歳)					
		インスリノーマ:中央値51歳(45~55歳)					
用	投与量	122~244 MBq(ペンテトレオチドとして10~20 μg)					
用法用	撮像時期	プラナー:投与後4時間、21~24時間					
量	SPECTの有無	有					
	SSA休薬	_					
読景	彡 方法	_					
確定	官診断の定義	外科的診査、又は細針生検及び細胞診					
経過	過観察期間	_					
感馬	度・特異度の	<u>患者単位の感度(%)</u> = SRS陽性患者割合					
定剩	妄	(SRS陽性患者: SRS陽性部位が、外科的診査、又は細針生検及び細胞診で					
		腫瘍であると確認された患者)					

結果	【患者単位 <i>页</i>	感度】				
	疾患名	患者数	SRS	US	СТ	SRS + US + CT
	原発巣					
	カルチノイト゛	22	32% (7/22)	36% (8/22)	50% (11/22)	50% (11/22)
	カ゛ストリノーマ	17	53% (9/17)	41% (7/17)	41% (7/17)	59% (10/17)
	インスリノーマ	6	0% (0/6)	67% (4/6)	67% (4/6)	_
	非機能性	10	40% (4/10)	70% (7/10)	80% (8/10)	
	合計	55	36% (20/55)			
	転移巣					
	カルチノイト゛	19	89% (17/19)	95% (18/19)	95% (18/19)	100% (19/19)
	カ゛ストリノーマ	9	100% (9/9)	67% (6/9)	67% (6/9)	100% (9/9)
	インスリノーマ	0	_	_	_	_
	非機能性	7	86% (6/7)	86% (6/7)	86% (6/7)	_
	合計	35	91% (32/35)			
	-: 未記載					
安全性評価	(記載なし)					
結論	SRSは、ガス	ストリノ	ーマ及びカルシ	チノイドの転種	多巣の検出にお	おいてCT及びUS
		-				なかった。また、
	升版肥性	易り移断	においても、	OKOの後世代	「兄田でなから) /c ₀

(7) Lebtahi R et al. Clinical impact of somatostatin receptor scintigraphy in the management of patients with neuroendocrine gastroenteropancreatic tumors. J Nucl Med 1997;38(6):853-8.

実施	地 国	フランス						
実別	施施設数	1 (Bichat Hospital)						
実別	 拖時期	1992年11月~1995年9月						
目白	ণ	胃腸膵NETの局在診断における ¹¹¹ In-ペンテトレオチドシンチグラフィ(SRS)						
		の臨床的有用性を、従来の画像診断との比較で評価する。						
デサ	ドイン	前向き						
対象	東疾患	胃腸膵NET 160名						
	,	(ZES 78名、カルチノイド38名、その他の胃腸膵NET 44名)						
患	主な選択基準	● 胃腸膵NETと診断された連続症例。						
患者背景		• ZESは、組織学的及び生化学的に、又は生化学的に診断されている。						
景		● ZES以外の胃腸膵NETは、組織学的に診断されている。						
	性別	男性88名、女性72名						
	年齢	平均52 ± 3歳						
	投与量	135 MBq						
法用	撮像時期	プラナー: 投与後4時間、24時間、30~48時間						
量	SPECTの有無	有(64名のみ)						
	SSA休薬	一部有(オクトレオチド治療を受けていた12名のうち、9名は投与の3日前から						
		休薬し、3名は休薬しなかった。)						
読景	乡方法	独立した読影者2名によるブラインド読影。不一致の場合にはコンセンサス読						
		影。						
確定	官診断の定義	従来の画像診断法、手術						
経过	過観察期間	SRS後平均18±2箇月(4~36箇月)						
感恩	度・特異度の	<u>患者単位の感度(%)</u> = SRS陽性患者割合						
定義	衰							
結身		【患者単位の感度】						
		疾患名 患者数 SRS 従来の画像診断法*1						
		胃腸膵NET 160 78% (125/160) 71% (114/160)*2						
		*1従来の画像診断法:胸部X線、腹部造影CT、腹部US、MRI、腹部血管造影、EUS等						
		*2従来の画像診断法が陽性であった114名のうち、15%(17/114)がSRS陰性であった。						
		従来の画像診断法が陰性であった46名のうち、61% (28/46)がSRS陽性であった。						

結果 (続き)	【患者単位の感度(疾患	及び病巣の種類	頁別) 】		
	疾患名	患者数	S	RS	
		(n = 160)	原発巣	転移巣	
	ZES	78	77%	92%	
	カルチノイド	38	75%	81%	
	その他の胃腸膵NET	44	64%	93%	
	Form on the state of the state	- 10 111 to free T			
	【SRSによる新たな病巣				
	従来の画像診断法による の有無 (SRS実施前)	転移巣 患者数	SRSで	新たに検出さ	れた病巣数
	転移なし	90	原発巣	20名26病巣	
				25名29病巣	
				ち、肝外転移	18名22病巣)
	肝転移のみ	59	36名45	病 果	
	肝外転移あり	11	7名11年		
	合計	160	80名11	1病巣*	
	【手術方針への影響】 ・ 外科手術の方針変更。 ・ 変更理由: 予想外の) 肝外転移発見31名			の肝転移発」	見で手術中止2名、
	【検査手法の評価】				
	投与後4時間像と24時のみが陽性であったのみが陽性であったの。	のは160名中2名	のみでは		
	原発巣の検出感度は、病巣のうち、10 mm以 瘍は92%(11/12)で	以下の腫瘍の検			
安全性評価	副作用は認められなかっ				
結論	SRSは、胃腸膵NETの局	-	期診断に	は高感度で	正確な方法である。
	SRSは、肝外転移のある				· · ·
	【検査手法の評価】 ● 投与後4時間像と24時のみが陽性であったのみが陽性であったの。 ● 原発巣の検出感度は、病巣のうち、10 mml。 瘍は92%(11/12)で 副作用は認められなかる SRSは、胃腸膵NETの局	のは160名中2名 は4名6病巣であ 、腫瘍の大きさ 以下の腫瘍の検 あった。 った。 品在診断及び病 患者から根治 り及び生化学的 なり得る。した	のみでもった。に依存し出感度は関診断に関います。	かったのに対 した。手術で は38% (6/16) は高感度で 術を施行する NETと診断	けして、24時間像の が摘出された28原発 、10 mm以上の腫 正確な方法である。 るのに適した患者を された患者には、第

(8) Alexander HR et al. Prospective study of somatostatin receptor scintigraphy and its effect on operative outcome in patients with Zollinger-Ellison syndrome. Ann Surg 1998;228(2):228-38.

実持	 色国	アメリカ							
実施施設数 1 (National Institutes of Health)									
実施時期 1994年6月~									
目自		ZES患者における	ガストリノー	マの術前昌在診園	新能について ¹	11 n_ペンテトレ			
НН	9	オチドシンチグラ							
		造影)を比較する							
	ドノン		o arc, sko	ク無例生行学とい	の財理性を傾う	19 る。			
	ゲイン	前向き	-) 25 H (7	ゴ *27 エ 谷 〉 (5 & MENIA	D4 4 77)			
	聚疾患 、、、、、、、、、、、、、、、、、、、、、、、、、、、、、、、、、、、、	ZES(ガストリノ	, , , , ,						
患者背景	主な選択基準	血清ガストリン	/測定、基礎・:	最大胃酸分泌量為	側定により、ZI	ESと診断された			
自背		連続症例。							
景		• SRS後に外科手		ている。					
	性別	男性21名、女性14	1名						
	年齢	平均51歳 ±1歳(35~71歳)						
用	投与量	222 MBq							
法用	撮像時期	プラナー、SPECT	「: 投与後4時間	引、24時間					
量	SPECTの有無	有							
	SSA休薬	_							
読	影方法	SRS以外の画像所見は1名の放射線科医がすべて評価した。							
		(SRSの読影方法に関する記載はなし。)							
確定	定診断の定義	外科的診査							
経ì	B観察期間	術後1.5箇月~3.2年、平均2年							
感	度・特異度の	患者単位の感度(%	<u>6)</u> = SRS陽性患	g=SRS陽性患者割合					
定	虔	病巣単位の感度(%) = SRS実施後の外科的診査で確認された病巣のSRS陽性割							
		合							
結身	<u> </u>	【患者単位の感度】							
				ガストリノー	マの局在部位				
		診断法	十二指腸	膵+その他原	リンパ節	合計			
			(n = 19)	発巣 (n = 10)	(n = 24)	$(n = 37^{*1})$			
		従来の画像診断法							
		US	0% (0/19)	20% (2/10)*3	21% (5/24)*5	16% (6/37)*6			
		CT	5% (1/19)	50% (5/10)	50% (12/24)*2	51% (18/37)*3			
		MRI	10% (2/19)	60% (6/10)	50% (12/24)*2	57% (21/37)*3			
		血管造影	15% (3/19)	60% (6/10)	50% (12/24)*4	57% (21/37)*3			
l		全画像診断	15% (3/19)	80% (8/10)	62% (15/24)	73% (27/37)			
		SRS	32% (6/19)	90% (9/10)	83% (20/24)	78% (29/37)			
		*135名延べ37手術	- *1 · *5	*6					
		*2 p < 0.05, *3 p < 0.0	2, p < 0.01, p < 0.01	< 0.001, p < 0.000	l; 各画像診断法	vs. SRS			

結果(続き)	【病巣単位の感度	:]							
	7/1/木平园。7/四尺	. <u>1</u>	ガストリノー	マの局在部位					
	診断法	十二指腸	膵+その他原	リンパ節	合計				
		(n = 20)	発巣 (n=11)	(n = 39)	$(n = 70^{*1})$				
	従来の画像診断法				· · · · ·				
	US	0% (0/20)*2	18% (2/11)*2	13% (5/39)*5	10% (7/70)*5				
	CT	5% (1/20)	54% (6/11)	33% (13/39)*5	29% (20/70)*5				
	MRI	10% (2/20)	54% (6/11)	36% (14/39)*4	31% (22/70)*5				
	血管造影	15% (3/20)	54% (6/11)	31% (12/39)*5	30% (21/70)*5				
	全画像診断	15% (3/20)	72% (8/11)	49% (19/39)*3	43% (30/70)*4				
	SRS	30% (6/20)	90% (10/11)	80% (31/39)	67% (47/70)				
	*1 33名延べ35手術(手術では2つの病巣が確認されたが、SRSでは1つの陽性部位と								
	【無病生存率】		ガストリ	ノーマ切除後の	無病生存率				
	評価時期		全患者		ガSRS 実施患者				
			(n = 3)	7)	(n = 27)				
	術後2週間以内		60%	4	59% (16/27)				
	最終観察時(術後	:平均2±0.1年)	43%		40% (11/27)				
	無病の定義:術後	の内分泌検査が1	E常、且つSRSを	含む画像検査が	陰性である				
安全性評価	(記載なし)								
結論	SRSは、従来の画	画像診断法(US	、CT、MRI及て	が選択的血管造	影)をすべて実				
	施するのと同等の	の感度を有して	いることから、2	ZES患者の手術	前の画像診断と				
	施するのと同等の感度を有していることから、ZES患者の手術前の画像診断と してこれら従来の画像診断はに置き換っることが可能である。SDSは、無病								
1	して、これら従来の画像診断法に置き換えることが可能である。SRSは、無病 生存率の改善に寄与しなかった。								
				とかり能でめる	る。SRSは、無病				

(9) Chiti A et al. Comparison of somatostatin receptor imaging, computed tomography and ultrasound in the clinical management of neuroendocrine gastro-entero-pancreatic tumours. Eur J Nucl Med 1998;25(10):1396-403.

	7.	3. 3. 33 mg					
実施国		イタリア					
実施施設数		1 (National Institute Cancer of Milan)					
実施	 色時期	_					
目自	勺	胃腸膵NET患者で、原発巣及び転移巣の局在診断における ¹¹¹ In-ペンテトレオ					
		チドシンチグラフィ(SRS)の臨床的有用性を評価する。					
デサ	ゲイン	_					
対象	象疾患	胃腸膵NET 131名					
		(カルチノイド87名、ガストリノーマ11名、インスリノーマ3名、ソマトスタチ					
		ノーマ2名、グルカゴノーマ2名、非機能性26名)					
患	主な選択基準	胃腸膵NETと病理学的に、又は機器検査及び経過観察で診断されている。					
患者背景	性別	男性70名、女性61名					
景	年齢	中央値54歳(16~83歳)					
用	投与量	150∼220 MBq					
法用	撮像時期	プラナー投与後24時間、48時間(必要に応じて72時間)					
量		SPECT: 投与後24時間、48時間					
	SPECTの有無	有					
	SSA休薬	有(オクトレオチド治療を受けていた18名のうち、2名を除き、長時間作用型					
		製剤の患者は投与前少なくとも14日間、非長時間作用型製剤の患者は投与前少					
		なくとも3日間休薬した。)					
読景		SRSは2名の核医学医によるオープン読影。					
		SRS以外の画像は、診療録に記載されていた紹介医の所見を採用した。ただし、					
		疑問のある所見は、全画像を合わせて評価した。					
確定	定診断の定義	組織学的診断、画像診断、手術等					
経過	過観察期間	_					
感馬	度・特異度の	<u></u> 患者単位の感度(%) = TP / (TP + FN) x 100					
定彰	É	<u>患者単位の特異度(%)</u> = TN / (TN + FP) x 100					
		正診率(%) = (TP + TN) / (TP + TN + FN + FP) x 100					
		$\underline{PPV(\%)} = TP / (TP + FP) \times 100$					
		$\frac{\overline{NPV(\%)}}{NPV(\%)} = TN / (TN + FN) \times 100$					

結果	【患者単位	の感度・	特異度】						
	病巣の	 本		画像診断法 (n=131)					
	場所	評価	SRS	CT	US	その他*			
	原発巣	感度	62% (34/55)	43% (21/49)	36% (16/44)	45% (13/29)			
	肝転移	感度	90% (66/73)	78% (53/68)	88% (52/59)	71% (20/28)			
		特異度	97% (56/58)	93% (38/43)	95% (41/43)	100% (14/14)			
		正診率	93% (122/129)	83% (91/109)	91% (93/102)	81% (34/42)			
		PPV	97% (66/68)	95% (53/56)	96% (52/54)	100% (20/20)			
		NPV	89% (56/63)	72% (38/53)	85% (41/48)	64% (14/22)			
	肝以外の	感度	90% (38/42)	66% (23/35)	47% (15/32)	61% (11/18)			
	軟部組織	特異度	98% (87/89)	98% (39/40)	100% (20/20)	97% (29/30)			
	転移	正診率	95% (125/131)	83% (62/75)	67% (35/52)	83% (40/48)			
		PPV	95% (38/40)	96% (23/24)	100% (15/15)	92% (11/12)			
		NPV	96% (87/91)	76% (39/51)	54% (20/37)	81% (29/36)			
	存置の担当	r. ⇒π. <i>l</i> .	T.在口	SRS	11 . 1716 Ale 141	=			
	病巣の場所	至 評価		チノイド	非機能性				
			t.	n = 87	(n = 26)	_			
	原発巣	感恩		% (19/35)	79% (11/14)	_			
	肝転移	感		% (45/49)	89% (16/18)				
	troud -			% (36/38)	100% (8/8)	_			
	肝以外の	感		% (23/27)	89% (8/9)				
	軟部組織車	17移 符争	異度 93%	/ _o (56/60)	100% (17/17)	_			
	• SRS後に	所たな病変 こ治療計画	- 変が検出され、復 回が変更された			` /			
少 人从志 /#		28名(21%) \)						
安全性評価	(記載なし		anth I to						
結論	SRSは、特	好定の胃腸	鳥膵NET患者でに	は必須の画像診	>断法である。				

(10) Gibril F et al. Specificity of somatostatin receptor scintigraphy: a prospective study and effects of false-positive localizations on management in patients with gastrinomas. J Nucl Med 1999;40(4):539-53.

実施	范 国	アメリカ						
実施施設数		1 (National Institutes of Health)						
実施	· 拖時期	1994年6月~1997年10月						
目自	勺	ZES患者で ¹¹¹ In-ペンテトレオチドシンチグラフィ(SRS)の特異度を評価し、						
		偽陽性所見が患者管理に与える影響を検討する。						
デサ	ドイン	前向き						
対象	快疾患	ZES 146名(延べ480検査)(うち、MEN1合併30名)						
患者	主な選択基準	血清ガストリン測定、基礎・最大胃酸分泌量測定により、ZESと診断された連						
者业		続症例。						
背景	性別	男性83名、女性63名						
	年齢	平均53 ± 1歳(18~79歳)						
用	投与量	222 MBq						
法用	撮像時期	プラナー、SPECT:投与後4時間、24時間						
量	SPECTの有無	有						
	SSA休薬							
読景		従来の画像診断法の画像は1名の放射線科医が読影した。						
確定	ビ診断の定義 しゅうしゅう	組織学的診断、従来の画像診断(CT、MRI、US)、SRS、経過観察、手術						
経過	過観察期間							
感恩	度・特異度の	<u>患者単位の感度(%)</u> = 活動性ZES患者(Clinical Category 1, 3, 4, 5の延べ364名)						
定剩	衰	のうち、TPであった患者の割合						
		<u>患者単位の特異度(%)</u> = 腫瘍切除で治癒した患者(Clinical Category 2の延べ						
		116名)のうち、FPでなかった患者の割合						
		【TPの定義】						
		• SRSの腹部内外異常集積が、後に組織学的にガストリノーマ又はNETと確定						
		された場合。						
		MEN1患者で、SRSの腹部内外異常集積が、後に組織学的にNETと確定され Net						
		た場合。						
		• SRS実施当時、患者は治癒しておらず、SRSの腹部内異常集積が従来の画像						
		診断法で確認された場合。						
		SRS実施当時、患者は治癒しておらず、SRSで膵十二指腸に明らかな異常集 Trians A						
		積が認められた場合。						
		• SRSで認められた遠隔転移又は骨転移が、後に組織学的診断等の方法で転移						
		性ガストリノーマ又はNETと確認された場合。						
		【FPの定義】 - CDSの暗如烈用労佐建ぶ、然の栄束の悪傷診断(CT MDL US)又はCDS						
		SRSの腹部外異常集積が、後の従来の画像診断(CT、MRI、US)又はSRS TEST NET No. 1 会際された担合						
		で、ZES又NET以外と診断された場合。						
		SRSの腹部内異常集積が、生検又は吸引細胞診でZES又はNET以外と診断された場合						
		れた場合。						

感度・特異度の	• SRSの腹部内外昇	見堂生積が	経過額	変の	後 7	FS及7	'KNF	TU外と	診断され	<i>t-</i>
定義(続き)	場合。	マロ 木頂 //		(1) N	汉、Z	LUX	J 1 11	12// C	10101040	77
ACAS (NOLO)	参□。SRSで腹部内外昇	見労生揺が	生化学	分价診	町会選	前侮診	無で	12722	- 1.6笛日	問
							的 C	グなくく	_ 50回刀	[H]
	に渡って疾患がる						Mr. —			
	• SRSの腹部内異常		後の手術	が又は	組織写	空的診	断で	ZES又は	NETとの)関
	連性が否定される	た場合。								
結果	【患者単位の感度・	特異度】								
	評価項目			Clinic	al Cate	gory*		<u>-</u> 合	計	
	н III. У П		1	2	3	4	5	Ц	н	
	延べ患者数(SRS検	査数)	72	116	151	44	97	4	80	
	SRSで異常集積部位と	≥1の患者数	65	19	84	31	97	2	96	
	TPがあった患者数		62	4	70	29	97	2	62	
	TP、FP共にあった患	者数	6	1	6	5	7		25	
	FPがあった患者数		9	16	22	5	7		59	
	感度		-	-	-	-	-	71% (25		
	特異度		-	-	-	-	-	86% (10	00/116)	
	PPV		-	-	-	-	-	85%		
	NPV		-	-	-	-	-	52%		
	*SRS実施時の臨床所見、生化学的所見及び腫瘍の局在診断に基づく分類。 Clinical Category 1: 術前患者 Clinical Category 2: 治癒的切除後で腫瘍がない患者									
	0 2						1 727	いった由	≠	
	Clinical Category 3:外科的診査は行ったが、腫瘍を摘出しなかった患者									
	Clinical Category 4:手術リスク等の理由で、外科的診査を行わなかった患者 Clinical Category 5:組織学的に確認された肝転移がある患者									
		: 手術リス	ク等の理	由で、	外科的	勺診査	を行れ			
		: 手術リス	ク等の理	由で、	外科的	勺診査	を行れ			
		:手術リス :組織学的	ク等の理 に確認さ	由で、	外科的	勺診査	を行れ			
	Clinical Category 5	:手術リス :組織学的	ク等の理 Iに確認さ 影響】	由で、れた肝	外科的	内診査 がある。	を行れ		た患者	_
	Clinical Category 5	:手術リス :組織学的	ク等の理 Iに確認さ 影響】	由で、 れた肝 'linical	外科的	内診査 がある。	を行え患者			_
	Clinical Category 5	:手術リス :組織学的 :方針への影	ク等の理 に確認さ 影響】 C	由で、 れた肝 'linical	外科的 F転移力 Catego	的診査 がある。 ory*	を行え	つなかって	た患者	- -
	Clinical Category 5 【偽陽性所見の治療 評価項目	:手術リス :組織学的 :方針への 1	ク等の理 に確認さ 影響】 C 2	由で、 れた肝 Ilinical	外科的 F転移力 Catego	内診査 ぶある。 ory* 4	を行え	のなかつ7 5	た患者 - 合計	-
	Clinical Category 5 【偽陽性所見の治療 評価項目 延べ患者数	:手術リス :組織学的 :方針への 5 1 72	ク等の理 に確認さ 影響】 C 2 116	由で、 れた肝 Elinical 151 22	外科的 F転移力 Catego	内診査 ixある。 ory* 4 44	を行え	うなかって 5 97	た患者 - 合計 480 59	— — ——————————————————————————————————
	Clinical Category 5 【偽陽性所見の治療 評価項目 延べ患者数 FPがあった患者数	:手術リス :組織学的 :方針への 1 72 9 1(11%)	ク等の理 に確認さ 影響】 C 2 116 16 3 (19%	由で、 れた肝 Elinical 151 22	外科的 F転移力 Catego	内診査 がある。 ory* 4 44 5	を行え	っなかって 5 97 7	た患者 - 合計 480 59	5)
	Clinical Category 5 【偽陽性所見の治療 評価項目 延べ患者数 FPがあった患者数 治療方針の変更*	:手術リス :組織学的 方針への 1 72 9 1(11%) 亥当する場份	ク等の理 に確認さ 影響】 C 2 116 16 3 (19% 合:	由で、 れた肝 Elinical 151 22) 4 (外科的 F転移力 Catego 3	内診査 i i ある。 ory* 4 44 5 0 (00	を行れ 患者 %)	5 97 7 5 (71%)	た患者 - 合計 480 59 13 (22%	
	Clinical Category 5 【偽陽性所見の治療 評価項目 延べ患者数 FPがあった患者数 治療方針の変更*	: 手術リス : 組織学的 方針への 1 72 9 1(11%) 変当する場合	ク等の理 に確認さ 影響】 C 2 116 16 3 (19% 合: &められ、	曲で、 れた肝 Clinical 151 22) 4 (外科自 F転移力 Catego 3 (18%)	内診査 i ある。 ory* 44 5 0 (0 ^o	を行れ 患者 %)	5 97 7 5 (71%)	た患者 - 合計 480 59 13 (22%	
	Clinical Category 5 【偽陽性所見の治療 評価項目 延べ患者数 FPがあった患者数 治療方針の変更* * 以下のいずれかにま ・ SRSで腹部内異	: 手術リス : 組織学的 : 方針への 1 72 9 1(11%) 该当する場合 は発過観察で は経過観察で	ク等の理 に確認さ 影響】 C 2 116 16 3 (19% 合: 認められ、 でその必要	曲で、 れた肝 (linical 151 22) 4(手術) 要性が	外科的 F転移力 Catego 3 (18%) 又は治 否定さ	内診査 ixある。 ory* 4 44 5 0(00 療の必れた。	を行え患者	っなかって 5 97 7 5 (71%) が示唆さ	た患者 - 合計 480 59 13 (22% れたが、1	後
	Clinical Category 5 【偽陽性所見の治療 評価項目 延べ患者数 FPがあった患者数 治療方針の変更* * 以下のいずれかにま ・ SRSで腹部内異 に画像診断又に	: 手術リス : 組織学的 : 方針への 1 72 9 1(11%) 该当する場合 は発過観察で は経過観察で	ク等の理 に確認さ 影響】 C 2 116 16 3 (19% 合: 認められ、 でその必要	由で、 れた肝 (linical 151 22) 4(手術) 要性が	外科的 F転移力 Catego 3 (18%) 又は治 否定さ	内診査 ixある。 ory* 4 44 5 0(00 療の必れた。	を行え患者	っなかって 5 97 7 5 (71%) が示唆さ	た患者 - 合計 480 59 13 (22% れたが、1	後
	Clinical Category 5 【偽陽性所見の治療 評価項目 延べ患者数 FPがあった患者数 治療方針の変更* * 以下のいずれかに計 ・ SRSで腹部内異 に画像診断又に	: 手術リス : 組織学的 : 方針への 1 72 9 1(11%) 该当年積が認 は経過観察内 は経過観察内 はなした腹部内 り	ク等の理 に確認さ 影響】 C 2 116 16 3 (19% 合: 8 められ、 でその必要 は、でその必要 は、でその必要 は、できる。	由で、 れた肝 151 22) 4(手術) 要性が ぶ、後に	外科的 F転移力 Catego 3 (18%) 又は治さま術	内診査 がある。 10 (00 ケックを ない。 ない。 ない。 ない。 ない。 ない。 ない。 ない。	を行え患者 %) 要性 織学	5 97 7 5 (71%) が示唆さ 的診断で	た患者 - 合計 - 480 - 59 - 13 (22% れたが、1	後定
	Clinical Category 5 【偽陽性所見の治療 評価項目 延べ患者数 FPがあった患者数 治療方針の変更* * 以下のいずれかに記 ・ SRSで腹部内異 に画像診断又に。 ・ SRSで認められ された。	: 手術リス : 組織学的 : 方針への 1 72 9 1(11%) 该当する場合 は発過観察で はた腹部内異 なびSRS以タ	ク等の理 に確認さ 影響】 C 2 116 16 3 (19% 合: 思められ、 でそ集積が トの画像語	由で、 れた肝 151 22) 4(手術) 要性が ぶ、後に	外科的 F転移力 Catego 3 (18%) 又は治さま術	内診査 がある。 10 (00 ケックを ない。 ない。 ない。 ない。 ない。 ない。 ない。 ない。	を行え患者 %) 要性 織学	5 97 7 5 (71%) が示唆さ 的診断で	た患者 - 合計 - 480 - 59 - 13 (22% れたが、1	後定
	Clinical Category 5 【偽陽性所見の治療 評価項目 延べ患者数 FPがあった患者数 治療方針の変更* * 以下のいずれかに計 ・ SRSで腹部内異 に画像診断又に ・ SRSで認められ された。 ・ 生化学的診断及	: 手術リス : 組織学的 : 方針への 1 72 9 1(11%) 该当す積が認 はよた腹部内 はよた腹部内 なびSRS以夕 る診断法である	ク等の理 に確認さ 影響】 C 2 116 16 3 (19% 合: 思めその集積が トの画像記 トのった。	由で、 れた肝 151 22) 4(手術ご 要性がご、後に	外科的 F転移力 Catego 3 (18%) 又否こ手術 疾患が	内診査がある。 	を行えまる。要性は、無常には、は、は、は、は、は、は、は、は、は、は、は、は、は、は、は、は、は、は、	5 97 7 5 (71%) が示唆さ 的診断で 患者で、	ト患者 - 合計 480 59 13 (22% れたが、行 腫瘍が否定 SRSのみた	後定がが
	Clinical Category 5 【偽陽性所見の治療 評価項目 延べ患者数 FPがあった患者数 治療方針の変更* *以下のいずれかに計 ・ SRSで腹部内異 に画像診断又に ・ SRSで認められ された。 ・ 生化学的診断 腫瘍を示唆する	: 手術リス : 組織学的 : 方針への 1 72 9 1(11%) 该常集観部内 はた腹部ないない。 ないで、SRS以夕 る。診集積が認っ。 ないで、数にないで、数にないで、如にないで、如にないで、如にないで、如にないで、如にないで、如にないで、如にないで、如にないで、如にないで、如にないで、如にないで、如にないで、。 は、如にないで、如にないで、如にないで、如にないで、如にないで、如にないで、。 は、如にないで、。	ク等の理されている。 を響】 C 2 116 16 3 (19% 合きののでは、	由で、 れた肝 151 22) 4(手術ご 要性がご、後に	外科的 F転移力 Catego 3 (18%) 又否こ手術 疾患が	内診査がある。 	を行えまる。要性は、無常には、は、は、は、は、は、は、は、は、は、は、は、は、は、は、は、は、は、は、	5 97 7 5 (71%) が示唆さ 的診断で 患者で、	ト患者 - 合計 480 59 13 (22% れたが、行 腫瘍が否定 SRSのみた	後定がが
	Clinical Category 5 【偽陽性所見の治療 評価項目 延べ患者数 FPがあった患者数 治療方針の変更* * 以下のいずれかに計 ・ SRSで腹部内異 に画像診断又に ・ SRSで認められ された。 ・ 生化学的診断が 腫瘍を示唆する ・ SRSで腹部外異 や細胞診でそれ ・ MEN1患者で、	: 手術リス : 指織学的 方針への 1 72 9 1 (11%) 亥当集積観部内 支部集積を腹部 支部 支部 大砂 大砂 大砂 大砂 大砂 大砂 大砂 大砂	ク等の理される。 「大きないでは、これでは、これでは、これでは、これでは、これでは、これでは、これでは、これ	由で、 Initial 151 22) 4(手性が と を は、 を 断で に は な は な な は な は な は な は な は な は な は な は な は な は な な	外科的 F転移が (18%) 又否こ 疾 転移 めら	りがあって* - 4 - 44 - 5 - 0 (0 ^o - のたび 定 唆 胸	を告者というとは、おおいまでは、これには、これには、これには、これには、これには、これには、これには、これに	5 97 7 5 (71%) が示唆さ も計画で、 が、おかいは はいまれる。	た患者 - 合計 480 59 13 (22% れたが、 1 腫瘍が否定 SRSのみた 画像診断	後定が及
	Clinical Category 5 【偽陽性所見の治療 評価項目 延べ患者数 FPがあった患者数 治療方針の変更* *以下のいずれかに ・ SRSで腹部内質に画像診断又に ・ SRSで認められされた。 ・ 生化学的診断が腫瘍を示唆する ・ SRSで腹部外異や細胞診でそれ ・ MEN1患者で、 、 示唆されたが、	: 手術リス : 指織学的 方針への 1 72 9 1 (11%) 亥当集積観部内 支部集積を腹部 支部 支部 大砂 大砂 大砂 大砂 大砂 大砂 大砂 大砂	ク等の理される。 「大きないでは、これでは、これでは、これでは、これでは、これでは、これでは、これでは、これ	由で、 Initial 151 22) 4(手性が と を は、 を 断で に は な は な な は な は な は な は な は な は な は な は な は な は な な	外科的 F転移が (18%) 又否こ 疾 転移 めら	りがあって* - 4 - 44 - 5 - 0 (0 ^o - のたび 定 唆 胸	を告者というとは、おおいまでは、これには、これには、これには、これには、これには、これには、これには、これに	5 97 7 5 (71%) が示唆さ も計画で、 が、おかいは はいまれる。	た患者 - 合計 480 59 13 (22% れたが、 1 腫瘍が否定 SRSのみた 画像診断	後定が及
安全性評価	Clinical Category 5 【偽陽性所見の治療 評価項目 延べ患者数 FPがあった患者数 治療方針の変更* * 以下のいずれかに計 ・ SRSで腹部内異 に画像診断又に ・ SRSで認められ された。 ・ 生化学的診断 腫瘍を示唆する ・ SRSで腹部外異 や細胞診でそれ ・ MEN1患者で、 示唆されたが、 (記載なし)	: 手術学の : 声術学の 方針への 72 9 1 (11%) 玄常集過額的 女 で SRS 以 タ ない はないで SRS 以 タ ない はないで SRS に が で 表に ないで SRS に まに ないで SRS	ク等の理される。 「大きないでは、「ないでは、「ないでは、「ないでは、「ないでは、」。 「ないでは、「ないでは、「ないでは、「ないでは、」。 「ないでは、「ないでは、「ないでは、「ないでは、」。 「ないでは、「ないでは、「ないでは、「ないでは、」。 「ないでは、「ないでは、「ないでは、「ないでは、」。 「ないでは、「ないでは、「ないでは、「ないでは、」。 「ないでは、「ないでは、「ないでは、」。」。 「ないでは、「ないでは、「ないでは、「ないでは、」。」。 「ないでは、「ないでは、「ないでは、「ないでは、」。」。 「ないでは、「ないでは、「ないでは、「ないでは、」。」。 「ないでは、「ないでは、「ないでは、」。」。 「ないでは、「ないでは、「ないでは、」。」。 「ないでは、「ないでは、「ないでは、」。」。 「ないでは、「ないでは、「ないでは、」。」。 「ないでは、「ないでは、「ないでは、」。」。 「ないでは、「ないでは、「ないでは、」。」。 「ないでは、「ないでは、「ないでは、」。」。 「ないでは、「ないでは、「ないでは、」。」。 「ないでは、「ないでは、「ないでは、」。」。 「ないでは、「ないでは、」。」。 「ないでは、「ないでは、」。」。 「ないでは、「ないでは、」。」。 「ないでは、「ないでは、」。」。 「ないでは、「ないでは、」。」。 「ないでは、「ないでは、」。 「ないでは、「ないでは、」。」。 「ないでは、「ないでは、」。」。 「ないでは、「ないでは、」。」。 「ないでは、「ないでは、」。 「ないでは、「ないでは、」。」。 「ないでは、「ないでは、」。 「ないでは、」。 「ないでは、「ないでは、」。 「ないでは、」。 「ないでは、」。 「ないでは、「ないでは、」。 「ないでは、」。 「ないでは、「ないでは、」。 「ないでは、」。 「ないでは、」。 「ないでは、」。 「ないでは、」。 「ないでは、」。 「ないでは、」。 「ないでは、」。 「ないでは、」。 「ないでは、」。 「ないでは、これでは、これでは、これでは、これでは、これでは、これでは、これでは、これ	由で、 Initial 151 22 1 4 () 手術が後、	外科 F	かが *** 4 44 5 0 (0 ^c 必。維 な で 、 否	を (A) 要は はれた れた れた に <b< td=""><td>5 97 7 5 (71%) が示唆さ 的診断で 患者で、 が、後に は肺カル た。</td><td>ト患者 - 合計 - 480 - 59 - 13 (22% れたが、 種瘍が否う SRSのみな 画像診断) チノイドな</td><td>後 定 が 及 が</td></b<>	5 97 7 5 (71%) が示唆さ 的診断で 患者で、 が、後に は肺カル た。	ト患者 - 合計 - 480 - 59 - 13 (22% れたが、 種瘍が否う SRSのみな 画像診断) チノイドな	後 定 が 及 が
安全性評価	Clinical Category 5 【偽陽性所見の治療 評価項目 延べ患者数 FPがあった患者数 治療方針の変更* *以下のいずれかに ・ SRSで腹部内質に画像診断又に ・ SRSで認められされた。 ・ 生化学的診断が腫瘍を示唆する ・ SRSで腹部外異や細胞診でそれ ・ MEN1患者で、 、 示唆されたが、	: 手術学の : 声術学の 方針への 72 9 1 (11%) 玄常集過額的 女 で SRS 以 タ ない はないで SRS 以 タ ない はないで SRS に が で 表に ないで SRS に まに ないで SRS	ク等の理される。 「大きないでは、「ないでは、「ないでは、「ないでは、「ないでは、」。 「ないでは、「ないでは、「ないでは、「ないでは、」。 「ないでは、「ないでは、「ないでは、「ないでは、」。 「ないでは、「ないでは、「ないでは、「ないでは、」。 「ないでは、「ないでは、「ないでは、「ないでは、」。 「ないでは、「ないでは、「ないでは、「ないでは、」。 「ないでは、「ないでは、「ないでは、」。」。 「ないでは、「ないでは、「ないでは、「ないでは、」。」。 「ないでは、「ないでは、「ないでは、「ないでは、」。」。 「ないでは、「ないでは、「ないでは、「ないでは、」。」。 「ないでは、「ないでは、「ないでは、」。」。 「ないでは、「ないでは、「ないでは、」。」。 「ないでは、「ないでは、「ないでは、」。」。 「ないでは、「ないでは、「ないでは、」。」。 「ないでは、「ないでは、「ないでは、」。」。 「ないでは、「ないでは、「ないでは、」。」。 「ないでは、「ないでは、「ないでは、」。」。 「ないでは、「ないでは、「ないでは、」。」。 「ないでは、「ないでは、「ないでは、」。」。 「ないでは、「ないでは、」。」。 「ないでは、「ないでは、」。」。 「ないでは、「ないでは、」。」。 「ないでは、「ないでは、」。」。 「ないでは、「ないでは、」。」。 「ないでは、「ないでは、」。 「ないでは、「ないでは、」。」。 「ないでは、「ないでは、」。」。 「ないでは、「ないでは、」。」。 「ないでは、「ないでは、」。 「ないでは、「ないでは、」。」。 「ないでは、「ないでは、」。 「ないでは、」。 「ないでは、「ないでは、」。 「ないでは、」。 「ないでは、」。 「ないでは、「ないでは、」。 「ないでは、」。 「ないでは、「ないでは、」。 「ないでは、」。 「ないでは、」。 「ないでは、」。 「ないでは、」。 「ないでは、」。 「ないでは、」。 「ないでは、」。 「ないでは、」。 「ないでは、」。 「ないでは、これでは、これでは、これでは、これでは、これでは、これでは、これでは、これ	由で、 Initial 151 22 1 4 () 手術が後、	外科 F	かが *** 4 44 5 0 (0 ^c 必。維 な で 、 否	を (A) 要は はれた れた れた に <b< td=""><td>5 97 7 5 (71%) が示唆さ 的診断で 患者で、 が、後に は肺カル た。</td><td>ト患者 - 合計 - 480 - 59 - 13 (22% れたが、 種瘍が否う SRSのみな 画像診断) チノイドな</td><td>後 定 が 及 が</td></b<>	5 97 7 5 (71%) が示唆さ 的診断で 患者で、 が、後に は肺カル た。	ト患者 - 合計 - 480 - 59 - 13 (22% れたが、 種瘍が否う SRSのみな 画像診断) チノイドな	後 定 が 及 が
	Clinical Category 5 【偽陽性所見の治療 評価項目 延べ患者数 FPがあった患者数 治療方針の変更* * 以下のいずれかに計 ・ SRSで腹部内異 に画像診断又に ・ SRSで認められ された。 ・ 生化学的診断 腫瘍を示唆する ・ SRSで腹部外異 や細胞診でそれ ・ MEN1患者で、 示唆されたが、 (記載なし)	 : 手術織学的 : 方針への 1 72 9 1 (11%) ix 当集過額 ix お話れない ix おびい ix おびい	クにでいる。 を関する。 をし。 をし。 をし。 をし。 をし。 をし。 をし。 をし	由で、 151 22) 40 手性が 遠 環 診 下 隔 に れた 原 に に り に り に り に り に り に り に り に り に り	外科的 Frex 8 (18%) ス否こ 疾 転移 めそれ で 89/480	りがあって* 44 5 0(0 ^o 変れ及 否 示 れが)	を 患 (a) 要 機 れ れ り 、 り 、 り 、 り 、 り 、 り 、 り 、 り 、 り 、	5 97 7 5 (71%) が か 診 者 後 に はた。 その約	ト患者 - 合計 - 480 - 59 - 13 (22% れたが、 種瘍が否う SRSのみっ 画像診断) チノイド 3分の1が	一後 定 が 及 が 腹

(11) Raderer M et al. Value of peptide receptor scintigraphy using ¹²³I-vasoactive intestinal peptide and ¹¹¹In-DTPA-D-Phe1-octreotide in 194 carcinoid patients: Vienna University Experience, 1993 to 1998. J Clin Oncol 2000;18(6):1331-6.

実加	—————————————————————————————————————	オーストリア								
実加	 	1 (University of Vienna)								
実加	 拖時期	1993年1月~1998年12月								
目白	勺	カルチノイド患者で、 ¹¹¹ In-ペンテトレオチドシンチグラフィ(SRS)及び								
		¹²³ I-Vasoactive Intestinal Pe	eptide (¹²³ I-VIP)	シンチグラフィの原発	巣及び転移巣					
		の局在診断能を比較する。	の局在診断能を比較する。							
デサ	ゲイン	_								
対象	象疾患	カルチノイド194名								
		(原発部位:肺/気管支20	0名、小腸57名、5	由垂74名、結腸 <mark>6</mark> 名、直	.腸26名、卵巣					
	T	1名、不明10名)								
患者	主な選択基準	カルチノイド腫瘍が組織	学的に確認された	、又は臨床所見及び生	E化学検査(尿					
者背		中5-HIAA増加)により疑	われた連続症例。							
背景	性別	_								
	年齢	中央値63歳(43~79歳)								
/ 14	投与量	120~150 MBq(ペンテト	レオチドとして1	0 μg)						
法用	撮像時期	プラナー: 投与後30分、3	3~6時間、18~24	4時間、72時間						
量		SPECT: 投与後18~24時間、48時間								
	SPECTの有無	有								
	SSA休薬	_								
読鬚	影方法	独立した核医学医2名によ	くる従来の画像診	断法を盲検化したブラ	インド読影。					
		不一致の場合はコンセン	サス読影。							
確定	定診断の定義	CT(ただし、US、EUS、	内視鏡の結果も	考慮する)。CTとSRS	の所見が解離					
		していた病変は、手術/	組織学的診断及び	ド経過観察時のCT。						
経ì	B観察期間	_								
感恩	度・特異度の	<u>感度(%)</u> = TP / (TP + FN) x	x 100							
定	É	TP:SRSの陽性部位が	他の画像所見又は	t手術所見と一致してV	いる					
		FN: SRSが陰性であっ	たCT陽性部位(約	経過観察時増大)又は	組織学的に確					
		定診断された手術病変	定診断された手術病変							
		FP:SRSの陽性部位が	径過観察時の画像	所見又は手術で確認で	できない					
結身	果	【患者単位の感度】								
		病巣の場所	患者数	SRS						
		原発巣又は局所再発病巣	104	91% (95/104)						
		転移巣	116	95% (110/116)						
		【病巣単位の感度】								
		病巣の場所	病巣数	SRS						
		転移巣	116名374病巣	88% (325/374)						
		15-12-215		0070 (323/3/4)						

結果 (続き)	【病巣単位	立の感度	(SRSと ¹²	³I-VIPの比較)	1	_
	病巣の場	所	病巣数*	SRS	¹²³ I-VIP	従来の画像診断法
	原発巣		45	93% (42/45)	84% (38/45)	49% (22/45)
	転移巣	肝臓	146	92% (134/146)	85% (124/146)	90% (131/146)
		肺	19	100% (19/19)	5% (1/19)	73% (14/19)
		リンパ節	42	89% (37/42)	52% (22/42)	79% (33/42)
		骨	26	88% (23/26)	34% (9/26)	77% (20/26)
	象であった。投与後					
安全性評価	(記載なし	ر)				
結論	SRS及び	¹²³ I-VIPシ	ンチグラ	フィは共に従	来の画像診断法	よりカルチノイドに
	対して感	度は高い	が、SRS	ヒ ¹²³ I-VIPシンチ	グラフィの比較	ではSRSがより優れ
	ている。					

(12) Zimmer T et al. Endoscopic ultrasonography of neuroendocrine tumours. Digestion 2000;62 Suppl 1:45-50.

⊄±±	/ 도로	10 / 10								
実施	_, .	ドイツ								
実施施設数 1 (Benjamin Franklin Hospital)										
	<u> </u>	1990年~1997年			111					
目白	勺	上部消化管(前月						•		
		(SRS) , CT, M	IRI及びUS	の局在診	断能及び洞	 朝診断能	色を比較す	る。		
デサ	ゲイン	前向き								
対象	象疾患	上部消化管(前)	腸)NET 4	0名						
		(インスリノーマ	713名(う	ち、悪性2	名、MEN	1合併1名)、ガス	トリノーマ11		
		名、非機能性16	名)							
患	主な選択基準	• 前腸(主に、	膵、胃、-	卜二指腸原	発)NET	と診断され	れている。			
患者背景		• 血清カルシウ	ム及び副門	甲状腺ホル	モンの測	定値から、	副甲状腺	R機能亢進症		
景		のスクリーニ	ングを受り	けている。						
		• 血清プロラク	チンの測定	定値から、	下垂体腫	傷のスク	リーニング	でを受けてい		
		る。								
		術前である。								
	性別	男性17名、女性2	23名							
	年齢	平均49歳(8~82	2歳)							
	投与量	100∼200 MBq								
法用	撮像時期	プラナー:投与後4時間、24時間、必要に応じて48時間								
量		SPECT: 投与後2	24時間							
	SPECTの有無	有								
	SSA休薬	_								
読景	· 影方法	経験豊かな最大2名による評価。								
確に	定診断の定義	組織学的診断								
経過	B観察期間	_								
感恩	度・特異度の	病巣単位の感度(%) = 組織学的に確定診断された病巣のSRS陽性割合								
定郭	虔									
結身	 艮	【病巣単位の感度】								
		花 电 <i>A</i>	患者数	GD G	ELIC	110	C/T) (D)		
		疾患名	病巣数	SRS	EUS	US	СТ	MRI		
		インスリノーマ	13名	12%	94%	12%	29%	13%		
			17病巣	(2/17)	(16/17)	(2/17)	(5/17)	(2/16)		
		ガストリノーマ	11名	87%	80%	27%	27%	27%		
		∃ E + 6% 会 E	15病巣	(13/15)	(12/15)	(4/15)	(4/15)	(4/15)		
		非機能性NET	16名 21病巣	48%	86%	29% (6/21)	38%	25% (5/20)		
<u> </u>			21개末	(10/21)	(18/21)	(0/21)	(8/21)	(3/20)		
安全	è性評価	(記載なし)								

結論	インスリノーマではEUSの感度が最も高かったことから、空腹時検査でインス
	リノーマが疑われた患者の診断にはEUS及びUSを第一選択とすべきである。
	ガストリノーマの原発巣及び転移巣の検出には、EUSは膵臓外の腫瘍の検出率
	が低いため、SRS、及びCT又はMRIを第一選択とすべきである。非機能性腫瘍
	の局所浸潤及び局所リンパ節転移の検出にはEUSが最適である。

(13) Briganti V et al. Octreoscan SPET evaluation in the diagnosis of pancreas neuroendocrine tumors. Cancer Biother Radiopharm 2001;16(6):515-24.

- ++	/ 는 [편]	1 1 11 7					
実施国 実施協設数		イタリア					
実施施設数 実施時期		1 (Careggi Hospital Florence)					
-		1996年~1999年					
目的		膵NETが疑われる患者で、 ¹¹¹ In-ペンテトレオチドシンチグラフィ(SRS)の読					
		影(定性的)評価及び半定量解析評価を比較する。					
デ	ゲイン	_					
対針	象疾患	膵NET疑い38名					
		(最終診断:ガストリノーマ10名、インスリノーマ6名、カルチノイド1名、膵					
		島細胞腫1名、グルカゴノーマ1名、非NET 19名)					
患	主な選択基準	生化学的検査(ガストリン、インスリン、グルカゴン)及び画像診断(CT及					
者		びUS)により膵NETが疑われた連続症例。					
患者背景	性別	男性18名、女性20名					
	年齢	平均52歳(22~77歳)					
用	投与量	111∼220 MBq					
法	撮像時期	プラナー、SPECT: 投与後4時間、24時間					
用量	SPECTの有無	有					
	SSA休薬	有(オクトレオチド治療を受けていた6名は、投与2日前から休薬した。)					
読景	· 方法	_					
確定	定診断の定義	病理診断(25名)、又は他の画像診断、臨床所見及びソマトスタチンアナログ					
		治療効果を含む経過観察(13名)					
経ì	B観察期間	最大58箇月					
感月	度・特異度の	患者単位の感度(%) = TP / (TP + FN) x 100					
定	É	患者単位の特異度(%) = TN / (TN + FP) x 100					
		正診率(%) = (TP + TN) / (TP + TN + FN + FP) x 100					
		$\frac{PPV(\%)}{PPV(\%)} = \frac{TP}{TP} + \frac{TP}{TP} \times 100$					
		$\frac{11 \cdot (70)}{\text{NPV(\%)}} = \frac{11}{\text{TN}} + \frac{11}{\text{TN}} \times \frac{100}{\text{TN}}$					
結身	 Ł	【患者単位の感度・特異度】					
7167		評価項目 SRS					
		感度 94% (18/19)					
		特異度 84% (16/19)					
		正診率 89% (34/38)					
		PPV 85% (18/21)					
		NPV 94% (16/17)					

結果 (続き)	【患者単	単位の感度	(疾患別) 】				
	疾患名		患者数	SRS	従来の画像	診断法	
	ガスト	リノーマ	10	100% (10/10	20% (2/1	0)	
	インス	リノーマ	6	83% (5/6)	17% (1/6)	
	グルカ	ゴノーマ	1	100% (1/1)	0% (0/1)	
	カルチ	ノイド	1	100% (1/1)	100% (1/1))	
	膵島細胞	胞腫	1	100% (1/1)	0% (0/1)	
	合計		19	94% (18/19	21% (4/1	9)	
	【SRSと	従来の画像	診断法の比較	爻 (患者単位			
			:	従来の画像診	新法		
			陽性	陰性	合計		
		陽性	4	14	94% (18/19)		
	SRS	陰性	1	0	6% (1/19)		
		合計	26% (5/19)	74% (14/19)	19 (100%)		
				,			
	【治療力	が針への影響	S.				
	• SRS	後に治療方	針が変更:38	3名中20名(5	52%)		
		SRS後に治療方針が変更:38名中20名(52%) (手術の適否判断14名、オクトレオチド治療開始5名、オクトレオチド増量2					
			バーロ、ペッ チド治療中』			ノ 1 ・ ハ ノ 1 - 日 <u>年</u> 2	
少 人从亚尔			ノ 自原甲型	_J/口 ,里筱 <i>0</i>	777 o		
安全性評価	(記載な						
結論	SRSは原	惑度及び特昇	異度が高く、	膵NETの診断	所法として有用゛	である。	

(14) Lebtahi R et al. Detection of neuroendocrine tumors: ^{99m}Tc-P829 scintigraphy compared with ¹¹¹In-pentetreotide scintigraphy. J Nucl Med 2002;43(7):889-95.

実施国		フランス				
実施施設数		3 (Hôpital Bichat, Centre Eugène Marquis, Hôpital Universitaire				
		Neuro-Cardiologique)				
実施	 短時期	_				
目的	5	¹¹¹ In-ペンテトレオチドシンチグラフィ (SRS) 及び新規ソマトスタチンアナロ				
		グである ^{99m} Tc-P829シンチグラフィによるNETの局在診断能を比較する。				
デサ	ドイン	前向き				
対象	快疾患	NET 43名				
		(ZES 11名、カルチノイド16名、グルカゴノーマ2名、インスリノーマ1名、非				
		機能性10名、成長ホルモン産生下垂体腺腫2名、クッシング症候群/ACTH産				
		生腫瘍1名)				
患	主な選択基準	生化学的又は組織学的にNETと診断されている。				
患者背景	性別	男性32名、女性11名				
景	年齢	平均56±8歳(24~78歳)				
	投与量	平均148 ± 17 MBq (ペンテトレオチドとして10 μg)				
法用	撮像時期	プラナー:投与後1時間*、4時間、24時間、30~48時間				
量		SPECT:投与後24時間				
		* ^{99m} Tc-P829シンチグラフィとの比較目的(12名のみ)				
	SPECTの有無	有(一部患者のみ)				
	SSA休薬					
読景	彡 方法	独立した医師2名による臨床情報を盲検化したブラインド読影。不一致の場合				
		はコンセンサス読影。頭頸部、胸部、上腹部、肝臓、下腹部、骨の6領域に分				
		けて、異常集積の有無を評価した。なお、同一領域内に10個以上の異常集積が				
		認められた場合は10個として評価した。				
確定	三診断の定義	画像診断(CT、MRI、動脈造影又はEUS)、又は手術及び組織学的診断				
経過	過観察期間	_				
感度	ぼ・特異度の	<u>患者単位の感度(%)</u> = SRS陽性患者割合				
定義	簑					

結果	【患者単位の感度】]			
	疾患名		患者数	SRS	^{99m} Tc-P829
	胃腸膵NET		40	93% (37/40)	_
	成長ホルモン産生	下垂体腺腫	2	100% (2/2)	_
	クッシング症候群	/ACTH産生腫瘍	1	0% (0/1)	
	合計		43	91% (39/43)	65% (28/43)
	【検出病変数】		00		
	部位	SRS	99mTc-P8	29	
	頭頸部	6	5		
	肺及び縦隔	10	11		
	肝臓	129	34		
	腹腔:上腹部	41	23		
	下腹部	7	2		
	骨	10	2		
	合計	203	77		
安全性評価	副作用は認められ	しなかった。			
結論	NETの検出率はSi	RSが ^{99m} Tc-P829シ	/ンチグラ	フィより高かっ	た。SRSは特に肝
	転移の検出率が高	らかった。			

(15) Cimitan M et al. Somatostatin receptor scintigraphy versus chromogranin A assay in the management of patients with neuroendocrine tumors of different types: clinical role. Ann Oncol 2003;14(7):1135-41.

≠ +	누크	1 1 1 7					
実施	_, .	イタリア (gp g , m g g g))					
	施設数	1 (National Cancer Institute (CRO-IRCCS))					
実別	施時期	-					
目自	勺	NET患者の病期診断、治療効果判定、経過観察における ¹¹¹ In-ペンテトレオチ					
		ドシンチグラフィ(SRS)及び血漿CgA測定の有用性を比較する。					
デサ	ドイン	前向き					
対象	象疾患	NET 63名					
		• 高分化型神経内分泌腫瘍(WDNET/カルチノイド)21名					
		(胃腸膵NET18名、肺NET3名)					
		● 高分化型神経内分泌癌(WDNEC/悪性カルチノイド)22名					
		(胃腸膵原発17名、肺原発2名、原発不明3名)					
		● 低分化型神経内分泌癌(PDNEC/小細胞癌)20名					
		(肺外小細胞癌14名、メルケル細胞癌6名)					
患	主な選択基準	組織学的にNETと診断された連続症例。					
患者背景	性別	男性32名、女性31歳					
景	年齢	18~76歳					
	投与量	200∼220 MBq					
法用	撮像時期	プラナー、SPECT: 投与後4~6時間、24時間					
量	SPECTの有無	有					
	SSA休薬						
読景	· 万法	過去に実施された他の検査所見を盲検化したブラインド読影。早期像と後期像					
		共に異常集積が見られた場合のみを陽性と判断した。					
確定	定診断の定義	手術所見(39名)及び/又は他の画像診断(スパイラルCT、MRI、US、内視					
		鏡等) (24名)					
経過	過観察期間	_					
感恩	ま・特異度の	<u></u> 患者単位の感度(%) = TP / (TP + FN) x 100					
定郭	隻	<u>患者単位の特異度(%)</u> = TN / (TN + FP) x 100					
		正診率(%) = (TP + TN) / (TP + TN + FN + FP) x 100					

果	【患者単位の							
	組織学的	患者数:	SRS		血漿CgA測定*			
	分類	心伯奴	感度	特異度	正診率	感度	特異度	正診率
	WDNET	21	100%	89%	95%	58%	100%	76%
			(12/12)	(8/9)	(20/21)	(7/12)	(9/9)	(16/21)
	WDNEC	22	84%	100%	86%	68%	67%	68%
			(16/19)	(3/3)	(19/22)	(13/19)	(2/3)	(15/22)
	PDNEC	20	50%	100%	60%	37%	100%	50%
			(8/16)	(4/4)	(12/20)	(6/16)	(4/4)	(10/20)
	WDNET +	43	90%	92%	91%	65%	92%	72%
	WDNEC		(28/31)	(11/12)	(39/43)	(20/31)	(11/12)	(31/43)
	全NET	63	77%	94%	81%	55%	94%	65%
	* 血漿CgAは			(15/16) 川定	(51/63)	(26/47)	(15/16)	(41/63)
	* 血漿CgAは 【SRSと血漿		を陽性と半				(15/16)	(41/63)
	【SRSと血漿	CgA測定	を陽性と半	川定		検査結果		
		CgA測定	を陽性と半	川定 SRS (+)	SRS (+	検査結果 +) SF	RS(-)	SRS(-)
	【SRSと血漿 組織学的分数	CgA 測定 頁 患者	を陽性と半	以 SRS (+) CgA (+)	SRS (+ CgA(-	検査結果 ト) SF c) Cg	RS(-) A (+)	SRS(-) CgA(-)
	【SRSと血漿 組織学的分類 WDNET	CgA測定 頁 患者 21	を陽性と半	SRS (+) CgA (+) 7	SRS (+ CgA(- 6	検査結果 ト) SF) Cg	RS(-) A (+)	SRS(-) CgA(-) 8
	【SRSと血漿 組織学的分類 WDNET WDNEC	CgA 測定 重 患者 21 22	を陽性と半	SRS (+) CgA (+) 7 12	SRS (+ CgA(- 6 4	検査結果 +) SF -) Cg (RS(-) A (+)	SRS(-) CgA(-) 8 4
	【SRSと血漿 組織学的分類 WDNET WDNEC PDNEC	CgA測定	を陽性と半	SRS (+) CgA (+) 7 12 5	SRS (+ CgA(- 6 4 3	検査結果) SF) Cg (2 1	RS(-) A (+)	SRS(-) CgA(-) 8 4 11
	【SRSと血漿 組織学的分類 WDNET WDNEC	CgA 測定 重 患者 21 22	を陽性と半	SRS (+) CgA (+) 7 12	SRS (+ CgA(- 6 4	検査結果 +) SF -) Cg (RS(-) A (+)	SRS(-) CgA(-) 8 4
· 全性評価	【SRSと血漿 組織学的分類 WDNET WDNEC PDNEC	CgA測定	を陽性と半	SRS (+) CgA (+) 7 12 5	SRS (+ CgA(- 6 4 3	検査結果) SF) Cg (2 1	RS(-) A (+)	SRS(-) CgA(-) 8 4 11
全性評価	【SRSと血漿 組織学的分類 WDNET WDNEC PDNEC 全NET (記載なし)	EgA測定	を陽性と# Eの比較】 - 香数	SRS (+) CgA (+) 7 12 5 24	SRS (+ CgA(- 6 4 3 13	検査結果 -) SF -) Cg (2 1 3	RS(-) A (+)	SRS(-) CgA(-) 8 4 11 23
	【SRSと血漿 組織学的分类 WDNET WDNEC PDNEC 全NET	CgA測定	を陽性と半至の比較】	SRS (+) CgA (+) 7 12 5 24	SRS (+ CgA(- 6 4 3 13	検査結果	RS(-) A (+)	SRS(-) CgA(-) 8 4 11 23

(16) Panzuto F et al. Staging of digestive endocrine tumours using helical computed tomography and somatostatin receptor scintigraphy. Ann Oncol 2003;14(4):586-91.

実施	높	イタリア					
実施	施施設数	1 (University "La Sapienza")					
実施		_					
目白	勺	胃腸膵NET患者の診断及び手術適応判断におけるヘリカルCTの有用性を ¹¹¹ In-					
		ペンテトレオチドシンチグラフィ(SRS)と比較する。					
デサ	ドイン	前向き					
対象	泉疾患	胃腸膵NET 60名					
		(ガストリノーマ7名、ガストリノーマ+MEN1合併3名、カルチノイド11名、					
		ソマトスタチノーマ1名、グルカゴノーマ1名、非機能性37名)					
患	主な選択基準	• 胃腸膵NETと診断された連続症例。					
患者背景		• 開腹手術が予定されている。					
景	性別	男性27名、女性33名					
	年齢	中央値48歳(18~73歳)					
用	投与量	_					
法用量	撮像時期	プラナー: 投与後24時間、48時間					
量		SPECT:投与後24時間					
	SPECTの有無	有					
	SSA休薬	_					
読景	乡方法	独立した読影者2名によるブラインド読影。					
確定	ど診断の定義 しゅうしゅう	組織学的診断及び免疫組織化学的診断					
経過	過観察期間						
感馬	度・特異度の	<u>患者単位の感度(%)</u> = TP / (TP + FN) x 100					
定剩	<u> </u>	<u>患者単位の特異度(%)</u> = TN / (TN + FP) x 100					

結果	【患者単位の感	【患者単位の感度・特異度】							
	病巣の場所	評価	SRS	ヘリカルCT	SRS+ ヘリカルCT				
	全原発巣*1	感度	77% (36/47)	94% (44/47)*2	95% (45/47)*3				
		特異度	92% (11/12)	100% (12/12)					
	膵原発巣	感度	78% (25/32)	100% (32/32)*2	100% (32/32)				
		特異度	-	_					
	消化管原発巣	感度	73% (11/15)	80% (12/15)	87% (13/15)				
		特異度	_	<u> </u>					
	リンパ節転移	感度	48% (14/29)	69% (20/29)	76% (22/29)*4				
		特異度	100%	100%	100%				
	肝転移	感度	67% (24/36)	94% (34/36)	94% (34/36)*5				
		特異度	91%	95%	86%				
	*1 原発部位不明	月1名、摘出	d済12名。						
	*2 ヘリカルCT	*3 SRS + ヘリカルCT vs. SRS, p = 0.07 *3 SRS + ヘリカルCT vs. SRS, p = 0.04							
	*4 SRS + ヘリス	リルCT vs. S	SRS, $p = 0.09$ *5	SRS + ヘリカルCT	r vs. SRS, $p = 0.02$				
	【患者単位の感		2性別) 】						
	病巣の場所	腫瘍の機	能性 患者数	SRS	ヘリカルCT				
	全原発巣	機能性NI	ET 17	82% (14/17)	94% (16/17)				
		非機能性	NET 30	73% (22/30)	93% (28/30)				
安全性評価	(記載なし)								
結論	1,11 1,11 1	移単の給り	出能の観点から	け ヘリカルCT	がより正確な術前病期				
лы ніш				•	ン受容体を評価できる				
			病降NET患者の依	ff削評価には、SF	RSとヘリカルCTの両方				
	を実施すべき	である。							

(17) Dimitroulopoulos D et al. Scintigraphic detection of carcinoid tumors with a cost effectiveness analysis. World J Gastroenterol 2004;10(24):3628-33.

実施国 ギリシャ										
			s Savvas"	Cancer Ho	ospital)					
実施時期 1997年4月~2003年10月										
目自		カルチノイド患者において、 ¹¹¹ In-ペンテトレオチドシンチグラフィ(SRS)の								
		診断能を	従来の画	「像診断法	(胸部X約	、上腹部	US、胸部(CT、上腹	部CT、下腹	
部CT) と比較する。また、SRSの費用対効果を評価する。										
デサ	ゲイン	前向き								
対象	象疾患	腹部カル	チノイド	31名(確	定24名、吳	延い7名)				
		(原発部位	立:胃3名	、十二指	腸1名、小	腸5名、虫	₹ (垂8名、盲	≣腸6名、圓	直腸3名、膵	
		臟4名、約	吉腸1名)							
患	主な選択基準	組織学的	又は細胞	2学的に診	断された胴	复部カルチ	ーノイドが	ある、又は	カルチノイ	
者		ド症候群	の既往が	あり、尿	中5-HIAA	高値による	る症状を呈	呈している	ことからカ	
患者背景		ルチノイ	ドが強く	疑われる。	0					
<i>-</i>	性別	男性18名	、女性13	3名						
	年齢	27~73歳								
用	投与量	111 MBq								
法	撮像時期	投与後24時間、必要に応じて48時間								
用量	SPECTの有無	_								
	SSA休薬	一部有(オクトレ	オチド治療	寮を受けて	:いた7名の	りうち、 4 名	ムは投与の の	36時間前か	
		ら休薬し	た。3日	間の休薬が	5臨床的に	困難であ	った3名は	休薬しなが	^{うっ} た。)	
読昇										
確定	ど診断の定義	組織学的	又は細胞]学的診断	、手術、E	EUS、従来	の画像診	断法 (胸音	『X線、上腹	
		部US、脂	可部CT、_	上腹部CT、	下腹部C	T)等				
経证	過観察期間	_								
感恩	度・特異度の	患者単位	の感度(%	<u>6)</u> = SRS陽	性患者割	合				
定義	簑									
結身	Ę	【患者単位	立の感度							
		患者の	患者数		SRS		従 邦	ドの画像診	断法	
		診断	心有数	全病巣	原発巣	転移巣	全病巣	原発巣	転移巣	
		確定	24	66.7%	71.4%	73.3%	62.5%	28.6%	93.3%	
		te-1		(16/24)	(10/14)	(11/15)	(15/24)	(4/14)	(14/15)	
		疑い	7	85.7%	71.4%	100%	57.1%	57.1%	50.0%	
		△卦	21	(6/7)	(5/7)	(4/4)	(4/7)	(4/7)	(2/4)	
		合計	31	71.0% (22/31)	71.4% (15/21)	78.9% (15/19)	61.3% (19/31)	38.1% (8/21)	84.2% (16/19)	
		確定:組	織学的マル				<u>(19/31)</u> 発摘出済み		(10/17)	
				化学的診断	~ 	- 2 11 10//11/1	- > 1 - 3 1 - 4 1 1 1 7	,		
-		1	·							

結果 (続き)	【画像診断費用】						
		画像診断の組み合わせ					
	 評価項目	胸部X線 +	胸部CT+	胸部X線 +	胸部CT+		
		上腹部CT+	上腹部CT+	上腹部US+	上腹部US+		
		SRS	SRS	SRS	SRS		
	患者単位の感度	88.75%	88.75%	82%	82%		
	検査費用 (ユーロ)	1294.93	1362.75	1183.93	1251.75		
安全性評価	副作用は認められた	よかった。					
結論	結論 SRSは、胃腸膵カルチノイドの感度の高い確定診断法であるが、肝転						
	感度に関してはUS及びCTより劣る。費用対効果の観点からは、胸部X線、上						
	腹部CT及びSRSの組み合わせが最適であった。						

(18) Dromain C et al. Detection of liver metastases from endocrine tumors: a prospective comparison of somatostatin receptor scintigraphy, computed tomography, and magnetic resonance imaging. J Clin Oncol 2005;23(1):70-8.

実施国フランス		フランス				
実施施設数		1 (Institut Gustave Roussy)				
実施時期		2000年9月~2002年10月				
目自		高分化型胃腸膵NET患者で、 ¹¹¹ In-ペンテトレオチドシンチグラフィ(SRS)、				
НН	,	CT及びMRIによる肝転移の局在診断能を比較する。				
デ+	デイン	前向き				
	, <u> </u>	登録: 胃腸膵NET 64名				
7,1 %	K/// IEN	(原発部位:小腸21名、膵臓15名、肺11名、結腸及び直腸3名、不明5名、虫垂3				
		名、胸腺2名、十二指腸2名、喉頭1名、食道1名)				
		解析対象:胃腸膵NET肝転移40名				
由	主な選択基準	組織学的に高分化型胃腸膵NETと診断された連続症例(肝転移の有無は問わな				
古者	工。这些八盃中	(1)				
患者背景	性別	男性32名、女性32名				
八	年齢	平均57歳(15~90歳)				
用	投与量	170~220 MBq				
法	撮像時期	プラナー: 投与後4時間、24時間、必要に応じて48時間				
用量	140 1200 1791	SPECT: 投与後24時間				
垂	SPECTの有無	有				
	SSA休薬	無(オクトレオチド治療患者:12名)				
読景		CT、MRI、SRSのそれぞれについて、独立した放射線医2名又は核医学医2名に				
		よるブラインド読影。ただし、疾患名(NET)と検査目的(肝転移診断)のみ				
		開示された。病巣の数は2回目の読影(コンセンサス読影)で決定した。				
確に	定診断の定義	患者単位:生検 (n=32) 又は手術 (n=8)				
		病巣単位:SRS、CT及びMRI				
経过	過観察期間	-				
感恩	ま・特異度の	患者単位の感度(%) = SRS陽性患者数 / 肝転移患者数 x 100				
定郭	隻	SRS陽性: 読影者2名共が肝病変陽性と判定し、少なくとも1つの病変が生検				
		で高分化型NETの肝転移と確定診断された場合。				
		肝転移患者: SRS、CT、MRIのいずれかで肝陽性病変が検出され、生検又は				
		手術で確定された患者。				
		病巣単位の感度(%) = SRS陽性病巣数 / 肝転移病巣数 x 100				
		肝転移病巣数:各患者で感度が最も高かった画像で検出された肝転移病巣数				
		の合計。一患者で15個以上の病変が検出された場合は、16個として計算した。				

【患者単位の感度】				
疾患名	患者数*	SRS	СТ	MRI
胃腸膵NET肝転移	40	82.5% (33/40)	97.5% (39/40)	97.5% (39/40)
*64名中24名は、いずオ	この画像診断	f法でも肝転移に	は認められなかっ	った。
【病巣単位の感度】				
疾患名	病巣数	SRS	СТ	MRI
胃腸膵NET肝転移	414	49.3%*1*2 (204/414)	78.5%* ³ (325/414)	95.2% (394/414)
7 A		MRI, p < 0.0001	*3 MRI vs. CT,	p = 0.02
【ソマトスタチンアナ				
評価項目	ソ			
- 東本光片の母座	7.50			MRI
	/5%			<u>5% (9/12)</u> 94
	.者3名は、C			
203個検出した。SPECT像は、肝転り多くの病巣を検し	移病巣13個 出した。	をプラナー像	で検出できな	
	占(51%)(の肝外腫瘍を枯	食出した。	
(記載なし)				
				-
	疾患名 胃腸膵NET肝転移 * 64名中24名は、いずえ 【病巣単位の感度】 疾患名 胃腸膵NET肝転移 *1 SRS vs. CT, p < 0.0001 (Wilcoxon's signed rank to the signed rank to	疾患名 患者数* 胃腸膵NET肝転移 40 * 64名中24名は、いずれの画像診断 (病巣単位の感度】 疾患名 病巣数 胃腸膵NET肝転移 414 *1 SRS vs. CT, p < 0.0001 *2 SRS vs. (Wilcoxon's signed rank test)	疾患名患者数*SRS胃腸膵NET肝転移4082.5% (33/40)* 64名中24名は、いずれの画像診断法でも肝転移に【病巣単位の感度】病巣数SRS胃腸膵NET肝転移41449.3%*1*2 (204/414)*1 SRS vs. CT, p < 0.0001	疾患名 患者数* SRS CT 胃腸膵NET肝転移 40 82.5% (33/40) 97.5% (39/40) * 64名中24名は、いずれの画像診断法でも肝転移は認められなかって (39/40) *64名中24名は、いずれの画像診断法でも肝転移は認められなかった。 【病巣単位の感度】 病巣数 SRS CT 胃腸膵NET肝転移 414 49.3%*1*2 78.5%*3 (204/414) (325/414) *325/414) *** SRS vs. CT, p < 0.0001

(19) Quigley AM et al. Intertumoural variability in functional imaging within patients suffering from neuroendocrine tumours. An observational, cross-sectional study. Neuroendocrinology 2005;82(3-4):215-20.

実施	范 国	イギリス								
実別		1 (Royal Free Hospital)								
実別	在時期	2000年9月~2004年9月								
目白	勺	NETにおける ¹¹¹ In-ペンテトレオチドシンチグラフィ(SRS)及び ¹²³ I-MIBGシ								
		ンチグラフィの診断能を評価し、比較する。								
デサ	ゲイン	後向き								
対象	泉疾患	NET 149名								
		(カルチノイド115名、膵NET 21名、ガストリノーマ4名、ソマトスタチノーマ								
		1名、原発不明等NET 8名)								
患	主な選択基準	• SRS及び ¹²³ I-MIBGシンチグラフィを行ったNETの連続症例。								
患者背景		• 組織学的又は生化学的にカルチノイド又はNETと診断されている。								
景		• 組織学的診断又は画像診断で腫瘍が少なくとも1つ確認されている。								
	性別	男性76名、女性73名								
	年齢	カルチノイド: 平均61歳 (30~87歳)								
		カルチノイド以外: 平均60歳 (23~83歳)								
	投与量	220 MBq								
法用	撮像時期	プラナー、SPECT: 投与後24時間								
量	SPECTの有無	有								
	SSA休薬	無								
読累		経験豊富で、両画像診断に精通した1名の核医学医が読影し、集積パターンを								
		以下の6つに分類した。								
		• SRS陰性、 ¹²³ I-MIBG陽性[SRS(+), MIBG(-)]								
		• SRS陽性、 ¹²³ I-MIBG陰性[SRS(-), MIBG(+)]								
		● SRS、 ¹²³ I-MIBG共に陽性で、陽性部位の分布も一致 [SRS=MIBG]								
		• SRS、 ¹²³ I-MIBG共に陽性で、陽性部位数はSRSが多い [SRS>MIBG]								
		SRS、 ¹²³ I-MIBG共に陽性で、陽性部位数は ¹²³ I-MIBGが多い [SRS <mibg]< td=""></mibg]<>								
		• SRS、 ¹²³ I-MIBG共に陽性であるが、陽性部位が一致しない [SRS≠MIBG]								
確気	ど かい と きょう と と と と と と と と と と と と と と と と と と と	生検材料の病理学的診断又は生化学的診断。原発巣は画像診断所見又は手術記								
		绿。								
	過観察期間	_								
	度・特異度の	<u>患者単位の感度(%)</u> = SRS陽性患者割合								
定										
結身	Ę	【患者単位の感度】								
		疾患名 患者数 SRS 123I-MIBG SRS + 123I-MIBG								
		カルチノイド 115 79% (91/115) 68% (78/115) 83% (96/115)								
		その他NET 34 79% (27/34) 47% (16/34) 79% (27/34) 合計 149 79% (118/149) 63% (94/149) 83% (123/149)								
		ын 147 /7/0 (110/147) 03/0 (74/147) 03/0 (123/149)								

結果 (続き)	【SRSと ¹²³ I-MIBGの比較】										
		患	SRS(-)	SRS(+)	SRS(-) —	SRS	(+), MIB	G(+)			
	疾患名	者 数	()	()	MIBG(+)	SRS= MIBG	SRS< MIBG	SRS> MIBG	SRS≠ MIBG		
	カルチノイト゛	115	19	18	5	16	18	25	14		
	その他	34	7	11	0	5	2	5	4		
	合計	149	26	29	5	21	20	30	18		
安全性評価	(記載な)	し)									
結論	NETの画	像診園	断には、5	SRSが ¹²³ I	-MIBGシン	/チグラフィ	より陽性	生率が高	弱かった。		
	しかし、	異なる	5腫瘍が抗	苗出され	るため、同	一患者内に表	長現型が	異なる	腫瘍が存		
	在するこ	とがえ	示唆される	た。							

(20) Perri M et al. Octreo-SPECT/CT imaging for accurate detection and localization of suspected neuroendocrine tumors. Q J Nucl Med Mol Imaging 2008;52(4):323-33.

実施	· 包国	イタリア						
実別		1 (University Hospital of Pisa)						
実別	 色時期	2005年4月~2006年6月						
目白	勺	NET又はその疑い患者で、 ¹¹¹ In-ペンテトレオチドシンチグラフィ (SRS) の						
		SPECT及びSPECT/CTの局在診断能を比較する。						
デサ	ドイン	前向き						
対象	泉疾患	NET 43名						
		(カルチノイド8名、膵NET 7名、傍神経節腫4名、甲状腺髄様癌1名、転移性						
		カルチノイド13名、転移性膵NET 7名、転移性傍神経節腫3名)						
	ナル記扣甘油	非NET 38名(最終的にNETが否定された患者)						
患者	主な選択基準	NETと診断されている、又はその疑いがある。 同窓はの標本、序型が原因は2012年のためにCDCがスタンとしている。						
背景	kth III	• 原発巣の探索、病期診断又は経過観察のためにSRSが予定されている。						
景	性別	男性50名、女性31名						
	年齢	平均55.9歳、SD 14.9歳、中央値58歳(20~81歳)						
	投与量	222 MBq						
法用	撮像時期	プラナー、SPECT: 投与後6時間、24時間						
量	SPECTの有無	有						
	SSA休薬							
読景		放射線科医1名と核医学医1名によるコンセンサス読影。患者背景は非盲検下、						
		最終診断名及び他の画像所見の結果は盲検下で読影した。プラナー及びSPECT						
		を評価した後に、CT及びSPECT/CTを評価した。バックグラウンド及び/又は						
		生理学的集積よりも高集積な部位を異常集積部位とし、次の5段階で評価し						
		た:1. 明らかにNETではない、2. 恐らくNETではない、3. 不明瞭である、4. 恐						
		らくNETである、5. 明らかにNETである。						
確定	定診断の定義	SPECT及びSPECT/CTで検出された各異常集積部位について、手術、病理組織						
		学的検査、臨床所見及び画像検査の全経過観察データに基づき、患者の最終診						
		断及び正確な局在を判断した。これらのデータがない病変は、病巣単位の解析						
		より除外した。診断基準は以下の通り。						
		● 病理組織学的所見						
		• 経過観察期間中、継続して臨床所見及び画像所見が陰性であった。						
		• SRSで検出された明らかな陽性病変が、その後治療していないにも関わらず						
		次のSRSで陰性となり、且つ、経過観察期間中、継続して臨床所見及び画像						
		所見が陰性であった。						
		• SRSで常に陽性病変が認められ、経過観察期間中、臨床所見及び画像所見が						
		陽性であった。						
		• SPECT/CT時に臨床所見及び画像所見が陽性で、ソマトスタチンアナログ治						
		療又は放射線治療が有効であった。						
経过	過観察期間	少なくとも6箇月間(平均9.2箇月、6~18箇月)						

感度・特異度の	咸度(%) = TP/	(TP + FN) x 100									
定義		$N/(TN + FP) \times 1$									
化我		` ,		100							
		正診率(%) = $(TP + TN) / (TP + TN + FN + FP) \times 100$ $\underline{PPV(\%)} = TP / (TP + FP) \times 100$									
	$\underline{PPV(\%)} = TP /$										
	$\underline{NPV(\%)} = TN / (TN + FN) \times 100$										
結果	【患者単位の感度・特異度 (n = 81)】										
	 評価項目 -	SPE	ECT	SPEC	CT/CT						
		不明瞭病巣(+)	不明瞭病巣(-)	不明瞭病巣(+)	不明瞭病巣(-)						
	感度	95.3% (41/43)	86.0% (37/43)	95.3% (41/43)	93.0% (40/43)						
	特異度	71.0% (27/38)	86.8% (33/38)	92.1% (35/38)	94.7% (36/38)						
	正診率	84.0% (68/81)	86.4% (70/81)	93.8% (76/81)	93.8% (76/81)						
	PPV	78.8% (41/52)	88.1% (37/42)	93.2% (41/44)	95.2% (40/42)						
	NPV	93.1% (27/29)	84.6% (33/39)	94.6% (35/37)	92.3% (36/39)						
	不明瞭病巣(+): SRSでの不明瞭病巣を陽性(+)として解析した場合 不明瞭病巣(-): SRSでの不明瞭病巣を陰性(-)として解析した場合										
	• SPECT読影 (138/169)	で検出された総算 で、正しくNET	と判定された異	63名169部位(T 常集積部位の割 た異常集積部位の							
安全性評価	(記載なし)										
結論	SRS Ø SPECT/	CTは、SPECT単	独に比べ、神経	と内分腫瘍の特に	腹部病変の局在						
	診断に優れて	いる。									

(21) Stokkel MP et al. Somatostatin receptor scintigraphy and chromogranin A assay in staging and follow-up of patients with well-differentiated neuroendocrine tumors. Nucl Med Commun 2011;32(8):731-7.

実施	恒 国	オランダ								
実施		1 (The Netherlands Cancer Insti	tute, Antoni van Leeuwenl	noek Hospital)						
実施		_								
目自		高分化型NET患者の病期診断及び経過観察における ¹¹¹ In-ペンテトレオチドシ								
		ンチグラフィ(SRS)及び血漿CgA測定の有用性を評価する。								
デサ	デイン	後向き								
	 &疾患	NET 88名								
		(原発部位:小腸37名、結腸直	[腸15名、膵臓6名、虫垂	6名、肺3名、喉頭3名、						
		不明18名)								
患	主な選択基準	• 組織学的に高分化型カルチ								
者		• SRSの3箇月以内にCgA測定								
背	主な除外基準	重度の合併症(二次性腫瘍		うる。						
景	2 00/00/122/1	• SRSの実施前1箇月以内に手		, 3 0						
	性別	男性41名、女性47名	11. 0 20.7 1 2 0							
	年齢	平均60歳(21~80歳)								
用	投与量	200~220 MBq								
/ 13	撮像時期	プラナー、SPECT: 投与後24時間								
用量	SPECTの有無	有								
重	SSA休薬	_								
読書		バックグラウンドよりも高く、生理学的集積を否定できる集積を陽性、それ以								
P) U/J	> > 4 III	外を陰性と判定した。	<u> </u>							
確定	 ビ診断の定義	臨床情報、CT、MRI等の画像所見、及び経過観察								
	B観察期間	_	7172 (
	度・特異度の	<u></u> 患者単位の感度(%) = TP / (TP	+ FN) x 100							
定記		患者単位の特異度(%) = TN / (*)								
/ _ 4	~	$\frac{PPV(\%)}{PPV(\%)} = TP / (TP + FP) \times 100$	11)11100							
		$\frac{\text{NPV}(\%)}{\text{NPV}(\%)} = \text{TN} / (\text{TN} + \text{FN}) \times 100$)							
		(血漿CgAは120 μg/L以上を陽								
結身	<u> </u>	【患者単位の感度・特異度】	TC 1391 0 1C)							
71821		評価項目 SRS	血漿CgA測定	SRS + 血漿CgA測定						
		感度 78% (57		90% (66/73)						
		特異度* 93% (14		93% (14/15)						
		PPV 98% (57	100% (45/45)	99% (66/67)						
		NPV 47% (14	35% (15/43)	67% (14/21)						
		*15名は腫瘍摘出後								

結果 (続き)	【患者単位の評	価:SRS及	で血漿CgA	測定の比	· · · · · · · · · · · · · · · · · · ·			
	カルチノイド		診断結果					
	原発部位	患者数	SRS(+)	SRS(-)	SRS(+)	SRS(-)		
	//\/\/\/\/\/\/\/\/\/\/\/\/\/\/\/\/\/\/		CgA(+)	CgA(-)	CgA(-)	CgA(+)		
	小腸	37	13 (15%)	6 (7%)	14 (16%)	4 (5%)		
	結腸直腸	15	6 (7%)	3 (3%)	4 (5%)	2 (2%)		
	膵臓	6	3 (3%)	2 (2%)	1 (1%)	0 (0%)		
	虫垂	6	0 (0%)	6 (7%)	0 (0%)	0 (0%)		
	肺	3	1 (1%)	2 (2%)	0 (0%)	0 (0%)		
	喉頭	3	1 (1%)	0 (0%)	1 (1%)	1 (1%)		
	不明	18	12 (14%)	2 (2%)	2 (2%)	2 (2%)		
	合計	88	36 (41%)	21 (24%)	22 (25%)	9 (10%)		
安全性評価	(記載なし)							
結論	SRSは、カルチ	ノイドのタ		び再評価に	おいて、血	血漿CgA測定に比		
	感度は高かった	こものの、生	寺異度は低	かった。初[回の病期診	:断には、SRS及び		
	測定の両方が必	必要である	0					

(22) Volante M et al. Somatostatin receptor type 2A immunohistochemistry in neuroendocrine tumors: a proposal of scoring system correlated with somatostatin receptor scintigraphy. Mod Pathol 2007;20(11):1172-82.

実施	 色国	イタリア							
実施	 	3 (University of Turin; University of Naples; University of Varese)							
実施		1998~2006年							
目自	 勺	NETのソマトスタチン受容体 (SSTR) サブタイプの発現プロファイルを免疫							
		組織化学的診断で評価し、 ¹¹¹ In-ペンテトレオチドシンチグラフィ(SRS)の							
		果と比較する。							
デサ	 デイン	後向き							
対象	象疾患	NET 107名							
		(高分化型NET(良性カルチノイド)又は高分化型NEC(悪性/異型カルチノ							
		イド)70名、低分化型NEC 18名、甲状腺髄様癌9名、その他NET 10名)							
患	主な選択基準	• 2000年及び2004年のWHO病理組織学的診断に基づいて診断されている。							
患者背景		• 病理学的レビュー及び免疫組織化学診断のための組織検体がある。							
景		• SRSのデータが利用可能である。							
	性別	_							
	年齢	_							
用	投与量	135 MBq							
法用	撮像時期	プラナー: 投与後4時間、24時間							
量		SPECT:投与後24時間							
	SPECTの有無	有							
	SSA休薬	_							
読景	影方法	SRSの集積は以下の4段階で評価し、2~4に分類された場合を陽性と判定した。							
		1. 集積が正常肝臓より低い、2. 集積が正常肝臓と同等である、3. 集積が正常							
		肝臓より高い、4. 集積が正常脾臓又は腎臓より高い							
確定	定診断の定義	ソマトスタチン受容体(SSTR 2A、3、5)の免疫組織化学的診断							
		SSTR 2A: 細胞質性の染色の有無に係らず、細胞膜性の免疫反応が認められ							
		る場合を陽性と判定した。							
		SSTR 3、5:細胞質の染色性のみを観察し、10%以上の陽性腫瘍細胞数が認							
		められる場合を陽性と判定した。							
		[本論文では、SRSをレファレンスに、免疫組織化学的診断の感度、特異度を							
		評価している。]							
経过	B観察期間	_							
正記	参率の定義	<u>正診率(%)</u> = (TP + TN) / (TP + TN + FP) x 100							
		TP: SRS、免疫組織化学的診断が共に陽性							
		TN: SRS、免疫組織化学的診断が共に陰性							

結果	【免疫組織	化学的診	淅	(SSTF	R 2A)と	SRSの比	較】						
						一致			不一致				
	病理組織 学的診断	腫瘍部位	患者		患者数	IHC(+)	IHC(-)	患者数	IHC(+)	IHC(-)			
	于山沙岭				(%)	SRS(+)	SRS(-)	(%)	SRS(-)	SRS(+)			
	高分化型	肺		17	13 (76)	11	2	4 (24)	1	3			
	NET/NEC	膵臓		28	24 (86)	23	1	4 (14)	2	2			
		消化管		18	16 (89)	15	1	2 (11)	2	-			
		原発不明		7	2 (29)	1	1	5 (71)	-	5			
	低分化型	肺		13	12 (92)	5	7	1 (8)	1	-			
	NEC	消化管		1	1	-	1	-	-	-			
	7 0 14	原発不明		4	4 (100)	2	2	-	-				
	その他	甲状腺髓			6 (67)	1	5	3 (33)	-	3			
	NET	メルケル細胞 褐色細胞		3	2	2	-	1	-	1			
		胸腺加升		2 1	1	1	-	1 1	-	1			
		腺がん	11	3	- 1	-	1	2	_	1 2			
			瘍	1	-	_	-	1	_				
	下垂体腫瘍 1 - - 1 - 1 IHC: 免疫組織化学的診断 IHC(+) = SSTR 2A(+), IHC(-) = SSTR 2A(-)												
	【患者単位	の診断能	3										
		15 7714	-		S	SSTRサフ	・ タイプ						
		2A				2A and/or 3 2A and/or			or 5 2A, 3 or 5				
	正診率	,	77%		80% 77%			%	779	%			
	病理組織学 高分化型N		腫腫肺	 小		患者 17		感度* 82% (14/	17)				
			膵肌	蔵				89% (25/28)					
			消化	匕管		18		83% (15/	18)				
			原	発不明		7		86% (6/7))				
			合詞	<u></u>		70		86% (60/	70)				
	低分化型N	EC	肺			13		38% (5/13	3)				
				匕管		1		0% (0/1)					
				発不明		4		50% (2/4)					
	7 0 11		合言		1× +	18		39% (7/18					
	その他NET	ľ		犬腺髄		9		44% (4/9)					
	メルケル; 褐色細胞					3 2		100% (3/3) 100% (2/2)					
								` ′					
			胸肌	泉カル	座 チノイド	1	1	100% (1/1))				
			胸腺素		チノイド		1	100% (1/1) 67% (2/3))				
			胸腺素	泉カル びん 垂体腫	チノイド	1 3	1	100% (1/1) 67% (2/3) 100% (1/1))))				
	合計		胸原	泉カル びん 垂体腫	チノイド	1 3 1	1	100% (1/1) 67% (2/3)))) 19)				
	合計 * 感度(%) = S	RS陽性患ネ	胸形下	泉カル がん 垂体腫 計	チノイド	1 3 1 19	1	100% (1/1) 67% (2/3) 100% (1/1) 68% (13/2)))) 19)				
安全性評価			胸形下	泉カル がん 垂体腫 計	チノイド	1 3 1 19	1	100% (1/1) 67% (2/3) 100% (1/1) 68% (13/2)))) 19)				
安全性評価結論	* 感度(%)=S)	胸腺之子	泉カル がん 垂体腫 計	チノイド 瘍	1 3 1 19 107	1	100% (1/1) 67% (2/3) 100% (1/1) 68% (13/ 75% (80/))) 19) 107)	生である。			
	* 感度(%) = S (記載なし) 上学的診園	胸腺 下音 合計 計は	泉カル がん 垂体腫 ・ に	チノイド 瘍 - - - - - - - - - - - - - - - - - - -	1 3 1 19 107	1 1 caneto	100% (1/1) 67% (2/3) 100% (1/1) 68% (13/ 75% (80/))) 19) 107) 評価方法	_			

(23) Asnacios A et al. Indium-111-pentetreotide scintigraphy and somatostatin receptor subtype 2 expression: new prognostic factors for malignant well-differentiated endocrine tumors. J Clin Oncol 2008;26(6):963-70.

/ +>⊥								
実施	_, .	フランス						
	拖施設数	1 (Claudius Regaud Institute)						
J 4//	拖時期	1994~2002年						
目白	勺	高分化型NETにおいて、 ¹¹¹ In-ペンテトレオチドシンチグラフィ(SRS)、免疫						
		組織化学的診断によるソマトスタチン受容体発現及び予後の関連性を評価						
		る。						
デサ	ゲイン	後向き						
対象	象疾患	高分化型NET 98名						
		(SRS陰性群48名、SRS陽性群50名)						
患	主な選択基準	• 高分化型NETと確定診断されている。						
患者背景		• SRS陰性群:SRSが陰性の連続症例。						
貨暑		• SRS陽性群:SRS陰性群と同時期に当院で診察を受けている;SRS陰性群と						
<i>A</i> \		性別、年齢、原発巣の部位、腫瘍の分化度が一致している; SRSが陽性であ						
		る。						
	性別	SRS陰性群:男性27名、女性21名						
		SRS陽性群:男性22名、女性28名						
	年齢	SRS陰性群: 平均57 ± 13歳						
		SRS陽性群: 平均56 ± 15歳						
用	投与量	185 MBq						
用法	撮像時期	プラナー: 投与後4時間、24時間						
用量		SPECT: 投与後24時間						
	SPECTの有無	有						
	SSA休薬	_						
読景	· · · · · · · · · · · · · · · · · · ·	SRSの読影は、経験豊富な核医学医2名が、臨床背景及び免疫染色診断の結果						
		の盲検下、SRS前に実施した従来の画像診断結果の非盲検下で行った。集積が						
		正常肝臓と同等あるいは高い場合をSRS陽性、従来の画像診断で検出された転						
		移巣又は原発巣がSRSで検出されなかった場合をSRS陰性と判定した。						
確に	定診断の定義	ソマトスタチン受容体(SSTR 1~5)の免疫組織化学的診断						
		細胞膜及び細胞質の染色強度に基づき、陰性、陽性を判定した。						
経計	B観察期間	_						
	多率の定義	正診率(%) = (TP + TN) / (TP + TN + FN +FP) x 100						
, H	/ _ 4/4	TP: SRS、免疫組織化学的診断が共に陽性						
		TN: SRS、免疫組織化学的診断が共に陰性						
		111・0100、 /U/X/III/M(IU 1 H / II) P / IV /						

	【鬼羖組稿	免疫組織化学的診断とSRSの比較】								
	SSTR	免疫染色	陽性腫瘍細胞	SRS	結果	· P値	κ係数			
	サフ゛タイフ゜	兄授祭巴	数中央值	陰性患者数	陽性患者数	P川旦	K 休毅			
	SSTR 2	陽性	70%	12*1	36	< 0.001	0.6			
		陰性	_	28	5 ^{*2}					
	SSTR 5	陽性	85%	20	27	0.148	0.2			
		陰性		20	14					
	SSTR 1	陽性	5%	1	1	0.494	0.15			
		陰性	_	38	40					
	SSTR 3	陽性	75%	9	12	0.446	0.1			
		陰性	_	31	28					
	SSTR 4	陽性	45%	13	10	0.066	0.45			
		陰性	_	12	25					
	SS1K 2层	性、SRS陽性.	患者5名のうち、3	3名はSSTR 5陽性	生、2名はSSTR4	陽性				
		性、SRS陽性 立の診断能				陽性				
		立の診断能 -	1	SSTRサブク	マイプ		SSTR 4			
			SSTR 5	SSTRサブタ SSTR	イプ I SSTR	1.3	SSTR 4			
	【患者単位正診率【生存期間SRS陽	立の診断能 SSTR 2 79% (64/8 引評価】 性群:生存	SSTR 5 1) 58% (47/8 年期間中央値未	SSTRサブタ SSTR 1) 49% (39/ 達(60箇月甲	マイプ I SSTR 80) 54% (43 寺点)、5年生	3/80) 37	7% (22/60)			
安全性評価	正診率 【生存期間 • SRS陽 • SRS陰	立の診断能 SSTR 2 79% (64/8 引評価】 性群:生存 性群:生存	SSTR 5 1) 58% (47/8	SSTRサブタ SSTR 1) 49% (39/ 達(60箇月甲	マイプ I SSTR 80) 54% (43 寺点)、5年生	3/80) 37	7% (22/60)			
安全性評価結論	正診率 【生存期間 • SRS陽 • SRS陰 (記載なし	立の診断能 SSTR 2 79% (64/8 引評価】 性群:生存 性群:生存	SSTR 5 1) 58% (47/8 年期間中央値未	SSTRサブタ SSTR 1) 49% (39/ 達(60箇月 適月、5年生	タイプ I SSTR 80) 54% (43 寺点)、5年生 存率30%	3 3/80) 37 生存率55%	7% (22/60) %			

(24) Sclafani F et al. Detection of somatostatin receptor subtypes 2 and 5 by somatostatin receptor scintigraphy and immunohistochemistry: clinical implications in the diagnostic and therapeutic management of gastroenteropancreatic neuroendocrine tumors. Tumori 2011;97(5):620-8.

実施	加 国	イタリア					
-	型型	1 (Humanitas Cancer Center)					
	也心以致 拓時期	1997~2007年					
目的		胃腸膵NETのソマトスタチン受容体発現の評価における免疫組織化学的診断					
日日	J	同勝降NEIのフィトスタリン気谷体光現の計画における光段組織化子的診断 の感度及び特異度をソマトスタチン受容体シンチグラフィ(¹¹¹ In-ペンテトレ					
		の感及及び特異及をフマトスタテン気谷体シンテクソフィ (m-ペンケトレオチド又は ^{99m} Tc-EDDA/HYNIC-Tyr3-octreotide) との比較で評価する。					
	ドノン	•					
-	ゲイン	後向き BRIDITY 14.7					
对图	象疾患	胃腸膵NET 44名					
		(***In-ペンテトレオチドシンチグラフィ30名、************************************					
) .) .)== Lp ++ >/+	99mTc-EDDA/HYNIC-Tyr3-octreotideシンチグラフィ14名)					
患	主な選択基準	● 病理組織学的に胃腸膵NETと診断されている。					
患者背景		● 免疫組織学的診断に適した腫瘍検体が得られている。					
景		病期診断時のSRSの結果がある。					
	性別	男性25名、女性19名					
	年齢	中央値59.5歳(17~78歳)					
	投与量	185 MBq					
法用	撮像時期	プラナー、SPECT:投与後4時間、24時間					
量	SPECTの有無	有					
	SSA休薬	_					
読景	乡方法	SRSの読影は、経験豊富な核医学医1名が、臨床背景及び免疫染色診断の結果					
		の盲検下、SRS前に実施した従来の画像診断結果の非盲検下で行った。集積が					
		正常肝臓と同等あるいは高い場合をSRS陽性、従来の画像診断で検出された転					
		移巣又は原発巣がSRSで検出されなかった場合をSRS陰性と判定した。					
確定	営診断の定義	ソマトスタチン受容体(SSTR 2、5)の免疫組織化学的診断					
		染色部位(細胞膜又は細胞質)及び染色強度に係らず、免疫反応細胞を全					
		体の5%以上で認める場合を陽性と判定した。					
		[本論文では、SRSをゴールドスタンダードとし、免疫組織化学的診断の感度、					
		特異度を評価している。]					
経過	過観察期間	_					
正記		<u>正診率(%)</u> = (TP + TN) / (TP + TN + FN +FP) x 100					
		TP: SRS、免疫組織化学的診断が共に陽性					
		TN: SRS、免疫組織化学的診断が共に陰性					

結果	【免疫組織化学的診断と111In-ペンテトレオチドシンチグラフィの比較】							
	SRS	患者数 -	B 类粉 SSTR 2 SSTR			TR 5	SSTR 2	and/or 5
	SKS	心伯奴	陽性	陰性	陽性	陰性	陽性	陰性
	陽性	18	18 16 2		9	8	17	1
	陰性	12	6	6	4	7	24	6
	【患者単	位の診断	能】					
		_	9	SSTRサブタイ	プ			
		SST	R 2	SSTR 5	SSTR 2又は5			
	正診率	73% (2	22/30)	57% (16/28)	73%	(22/30)		
安全性評価	(記載な	:し)						
結論	SRS陰性	生腫瘍の50)%が免疫		診断では	SSTR 20	発現が確認	認されたと
	しても、	SRSは胃	腸膵NE	Tの診断及び	治療管理	の第一選打	尺の方法で	ある。SRS
	陰性腫瘍	易における	SSTR	免疫組織化的	学的診断層	場性の臨床	:的意義をヨ	理解するた
	めには、	病理及び	「臨床デ	ータが更に必	公要である	0		